

جمهوری اسلامی ایران
معاونت برنامه‌ریزی و نظارت راهبردی رئیس جمهور

راهنمای طراحی لردهای سامانه برقرسانی

نشریه شماره ۶۰۲

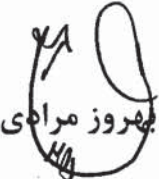
معاونت نظارت راهبردی
امور نظام فنی
nezamfanni.ir



بسم الله تعالى

ریاست جمهوری

معاون برنامه‌ریزی و نظارت راهبردی رئیس‌جمهور

شماره: ۱۰۰/۶۵۴۵۲	تاریخ: ۱۳۹۱/۰۸/۱۰	بخشنامه به دستگاه‌های اجرایی، مهندسان مشاور و پیمانکاران
موضوع: راهنمای طراحی لرزاگ سامانه برق‌رسانی		
<p>به استناد ماده (۲۳) قانون برنامه و بودجه و ماده (۶) آیین‌نامه استانداردهای اجرایی طرح‌های عمرانی - مصوب سال ۱۳۵۲ و در چارچوب نظام فنی و اجرایی کشور (موضوع تصویب‌نامه شماره ۶۰۲ امور نظام فنی و اجرایی - مورخ ۱۳۸۵/۴/۲۰ هیأت محترم وزیران)، به پیوست نشریه شماره ۴۲۳۳۹/ت ۳۴۹۷-۱۳۹۱ اجباری است.</p> <p>با عنوان «راهنمای طراحی لرزاگ سامانه برق‌رسانی» از نوع گروه سوم ابلاغ می‌شود.</p> <p>رعایت مفاد این ضابطه برای دستگاه‌های اجرایی، مشاوران، پیمانکاران و سایر عوامل ذی‌نفع نظام فنی و اجرایی، در صورت نداشتن ضوابط معتبر بهتر، از تاریخ ۱۳۹۱/۰۸/۱۰ اجباری است.</p> <p style="text-align: center;"> مهروز مرادی</p>		

اصلاح مدارک فنی

خواننده گرامی

امور نظام فنی معاونت برنامه‌ریزی و نظارت راهبردی رئیس جمهور، با استفاده از نظر کارشناسان برجسته مبادرت به تهییه این نشریه کرده و آن را برای استفاده به جامعه‌ی مهندسی کشور عرضه نموده است. با وجود تلاش فراوان، این اثر مصون از ایرادهایی نظیر غلطهای مفهومی، فنی، ابهام، ایهام و اشکالات موضوعی نیست.

از این‌رو، از شما خواننده‌ی گرامی صمیمانه تقاضا دارد در صورت مشاهده‌ی هرگونه ایراد و اشکال فنی مراتب را به صورت زیر گزارش فرمایید:

- ۱- شماره‌ی بند و صفحه‌ی موضوع مورد نظر را مشخص کنید.
- ۲- ایراد مورد نظر را به صورت خلاصه بیان دارید.
- ۳- در صورت امکان متن اصلاح شده را برای جایگزینی ارسال نمایید.
- ۴- نشانی خود را برای تماس احتمالی ذکر فرمایید.

کارشناسان این امور نظرهای دریافتی را به دقت مطالعه نموده و اقدام مقتضی را معمول خواهند داشت. پیش‌پیش از همکاری و دقت نظر جنابعالی قدردانی می‌شود.

نشانی برای مکاتبه : تهران، میدان بهارستان، خیابان صفی علی‌شاه - مرکز تلفن ۳۳۲۷۱ معاونت
 برنامه‌ریزی و نظارت راهبردی رئیس جمهور، امور نظام فنی

Email:info@nezamfanni.ir

web: nezamfanni.ir/

انسان از آغاز خلقت همواره با موضوع بلایای طبیعی مواجه بوده و تلاش نموده است تا ضمن کنترل حوادث و سوانح طبیعی، زندگی خود را از این خطرات ایمن و محفوظ دارد. در میان بلایای طبیعی، زلزله از ویژگی‌های خاصی برخوردار بوده و در قرن گذشته اهمیت بیشتری به مدیریت بحران زلزله داده شده است. کشور ما از نظر لرزه‌خیزی در منطقه فعال جهان قرار دارد و به گواهی اطلاعات و مستندات علمی از خطرپذیرترین مناطق جهان محسوب می‌شود. در سال‌های اخیر به طور متوسط هر پنج سال یک زمین‌لرزه با صدمات جانی و مالی بسیار بالا در نقطه‌ای از کشور رخ داده است و در حال حاضر ایران در صدر کشورهایی است که وقوع زلزله در آن با تلفات جانی بالا همراه است. گرچه جلوگیری کامل از خسارات ناشی از زلزله‌های شدید بسیار دشوار است لیکن با افزایش سطح اطلاعات مرتبط با لرزه‌خیزی کشور و آموزش و ترویج فرهنگ طراحی و بهسازی لرزه‌ای صحیح مستحدثات (ساختمان‌ها، تأسیسات زیربنایی و شریان‌های حیاتی)، می‌توان تا حد مطلوبی تلفات و خسارات ناشی از زلزله‌های آتی را کاهش داد. در همین راستا یکی از برنامه‌های مهم برای کاهش خطرپذیری کشور در برابر زلزله، برنامه مقاوم‌سازی ساختمانهای دولتی مهم، تأسیسات زیربنایی و شریان‌های حیاتی کشور است که تدوین خوابط، دستورالعمل‌ها و معیارهای فنی طراحی و بهسازی لرزه‌ای از جمله نیازها و ملزمات مهم آن محسوب می‌شود.

تعاونت نظارت راهبردی (امور نظام فنی) در راستای وظایف و مسؤولیتهای قانونی براساس ماده ۲۳ قانون برنامه و بودجه، نظام فنی و اجرایی کشور (مصطفوی شماره ۴۲۳۳۹/ت ۱۳۹۷-۱۳۸۵/۴/۲۰ مورخ ۱۳۹۷/۴/۲۰ هیات محترم وزیران) و برنامه مقاوم‌سازی ساختمانهای دولتی مهم، تأسیسات زیربنایی و شریان‌های حیاتی کشور، اقدام به تهییه و تدوین این نشریه با عنوان «راهنمای طراحی لرزه‌ای سامانه بر قر رسانی» نموده است. در تدوین این راهنمای این نامه ساختمانها، آینین‌نامه‌ها و راهنمایی‌ها مشابه موجود در دیگر کشورها از جمله آمریکا، ژاپن، هندوستان و کشورهای اروپایی در کنار آینین نامه طراحی ساختمانها در برابر زلزله، استاندارد شماره ۲۸۰۰ ایران و سایر آینین‌نامه‌ها و راهنمایی‌ها کشور استفاده شده است. حاصل کار، نشریاتی است که به عنوان راهنمای تهییه شده و روال بارگذاری، طراحی و بهسازی لرزه‌ای شریان‌های حیاتی را برای سطوح مختلف عملکرد ارایه می‌نماید (نشریات شماره ۶۰۰ تا ۶۱۰). درمورد بسیاری از اجزای سازه‌ای و غیرسازه‌ای، سعی شده است تا معیارهای پذیرش و روند طراحی مناسب با شرایط ویژه کشور ایران عرضه شده و روش‌های جمع‌آوری اطلاعات، با شرایط کشور سازگاری لازم را داشته باشد. به دلیل تجربیات اندک در حوزه طراحی و بهسازی لرزه‌ای شریان‌های حیاتی در دنیا و کشور و نیز تخصصی بودن موضوع، با وجود همه تلاش‌های انجام شده و همچنین خدمات کارگروه‌های فنی-تخصصی در بررسی و اصلاح این راهنمای، قطعاً هنوز کاستی‌هایی در متن موجود است که انشاء... کاربرد عملی و وسیع این نشریه توسط مهندسان و محققان، موجبات شناسایی و برطرف نمودن آن‌ها را فراهم خواهد نمود.

تعاونت نظارت راهبردی به این وسیله از شرکت مهندسین مشاور پارس آیندآب که مسؤولیت انجام این پروژه را به عهده داشته است و همچنین تمامی افرادی که در تهییه، تدوین و پیشبرد این نشریه اهتمام ورزیده‌اند، جناب آقای مهندس حمزه مصطفوی رییس امور نظام فنی، سرکار خانم مهندس پورسید، کارشناسان محترم امور نظام فنی و نیز نهادها و کارشناسانی که با اظهارنظرهای اصلاحی و ارشادی، این معاونت را در جهت تکمیل آن‌یاری نموده‌اند، سپاسگزاری و قدردانی می‌نماید. امید است که این‌گونه حمایتها و همکاری‌ها ادامه یافته و در آینده نیز ما را در جهت افزایش غنای فنی این نشریه مساعدت نمایید.

تهیه و کنترل راهنمای طراحی لوزه‌ای سامانه برق‌رسانی (نشریه شماره ۶۰۲)

مجری: مهندسین مشاور پارس آیند آب

اعضای کارگروه اصلی تهیه‌کننده:

دکترای عمران- سازه (شریانهای حیاتی)	نعمت حسنی (مدیر فنی)
دکترای عمران- سازه	محمد صافی (معاون مدیر فنی)
کارشناس مهندسی عمران	امید فرقانی (مدیر اجرایی)
دکترای عمران- ژئوتکنیک	سعید قربان‌بیگی
دکترای عمران- سازه (شریانهای حیاتی)	رضا راستی اردکانی
دکترای عمران- خاک و پی	احمد رضا محبوبی اردکانی
دکترای لرزه‌شناسی	عباس مهدویان
دکترای عمران- زلزله	مرتضی بسطامی
کارشناس ارشد مهندسی عمران- ژئوتکنیک	اعظم حسینی ارجمندی
کارشناس مهندسی عمران- ساختمانهای آبی	مهبان سادات حسینی
کارشناس ارشد مهندسی عمران- زلزله	هادی کردستانی
کارشناس ارشد مهندسی عمران- زلزله	پیام پیران عقل
کارشناس ارشد مهندسی عمران- زلزله	نیمیه رفیعی
کارشناس ارشد مهندسی عمران- زلزله	مهردی شادابفر
کارشناس ارشد مهندسی عمران- سازه	رسول خوشروان آذر
کارشناس مهندسی عمران- آب و فاضلاب	فریده عاشوری
کارشناس مهندسی عمران	حمید قربان‌بیگی
کارشناس مهندسی عمران- ساختمانهای آبی	نگار وکیلی فر

اعضای کارگروه همکار از کشور ژاپن در تهیه پیش‌نویس اولیه:

دانشگاه کوبه	پروفسور شیرو تاکادا
موسسه تحقیقاتی شریانهای حیاتی (RILE)	دکتر جونیچی ونو
شرکت مهندسی گاز اوزاکا	دکتر یاسئو اوگاوا
مرکز تحقیقات برق مرکزی ژاپن	دکتر کیزو اوتومو
دانشگاه کوبه	دکتر یاسوکو کواتا
شرکت مهندسی مشاور نفتی چیودای ژاپن (chas)	مهندس ماسامی اوشیما
شرکت مهندسی مشاور نفتی چیودای ژاپن (chas)	مهندس فومیو آندو

اعضای کارگروه‌های فنی- تخصصی بازخوانی و بررسی متن نهایی:

دکترای عمران- ژئوتکنیک لرزه‌ای	عباس قلندرزاده (بارگذاری)
دکترای عمران- زلزله	رضا کرمی محمدی (گاز)
کارشناس ارشد مهندسی عمران- زلزله	انوشه رضایی جوان (گاز)
کارشناس ارشد مهندسی عمران- زلزله	وحید اکرمی (گاز)
کارشناس ارشد مهندسی عمران- زلزله	فرزاد نیک‌فر (گاز)
کارشناس ارشد مهندسی عمران- زلزله	علیرضا آقابابایی مبارکه (برق و مخابرات)
کارشناس ارشد مهندسی عمران- زلزله	فریبیز سهرابی (برق و مخابرات)
دکترای عمران- خاک و پی	هادی بهادری (آب و فاضلاب)
دکترای عمران- سازه	سعید تاریوردیلوی اصل (آب و فاضلاب)
کارشناس ارشد مهندسی عمران- سازه‌های هیدرولیکی	بهنام وخشوری (آب و فاضلاب)

اعضای گروه هدایت و راهبری پروژه:

معاون امور نظام فنی	علیرضا توتوچی
رییس گروه امور نظام فنی	فرزانه آقارمضانعلی
مشاور عالی امور نظام فنی	علی تبار
کارشناس مسئول پروژه در امور نظام فنی	فرزاد پارسا
کارشناس امور نظام فنی	حمیدرضا خاشی

فهرست مطالب

عنوان		صفحه
فصل اول - کلیات		
۱- کلیات...	۳	۳
۱-۱- هدف.....	۳	۳
۱-۲- گستره کاربرد این راهنمای	۳	۳
۱-۲-۱- سازماندهی این راهنمای	۳	۳
۱-۲-۲- نکاتی در کاربرد این راهنمای	۴	۴
۱-۲-۳- مراجع.....	۴	۴
۱-۳-۱- مراجع اصلی این راهنمای	۴	۴
۱-۳-۲- مخفف آیین نامه ها	۵	۵
فصل دوم - مبانی		
۲- زلزله طراحی.....	۹	۹
۲-۱- سطوح خطر زلزله و دوره بازگشت آنها.....	۹	۹
۲-۱-۱- طیف های طراحی لرزه ای.....	۱۰	۱۰
۲-۱-۲- توزیع شدت لرزه ای در طبقات.....	۱۱	۱۱
۲-۱-۳- شدت لرزه ای قائم طرح.....	۱۲	۱۲
۲-۱-۴- شدت لرزه ای قائم طرح.....	۱۲	۱۲
۲-۲- روند کنترل ایمنی لرزه ای (روش های طراحی)	۱۲	۱۲
۲-۳- عملکردهای مورد انتظار در این راهنمای	۱۲	۱۲
فصل سوم - بارگذاری لرزه ای		
۳-۱- انواع بار.....	۱۷	۱۷
۳-۲- محاسبه وزن ها.....	۱۷	۱۷
۳-۳- ترکیب بارها.....	۱۷	۱۷
۳-۴- انواع تجهیزات از نظر محل استقرار.....	۱۷	۱۷
۳-۵- روش های اعمال بارهای لرزه ای.....	۱۸	۱۸
۳-۶- آثار زلزله بر تجهیزات سامانه برق.....	۱۸	۱۸
۳-۷- روش های محاسبه بارهای لرزه ای وارد بر تجهیزات.....	۱۸	۱۸
۳-۷-۱- ضریب اهمیت.....	۱۹	۱۹
۳-۷-۲- نسبت شتاب مبنای طرح.....	۲۱	۲۱
۳-۷-۳- ضریب بزرگنمایی لايهای خاک.....	۲۱	۲۱

۲۱	- محاسبه ضریب زلزله.....	۴-۷-۳
۲۱	- ضریب زلزله افقی طراحی	۱-۴-۷-۳
۲۲	- نیروی زلزله افقی طراحی.....	۲-۴-۷-۳
۲۲	- روش شبه استاتیکی اصلاح شده	۵-۷-۳
۲۲	- ضریب زلزله افقی اصلاح شده طراحی.....	۱-۵-۷-۳
۲۲	- ضریب زلزله قائم اصلاح شده	۲-۵-۷-۳
۲۳	- نیروی زلزله اصلاح شده.....	۳-۵-۷-۳
۲۳	- روش دینامیکی.....	۶-۷-۳
۲۳	- روش طیف پاسخ	۱-۶-۷-۳
۲۴	- روش تحلیل پاسخ تاریخچه زمانی	۲-۶-۷-۳
۲۴	- روش پاسخ تغییرمکان (برای سازه‌های مدفون).....	۳-۶-۷-۳
۲۴	- بارگذاری ناشی از مخاطرات ژئوتکنیکی زلزله بر تجهیزات	۸-۳
۲۴	- روانگرایی	۱-۸-۳
۲۵	- زمین‌لغزه	۲-۸-۳
۲۵	- گسلش	۳-۸-۳
۲۵	- طبقه بندی خاک	۹-۳
	فصل چهارم- روش‌های طراحی لرزاهاي و کنترل ایمنی	
۲۹	- طراحی لرزاهاي	۱-۴
۲۹	- کلیات.....	۱-۱-۴
۲۹	- اصول روش طراحی لرزاهاي	۲-۴
۳۰	- نحوه طراحی بهروش تنش مجاز	۱-۲-۴
۳۰	- محاسبه تنش	۱-۱-۲-۴
۳۰	- تنش‌های مجاز در تحلیل لرزاهاي	۲-۱-۲-۴
۳۰	- بررسی تنش محاسباتی	۳-۱-۲-۴
۳۰	- نحوه تحلیل لرزاهاي برای روش طراحی شکل‌پذیر	۲-۲-۴
۳۰	- طراحی لرزاهاي	۱-۲-۲-۴
۳۰	- تحلیل پاسخ لرزاهاي	۲-۲-۲-۴
۳۳	- ضریب شکل‌پذیری	۳-۲-۲-۴
۳۳	- ضریب شکل‌پذیری مجاز	۴-۲-۲-۴
۳۳	- برآورد ضریب شکل‌پذیری	۵-۲-۲-۴

۴-۳-مشخصات مصالح در طراحی به روش تنش مجاز.....	۳۳
فصل پنجم- طراحی لردهای و کنترل اینمی تجهیزات نیروگاهی	
۱- تجهیزات نیروگاهی.....	۳۷
۲- سطح عملکرد.....	۳۷
۳- بولیر و ملحقات.....	۳۷
۴- توربین بخار و ملحقات.....	۳۸
۵- دودکش.....	۳۹
۶- واحد کنترل.....	۳۹
۷- محاسبات طرح لردهای بولیر و ملحقات.....	۴۰
۸- روند بارگذاری.....	۴۰
۹- روند محاسبه.....	۴۰
۱۰- بدنه اصلی بولیر.....	۴۰
۱۱- قاب تکیه‌گاهی بولیر.....	۴۲
۱۲- ملحقات اصلی بولیر.....	۴۳
۱۳- مجاري دود، هوا و تجهیزات تصفیه گاز خروجی	۴۳
۱۴- کمیت‌های مجاز.....	۴۴
۱۵- معیار پذیرش.....	۴۴
۱۶- محاسبات طرح لردهای توربین و ملحقات.....	۴۵
۱۷- روند بارگذاری.....	۴۵
۱۸- روند محاسبه.....	۴۵
۱۹- بدنه اصلی توربین.....	۴۵
۲۰- ژنراتور و ملحقات آن.....	۴۶
۲۱- کندانسور	۴۷
۲۲- مبدل‌های حرارتی	۴۷
۲۳- ماشین دورانی اصلی.....	۴۷
۲۴- جرثقیل	۴۹
۲۵- کمیت‌های مجاز.....	۵۲
۲۶- معیار پذیرش.....	۵۳
۲۷- دودکش.....	۵۳
۲۸- روند.....	۵۳

۵۳	۲-۵-۵- مراحل محاسبه
۵۵	۳-۵-۵- مقادیر مجاز
۵۵	۴-۵-۵- معیارهای پذیرش
۵۵	۶-۵- برج‌های خنک کن
۵۶	۷-۵- واحد کنترل
۵۶	۱-۷-۵- روند
۵۶	۱-۱-۷-۵- روش طراحی
۵۶	۲-۱-۷-۵- نیروی طراحی لرزه‌ای
۵۷	۳-۱-۷-۵- روش محاسبه تنش پیچ مهار
۵۹	۲-۷-۵- شدت لرزه هر یک از تجهیزات
۶۱	۳-۷-۵- مقادیر مجاز
۶۱	۴-۷-۵- معیارهای پذیرش
فصل ششم- طراحی لرزه‌ای و کنترل اینمی مخازن سوخت نفتی	
۶۵	۶-۱- سطح عملکرد مخازن سوخت نفتی
۶۵	۶-۲- طراحی لرزه‌ای
۶۵	۶-۱-۲- روند
۶۵	۶-۲-۲- روش‌های محاسبه
۶۵	۶-۱-۲-۲-۶- ضرایب لرزه روش استاتیکی
۶۷	۶-۲-۲-۶- بار طراحی
۶۸	۶-۳-۲-۲-۶- بررسی ارتفاع مجاز مربوط به تلاطم مایع
۶۹	۶-۴-۲-۲-۶- بررسی واژگونی و لغش
۷۲	۶-۵-۲-۲-۶- مطالعه تنش ایجاد شده در زلزله
۸۰	۶-۶-۲-۲-۶- محاسبه مقاومت جانبی نهایی
۸۱	۶-۳-۶- طراحی لرزه‌ای تجهیزات ذخیره سوخت
۸۱	۶-۴- مقادیر مجاز
۸۲	۶-۵- معیارهای پذیرش
فصل هفتم- طراحی لرزه‌ای و کنترل اینمی مخازن سوخت گازی	
۸۵	۷-۱- سطح عملکرد مخازن سوخت گازی
۸۵	۷-۲- طراحی لرزه‌ای
۸۵	۷-۱-۲-۷- مراحل طراحی

۸۶.....	- روش‌های طراحی مخزن.....
۸۶.....	- طراحی با روش تنش مجاز.....
۹۴.....	- طراحی به روش شکل‌پذیر.....
۹۵.....	- کمیت‌های مجاز.....
۹۵.....	- معیار پذیرش.....
۹۵.....	- روش تنش مجاز (سطح خطر-۱).....
۹۶.....	- روش شکل‌پذیر (سطح خطر-۲).....
فصل هشتم- طراحی لرزاها و کنترل اینمنی لوله‌کشی نیروگاهی	
۹۹.....	- سطح عملکرد سیستم‌های لوله‌کشی.....
۹۹.....	- بارگذاری لرزاها سیستم لوله‌کشی.....
۹۹.....	- لوله‌کشی روزمنی.....
۱۰۰.....	- لوله‌کشی زیرزمینی.....
۱۰۰.....	- محاسبات سیستم لوله‌کشی در بویلر و توربین بخار.....
۱۰۲.....	- محاسبات سیستم لوله‌کشی مخازن سوخت.....
۱۰۷.....	- محاسبات سیستم لوله‌کشی مخازن سوخت گاز طبیعی مایع.....
۱۰۷.....	- مراحل ارزیابی لرزاها لوله‌کشی.....
۱۰۷.....	- روش ارزیابی ساده شده (روش دهانه مجاز لوله).....
۱۰۸.....	- معیار دهانه مجاز.....
۱۰۸.....	- ظرفیت تغییر مکان.....
۱۰۸.....	- روش طراحی تنش مجاز.....
۱۰۹.....	- تحلیل پاسخ سازه تکیه‌گاهی.....
۱۰۹.....	- تحلیل پاسخ سیستم لوله‌کشی.....
۱۱۰.....	- محاسبه تنش لوله‌کشی.....
۱۱۱.....	- ارزیابی تنش لوله‌کشی.....
۱۱۱.....	- ارزیابی عملکرد لرزاها اتصال فلنجی.....
۱۱۲.....	- ارزیابی عملکرد لرزاها شیرها.....
۱۱۶.....	- ارزیابی عملکرد لرزاها اتصال انبساطی.....
۱۱۸.....	- ارزیابی عملکرد لرزاها افسانه برج‌ها و مخازن.....
۱۱۹.....	- ارزیابی عملکرد لرزاها سازه تکیه‌گاهی لوله‌کشی.....
۱۲۰.....	- روش طراحی شکل‌پذیر.....

۱۲۰	- ارزیابی طراحی لرزاهاي نیروی اینرسی و تغییر مکان پاسخ.....
۱۲۰	- سازه تکیه گاهی لوله.....
۱۲۰	- سیستم لوله کشی.....
۱۲۱	- مد خارابی.....
۱۲۲	- ارزیابی لرزاهاي لوله کشی.....
۱۲۳	- ارزیابی لرزاهاي اتصال فلنجی.....
۱۲۳	- ارزیابی لرزاهاي اتصال انساطی.....
۱۲۳	- ارزیابی لرزاهاي افشاره برج ها و مخازن.....
۱۲۳	- ارزیابی لرزاهاي تکیه گاه لوله.....
۱۲۴	- ارزیابی طراحی لرزاهاي تحت اثر تغییر شکل های ماندگار زمین (مخاطرات ژئوتکنیکی).....
۱۲۴	- طراحی سیستم لوله کشی.....
۱۲۴	- جابجایی پی ناشی از جابجایی زمین.....
۱۲۴	- روش تحلیل پاسخ.....
۱۲۴	- مد خارابی.....
۱۲۵	- ارزیابی لرزاهاي لوله کشی.....
۱۲۵	- ارزیابی لرزاهاي اتصال فلنجی.....
۱۲۵	- ارزیابی لرزاهاي اتصال انساطی.....
۱۲۵	- ارزیابی لرزاهاي افشاره برج ها و مخازن.....
۱۲۶	- ارزیابی لرزاهاي تکیه گاه لوله.....

فصل نهم- طراحی لرزاهاي و کنترل ایمنی تجهیزات پست های برق

۱۲۹	- تجهیزات هدف.....
۱۲۹	- مدهای آسیب.....
۱۳۰	- روش طراحی لرزاهاي مبنی بر عملکرد.....
۱۳۰	- طراحی لرزاهاي تجهیزات پست.....
۱۳۰	- روش استاتیکی بارگذاری لرזה ای.....
۱۳۱	- روش تحلیل دینامیکی.....
۱۳۵	- طراحی لرزاهاي تجهیزات بوشینگ.....
۱۳۶	- طراحی تجهیزات دیگر.....
۱۳۶	- مشخصه های پاسخ لرزاهاي تجهیزات.....
۱۴۱	- روند طراحی کابل ها.....

۱۴۹	- مدهای آسیب کابل های برق.....
۱۴۹	- روند طراحی کابل های مدفون
۱۴۹	- تغییر شکل زمین.....
۱۴۹	- اتصال به سازه ها.....
۱۴۶	- خصوصیات مجاز مصالح.....
	فصل دهم- طراحی لرزا های و کنترل ایمنی خطوط انتقال و توزیع
۱۴۹	- تجهیزات مورد نظر
۱۴۹	- بارگذاری و طراحی لرزا های
۱۴۹	- دکل انتقال
۱۴۹	- پایه ها.....
۱۵۰	- ترانس هوایی.....
۱۵۰	- محاسبات طراحی لرزا های
۱۵۰	- دکل ها
۱۵۱	- محاسبه پریود طبیعی دکل
۱۵۲	- نیروی برشی و لنگر خمی در ترازا های مختلف دکل
۱۵۳	- ضریب مشخصه پاسخ مربوط به ضرایب برش و لنگر طبقه
۱۵۵	- ضریب توزیع مربوط به ضرایب برش و لنگر طبقه دکل
۱۵۷	- ضریب توزیع مربوط به ضرایب برش و لنگر بازو
۱۶۰	- محاسبه تنش
۱۶۱	- محاسبه بار طراحی بی دکل
۱۶۱	- پایه (تیر) برق در خط توزیع
۱۶۵	- کمیت های مجاز
۱۶۶	- معیار پذیرش
۱۶۶	- محدوده کاربرد
	فصل یازدهم- مثال ها
۱۶۹	- ۱- مثال طراحی لرزا های برای تاسیسات بوشینگ.....
۱۶۹	- ۱-۱- مدل طراحی لرزا های
۱۷۰	- ۲-۱- مشخصات اصلی بوشینگ
۱۷۰	- ۲-۱-۱- وزن و اینرسی دورانی
۱۷۰	جدول ۱-۱-۱.....

۱۱-۲-۲- ثوابت فنر و میرایی سیستم خاک- پی.....	۱۷۱
جدول ۲-۱۱.....	۱۷۱
۱۱-۲-۳- ورودی های لرزاهاي.....	۱۷۱
۱۱-۳-۱- مدل دینامیکی.....	۱۷۱
۱۱-۴- اندركنش خاک- سازه.....	۱۷۱
	پیوست
پیوست ۱.....	۱۷۹
۱- تنش مجاز برای طراحی لرزاهاي مصالح تحت فشار.....	۱۷۹
۱-۲- تنش مجاز طراحی لرزاهاي مصالح سازه تکيه گاه.....	۱۸۰
۱-۲-۱- مصالح سازه تکيه گاهی.....	۱۸۰
۱-۲-۲-۱- مصالح مستقیماً جوش شده سازه تکيه گاهی به مصالح قسمت فشاری.....	۱۸۲
۱-۳- تنش مجاز برای طراحی لرزاهاي مصالح پی.....	۱۸۳
۱-۳-۱- تنش مجاز بتن در طراحی لرزاهاي.....	۱۸۳
۱-۳-۲- تنش مجاز میلگرد برای طراحی لرزاهاي.....	۱۸۳
۱-۴- تنش مجاز برای طراحی لرزاهاي مصالح لوله کشی.....	۱۸۴
۱-۴-۱- تنش مجاز مصالح برای طراحی لرزاهاي لوله کشی.....	۱۸۴
۱-۴-۲- تنش مجاز مصالح برای طراحی لرزاهاي اتصال فلنچ.....	۱۸۴
۱-۴-۳- تنش مجاز مصالح برای طراحی لرزاهاي شیر.....	۱۸۴
۱-۴-۴- تنش مجاز مصالح برای طراحی لرزاهاي اتصال انبساطی.....	۱۸۴
۱-۵-۴-۱- تنش مجاز مصالح برای طراحی لرزاهاي افشانه متصل به برج ها و مخازن.....	۱۸۵
	پیوست ۲
۱-۲- مخزن داخلی.....	۱۸۶
۱-۱-۲- ورق های کناری مخزن داخلی	۱۸۶
۱-۱-۱-۲- ضربیب زلزله تسليیم مربوط به کمانش ورق کناری در اثر زلزله سطح خطر-۲.....	۱۸۶
۱-۱-۱-۲- ضربیب شکل پذیری مجاز.....	۱۸۸
۱-۲-۱-۲- مهار مخزن داخلی	۱۸۹
۱-۲-۱-۲- ضربیب زلزله تسليیم مربوط به تسليیم کششی.....	۱۸۹
۱-۲-۱-۲- ضربیب شکل پذیری مجاز	۱۹۰
۱-۳-۱-۲- افشانه مخزن داخلی	۱۹۰
۱-۲- مخزن خارجی	۱۹۱

۱۹۱	- خریب زلزله تسليم.....	۲-۲-۱
۱۹۱	- خریب شکل پذیری مجاز.....	۲-۲-۲
۱۹۵	پیوست ۳.....	
۱۹۵	- روند روش دهانه مجاز در طراحی لرزهای لوله کشی.....	۳-۱
۱۹۵	- روش محاسبه طول دهانه.....	۳-۱-۱
۱۹۷	- روش محاسبه طول دهانه مجاز.....	۳-۱-۲
۱۹۸	- روش محاسبه ظرفیت تغییر مکان لوله کشی.....	۳-۱-۳
۱۹۹	- روش محاسبه تغییر مکان نسبی.....	۳-۱-۴
۲۰۱	- ساختار استاندارد طراحی لرزهای سیستم لوله کشی.....	۳-۲
۲۰۲	- تحلیل پاسخ سازه تکیه گاه لوله کشی.....	۳-۳
۲۰۴	- مدل تحلیلی و نیروی لرزهای اصلاح شده طراحی سیستم لوله کشی.....	۳-۴
۲۰۵	- محاسبه تنش لوله کشی.....	۳-۵
۲۱۰	- تنش مجاز طراحی لرزهای لوله کشی.....	۳-۶
۲۱۱	- مراحل ارزیابی عملکرد لرزهای اتصال فلنجی.....	۳-۷
۲۱۶	- ارزیابی لرزهای شیر.....	۳-۸
۲۱۸	- روش ارزیابی لرزهای اتصال انساطی.....	۳-۹
۲۱۹	- روش ارزیابی لرزهای افسانه برج ها و مخازن.....	۳-۱۰
۲۲۱	- ارزیابی عملکرد لرزهای تکیه گاه لوله.....	۳-۱۱
۲۲۷	- فرآیند طراحی لرزهای لوله کشی به روش شکل پذیر.....	۳-۱۲
۲۲۸	- ارزیابی خم لوله در تغییر شکل های بزرگ.....	۳-۱۳
۲۳۰	- روند نمای ارزیابی نیروی اینرسی و تغییر مکان پاسخ.....	۳-۱۴
۲۳۰	- طریقه به دست آوردن تغییر مکان پاسخ نقطه تکیه گاهی لوله به روش شب استاتیکی اصلاح شده.....	۳-۱۴-۱
۲۳۲	- تحلیل خطی معادل، تحلیل تفصیلی و خریب بزرگ نمایی پاسخ.....	۳-۱۴-۲
۲۳۵	- ارزیابی مدهای شکست لوله خمیده، لوله های انشعابی و لوله های مستقیم و جزئیات تغییر شکل موجی شکل لوله.....	۳-۱۴-۳
۲۳۷	- جزئیات روند طراحی اتصال فلنج و فشار تماسی لازم واشر.....	۳-۱۴-۴
۲۳۸	- جزئیات روند ارزیابی اتصال انساطی.....	۳-۱۴-۵
۲۴۰	- جزئیات روند ارزیابی افسانه برج ها و مخازن.....	۳-۱۴-۶
۲۴۲	- ارزیابی عملکرد لرزهای لازم در تکیه گاه لوله.....	۳-۱۴-۷
۲۴۹	- انعطاف پذیری سیستم لوله کشی و روند طراحی لرزهای در اثر روانگرایی زمین.....	۳-۱۵
۲۵۵	- تغییر مکان و تغییر مکان نسبی بین پی.....	۳-۱۶

۱۷-۳	- ضریب انعطاف‌پذیری و روند طراحی لوله خمیده.....	۲۵۶
۱۸-۳	- جزئیات زاویه مجاز لوله خمیده.....	۲۵۷
۱۹-۳	- روند ارزیابی عملکرد لرزه‌ای اتصال فلنچ در اثر حرکت زمین	۲۵۸
۲۰-۳	- جزئیات روند ارزیابی اتصال انساطلی در اثر حرکت زمین.....	۲۵۹
۲۱-۳	- جزئیات روند ارزیابی افسانه مخازن و برج‌ها در اثر تغییر مکان زمین	۲۶۲
۲۲-۳	- ارزیابی عملکرد لرزه‌ای تکیه‌گاه لوله به جابجایی زمین.....	۲۶۳

عالائم

فصل دوم

توزیع شدت لرزه‌ای افقی	A_i
شدت لرزه‌ای افقی	K_H
ارتفاع کل طبقات	H
ارتفاع طبقات فوقانی طبقه i	X
شدت لرزه‌ای قائم	K_V

فصل سوم

شتاب پاسخ افقی در پریود طبیعی T (برحسب) (cm/s^2)	$A_H(T)$
نیروی زلزله افقی اصلاح شده (N)	F_{MH}
نیروی زلزله قائم اصلاح شده (N)	F_{MV}
نیروی زلزله افقی طراحی (N)	F_{SH}
ارتفاع سازه (متر)	h
ضریب زلزله افقی اصلاح شده	K_{MH}
ضریب زلزله قائم اصلاح شده	K_{MV}
ضریب زلزله افقی طراحی	K_{SH}
شدت لرزه‌ای قائم	K_V
وزن سازه+بار مرده و زنده (N)	W_H
شتاب افقی در سطح زمین در تحلیل طیفی	α_H
شتاب افقی حداکثر روی سطح زمین در تحلیل تاریخچه زمانی	α'_H
شتاب افقی حداکثر روی سنگ بستر	α_{HT}
شتاب قائم در سطح زمین	α_V
پارامتر سطح زلزله	β_0
ضریب اهمیت	β_1
نسبت شتاب مبنای طرح	β_2
ضریب بزرگنمایی ساختگاه	β_3
ضریب بزرگنمایی پاسخ افقی	β_4
ضریب بزرگنمایی پاسخ افقی	β_5
ضریب بزرگنمایی پاسخ قائم	β_6

فصل چهارم

شتاب پاسخ افقی طراحی مود i ام ارتعاش بر حسب (cm/s ²)	$A_H^{(i)}$
شتاب پاسخ قائم طراحی مود i ام ارتعاش بر حسب (cm/s ²)	$A_V^{(i)}$
مقدار مجاز خوردگی (mm)	C
ضریب مشخصه سازه‌ای	D_S
ضریب زلزله افقی در نقطه آغاز جاری شدن عضو آسیب دیده	K_y
تعداد معادل سیکل‌های مناسب از منحنی هیسترسیس	n
ظرفیت لرزه‌ای	Q_u
ظرفیت لرزه‌ای مورد نیاز	Q_{un}
اندازه پاسخ مود i ام	R_i
وزن بهره برداری سازه مورد نظر	W_0
ضریب شکل‌پذیری پاسخ عضو مربوط به مود خرابی	μ_p
ضریب شکل‌پذیری مجاز	μ_{pa}

فصل پنجم

سطح مقطع موثر پیچ مهاری (mm ²)	A_s
ضریب توزیع تنش در راستای ارتفاع	C_{si}
تنش برشی مجاز پیچ مهاری در زلزله (N/mm ²)	f_s
تنش کششی مجاز پیچ مهاری در زلزله (N/mm ²)	f_t
تنش مجاز پیچ مهاری در زلزله زمانیکه نیروی برشی و کششی در یک زمان وارد می‌شود. (N/mm ²)	f_{ts}
نیروی لرزه‌ای مربوط به قسمتی از سازه واقع بر بالای سطح زمین (N)	F
شتاب گرانش زمین	g
ارتفاع از تراز دودکش	h
ارتفاع از تراز پایه در هر بخش دودکش (m)	h_i
ارتفاع کل ساختمان بر حسب متر	H
ارتفاعی از تراز که تنش در آن محاسبه می‌شود. (m)	H_i
ارتفاع از تراز کف تا مرکز تقل صفحه (mm)	H_o
ضریب زلزله بر حسب نوع تحلیل	K
ضریب زلزله قائم	K_{sv}
فاصله افقی مرکز ثقل صفحه و پیچ مهاری (mm)	$L_2 - L_1$

لنگر خمی ناشی از بار معادل که نیروی برشی طراحی را خنثی کند. (kN.m)	m_i
لنگر خمی (N.m)	M
لنگر خمی دودکش در ارتفاع H_i (kN.m)	M_i
لنگر واژگونی صفحه (N.m)	M_t
تعداد پیچ های مهار یک وجه	n
تعداد کل پیچ های مهار	N
نیروی برشی (N)	Q
مقاومت کششی در دمای محیط	S_{uo}
مقاومت کششی در دمای بهره برداری مصالح	S_u
مقاومت تسلیم در دمای محیط	S_{yo}
مقاومت تسلیم در دمای بهره برداری	S_y
پریود طبیعی اولیه	T
نیروی ناشی از عمل مهاری مجاز لرزه ای پیچ مهاری (N)	T_a
نیروی ناشی از عمل مهاری وارد بر یک پیچ مهاری (N)	T_0
پریود طبیعی در راستای حرکت	T_z (sec)
وزن در یک وجه تیر جرثقیل هوایی یا وزن کل به جز پایه پل جرثقیل(t) ، وزن جرثقیل ، مجموع وزن مرده و زنده بخش روزمنی دودکش (N) ، نیروی ناشی از بارهای مرده (N)	W
ضریب زلزله منطقه ای	Z
تفاوت لنگر خمی طراحی i و لنگر خمی m_i ناشی از بار معادل (kN.m)	Δa_i
لنگر خمی اصلاحی (kN.m)	ΔM_i
نسبت ارتفاع طبقاتی از ساختمان که از فولاد ساخته شده به ارتفاع کلی ساختمان	α
ضریب نرمی افقی تیر در راستای حرکت جرثقیل هوایی	α_z
ضریب تصحیح مربوط به سازه تکیه گاهی	β'_3
ضریب تصحیح لغزش	β'_4
ضریب تصحیح	η
تنش کششی وارد بر یک پیچ مهاری در زلزله (N/mm^2)	σ
تنش برشی وارد بر یک پیچ مهار در زلزله (N/mm^2)	τ

فصل ششم

سطح مقطع (mm^2) A

سطح مقطع پیچ مهاری (mm ²)	A _B
ضخامت خوردگی سطح داخلی (mm)	c
قطر خارجی مخزن (mm)	D
مقاومت خمشی ورق حلقوی (N.mm)	D _B
قطر داخلی مخزن ذخیره واقع در محوطه (mm)	D _I
مدول ارتجاعی ، مدول الاستیسیته طولی (N/mm ²)	E
نیروی مقاوم در اثر مولفه افقی (حرکت صلب مایع) (N)	F _I '
نیروی مقاوم در اثر تلاطم مایع (N)	F ₂ '
ارتفاع مخزن	h
ارتفاع تراز حداکثر مایع (mm)	H
ارتفاع لبه فوچانی ورق کناری (mm)	H _C
ارتفاع مرکز ثقل ورق کناری از کف ورق کناری (mm)	H' _S
ارتفاع مرکز ثقل ورق سقف از کف ورق کناری (mm)	H' _T
محل اثر آب ثابت (mm)	H ₀
ارتفاع تبدیل شده برای محاسبه لنگر ناشی از مولفه افقی زلزله در ورق کف	H _{0B}
محل اثر آب متلاطم (mm)	H _I
ارتفاع تبدیل شده برای محاسبه لنگر ناشی از مولفه تلاطم در ورق کف	H _{1B}
ضریب تصحیح مربوط به تأثیر اندرکنش پی، زمین و بدنه اصلی مخزن	J
شاخص تنش	K
مدول ضریب واکنش خاک (N/mm ³)	K _B
ضریب زلزله افقی طرح مربوط به تلاطم مایع	K _{M2}
ثابت فنر کل مخزن در برکش	K ₁
اضافه طول ورق حلقوی کف از بر خارجی ورق کناری (mm)	1
لنگر ایجاد شده در ورق کناری در اثر مولفه افقی زلزله (N.mm)	M _P
لنگر ایجاد شده در ورق کف در اثر مولفه افقی زلزله (N.mm)	M _{PB}
لنگر ایجاد شده در ورق کناری در اثر تلاطم مایع (N.mm)	M _{PS}
لنگر ایجاد شده در ورق کف در اثر تلاطم مایع (N.mm)	M _{PBS}
لنگرهای مقاوم در برابر واژگونی در اثر مؤلفه افقی ناشی از شتاب (N.mm)	M _{RTI}
$\frac{P_1}{K_B} D_B, V_1, M_0$ ضریب تأثیر برای پارامترهای	M _q , M _V , M _m

لنگرهای مقاوم در برابر واژگونی در اثر مؤلفه تلاطم (N.mm)	M_{RT2}
لنگر واژگونی در اثر مؤلفه افقی (حرکت صلب مایع)	M_{T1}
لنگر واژگونی در اثر تلاطم مایع	M_{T2}
لنگر در کف ورق کناری (N.mm)	M'_P
لنگر ایجاد شده در ورق کناری در اثر تلاطم مایع (N.mm)	M'_{PS}
لنگر استاتیکی نامعین ایجاد شده در گوشه انتهای پایینی ورق (N.mm / mm)	M_0
بار قائم با در نظر گرفتن ضریب زلزله قائم (N)	N
تعداد پیچ‌های مهاری	N_B
تنش کششی پیرامونی ورق کناری	P
فشار هیدرودینامیکی وارد بر ورق کناری در اثر مؤلفه افقی زمین‌لرزه افقی (MPa)	P_h
فشار هیدرولیکی دینامیکی که بر صفحه کناری به واسطه تلاطم اعمال می‌شود.	P_S
فشار هیدرواستاتیکی (MPa)	P_{ST}
فشار هیدرودینامیکی وارد بر ورق کناری در اثر مؤلفه قائم زمین‌لرزه قائم (MPa)	P_V
فشار هیدرودینامیکی در گوشه (MPa)	P_0
فشار هیدرودینامیکی در گوشه (MPa)	P_1
مقاومت برکنش هر واحد عرض ورق کف مخزن است	q_y
ظرفیت باربری افقی لازم (N)	Q_{dw}
نیروی افقی کف در اثر مؤلفه افقی (حرکت صلب مایع)	Q_P
نیروی افقی کف در اثر تلاطم مایع	Q_{PS}
مقاومت جانبی نهایی (N)	Q_y
شعاع متوسط مخزن (mm)	R
تنش مجاز کششی	S
مقدار طیف سرعت (cm / s)	S_{vo}
تنش فشاری مجاز در زلزله (N/mm ²)	S''
ضخامت ورق (mm)	t
ضخامت واقعی ورق حلقوی (mm)	t_b
ضخامت ورق حلقوی (mm)	t_B
ضخامت ورق بخش پایینی در ورق کناری (به استثنای مقدار مجاز خوردگی) (mm)	t_L
ضخامت ورق کناری در محل وقوع کمانش (mm)	t_{sb}

ضخامت ورق کناری در ارتفاع یک سوم تراز حداکثر مایع از کف مخزن (جز خودگی مجاز) (mm)	$t_{(1/3)}$
پریود طبیعی مخزن (s)	T_b
پریود بدنه اصلی مخزن با در نظر گرفتن برکنش ورق زمینه و تغییرشکل ورق کناری	T_e
پریود طبیعی تلاطم مایع (s)	T_s
پریود بدنه اصلی مخزن تنها با در نظر گرفتن برکنش ورق زمینه	T_1
نیروی قائم انتهای پایینی ورق کناری ناشی از لنگر واژگونی در زلزله (N.mm)	V_1
وزن آب ثابت (N)	W_0
وزن آب متلاطم (N)	W_1
وزن مایع ذخیره شده (N)	W_L
وزن بدنه مخزن بجز ورق کف و ورق حلقوی (N)	W_T
وزن ورق سقف و تجهیزات الحاقی (N)	W'_r
کل وزن بخش سقف نگهدارنده ورق کناری (N)	W'_R
وزن ورق کناری و تجهیزات الحاقی (N)	W'_s
ارتفاع از کف مخزن بر حسب mm	Z
تنش خمی گوشه‌ی ورق حلقوی ناشی از زلزله	$\Delta\sigma_B$
محدوده تنش خمی مولفه افقی	$\Delta\sigma_{BH}$
محدوده تنش خمی مولفه قائم	$\Delta\sigma_{BV}$
محدوده تنش خمی ورق حلقوی ایجاد شده در زلزله (N/mm^2)	$\Delta\sigma_B'$
عدد تاثیر توزیع فشار هیدرودینامیکی	α_m
گرادیان فشار	β
ضریب ناحیه لرزه‌ای	β_2
ضریب تشدید با در نظر گرفتن پریود طبیعی مخزن خارجی	β_3
تغییرمکان برکنش در مقاومت تسليیم (mm)	δ_y
حداکثر ارتفاع پاسخ تلاطم (mm)	η
حداکثر تغییرمکان تراز مایع (mm)	η_{max}
ثابت فتر با توجه به برکنش هر واحد عرض	K_I
ضریب جهت محاسبه پریود طبیعی تلاطم مایع (s)	λ
ضریب اصطکاک کف مخزن با پی، در حدود $4/0$.	μ
ضریب پواسون	ν
ضریب طراحی پلاستیک برابر $1/5$	ν_p

ضریب بزرگنمایی	v_6
وزن مخصوص سیال ذخیره شده (N/mm^3)	ρ
چگالی سیال ذخیره شده (N/mm^3)	ρ_1
تنش کششی مجاز پیچ مهاری (N/mm^2)	σ_a
تنش محوری فشاری (N/mm^2)	σ_b
تنش کششی پیرامونی (N/mm^2)	σ_c
حداصل نقطه تسلیم یا مقاومت متناظر با کرنش $2/0.0\%$ ورق حلقوی (N/mm^2)	σ_y
مقاومت تسلیم واقعی ورق حلقوی (N/mm^2)	σ_{yr}
تنش برشی مجاز پیچ مهاری	τ_a

فصل هفتم

سطح مقطع مهار (mm^2)	A_p
مقدار مجاز خوردگی (mm)	C
قطر متوسط مخزن (mm)	D
بار وارد بر مهار در حالت بهرهبرداری عادی (N)	F
حداکثر ارتفاع تراز سیال در مخزن (mm)	H
فشار در ورق کف	P_b
تابع بسل مرتبه اول نوع اول	$J_1(x)$
لنگر خمی ایجاد شده ($N.mm$)	M_b
لنگر خمی وارد بر ورق کناری ناشی از بار زلزله در ارتفاع مورد بررسی $i=1,2$ ($N.mm$)	M_i
لنگر واژگونی ایجاد شده در اثر زلزله در پایین ورق کناری ($i=1,2$)	M_{iB}
لنگر واژگونی سیال در اثر بخش فوقانی ارتفاع مورد بررسی در زلزله پریود کوتاه ($N.mm$)	M_{Z1}
لنگر واژگونی سیال در اثر بخش فوقانی ارتفاع مورد بررسی در زلزله پریود بلند ($N.mm$)	M_{Z2}
لنگر واژگونی ایجاد شده در اثر شتاب ($N.mm$)	M_O
فشار هیدرودینامیکی وارد بر ورق کف	P_{bs}
توزیع فشار وارد بر دیواره کناری ناشی از شتاب افقی زلزله	P_{HW}
توزیع فشار وارد بر دیواره کناری و کف ناشی از شتاب قائم زلزله	P_{VW}
فشار هیدرودینامیکی وارد بر ورق کناری	P_W
فشار داخلی مخزن ، فشار طراحی (فشار گاز) (MPa)	P_0
بار وارد بر مهار (N)	Q

شعاع متوسط مخزن (mm)	R
ضریب تشدید با ورودی n موج سینوسی	S(n)
ضخامت واقعی ورق کناری مخزن خارجی (mm)	t_{as}
تنش برشی مجاز پیچ مهاری (N/mm^2)	T_n
وزن کل سیال (N)	W_L
وزن مخزن از محل مورد بررسی تا قسمت فوقانی (N)	W_u
وزن مؤثر سیال ناشی از اثرات شتاب	W_1
وزن مؤثر سیال در اثر تغییرمکان	W_2
طول دلخواه در ورق کف	x
فاصله مرکز ثقل کل مخزن تا نقطه مورد بررسی در جهت قائم (mm)	X_s
وزن مؤثر ارتفاع مرکز ثقل سیال ناشی از اثرات شتاب	X_1
وزن مؤثر ارتفاع مرکز ثقل سیال ناشی از اثرات شتاب	X_{IB}
وزن مؤثر ارتفاع مرکز ثقل سیال در اثر تغییرمکان	X_2
وزن مؤثر ارتفاع مرکز ثقل سیال ناشی از اثرات تغییرمکان	X_{2B}
عمق دلخواه(cm)	y
مدول مقطع یک پیچ مهاری (mm^3)	Z_b
زاویه محیطی (رادیان)	ϕ
تنش مجاز کمانش	σ_c
تنش مجاز کمانش	σ_{cr}
تنش کشنشی مجاز پیچ مهاری (N/mm^2)	σ_n
وزن واحد حجم سیال (N/mm^3)	γ

فصل هشتم

سطح مقطع لوله (mm^2)	A_p
عرض موثر واشر (mm)	b_g
قطر داخلی فلنچ	B_f
عرض چرخ (mm)	B_t
طول تراورس (mm)	B_S
در فلنچ چند کاره و $B_f + g_1$ در فلنچ شل	B_l
ضخامت خوردگی سطح داخلی (mm)	c
طول موثر یک آکاردئون (mm)	C_{bl}

ضریب اصلاح تنش خمشی محاسباتی ناشی از جابجایی آکاردئون	C_d
ضریب اصلاح تنش غشایی محاسباتی ناشی از جابجایی آکاردئون	C_f
ضریب اصلاح تنش خمشی محاسباتی ناشی از فشار قطر داخلی لوله (mm)	C_p
قطر متوسط آکاردئون‌ها (mm)	d
قطر خارجی لوله کشی (mm)	d_p
قطر متوسط در وجه تماس واشر (mm)	D
قطر داخلی واشر (mm)	D_e
قطر داخلی مقطع (mm)	D_{gi}
قطر خارجی لوله (mm)	D_i
ضریب خیز مربوط به زمان	D_0
لگاریتم طبیعی(عدد نپر)	D_1
کل جابجایی هر چین آکاردئون	e_{ba}
مقدار آکاردئون‌های جابجایی چین‌ها (mm)	e_{be}
مدول یانگ لوله کشی (N/mm^2)	E
ضریب الاستیسیته طول در دمای عادی مصالح آکاردئون‌ها (N/mm^2)	E'_p
ضریب اصلاح تنش طوقه تعیین شده براساس مقدار g_0 و g_1	f
ضریب تعیین شده براساس مقدار g_0 و g_1	F
ضریب تعیین شده براساس مقدار g_0 و g_1	F_L
نیروی خروجی از بخش محرک (N)	F_m
نیروی ناشی از فشار داخلی (N)	F_p
نیروی کششی محوری ناشی از فشار سیال، وزن محرک، نیروی لرزه‌ای افقی و قائم وارد بر لوله کشی (N)	F_T
ضخامت مادگی لوله (mm)	g_0
ضخامت طوقه وجه پشتی فلنچ (mm)	g_1
عمق مدفون لوله کشی (mm)	h
طول طوقه (mm)	h_h
فاصله بین سطح فوقانی لوله و سطح زمین (mm)	h_p
ارتفاع محل محاسبه تغییرمکان (m)	H
ارتفاع ساختمان بویلر (m)	H_B

ارتفاع ساختمان توربین (m)	H _r
ارتفاع نزدیکترین محل اتصال لوله‌کشی ساختمان بویلر به ساختمان بویلر (m)	H ₀
ضریب تمرکز تنش	i _c
ضریب تشدید تنش درون‌صفحه‌ای محاسبه شده با استفاده از روش مناسب بر حسب نوع اتصال	i _t
ضریب ضربه ترن، خودرو	i _t
ضریب تشدید تنش برونو-صفحه‌ای محاسبه شده با استفاده از روش مناسب بر حسب نوع اتصال	i _o
لنگر دوم سطح لوله‌کشی (mm^4)	I _P
لنگر دوم سطح دیواره لوله‌کشی (mm^4 / mm)	I _t
ثابت، ۰/۴ برای خاک نوع I و ۰/۸ برای سایر انواع خاک	K
ضریب تمرکز تنش برابر با ۱ برای لنگر خمی	K _b
ضریب اصلاح شده جابجایی معادل آکاردنون دوتایی	K _{bl}
ضریب عکس‌العمل افقی (N/mm^2)	K _{HS}
ضریب تمرکز تنش برابر با ۱ برای نیروی غشایی	K _N
ضریب اصلاح آکاردنون با حلقه تقویتی	k _r
ضریب عکس‌العمل در راستای قائم (N/mm^3)	K _{SV}
ضریب است و مقدار آن برابر است با $(t_e + 1) / T + t_f^3 / d$	L
طول مجاز دهانه (m)	L _a
فاصله مرکز ثقل اعضا بین بخش‌های وزنی و محرک‌ها تا بخش‌هایی با خروج از مرکزیت وزنی (mm)	L _b
طول موثر بخش آکاردنونی (mm)	L _{lb}
طول دهانه لوله (m)	L _{ps}
ضریب واشر	m
لنگر خمی، لنگر وارد بر فلنج با در نظر گرفتن فشار معادل در اثر نیروی لرزاهاي (N.mm)	M
لنگر ترکیبی ایجاد شده در اثر وزن لوله در امتداد مقطع و سایر بارهای بهره‌برداری (N.m)	M _A
لنگر ترکیبی ایجاد شده در اثر بارهای متغیر مانند نیروی عکس‌العمل جت شیر اطمینان در مقطع لوله، فشار، نوسان سرعت جريان و نیروی لرزاهاي (N.m)	M _B
لنگر ترکیبی ایجاد شده در اثر تغییر مکان نسبی ناشی از زلزله و انبساط حرارتی بین اتصالات (N.m)	M _C
لنگر خمی درون‌صفحه‌ای ناشی از فشار سیال، وزن محرک، نیروی لرزاهاي افقی و قائم (N.mm)	M _i
لنگر خمی در راستای \hat{n} در واحد طول (N.mm/mm)	M _{ii}
لنگر پیچشی ناشی از نیروی لرزاهاي افقی، قائم وارد و جابجایی تکیه‌گاه لوله‌کشی (N.mm)	M _t
لنگر خمی برونو-صفحه‌ای ناشی از فشار سیال، وزن محرک، نیروی لرزاهاي افقی و قائم (N.mm)	M _o

تعداد لایه‌های آکاردئونی	n_b
تعداد چین‌های آکاردئون‌های یک قطعه	N_b
بار غشایی در راستای i به ازای واحد طول (N/mm)	N_i
عرض واشر (mm)	N_g
فشار طرح (MPa)	P
فشار معادل در زلزله (MPa)	P_e
کل فشار معادل (MPa)	P_{eq}
حداکثر فشار بهره‌برداری (MPa)	P_i
فشار سیال در لوله (MPa)	P_p
بار محور (چرخ) (N)	P_t
فشار دینامیکی افقی آب ناشی از زلزله (N/m)	P_{W1}
فشار دینامیکی قائم آب ناشی از زلزله (N/m)	P_{W2}
گام چین آکاردئون (mm)	q
شعاع متوسط لوله در محل خم (mm)	r_p
شعاع لوله‌کشی (mm)	R
برابر $1.25S_c + 0.25S_h$ فرض می‌شود.	S_A
حداکثر دامنه‌های محوری تنش (N/mm ²)	S_{am}
مقاومت کششی مجاز در دمای عادی مصالح (N/mm ²)	S_c
تنش ناشی از بار در لوله (N/mm ²)	S_E
مقاومت کششی مجاز در دمای طراحی مصالح (N/mm ²)	S_h
مقدار تنش ایجاد شده در اثر فشار داخلی، وزن لوله‌ها و سایر بارهای بهره‌برداری (N/mm ²)	S_L
ضخامت محاسباتی یک لایه آکاردئونی (mm)	t_b
ضخامت فلنچ (mm)	t_f
ضخامت اسمی لوله (mm)	t_n
ضخامت موثر لوله دوخم. ضخامت مجاز خوردگی و صفحه تقویتی در نظر گرفته نمی‌شود. (mm)	t_s
ضخامت پوسته جدار نازک (mm)	t_w
ضریب تعیین شده براساس مقدار $K (= A/B_f)$	T
ضریب تعیین شده براساس مقدار $K (= A/B_f)$	U
ضریب تعیین شده براساس مقدار h_h/h_0 و g_1/g_0	V

h_h / h_0 و g_1 / g_0	ضریب تعیین شده براساس مقدار	V_L
فشار زمین یا بار ترن یا خودرو (N/mm)	W	
ارتفاع چین آکاردئون (mm)	W_b	
وزن محرك (N)	W_H	
فشار زمین (N/mm)	W_S	
بار خودرو (N/mm)	W_m	
وزن محتويات و وزن مرده لوله کشی وارد بر محلی که نیروی لرزاهاي قائم اصلاح شده طراحی محاسبه می شود (N)	W_V	
کل تعییرمکان های محوری (mm)	x	
مقدار تعییرمکان وجه انقباضی در راستای محوری (mm)	x_c	
ضریب تعیین شده براساس مقدار $K = A / B_f$	Y	
مقدار تعییرمکان عمود بر محور (mm)	y	
مدول مقطع (mm^3)	Z	
مدول مقطع لوله کشی (mm^3)	Z_p	
مدول مقطع دیواره لوله	Z_t	
مقدار تعییرمکان نسبی (mm)	Δ	
تعییرمکان ساختمان بویلر (mm)	ΔB	
تعییرمکان ساختمان توربین (mm)	ΔT	
ضریب اصلاح نشت مربوط به فشار داخلی معادل	α_1	
تقویت پاسخ	β_5	
تقویت پاسخ در جهت عمودی	β_6	
ضریب بزرگنمایی پاسخ افقی	β_8	
ضریب بزرگنمایی پاسخ قائم سازه تکیه گاهی لوله کشی	β_9	
ظرفیت تعییرمکان دهانه لوله در راستای مورد طراحی (mm)	δ_a	
ضریب پواسون لوله کشی	v	
زاویه توزیع بار محور (درجه)	θ	
مقدار تعییرمکان خمشی همه محورها (rad)	θ_A	
باربری واشر (N/mm^2)	σ_a	
تنش پیرامونی ایجاد شده در اثر فشار داخلی در لوله کشی (N/mm^2)	σ_{ci}	
تنش پیرامونی ایجاد شده در اثر فشار زمین یا بار ترن یا خودرو در لوله کشی (N/mm^2)	σ_{co}	
محدوه تنش تناوبی تنش خمشی براساس نیروی لرزاهاي افقی، قائم و جابجایی تکیه گاه لوله کشی (N/mm^2)	σ_E	

تنش محوری مادگی لوله	σ_H
تنش محوری ایجاد شده در اثر فشار داخلی لوله کشی (N/mm ²)	σ_{li}
تنش ساعتی فلنچ	σ_R
تنش حلقوی فلنچ	σ_T
تنش در راستای ساعتی	σ_x
تنش در راستای محوری	σ_ϕ
تنش راستای طولی ناشی از فشار، وزن و نیروی ناشی از زلزله (N/mm ²)	σ_ℓ
تنش محوری ایجاد شده در اثر بار ترن یا خودرو در لوله کشی (N/mm ²)	σ_{lo}
تنش محیطی	τ
چگالی مرطوب زمین (N/mm ³)	γ_s
وزن مخصوص آب (N/m ³)	γ_w

فصل نهم

جابجایی گسل	d
فرکانس غالب زمین لرزه	f_e
تابع پروفیل در طول کابل	$f(x)$
فرکانس طبیعی زمین، پی و قاب اصلی ترانس	f_0
فرکانس طبیعی سیستم بوشینگ	f_l
طول موثر کابل	L
طول اولیه کابل	L_{ic}
مقاومت لغزشی در واحد طول	q
کرنش کابل	ϵ_{cable}
کرنش حداکثر	ϵ_D
کرنش کابل در محل عبور گسل	ϵ_F
کرنش زمین	ϵ_G
کرنش کابل در اثر زمین لغزه	ϵ_{LS}
کرنش تقریبی کابل با استفاده از جابجایی دو سازه	ϵ_{L1}

فصل دهم

$$\text{ضریب توزیع مربوط به ضریب برشی طبقه بازو} \quad (A_{AMi})A_{ASi}$$

ضریب توزیع مربوط به ضریب برش	$(A_{Mi})A_{Si}$
ضریب برش در تراز h_{bi} از پی دکل (ضریب لنگر در تراز h_{bi})	$(C_{Mi})C_{Si}$
خیز کابل	d
مدول الاستیسیته اعضای دکل (t/m^2)	E
شتاب گرانش (m/s^2)	g
ارتفاع نیروی وارد از سطح زمین (m)	h
ارتفاع پانل زاز پی دکل (m)	h_{bj}
ارتفاع دکل (m)	H
فاصله پای دکل تا مرکز ثقل آن (m)	H_b
فاصله از ارتفاع h_{bi} تا مرکز ثقل قسمت بالای ارتفاع h_{bi} (m)	H_i
صلبیت خمی دکل در محل اعمال لنگر (معادل با لنگر اینرسی دوم سطح مقطع) (m^4)	I_B
فاصله از نوک تا به بازو (m)	l_x
لنگر خمی بازو در تراز h_{bi} از پی دکل ($t - m$)	M_{Ai}
لنگر خمی در تراز h_{bi} از پی دکل ($t - m$)	M_i
لنگر مقاوم نهایی	M_{oa}
لنگر وارد در مرکز دورانی پایه	M_{ot}
نیروی باد (kN)	P
بار باد در واحد طول (N/m)	P_c
نیروی برشی بازو در تراز h_{bi} از پی دکل (t)	Q_{Ai}
نیروی برشی در تراز h_{bi} از پی دکل (t)	Q_i
ضریب مشخصه پاسخ مربوط به ضریب لنگر طبقه	R_M
ضریب مشخصه پاسخ مربوط به ضریب برش طبقه	R_S
ضریب مشخصه پاسخ مربوط به ضریب برش	$(R_M)R_S$

طول دهانه (m)	S
عمق(فاصله) مرکز دوران در زیر سطح زمین (m)	t_o
نیروی کششی (KN)	T
پریود طبیعی (sec)	T_0
وزن کل دکل (t)	W
وزن بازو در ارتفاع h_{bi} از پای دکل	W_{Ai}
وزن مؤثر رشته سیم‌ها	W_C
وزن دکل از تراز h_{bi} تا قسمت فوچانی (t)	W_i
وزن پانل j (t)	W_j
وزن موثر کابل در یک متر (N / m)	W_L
وزن دکل (kN)	W_s
وزن دکل (t)	W_T

فصل ۱

کلیات

۱- کلیات

راهنمای حاضر بر اساس مدارک مشابه در کشورهای پیشرفته لرزه خیز همراه با تجربیات داخلی و بعضی دیگر از کشورهای مطرح در زمینه مهندسی زلزله تدوین شده است. در راستای بهره‌گیری از تجارب دیگر کشورها سعی شده است که حتی الامکان به مسئله بومی سازی توجه شده و مطالب ساده و کاربردی‌تر ارائه شود.

۱-۱- هدف

هدف این راهنما تأمین ایمنی عمومی و پیشگیری از آسیب جدی به سامانه برق ناشی از زلزله است.

- آسیب‌پذیری در زلزله ماهیت ریسک و خطرپذیری دارد. لذا هدف این راهنما تأمین ایمنی قابل قبول با توجه به ریسک منطقی بر اساس شرایط اقتصادی و ماهیت خطر زلزله و آسیب‌پذیری تأسیسات سامانه برق می‌باشد.
- این راهنما بر آن است تا با رعایت مفاد آن آسیب جدی و مخل ایمنی عمومی پیش نیاید.

۱-۲- گستره کاربرد این راهنما

تأسیسات هدف این راهنما، تأسیسات سامانه برق شامل نیروگاه (حرارتی)، پستها، خطوط انتقال و شبکه توزیع می‌باشد.

- ضوابط این راهنما مشمول نیروگاههای برق آبی و هسته‌ای نمی‌شود.
- تجهیزات مختلف نیروگاههای حرارتی همراه با تجهیزات پستها، دکلهای انتقال نیرو و خطوط و تیرهای توزیع برق از اهم مولفه‌های سامانه‌های برق رسانی مورد طراحی لزمه‌ای در این راهنما هستند.
- برای طراحی لزهای ساختمانهای این سامانه از استاندارد ۲۸۰۰ و مقررات ملی ساختمان ایران استفاده می‌گردد.
- برای طراحی لزهای پی تجهیزات از مباحث مربوط در مقررات ملی ساختمان با استفاده از نتایج مستخرجه از طراحی لزهای تجهیز مربوطه از این راهنما می‌توان استفاده نمود.

۱-۲-۱- سازماندهی این راهنما

این راهنما با هدف و گستره فوق در فصول زیر سازماندهی شده است:

فصل اول: کلیات

فصل دوم: مبانی

فصل سوم: بارگذاری لزهای

فصل چهارم: روش‌های طراحی لزهای و کنترل ایمنی

فصل پنجم: طراحی لزهای و کنترل ایمنی تجهیزات نیروگاهی

فصل ششم: طراحی لزهای و کنترل ایمنی مخازن سوخت نفتی

فصل هفتم: طراحی لرزه‌ای و کنترل ایمنی مخازن سوخت گازی
 فصل هشتم: طراحی لرزه‌ای و کنترل ایمنی لوله‌کشی نیروگاهی
 فصل نهم: طراحی لرزه‌ای و کنترل ایمنی پست‌های برق
 فصل دهم: طراحی لرزه‌ای و کنترل ایمنی خطوط انتقال و توزیع
 فصل یازدهم: مثالها
 پیوستها

۱-۲-۲- نکاتی در کاربرد این راهنمای

با توجه به اینکه این اولین روایت راهنمای مربوطه در کشور می‌باشد بطور طبیعی دارای ابهامات و اشکالاتی نظیر سایر راهنمایها و آیین‌نامه‌های قبلی تدوین شده برای کشور خواهد بود. برای به حداقل رساندن این مشکلات در این راهنمای رفع هرچه سریع‌تر آنها توجه به موارد زیر بسیار موثر و مفید است:

- ۱ - سعی شده است ضوابط این راهنمای استاندارد ۲۸۰۰ تناقضی نداشته باشد.
- ۲ - در صورت کمبود اطلاعات برای بارگذاری تأسیسات برقی هدف در این راهنمای مبحث ششم مقررات ملی ساختمان می‌توان استفاده نمود.
- ۳ - در موارد طراحی مولفه‌های بتنی تأسیسات برقی هدف در این راهنمای بويژه در مورد مشخصات صالح بتنی از مبحث نهم مقررات ملی ساختمان می‌توان استفاده کرد.
- ۴ - مبحث دهم مقررات ملی مکمل این راهنمای رفع کمبودهای مربوط به مولفه‌های فولادی تأسیسات برقی می‌باشد.
- ۵ - از تمامی استفاده‌کنندگان این راهنمای انتظار می‌رود برای تطابق هرچه بهتر و سهولت هرچه بیشتر کاربرد آن در کشور نظرات اصلاحی و پیشنهادات خود را ارسال نمایند تا در ویرایش‌های بعدی آن مورد استفاده تدوین‌کنندگان قرار گیرد.

۱-۳- مراجع

۱-۱- مراجع اصلی این راهنمای

در تدوین این راهنمای استاندارد، آیین‌نامه، راهنمای و دستورالعمل‌های مختلفی استفاده شده است. اهم این مدارک به شرح می‌باشد:

- ✓ استاندارد ۲۸۰۰ ایران: آیین‌نامه طراحی ساختمان‌ها در برابر زلزله، استاندارد ۲۸۰۰، مرکز تحقیقات ساختمان و مسکن، ۲۰۰۵
- ✓ یوروکد ۸: طراحی سازه‌های مقاوم در برابر زلزله، بخش ۴: سیلوها، مخازن و خطوط لوله، کمیته اروپایی استاندارد، ۲۰۰۶
- ✓ ASCE7-05 : حداقل بارهای طراحی ساختمان‌ها و سایر سازه‌ها
- ✓ کمیته JEAC برای خط انتقال: آیین‌نامه خط انتقال هوایی، BCJ1997 (ژاپن) ۲۰۰۰

- ✓ کمیته JEAC برای خط توزیع: آیین نامه توزیع نیرو، ۱۹۹۶ (ژاپن)
- ✓ کمیته JEAC برای خط انتقال: آیین نامه انتقال زیرزمینی، ۲۰۰۰ (ژاپن)
- ✓ شرکت برق توکیو: راهنمای طراحی لرزه‌ای برج انتقال فشار قوی و پی آن، مارس ۱۹۸۴ (UHV)
- ✓ مجله فنی شرکت تلگراف و تلفن ژاپن: تکنولوژی طراحی سازه فضایی (۱-۳)، آگوست، سپتامبر و اکتبر ۲۰۰۷ (NTT)
- ✓ کمیته JEAC برای نیروگاه حرارتی: آیین نامه طراحی لرزه‌ای نیروگاه حرارتی، ۲۰۰۴ (در ژاپن) JEAC 3605-2004
- ✓ کمیته گاز ژاپن: راهنمای طراحی لرزه‌ای خط لوله گاز فشار قوی برای روانگرایی، ۲۰۰۱، JGA-207-01
- ✓ کمیته گاز ژاپن: مراحل پیشنهادی برای مخازن LNG بالای زمین، آگوست ۲۰۰۲
- ✓ انجمن ایمنی گاز فشار قوی ژاپن (KHK): آیین نامه طراحی لرزه‌ای تأسیسات گازی فشار قوی، ۲۰۰۶
- ✓ انجمن معماری ژاپن: راهنمای طراحی لرزه‌ای جرثقیل، می ۱۹۸۹
- ✓ مرکز ساختمان ژاپن (BCJ): راهنمای طراحی سازه‌ای و ساخت دودکش‌ها، ۱۹۸۲ (Stack-82)
- ✓ مرکز ساختمان ژاپن: راهنمای طراحی لرزه‌ای و ساخت تجهیزات ساختمانی، ۱۹۹۷
- ✓ کمیته راه ژاپن: مشخصات پل‌های بزرگراهی، بخش ۵ طراحی لرزه‌ای، ۲۰۰۲

۱-۳-۲- مخفف آیین نامه‌ها

نام کامل	مخفف
آیین نامه ملی ساختمان ایران- طراحی و ساخت ساختمان‌های بتون مقررات ملی ساختمان ایران- مبحث ۱۰، طراحی و ساخت ساختمان‌های فولادی پیشنهادات طراحی مخازن ذخیره و تکیه‌گاه‌های آنها، ژاپن، انجمن معماری ژاپن، ۱۹۹۶	آبا AIJ1996
راهنماهای لرزه‌ای خطوط لوله‌ی آب، ALA، ۲۰۰۵	ALA2005
متهم اطلاعات فنی کاربردی ایالت آلاسکا، شرکت انتقال گاز طبیعی شمال غرب آلاسکا، ۲۰۰۴	ANGTS
API مشخصات L5، مشخصات خط لوله، API ۲۰۰۴	API 5L
API استاندارد ۶۲۰، طراحی و ساخت مخازن ذخیره کم فشار جوش شده بزرگ، API ۲۰۰۵	API620
API استاندارد ۶۵۰، مخازن فلزی جوش شده برای ذخیره سوت، API ۲۰۰۵	API650
حداقل بارهای طراحی ساختمان‌ها و سایر سازه‌ها، ASCE، ۲۰۰۶	ASCE7
راهنماهای طراحی لرزه‌ای سیستم‌های خط لوله گاز و سوت، ASCE، ۲۰۰۶	ASCE1984
طراحی سازه‌های مقاوم در برابر اثرات سلاح‌های انمی، دستورالعمل و گزارش شماره ۴۲، ۱۹۸۵ ASCE	ASCE1985
راهنماهای ارزیابی لرزه‌ای و طراحی تأسیسات پتروشیمی، ۱۹۹۷ ASCE	ASCE1997
آیین نامه ASME برای لوله‌کشی تحت فشار، ۳۱B، ۲۰۰۴، ASME AWWAD100-96	ASME B31
مشخصات طراحی لرزه‌ای تجهیزات ساختمانی، مرکز ساختمان ژاپن، ۱۹۹۷	BCJ1997
یوروکد ۸: طراحی سازه‌های مقاوم در برابر زلزله، بخش ۱، مقررات کلی، تحریکات لرزه‌ای و مقررات	BS EN1998-1

نام کامل	مخلف
ساختمان‌ها، کمیته اروپایی استاندارد، ۲۰۰۴	
یوروکد۸: طراحی سازه‌های مقاوم در برابر زلزله، بخش ۴: سیلوها، مخازن و خطوط لوله، کمیته اروپایی استاندارد، ۲۰۰۶	BS EN1998-4
یوروکد۸: طراحی سازه‌های مقاوم در برابر زلزله، بخش ۵: پی، سازه‌های مرکز و جنبه‌های ژئوتکنیکی. کمیته اروپایی استاندارد، ۲۰۰۴	BS EN1998-5
آین نامه بین‌المللی ساختمان، USA، ۲۰۰۶	IBC2006
آین نامه ملی ایران، بخش ۱۰، طراحی و ساخت ساختمان‌های فولادی استانداردهای نفتی ایران	INBC10
آین نامه طراحی ساختمان‌ها در برابر زلزله، استاندارد ۲۸۰۰، مرکز تحقیقات ساختمان و مسکن، ۲۰۰۵	Iran2800
استاندارد ۵۱۹ ایران، بارگذاری ساختمان‌ها	Iran519
استاندارد B8501 صنعتی ژاپن، مخازن فولادی جوش شده برای ذخیره سوخت، ژاپن، ۲۰۰۱	JIS B8501
شیوه‌های پیشنهادی طراحی مقاوم در برابر زلزله برای خطوط لوله‌ی گاز فشار قوی و متوسط، انجمن گاز ژاپن، ۱۹۸۲	JGA1982
شیوه‌های پیشنهادی برای طراحی مقاوم در برابر زلزله خطوط لوله‌ی گاز فشار قوی، انجمن گاز ژاپن، ۲۰۰۰	JGA2000
شیوه‌های پیشنهادی برای طراحی مقاوم در برابر زلزله خطوط لوله‌ی گاز فشار قوی در مناطق با پتانسیل روانگرایی، انجمن گاز ژاپن، ۱۹۸۲	JGA2001
استاندارد فنی برای خط لوله نفت، انجمن راه ژاپن، ۱۹۷۴	JRA74
مشخصات طراحی پل‌های بزرگراهی، طراحی لرزه‌ای ۷-انجمن راه ژاپن، ۱۹۹۶	JRA V
مشخصات طراحی لرزه‌ای و ساخت تأسیسات فاضلاب، شرکت فاضلاب ژاپن، ۲۰۰۶	JSWA2006
مشخصات طراحی لرزه‌ای و ساخت تأسیسات آبرسانی، شرکت آب ژاپن، ۱۹۹۷	JWWA1997
استاندارد فنی طراحی لرزه‌ای تأسیسات گازی فشار بالا، انجمن ایمنی گاز فشار قوی ژاپن (KHK)، ۲۰۰۰	KHK
راهنمای ایمنی MCA	MCA22
ضمیمه طراحی لرزه‌ای مقررات پدافند آتش‌سوزی، ابلاغیه شماره ۳ وزارت ارتباطات و امور داخلی، ۲۰۰۵	MIAC No.30
طراحی لرزه‌ای پالایشگاه پتروشیمی، وزارت انرژی، نیوزلند، ۱۹۸۱	NZ1981
طراحی لرزه‌ای مخازن ذخیره، وزارت انرژی، پیشنهادات گروه مطالعاتی انجمن ملی نیوزلند برای مهندسی زلزله، نیوزلند، ۱۹۸۶	NZ1986
استاندارد طراحی پل لوله آب، WSP 064-2007، انجمن لوله فلزی آب	WSP064
آین نامه ساختمان‌های یکنواخت، ایالات متحده امریکا، ۱۹۹۷	UBC97

۲ فصل

مبانی

۲- مبانی

اصول و مبانی مربوط به زلزله طراحی، روش‌های طراحی (کنترل ایمنی) و عملکردهای مورد انتظار در این راهنماب طور خلاصه در این فصل ارائه شده‌اند. اهم این مبانی عبارتند از:

۱- دو سطح لرزه‌ای با تبعیت از استاندارد ۲۸۰۰ ایران.

توجه به دو طیف شتاب و سرعت سازگار با شرایط ایران و تطابق با ضوابط استاندارد ۲۸۰۰.

۲- در نظر گرفتن بار زلزله به دو صورت نیروی اینرسی ناشی از اثر شتاب در جرم که در مرکز یا مراکز جرم وارد می‌شود و نیروی ناشی از جابجایی زمین و اعمال آن از طریق اندرکنش خاک و سازه مذکون در آن به بدنه در محدوده تماس با خاک.

۳- استفاده از دو روش طراحی و کنترل ایمنی شامل روش تنش مجاز در محدوده ارتقایی رفتار مصالح برای سطح خطر-۱ و روش شکل‌پذیر در محدود غیرارتقایی رفتار مصالح برای سطح خطر-۲.

۴- استفاده از دو سطح عملکرد به صورت قابلیت استفاده بی وقفه و حداقل وقفه، از نظر رفتار مولفه‌های سازه‌ای در اولی رفتار در محدوده ارتقایی و بدون آسیب می‌ماند، در حالیکه در دومی رفتار از مرز تسلیم عبور نموده ولی به حد مجاز تنگی‌شکل خمیری مشخصی محدود می‌گردد. این محدوده مجاز بعد از تسلیم را شکل‌پذیری قابل قبول راهنمای بر اساس آزمایشات یا تجربیات حاصله تعیین می‌نماید.

موارد فوق در زیر طور خلاصه شرح داده شده است.

۲-۱- زلزله طراحی

۲-۱-۱- سطوح خطر زلزله و دوره بازگشت آنها

دو سطح خطر زلزله که در ذیل آمده است باید برای طراحی لرزه‌ای تجهیزات سامانه برق رسانی در نظر گرفته شود:

سطح خطر-۱: حداکثر زلزله بهره‌برداری (MOE) که مخفف Maximum Operational Earthquake می‌باشد.)

(احتمال وقوع ۵۰٪ در ظرف ۵۰ سال عمر مفید مفروض)

سطح خطر-۲: حداکثر زلزله طرح (MCE) که مخفف Maximum Considerable Earthquake می‌باشد.)

(احتمال وقوع ۱۰٪ در ظرف ۵۰ سال عمر مفید مفروض)

۱- در این راهنما عمر مفید مولفه‌های شریانهای حیاتی شامل تأسیسات برق رسانی هدف طور نسبی حدود ۵۰ سال در نظر گرفته شده است. حداکثر زلزله بهره‌برداری ممکن است یک یا دو بار در طول مدت سرویس‌دهی تأسیسات برق اتفاق بیفتد. حالات خرابی غیر قابل پذیرش در بهره‌برداری از تأسیسات به سطح خطر-۱ محدود گردیده و بهره‌برداری از سامانه برق با اطمینان ادامه می‌یابد. در این سطح خطر احتمال وقوع ۵۰٪ ظرف مدت ۵۰ سال، مطابق با دوره بازگشت ۷۲ سال می‌باشد. در استاندارد ۲۸۰۰، احتمال تجاوزی حدود ۹۹/۵ درصد در نظر گرفته شده است که دوره بازگشت حدود ۱۰ ساله را به دست

می‌دهد. حداکثر زلزله طرح، زلزله‌ای است که احتمال وقوع کمتر و دوره بازگشت طولانی‌تری نسبت به زلزله MOE داشته باشد. رفتار مؤلفه‌های سامانه برق در سطح خطر ۲ در حالت حداقل وقفه بوده و کل سیستم، حتی اگر عضوی صدمه ببیند، باید پایداری خود را حفظ نماید. احتمال ۱۰٪ وقوع زلزله‌ای بزرگ‌تر از این زلزله، ظرف ۵۰ سال مطابق با دوره بازگشت ۴۷۵ ساله می‌باشد.

از نظر مدیریت ریسک، ۱۰ درصد احتمال تجاوز، کاربرد بسیار وسیع و مناسبی از نظر اقتصادی با رعایت اینمی‌لازم دارد. برای بعضی از سازه‌ها نظیر پل‌ها که عمر آنها تا حدود ۲۵۰ سال نیز در نظر گرفته می‌شود، این احتمال تجاوز در ریسک، دوره بازگشت ۲۴۷۵ ساله را به دست می‌دهد که برای سازه‌های با عمر مفید ۵۰ سال نظیر ساختمان‌ها و شریان‌های حیاتی، احتمال تجاوزی حدود ۲ درصد را به دست می‌دهد که اقتصادی نیست.

دقت شود که واژه MCE در بعضی از زمینه‌ها نظیر سدسازی به معنی حداکثر زلزله قابل باور یا ممکنه (Maximum Credible Earthquake) نیز آمده است. این معنی با مفهوم به کار رفته در این راهنمای از فصل دوازدهم ASCE-7-05 برگرفته شده و به معنی حداکثر زلزله طراحی می‌باشد متفاوت است.

۲- برای تخمین تغییر شکل ماندگار زمین PGD (Permanent Ground Deformation) ناشی از جابجایی گسل (گسلش)، روانگرایی و زمین لغزش، بزرگ‌ای زلزله M و فاصله از گسل R مورد نیاز می‌باشد. M، R و دیگر پارامترهای لرزه‌ای وابسته، با روابط تحلیلی یا تجربی حاصل از تحلیل خطر منطقه مورد نظر طراح بویژه با توجه به سوابق لرزه‌خیزی آن بدست می‌آیند.

۲-۱-۲- طیف‌های طراحی لرزه‌ای

۱- طیف‌های پاسخ طراحی لرزه‌ای برای تجهیزات برقی باید با توجه به پریود طبیعی و خصوصیات میرایی سیستم‌های سازه‌ای محاسبه گردند. بار ناشی از زلزله نیز باید با استفاده از این طیف‌ها محاسبه شود.

۲- تحلیل‌های دینامیکی طیفی برای کنترل اینمی لرزه‌ای سیستم‌های سازه‌ای باید با ترکیب مشخصات طیفی مodal انجام شود.

۳- یکی از دو طیف پاسخ ذیل باید برای طراحی تجهیزات برق رسانی به کار رود:

الف- طیف پاسخ شتاب برای محاسبه نیروی اینرسی ناشی از جرم مولفه‌های روزمینی

ب- طیف پاسخ سرعت برای محاسبه نیروی اندرکنشی ناشی از تغییر مکان خاک بر بدنه مولفه‌های مدفون

۱- تحلیل طیفی

۱-۱- در راهنمای حاضر، طیف پاسخ الاستیک برای میرایی ۵٪ بکار می‌رود.

۱-۲- طیف پاسخ برای طراحی لرزه‌ای از روش‌های زیر بدست می‌آید:

(الف) طیف‌های ویژه ساختگاه

طیف‌های ویژه ساختگاه با توجه به فعالیتهای لرزه‌ای، گسلهای فعال و شرایط ژئوموروفولوژی محاسبه می‌گردند.

برای تهیه طیف ویژه ساختگاه از ضوابط استاندارد ۲۸۰۰ استفاده می‌شود. برای سازه‌های مدفون لازم است که طیف سرعت نیز استخراج گردد.

(ب) طیف‌های احتمالاتی یا تعیینی براساس ثبت زلزله‌های نیرومند

روش‌های احتمالاتی کاربرد مهندسی بیشتری دارند. طیف‌های حاصل از این روش‌ها، بطور معمول مقادیر کمتری نسبت به مشابه خود از روش‌های تعیینی دارند.

بطور کلی در تعیین طیف‌های طراحی، احتمال وقوع زلزله براساس حرکت‌های قوی زمین لحاظ گردیده است. طیف‌های تعیینی اغلب برای طراحی محافظه‌کارانه و ایمن بکار می‌روند.

۲- تحلیل‌های پاسخ دینامیکی، روشی برای کنترل ایمنی لرزه‌ای سازه، به خصوص سازه‌های با رفتار پیچیده تحت اثر زلزله می‌باشند. این تحلیل‌ها گران و زمان بربوده و تنها زمانی بکار می‌روند که استفاده از روش طیف‌های پاسخ، سخت و نامطمئن باشد.

۳- در خصوص طیف موارد زیر را باید در نظر داشت:

۳-۱- طیف طرح شتاب برای سازه‌های روزمره بکار می‌رود. هر چند این طیف برای سیستم یک درجه آزادی تهیه شده است اما با بکارگیری روش تحلیل مودال می‌توان از آنها برای سیستم‌های چند درجه آزادی استفاده مناسبی به عمل آورد. در این راهنمای برای محاسبات متکی بر طیف شتاب، از طیف موجود در ویرایش معتبر استاندارد ۲۸۰۰ استفاده می‌شود.

۳-۲- طیف‌های طرح سرعت برای سازه‌های زیرزمینی از قبیل خطوط لوله، تونلهای پوشش‌دار و مخازن زیرزمینی که عملکرد آنها با رفتار لرزه‌ای خاک اطراف کنترل می‌شود، بکار می‌روند. بارگذاری لرزه‌ای چنین سازه‌هایی بر مبنای پاسخ تغییرمکان صورت می‌گیرد که در آن ابتدا تغییرشکل خاک در موقعیت سازه‌های مدفون با بکارگیری طیف پاسخ سرعت محاسبه و سپس برهمنش بین زمین و سازه‌های مدفون با روش‌های استاتیکی تعیین می‌شود. طیف‌های طرح سرعت برای طراحی لرزه‌ای سازه‌های زیرزمینی به معنای حداقل پاسخ لایه سطحی زمین با مدلی مشخص و تحت ورودی اعمالی شتاب زمین در کف آن، می‌باشد.

۳-۳- طیف‌های طرح شتاب و سرعت باید برای طراحی لرزه‌ای تجهیزات برق سازگار باشند. در این راهنمای برای اولین ویرایش و بطور تقریبی طیف پاسخ سرعت سازگار با آیین‌نامه ۲۸۰۰ پیشنهاد شده است. برای ویرایش‌های بعدی لازم است که برای نگاشتهای ایران یک سری طیف سرعت (نظیر طیف شتاب استاندارد ۲۸۰۰) تهیه شود.

۱-۲-۳- توزیع شدت لرزه‌ای در طبقات

برای تجهیزات واقع بر روی سایر تجهیزات یا بر روی طبقات بالایی ساختمان‌ها از شدت لرزه‌ای افقی طبقه استفاده می‌گردد. برای توزیع شدت لرزه‌ای افقی (K_H)، می‌توان از ضریب توزیع ساده شده A_i که در رابطه (۱-۲) نشان داده شده است، استفاده نمود. برای این منظور این ضریب در هر طبقه در K_H ضرب می‌گردد.

$$A_i = 1 / \sqrt{\frac{H - x}{H}} \quad (1-2)$$

H : ارتفاع کل طبقات

x : ارتفاع طبقات فوقانی طبقه i

۱-۴- شدت لرزه‌ای قائم طرح

ورودی‌های لرزه‌ای جهت قائم باید برای تجهیزاتی که رفتار آن‌ها به مؤلفه قائم زلزله حساس است مانند مبدل‌های حرارتی قائم، تجهیزات حفاظت و کنترل، جرثقیل، مخازن سوخت نفتی و گازی، لوله کشی نیروگاه، بوشینگ و تابلوهای متصل بر دیوار و دکل‌ها و پایه‌ها در نظر گرفته شود. شدت لرزه‌ای قائم طرح K_V توسط رابطه (۲-۲) بدست می‌آید:

$$K_V = K_H / 2 \quad (2-2)$$

در اینجا K_H شدت لرزه‌ای طراحی در جهت افقی می‌باشد.

در این راهنمای حسب مورد برای هر یک از مؤلفه‌ها که در فصول ۵ به بعد ارائه شده، مؤلفه‌های افقی و قائم زلزله آنها محاسبه شده است. در اکثر قریب به اتفاق موارد زلزله قائم نصف زلزله افقی منظور شده است.

۲-۲- روند کنترل ایمنی لرزه‌ای (روش‌های طراحی)

در این راهنمای طراحی لرزه‌ای با روشنایی زیر انجام می‌گردد:

۱- روش طراحی تنفس مجاز باید برای سطح خطر-۱ انتخاب شود.

۲- روش ظرفیت نیروی افقی که می‌تواند برای سطح خطر-۲ با احتساب حداقل نیروهای جانبی در اثر تغییر شکل سازه‌ای در حالت نهایی، به کار رود.

۳- روش طراحی شکل‌پذیر که برای سطح خطر-۲، نسبت شکل‌پذیری موجود سازه را با نسبت شکل‌پذیری مجاز مقایسه می‌نماید.

توجه:

- برای تجهیزاتی که در جدول ۳-۳ دارای اهمیت خیلی زیاد و یا زیاد هستند حسب قضاوت مهندسی طراح و برای کنترل روش‌های ارائه شده در فوق از روشنایی دینامیکی مناسب استفاده می‌گردد.

۱- برای زلزله بهره‌برداری، تنفس‌های ایجاد شده در اعضای سازه با تنفس مجاز در محدوده الاستیک مقایسه می‌گردد. بطور کلی روش طراحی تنفس مجاز باید برای مواردی بکار رود که از سطح خطر-۱ استفاده می‌شود.

۲- اساس روش طراحی شکل‌پذیر این است که برای لرزه‌ای قویتر با شتاب (و سرعت) زیاد، به سازه اجازه جذب انرژی بیشتری (بعد از نقطه تسلیم مصالح) داده شده تا مؤلفه‌های آن بتوانند کرنش زیادتری را جذب نمایند. ضریب شکل‌پذیری مورد محاسبه با روابط این راهنمای با ضریب شکل‌پذیری مجاز مربوطه کنترل می‌گردد.

۳- عملکردهای مورد انتظار در این راهنمای

دو حالت حدی برای عملکرد مؤلفه‌های سامانه برق در مقابل سطح خطرهای لرزه‌ای داده شده در این راهنمای در نظر گرفته شده است:

- قابلیت استفاده بی‌وقفه (تا قبل از تسلیم مصالح)

برای زلزله بهره‌برداری در سطح خطر-۱، مولفه‌های طراحی شده باید دچار هیچ آسیب موثری بر عملکرد سامانه برق رسانی شده و عملکرد آنها بدون وقفه ادامه یابد.

- آستانه فرو ریزش (بعد از تسلیم مصالح)

برای زلزله طرح در سطح خطر-۲، مولفه‌های طراحی شده ممکن است دچار آسیب فیزیکی موثر بر عملکرد ولی بدون اثر بر زندگی افراد، محیط زیست و پایداری سامانه برق رسانی شود. آسیب واردہ باید هر چه زودتر قابل رفع بوده و عملکرد مختلف شده به حالت اولیه باز گردد.

فصل ۳

بارگذاری لردهای

۱-۳- ا نوع بار

بارهای محاسباتی در تجهیزات سامانه‌های برق رسانی می‌تواند از انواع زیر باشد:

- بار مرده ناشی از وزن تجهیز و ملحقات آن
- وزن ناشی از مواد داخلی بعضی تجهیزات
- فشار داخلی محتوی بعضی تجهیزات
- فشارهای هیدرواستاتیک و هیدرودینامیک ناشی از آب
- فشارهای ناشی از خاک برای تجهیزات مدفعون
- بار ناشی از حرارت
- بارهای جانبی و قائم ناشی از زلزله
- بار باد

در مورد انواع بار با توجه به نوع تجهیزات سامانه برق، ملاحظات زیر لازم می‌باشد:

- ✓ بار باد ببروی سازه‌های مدفعون اثری ندارد.
- ✓ برخلاف ساختمانها سازه‌های تأسیسات برق دارای بار زنده انسانی نیستند.
- ✓ تجهیزاتی نظیر بویلر، مخازن سوخت، خطوط لوله و لوله‌کشی بین تجهیزات بطور عمده تحت اثر فشارمود و فراوردهای داخل خود هستند.
- ✓ بویلر، دودکش و لوله‌کشی بین تجهیزات تحت اثر بارهای ناشی از حرارت‌های زیاد قرار دارند.

۲-۳- محاسبه وزن‌ها

برای محاسبه وزن واحد مصالح و بارهای مختلف از مبحث ششم مقررات ملی ساختمان شود.

۳-۳- ترکیب بارها

در این راهنمای حسب هر تجهیز بارهای وارد و نحوه ترکیب آنها در فصول ۵ تا ۱۰ داده شده است. در صورت عدم ارائه ترکیب بارگذاری، ضرایب بارها یک منظور گردیده است.

۴-۳- انواع تجهیزات از نظر محل استقرار

تجهیزات سامانه‌های برق رسانی بطور کلی بصورت زیر استقرار می‌یابند:

- تجهیزات هوایی
- تجهیزات روی زمین

- تجهیزات زیرزمینی و مدفون

۳-۵- روش‌های اعمال بارهای لرزاهاي

بارهای ناشی از زلزله روی تجهیزات سامانه‌های برق به طرق زیر به آنها وارد می‌شود:

- ۱- نیروی اینرسی ناشی از جرم تجهیزات که حرکت آنها در خاک مقید نشده باشد. این نیرو بطور عمده در سازه‌های هوایی و روزمنی ایجاد و محاسبه می‌گردد.
- ۲- نیروی ناشی از تغییرمکان خاک بستر که بر روی سازه‌های زیرزمینی و بویژه مدفون اعمال می‌گردد. در این حالت تغییرمکان خاک در ضربی فتریت بین خاک و سازه ضرب شده و نیروی خود را بر تجهیز اعمال می‌نماید.
- ۳- در بعضی از موارد برای سازه‌هایی که در زمین مدفون هستند ولی وضعیت آنها طوریست که جرمشان و مواد داخل آنها می‌توانند در اثر تکان زمین ایجاد نیروی اینرسی نماید، هردو نیروی اینرسی و نیروی ناشی از اثر تغییر شکل خاک بستر بر روی تجهیز باید در نظر گرفته شود.

۳-۶- آثار زلزله بر تجهیزات سامانه برق

آثار زلزله بر تجهیزات را می‌توان به دو اثر زیر تقسیم‌بندی نموده و محاسبات مربوط به بارگذاری لرزاهاي ناشی از هر یک را انجام داد:

- ۱- اثر دینامیکی زلزله ناشی از ارتعاشات زمین (انتشار امواج لرزاهاي در خاک) که حاصل آن سه پاسخ زیر می‌باشد:
 - شتاب
 - سرعت
 - جابجایی
- ۲- اثر استاتیکی یا همان مخاطرات ژئوتکنیکی که تغییرشکلهای ماندگار در زمین ایجاد می‌کنند شامل:
 - روانگرایی (و گسترش جانبی)
 - زمین‌لغزه
 - گسلش

۳-۷- روش‌های محاسبه بارهای لرزاهاي وارد بر تجهیزات

- (۱) برای محاسبه بار وارد بر تجهیزات هوایی و روزمنی سامانه برق باید نیروی اینرسی ناشی از اثر شتاب زلزله بر جرم تجهیز محاسبه گردد. برای این منظور اغلب از «روش شبه استاتیکی» استفاده می‌گردد. روش شبه استاتیکی برای بدست آوردن تغییرمکان و تنفس در یک سازه با صلبیت زیاد و با اعمال بار زلزله بصورت یک بار استاتیکی معادل، استفاده می‌شود. بار استاتیکی معادل بصورت حاصل ضرب ضربی زلزله در جرم سازه به دست می‌آید. علاوه در صورت

لزوم می‌توان با توجه به شکل، مشخصات ارتعاشی، اهمیت تأسیسات و مود خرابی سازه، از روش‌های زیر نیز استفاده کرد:

- روش شبیه استاتیکی اصلاح شده

در روش شبیه استاتیکی اصلاح شده، با توجه به پریود طبیعی و میرابی سازه، نیروی اینرسی ناشی از زلزله از ضرب ضریب زلزله اصلاح شده در جرم سازه محاسبه می‌شود. برای مواردی که پریود تجهیز بلند و یا دارای پیچیدگی سازه‌ای باشد (عدم حاکمیت مود اول ارتعاش سازه) از "روش شبیه استاتیکی اصلاح شده" استفاده می‌شود.

- روش دینامیکی (طیفی یا تاریخچه زمانی)

علاوه بر دو روش فوق، برای کنترل روش‌های ساده استاتیکی و درک دقیق‌تر رفتار لرزه‌ای مولفه‌ها و اطمینان از طراحی صورت گرفته، از روش دینامیکی طیفی یا تاریخچه زمانی استفاده می‌شود.

در روش‌های فوق قابلیت اعتماد نتایج به مناسب بودن شتاب‌های ورودی و ضرایب انتخاب شده برای میرابی دارد.
(۲) برای محاسبه نیروی ناشی از جابجایی زمین بر سازه‌های مدفون نیز، "روش پاسخ تغییرمکان" بکار می‌رود. در این روش پس از محاسبه جابجایی زمین در نقاط مورد نظر، با تعیین ضریب فنریت خاک اطراف سازه، نیروی وارد به آن محاسبه می‌گردد:

- در این روش از طیف سرعت سازگار با طیف شتاب ۲۸۰۰ و یا طیف سرعت ویژه ساختگاه استفاده می‌شود.
- در این روش می‌توان با محاسبه کرنش خاک اطراف سازه، با توجه به میزان چسبندگی بین سازه مدفون و خاک اطراف آن، کرنش سازه مدفون را از روی کرنش زمین محاسبه نمود. جزئیات این روش در راهنمای بارگذاری و تحلیل لرزه‌ای شریان‌های حیاتی ایران آورده شده است.

۳-۷-۱- ضریب اهمیت

در تمامی روش‌های محاسبه نیروی زلزله، ضریب اهمیت سازه براساس اهمیت آن با β_1 نشان داده شده و از جدول (۱-۳) تعیین می‌گردد.

جدول ۳-۱ ضریب اهمیت β_1

دسته اهمیت	خیلی زیاد	زیاد	متوسط	کم
β_1	۱/۴	۱/۲	۱	۰/۸

نیاز به بهره‌برداری بی وقفه از مولفه مورد طراحی و ضرورت اینمنی آن بعد از زلزله نقش مهمی در بالا بردن ضریب اهمیت آن مولفه در سامانه برق دارد.

تعاریف رده‌های مختلف اهمیت در جدول (۲-۳) و نیز طبقه‌بندی اهمیتی تجهیزات مختلف در جدول (۳-۳) داده شده است.
در مواردی که دو سطح اهمیت متصور باشد، قضاوت کارفرما سطح اهمیت نهایی را مشخص می‌نماید.

جدول ۳-۲ تعریف رده‌های مختلف اهمیت

شرح	اهمیت
مولفه‌هایی که خرابی آنها موجب گسترش تلفات وسیع جانی و مالی و خسارت به تجهیزات و محیط زیست گردد. همینطور مولفه‌هایی که توقف عملکرد آنها، می‌تواند موجب خسارت‌های ثانویه جانی، مالی و زیست محیطی شود.	خیلی زیاد
مولفه‌هایی که خرابی آنها می‌تواند موجب تلفات و خسارات جانی، مالی و زیست محیطی گردد.	زیاد
مولفه‌هایی که خرابی آنها موجب قطع تولید برق گردد.	متوسط
مولفه‌هایی که خرابی آنها تأثیر قابل توجهی بر سامانه برق نداشته و موجب تلفات و خسارات مالی و زیست محیطی نگردد.	کم

جدول ۳-۳ جدول طبقه‌بندی اهمیت تأسیسات مختلف

کم	متوسط	زیاد	خیلی زیاد	تجهیزات		اهمیت
				بویلر و ملحقات	توربین و ملحقات	
	x			جرثقیل	دوکش	تجهیزات نیروگاهی
	x			تجهیزات کنترل و حفاظت	مخازن سوخت نفتی	
	x	x		مخازن سوخت گازی	تجهیزات لرزه‌ای لوله کشی نیروگاهی	
x	x	x	x	ترانسفورماتور	مقره	تجهیزات پست‌های برقی
x	x	x	x	بوشینگ	کابل	
x	x	x	x	سایر تجهیزات	خطوط انتقال و توزیع	
	x	x				

در حالت کلی تعیین اهمیت تجهیزات فوق با توجه به دیدگاهها و شرایط کارفرما نسبت به جدول فوق اولویت دارد.

۳-۷-۲- نسبت شتاب مبنای طرح

نسبت شتاب مبنای طرح β_2 با توجه به محل ساختگاه از جدول (۴-۳) تعیین می‌شود.

جدول ۳-۴ نسبت شتاب مبنای طرح (β_2)

پهنه لرزه‌خیزی	خیلی شدید	شدید	متوسط	کم
β_2	$0/35$	$0/30$	$0/25$	$0/20$

۳-۷-۳- ضریب بزرگنمایی لایه‌های خاک

اندازه نیروی زلزله وارد بر سازه بستگی به بزرگنمایی لایه‌های خاک محل (از سنگ بستر تا سطح زمین) دارد.

درجه بزرگنمایی بر حسب لایه‌های خاک با ضریب بزرگنمایی β_3 معین می‌گردد.

جدول (۳-۵) ضریب بزرگنمایی را برای انواع زمین (تیپ خاک) مطابق استاندارد ۱۲۸۰۰ ارائه می‌دهد.

جدول ۳-۵ ضریب بزرگنمایی ساختگاه (β_3)

نوع خاک	نسبت شتاب مبنای طرح	I	II	III	IV
کم	$1/5$	$1/5$	$1/75$	$2/25$	$2/25$
متوسط	$1/5$	$1/5$	$1/75$	$1/75$	$2/25$
شدید	$1/5$	$1/5$	$1/75$	$1/75$	$1/75$
سیار شدید	$1/5$	$1/5$	$1/75$	$1/75$	$1/75$

نیروی زلزله طراحی که از روش شبه استاتیکی و شبه استاتیکی اصلاح شده بدست می‌آید به صورت زیر حساب می‌شود.

۴-۷-۳- محاسبه ضریب زلزله

۴-۷-۳-۱- ضریب زلزله افقی طراحی

ضریب زلزله افقی طراحی K_{SH} از رابطه (۱-۳) بدست می‌آید.

$$K_{SH} = \beta_4 K_H \quad (1-3)$$

K_{SH} : ضریب زلزله افقی طراحی است. در صورتی که K_{SH} از رابطه فوق کمتر از $0/2$ بدست باید آن را برابر $0/2$ در نظر می‌گیرند.

K_H : ضریب شدت زلزله افقی در سطح زمین (نحوه بدست آوردن این ضریب در رابطه (۴-۳) ارائه شده است).

β_4 : ضریب بزرگنمایی پاسخ افقی. مقدار این ضریب بستگی به ارتفاع سازه از روی زمین دارد. برای ارتفاع کوچکتر مساوی ۱۶

متر برابر ۱ است. برای ارتفاع بالای ۱۶ متر برابر است با $0.0125h + 0.8$:
 h : مقدار ارتفاع سازه (متر) و از سطح زمین محاسبه می‌شود.

۳-۷-۴-۲- نیروی زلزله افقی طراحی

نیروی زلزله افقی طراحی (نیروی استاتیکی معادل در روش شبه استاتیکی) F_{SH} ، از رابطه (۲-۳) بدست می‌آید:

$$F_{SH} = K_{SH} W_H \quad (2-3)$$

: نیروی زلزله افقی طراحی (N)

: ضریب زلزله افقی طراحی

: وزن سازه + بار مرده و زنده (N)

۳-۷-۵- روش شبه استاتیکی اصلاح شده

در مورد سازه‌هایی که پریود طبیعی آنها بلند است، استفاده از روش شبه استاتیکی اصلاح شده ارجح می‌باشد. بعد از محاسبه ضریب زلزله از روش شبه استاتیکی اصلاح شده، برای محاسبه نیروی زلزله افقی یا قائم، باید آن را در وزن سازه (تجهیز) مربوطه ضرب کنیم.

۳-۷-۵-۱- ضریب زلزله افقی اصلاح شده طراحی

ضریب زلزله افقی اصلاح شده با استفاده از رابطه (۳-۳) بدست می‌آید:

$$K_{MH} = \beta_5 K_H \quad (3-3)$$

: ضریب زلزله افقی اصلاح شده، طراحی است. در صورتی که K_{MH} از $1/2$ کمتر شود مقدار آن برابر $1/2$ اختیار می‌گردد.

: ضریب شدت زلزله افقی در سطح زمین

$$K_H = 0.3 \cdot \beta_0 \cdot \beta_1 \cdot \beta_2 \cdot \beta_3 \quad (4-3)$$

β_5 : ضریب بزرگنمایی پاسخ افقی که در راهنمای بارگذاری و تحلیل لرزه‌ای شریان‌های حیاتی ایران آورده شده است.

β_0 : پارامتر سطح زلزله

برای سطح خطر-۱-۵/۱:

برای سطح خطر-۲-۱:

β_1 و β_2 و β_3 : در جداول ۱-۳، ۳-۴ و ۳-۵ داده شده است.

۳-۷-۵-۲- ضریب زلزله قائم اصلاح شده (K_{MV})

از رابطه (۵-۳) بدست می‌آید:

$$K_{MV} = \beta_6 K_V \quad (5-3)$$

برای تجهیزاتی که از نظر اهمیت، در رده متوسط و کم اهمیت قرار می‌گیرد، اعمال شتاب قائم لازم نیست.

۳-۵-۷-۳- نیروی زلزله اصلاح شده

نیروی زلزله اصلاح شده از ضرب ضریب زلزله اصلاح شده در وزن سازه همانند رابطه‌های (۶-۳) و (۷-۳) بدست می‌آید.

$$F_{MH} = K_{MH} \times W_H \quad (6-3)$$

$$F_{MV} = K_{MV} \times W_H \quad (7-3)$$

K_{MH} : ضریب زلزله افقی اصلاح شده با استفاده از رابطه (۳-۳)

K_{MV} : ضریب زلزله افقی اصلاح شده با استفاده از رابطه (۵-۳)

F_{MV} و F_{MH} : نیروی زلزله افقی و قائم اصلاح شده (N)

W_H : وزن سازه + بار مرده و زنده (N)

۶-۷-۳- روش دینامیکی

روش دینامیکی معمولاً برای کنترل روش‌های شبیه دینامیکی و یا برای تحلیل سازه‌های بسیار مهم یا پیچیده مورد استفاده قرار می‌گیرد. در این روش مدل ریاضی تجهیز تحت بارگذاری طیفی و یا تاریخچه زمانی و با حل معادلات تعادل دینامیکی تحلیل می‌شود.

۶-۷-۱- روش طیف پاسخ

۱- شتاب پاسخ افقی برای هر مود ($A_H(T)$) از رابطه (۸-۳) بدست می‌آید:

$$A_H(T) = \beta_5 \cdot \alpha_H \quad (8-3)$$

۲- $A_H(T)$: شتاب پاسخ افقی در پریود طبیعی (T) (برحسب (cm/s^2))

β_5 : ضریب بزرگنمایی پاسخ افقی (برای سهولت و با محافظه کاری، در پریودهای کمتر از $5/0$ ثانیه، $1/5$ و برای پریودهای بزرگتر از $3/0$ ثانیه، $7/5$. در نظرگرفته می‌شود.)

α_H : شتاب افقی در سطح زمین که از رابطه (۹-۳) بدست می‌آید:

$$\alpha_H = 350 \cdot \beta_1 \cdot \beta_2 \cdot \beta_3 \quad (9-3)$$

۳- شتاب پاسخ قائم برای هر مود ($A_V(T)$) براساس رابطه (۱۰-۳) بدست می‌آید:

$$A_V(T) = \beta_6 \cdot \alpha_V \quad (10-3)$$

$A_V(T)$: شتاب پاسخ قائم در پریود طبیعی (T) (برحسب (cm/s^2))

β_6 : ضریب بزرگنمایی پاسخ قائم (برای برج با پایه دامنی $1/5$ و برای سایر سازه‌ها 2 می‌باشد.)

α_V : شتاب قائم در سطح زمین که از رابطه (۱۱-۳) بدست می‌آید:

$$\alpha_V = 175 \cdot \beta_1 \cdot \beta_2 \cdot \beta_3 \quad (11-3)$$

۳-۷-۶-۲- روشن تحلیل پاسخ تاریخچه زمانی

در تحلیل پاسخ تاریخچه زمانی، باید موج های مناسبی را انتخاب کرد که حداقل شتاب افقی آن براساس محل به یکی از روش‌های زیر بدست می‌آید:

۱- در صورت استفاده از امواج ورودی بر روی سنگ بستر

$$\alpha_{HT} = 350 \cdot \beta_1 \cdot \beta_2 \quad (12-3)$$

α_{HT} : شتاب افقی حداقل روی سنگ بستر

۲- در صورت استفاده از امواج ورودی بر روی سطح زمین

$$\alpha'_H = \alpha_H = 350 \cdot \beta_1 \cdot \beta_2 \cdot \beta_3 \quad (13-3)$$

α_H : شتاب افقی حداقل روی سطح زمین در تحلیل طیفی

α'_H : شتاب افقی حداقل روی سطح زمین در تحلیل تاریخچه زمانی

۳-۷-۶-۳- روشن پاسخ تغییرمکان (برای سازه‌های مدفون)

این روش براساس تئوری تیر روی بستر الاستیک تدوین شده است. در این روش با استفاده از طیف پاسخ سرعت زلزله و با در نظر گرفتن مود اول ارتعاش برشی خاک مقدار تغییر مکان محاسبه شده و با توجه به فریت خاک به نیروی موثر به سازه تبدیل می‌گردد.

۳-۸-۱- بارگذاری ناشی از مخاطرات ژئوتکنیکی زلزله بر تجهیزات

علاوه بر تکانهای زمین در زلزله، تجهیزات بایستی در مقابل بارهای ناشی از مخاطرات ژئوتکنیکی ناشی از زلزله نیز ایمن باشند.
اهم این مخاطرات عبارتند از روانگرایی (و گسترش جانبی)، زمین‌لغزه و گسلش.

۳-۸-۱- روانگرایی

گرچه در ایران پتانسیل روانگرایی زیاد نمی‌باشد لیکن در مناطق ساحلی دریاها و رودخانه‌ها و در قسمتهایی که بافت ماسه ریزدانه همراه با سطح آب زیرزمینی بالا باشد این مخاطره تجهیزات مختلف از جمله انواع مدفون آنرا تهدید می‌نماید.

- طراحی لرزه‌ای در مقابل روانگرایی باید با بررسی عملکرد لرزه‌ای در اثر تغییرمکان ماندگار زمین، ناشی از روانگرایی و با توجه به شرایط زمین انجام شود.

- مناطقی که نیاز به طراحی لرزه‌ای در مقابل روانگرایی دارند، باید بر اساس زمین‌شناسی و ژئومورفولوژی، وضعیت زمین و موقعیت نصب تأسیسات برقی انتخاب شوند.

تغییرمکان ماندگار زمین ناشی از روانگرایی باید به صورت‌های زیر در نظر گرفته شود.

- تغییرمکان افقی ناشی از گسترش جانبی زمین بر سطح شیبدار زمین
- تغییرمکان افقی ناشی از گسترش جانبی زمین پشت دیوار ساحلی

- نشست زمین

اثر روانگرایی در این راهنما بصورت جابجایی قائم و افقی محاسبه شده و مطابق با توزیع داده شده روی سازه مدفون اعمال می‌گردد.

اگر تأسیسات برقی مانند خطوط لوله، بر روی سازه‌ها نصب شده باشند، نیازی به در نظر گرفتن نشست زمین نمی‌باشد.

۲-۸-۳- زمین لغزه

در مناطق کوهستانی که شب زمین زیاد بوده و لایه‌های سست در آن قرار گرفته است احتمال رانش زمین وجود داشته و می‌تواند منجر به آسیب به تجهیزات مختلف برقی گردد.

برای مقابله با مخاطره زمین لغزه ناشی از تغییر مکان ماندگار زمین باید طبق مراحل زیر ارزیابی لازم صورت پذیرد:

- ارزیابی پتانسیل زمین به زمین لغزه
- ارزیابی پتانسیل راهاندازی زمین لغزه و تغییر شکل شبیه
- ارزیابی احتمال زمین لغزه و موقع تغییر شکل شبیه
- ارزیابی خطرات ناشی از زمین لغزه و تغییر شکل شبیه

۳-۸-۳- گسلش

عبور از مناطق با پتانسیل گسلش در سامانه برق رسانی امری اجتناب ناپذیر است. لذا بایستی حتی الامکان اثر ناشی از جابجایی گسلهای فعالی که سازه‌های این سامانه از آنها عبور می‌نمایند را بر این سازه‌ها در نظر گرفت.

- وجود گسل فعال باید توسط مشخصات زمین‌شناختی شکل گسل فعال تعیین شود.

- منطقه‌ای که ممکن است گسل فعال از آن عبور کند باید بر اساس بازرسی زمین‌شناسی، اکتشافات ژئوفیزیکی، اکتشافات گمانه زنی و بازرسی ترانشه تأیید شود.

- چنانچه تجهیزات برقی گسل فعال را قطع نمایند، باید برای تحقق عملکرد لرزه‌ای، با درنظر گرفتن تغییر مکان ماندگار زمین ناشی از جابجایی گسل، طراحی شوند.

- اگر اثر جابجایی گسل در سطح زمین نمایان شود، تأسیسات برقی باید برای جابجایی گسل، طراحی لرزه‌ای شوند.

نحوه محاسبه و اعمال بارهای اعمال شده توسط مخاطرات ژئوتکنیکی ناشی از زلزله در این راهنما تحت عنوان بارگذاری لرزه‌ای شریانهای حیاتی ارائه شده است.

۹- طبقه بندی خاک

برای استفاده ساده تر از روابط استاندارد ۲۸۰۰ از همان طبقه بندی خاک در این استاندارد نیز استفاده شده است.

فصل ۴

روش‌های طراحی لرزه‌ای و کنترل

ایمنی

۴-۱- طراحی لرزه‌ای

۴-۱-۱- کلیات

طراحی لرزه‌ای تجهیزات سامانه برق با توجه به شرایط ساختگاه و نیز مشخصات سازه‌ای آنها با استفاده از روش‌های ارائه شده در این راهنمای صورت می‌گیرد.

هدف از طراحی لرزه‌ای مولفه‌های سامانه برق آن است که در اثر زلزله بهره‌برداری در سطح خطر-۱ رفتار مصالح از محدوده ارجاعی خارج نشده و بهره برداری از سامانه بدون وقفه ادامه یابد، و در اثر زلزله طرح در سطح خطر-۲ علیرغم عبور رفتار مصالح از محدوده ارجاعی، میزان شکل پذیری آنها طوری محدود گردد که در آنها گسیختگی بوجود نیامده و آسیب‌های محدود احتمالی نیز بسرعت قابل رفع (از طریق تعمیرات اضطراری) باشد.

آسیب در تجهیزات را می‌توان به سه حالت زیر در نظر گرفت:

- آسیب فیزیکی که عضو ممکن است دچار تغییرشکل زیاد گردد و لی ترکی که در آن عملکرد را تحت تاثیر قرار دهد وجود نیاید (آسیب).
- آسیب عملکردی که در اثر ترک یا جدایی روی داده و منجر به نشت مواد، اتصال کوتاه یا سایر موارد مشابه گردد و عملکرد را مختل سازد (خرابی).
- آسیب سیستمی که در اثر زیاد بودن آسیب یا آسیب‌های عملکردی، ادامه کار سامانه نایمن بوده و باید متوقف گردد (ناپایداری).

۴-۲- اصول روش طراحی لرزه‌ای

مولفه‌های سامانه برق بسته به سطح خطر، به یکی از روش‌های تنش مجاز (رفتار ارجاعی) یا شکل‌پذیر (رفتار خمیری) طراحی می‌گردد.

روش تنش مجاز وقتی استفاده می‌شود که از سطح خطر-۱ استفاده شود.

برای حالتی که از سطح خطر-۲ استفاده می‌شود، طراحی لرزه‌ای به روش شکل‌پذیر انجام می‌گردد.

- در مواردی که از سطح خطر-۲ استفاده می‌شود، روش شکل‌پذیر برای طراحی استفاده می‌گردد.
- در روش تنش مجاز، تنش‌ها نباید در اعضا از مقادیر مجاز، تجاوز کند. در غیر این صورت تغییر شکل‌های بازگشت‌ناپذیر بعد از زلزله در اعضاء باقی می‌ماند.
- در طراحی به روش شکل‌پذیر، تغییر شکل‌های پلاستیک که در اعضاء روی می‌دهد باید از مقادیر تغییر شکل‌های پلاستیک مجاز کمتر باشد. در این حالت عملکرد تجهیز در حین و بعد از زلزله دچار خدشه نمی‌شود.

۴-۲-۱- نحوه طراحی به روش تنش مجاز

۴-۲-۱-۱- محاسبه تنش

تنش نهایی با ترکیب تنش‌های ناشی از بارهای مختلف بدست می‌آید.

۴-۲-۱-۲- تنش‌های مجاز در تحلیل لرزه‌ای

تنش‌های مجاز مصالح بر حسب نوع تجهیز و محل آن تعریف می‌گردد.

۴-۲-۱-۳- بررسی تنش محاسباتی

از نظر تحلیلی یک سازه وقتی قابل قبول است که همه تنش‌های محاسباتی کمتر از مقادیر تنش‌های مجاز باشد.

۴-۲-۲- نحوه تحلیل لرزه‌ای برای روش طراحی شکل‌پذیر

۴-۲-۲-۱- طراحی لرزه‌ای

روش تحلیل لرزه‌ای شکل‌پذیر برای تحلیل لرزه‌ای سازه در سطح خطر-۲ زلزله استفاده می‌شود.

۴-۲-۲-۲- تحلیل پاسخ لرزه‌ای

تغییر شکل‌های الستو-پلاستیک در هر نقطه از سازه را می‌توان با تحلیل پاسخ تحت اثر زلزله طرح بدست آورد.

برای طراحی لرزه‌ای سازه‌ها، تغییر شکل‌های پلاستیک، از تحلیل پاسخ به یکی از روش‌های زیر بدست می‌آید.

۱- روش طراحی تغییر شکل پلاستیک نهایی

در سازه‌هایی که مُد اول ارتعاش در آنها حاکم است. نسبت تغییر شکل پلاستیک را می‌توان با اعمال قانون انرژی ثابت برای مود خرابی احتمالی بدست آورد.

۲- ضریب زلزله طراحی اصلاح شده

ضریب زلزله طراحی اصلاح شده با توجه به فصل سوم محاسبه می‌شود.

۳- ضریب شکل پذیری پاسخ پلاستیک

ضریب شکل پذیری پاسخ پلاستیک μ_p بخش آسیب دیده سازه را می‌توان با استفاده از رابطه (۱-۴) بدست آورد.

$$\mu_p = \frac{1}{4C} \left\{ \left(\frac{K_{MH}}{K_y} \right)^2 - 1 \right\} \quad (1-4)$$

μ_p : ضریب شکل‌پذیری پاسخ عضو مربوط به مود خرابی، در صورتی که $K_y \geq K_{MH}$ باشد آنگاه $\mu_p = 0$ می‌باشد.

K_{MH} : ضریب زلزله افقی اصلاح شده طراحی مربوط به سازه مورد نظر

K_y : ضریب زلزله افقی در نقطه آغاز جاری شدن عضو آسیب دیده

C: ضریبی است که بصورت زیر به رفتار هیستریسیس در جذب انرژی و نیل به مود خرابی مورد نظر بستگی دارد:

$C = 2n$ در صورتی است که مشخصات پسماند از نوع الاستوپلاستیک کامل باشد.

$C = 1n$ در صورتی است که مشخصات پسماند از نوع لغزشی باشد.

n تعداد معادل سیکل‌های مناسب از منحنی هیسترسیس مربوطه می‌باشد. در صورتی که نتوان تعداد سیکل‌ها را با استفاده از معادلات تفصیلی تعیین کرد، مقدار آن بصورت محافظه کارانه، یک در نظر گرفته می‌شود.

در این شرایط ضریب زلزله قائم باید در بدترین حالت اعمال گردد.

۱-۳- برآورد تغییر شکل‌های پلاستیک

در روش طراحی شکل پذیر در نهایت رابطه (۴) باید ارضاء شود:

$$\mu_p \leq \mu_{pa} \quad (4)$$

μ_p : ضریب شکل پذیری عضو در معرض خرابی

μ_{pa} : ضریب شکل پذیری مجاز

۲- روش طراحی مقاومت تسليیم (برای سازه‌های قابی)

برای قاب‌ها، طراحی لرزه‌ای خمیری با استفاده از روش طراحی مقاومت تسليیم، انجام می‌گردد.

۲-۱- ضریب زلزله اصلاح شده طراحی

همان‌گونه که در روش شبه استاتیکی اصلاح شده در فصل سوم گفته شد بdst می‌آید.

۲-۲- ضریب مشخصه سازه‌ای

ضریب مشخصه سازه‌ای D_S از رابطه (۳-۴) یا از مقادیری که در آئین نامه‌های دیگر آمده است، بdst می‌آید. D_S در محدوده بین ۰/۵ تا ۰/۲۵ متغیر است.

$$D_S = \frac{1}{\sqrt{1 + 4C\mu_{pa}}} \quad (3-4)$$

D_S : ضریب مشخصه سازه‌ای (تقريباً معادل عکس ضریب رفتار R سازه‌ها در استاندارد ۲۸۰۰)

۲-۳- ظرفیت لرزه‌ای

ظرفیت لرزه‌ای Q_u با استفاده از رابطه (۴-۴) بdst می‌آيد:

$$Q_u = K_y W_0 \quad (4-4)$$

K_y : ضریب زلزله افقی تسليیم در نقطه شروع جاری شدن عضو در معرض خرابی.

در اين حالت، ضریب زلزله قائم باید در بدترین حالت اعمال گردد.

W_0 : وزن بهره برداری سازه مورد نظر

۲-۴- ظرفیت لرزه‌ای مورد نیاز

ظرفیت لرزه‌ای مورد نیاز از رابطه (۴-۵) بdst می‌آيد:

$$Q_{un} = D_S K_{MH} W_0 \quad (4-5)$$

Q_{un} : ظرفیت لرزه‌ای مورد نیاز

D_S : ضریب مشخصه سازه‌ای که در (ب) بdst آمد.

K_{MH} : ضریب زلزله افقی اصلاح شده

W_0 : وزن عملیاتی سازه

-۵-۲- برآورد ظرفیت لرزه‌ای مورد نیاز

ظرفیت لرزه‌ای مورد نیاز Q_{un} نباید از ظرفیت لرزه‌ای Q_u تجاوز کند.

-۳- تحلیل پاسخ مودال خطی

برای اعضای غیر خطی که از ظرفیت جاری شدن تجاوز می‌کنند، تحلیل پاسخ خطی معادل با کاهش سختی از سختی الاستیک (بسته به درجه غیرخطی بودن و ضریب میرایی معادل)، انجام می‌گردد.

تحلیل پاسخ مودال خطی با استفاده از تحلیل پاسخ شتاب براساس گام‌های ۱-۳-۶ زیر انجام می‌شود:

-۱-۳- طیف شتاب قائم و افقی طراحی براساس رابطه‌های (۶-۴) و (۷-۴) محاسبه می‌گردد:

$$A_H^{(i)} = 350\beta_1\beta_2\beta_5 \quad (6-4)$$

$$A_V^{(i)} = 175\beta_1\beta_2\beta_6 \quad (7-4)$$

$A_H^{(i)}$: شتاب پاسخ افقی طراحی مود i ام ارتعاش بر حسب (cm / s²)

$A_V^{(i)}$: شتاب پاسخ قائم طراحی مود i ام ارتعاش بر حسب (cm / s²)

β_1 : ضریب اهمیت با استفاده از جدول (۱-۳)

β_2 : نسبت شتاب مبنای طرح با استفاده از جدول (۴-۳)

β_5 : ضریب بزرگنمایی پاسخ افقی (برای سهولت و با محافظه کاری، برای پریودهای کمتر از ۳/ ثانیه، ۱/۵ و برای پریودهای بزرگتر از ۳/ ثانیه، ۰/۷۵ در نظرگرفته می‌شود).

β_6 : ضریب بزرگنمایی پاسخ قائم (برای برج با پایه دامنی ۱/۵ و برای سایر سازه‌ها ۲ می‌باشد.)

-۲-۳- سختی عضو باید براساس درجه غیر خطی بودن سازه کاهش یابد.

-۳-۳- ضریب میرایی معادل مربوط به انرژی کرنشی خمیری از تحلیل غیر خطی سازه بدست می‌آید.

-۴-۳- مقادیر پاسخ R مانند نیروی برشی، لنگر، شتاب و تغییر مکان‌های لازم برای طراحی برای هر مود ارتعاشی، از روش جذر مجموع مربعات بدست می‌آید.

$$R = \sqrt{\sum_i R_i^2} \quad (8-4)$$

که در آن R_i اندازه پاسخ مود i ام است.

-۵- جابجایی پاسخ را باید از اندازه پاسخ عضو بدست آورد.

-۶- اطمینان حاصل کنید که ضریب شکل پذیری که از (هـ) بدست می‌آید، از ضریب شکل پذیری مجاز تجاوز نکند.

-۴- تحلیل پاسخ تاریخچه زمانی غیر خطی

تحلیل پاسخ تاریخچه زمانی بصورت زیر انجام می‌شود.

-۱-۴- مشخصات بار- تغییر مکان سازه باید براساس مدل هیستوگرام غیر خطی بوده و نتایج مربوط به هر زمان مورد نظر مستقیماً از تحلیل تاریخچه زمانی بدست می‌آید.

-۲-۴- وارد کردن موج زلزله با حداکثر شتاب در نقطه مورد نظر

۴-۳- ضریب شکل پذیری از تغییر مکان عضو بدست می‌آید.

۴-۴- ضریب شکل پذیری بدست آمده نباید از ضریب شکل پذیری مجاز بیشتر باشد.

۵- روش پاسخ تغییر مکان

این روش با طی کردن گام‌های ۱-۵ تا ۴-۵ که در زیر توضیح داده شده است، انجام می‌گردد.

۵-۱- تغییر مکان نقاط با تغییر مکان معین، همان تغییر مکان پاسخ در تکیه‌گاهها یا تغییر مکان پی ناشی از حرکت زمین، می‌باشد.

۵-۲- تغییر مکان عضو از تحلیل استاتیکی مدل با استفاده از رابطه غیر خطی بار- تغییر مکان بدست می‌آید.

۵-۳- ضریب شکل پذیری با استفاده از نتایج تغییر شکل عضو بدست می‌آید.

۵-۴- ضریب شکل پذیری، نباید از مقدار مجاز نسبت تغییر شکل پلاستیک تجاوز کند.

۴-۳-۲-۲- ضریب شکل پذیری

ضریب شکل پذیری، از تغییر شکل پلاستیک تحلیل لرزه‌ای مود خرابی تجهیز مورد نظر، بدست می‌آید.

۴-۲-۲-۴- ضریب شکل پذیری مجاز

ضریب شکل پذیری مجاز عضو، براساس مشخصات رفتار الاستو-پلاستیک مانند خستگی و کمانش در بارگذاری متناوب، حسب مود خرابی لرزه‌ای اعضای مورد نظر، تعیین می‌شود.

۴-۲-۲-۵- برآورد ضریب شکل پذیری

در صورتی که ضریب شکل پذیری مجاز تمام قسمت‌های اجزاء مهم برابر یا بزرگتر از ضریب شکل پذیری مورد نظر باشد، در این صورت برآورد عملکرد لرزه‌ای مورد قبول می‌باشد.

۴-۳- مشخصات مصالح در طراحی به روش تنش مجاز

۱- ساختمان بتی

۱-۱- حداقل مقاومت فشاری مورد نیاز برای بتن عبارتست از:

- برای نگهدارنده‌های لوله (قفسه لوله) پیش ساخته: ($f_c \geq 25 \text{ N/mm}^2$ (3500 p.s.i))

- برای سازه‌ها، شالوده‌ها، کفسازی‌ها و دیگر کارهای ساختمان سازه‌ای: ($f_c \geq 21.1 \text{ N/mm}^2$ (3000 p.s.i))

- برای اجزایی که باید در مقابل آتش مقاوم باشد و نیز مجاری: ($f_c \geq 18 \text{ N/mm}^2$ (2500 p.s.i))

- برای بتن مگر: ($f_c \geq 8.0 \text{ N/mm}^2$ (1100 p.s.i))

- در مورد بتن‌هایی که در آنها از سیمان ضد سولفات استفاده می‌شود عیار سیمان نباید از 310 kg/m^3 کمتر باشد. در مورد سیمان‌های دیگر عیار سیمان نباید از 310 kg/m^3 کمتر باشد.

۱-۲- فولاد تقویتی

الف) آرماتورهای آجدار

آرماتور آجدار باید از گرید ۶۰ (با حداقل مقاومت جاری $f_y = 414 \text{ N/mm}^2$) مطابق با آئین‌نامه ASTM615 و یا مصالح معادل مشابه آن باشد.

ب) آرماتورهای صاف

آرماتورهای صاف باید از گرید ۴۰ (با حداقل مقاومت جاری شدن $f_y = 276 \text{ N/mm}^2$) مطابق با آئین‌نامه ASTM615 و یا مصالح معادل مشابه آن باشد.

ج) مشاهای فولادی جوش شده

مشاهای فولادی جوش شده باید از گرید ۷۰ (با حداقل مقاومت جاری شدن 485 N/mm^2) مطابق با استاندارد A496 و A496 ASTM و یا مصالح مشابه آن باشد.

۱-۳- میل مهارها، ورق‌ها و دیگر مصالح فولادی مورد استفاده در بتن

مصالح لازم برای مهارها، ورق‌ها و دیگر مصالح فولادی برای جایگذاری در بتن باید از نوع ASTM A36 قابل جوشکاری مطابق با استاندارد ASTM یا مصالح مشابه آن باشد.

۱-۴- تنش‌های مجاز

تنش‌های مجاز برای بتن و فولاد باید مطابق با مبحث نهم مقررات ملی ساختمان و آئین‌نامه بتن ایران (آبآ) انتخاب گردد.

۱-۵- تغییر شکل‌ها و خیزهای مجاز

خیزهای مجاز اعضای بتن باید مطابق با استاندارد مبحث نهم مقررات ملی ساختمان و آئین‌نامه بتن ایران (آبآ) باشد.

۲- ساختمان فولادی

۲-۱- مصالح

- مصالح باید مطابق با ASTM A36 یا استاندارد با آن باشد.

۲-۲- پیچ‌ها

- پیچ‌های مورد استفاده در اتصالات باید مطابق ASTM A325 یا استاندارد مشابه آن باشد.

- پیچ‌های مورد استفاده در اتصالات ثانویه باید مطابق ASTM A307 Grade A یا استاندارد مشابه آن باشد.

- مهره‌های معمولی و مقاومت بالا باید مطابق ASTM A563 یا استاندارد مشابه باشد.

- واشرها باید مطابق با استاندارد ASTM F436 یا مشابه آن باشد.

فصل ۵

طراحی لردهای و کنترل ایمنی

تجهیزات نیروگاهی

۱-۵- تجهیزات نیروگاهی

تجهیزات مورد نظر در این فصل بشرح زیر می‌باشد:

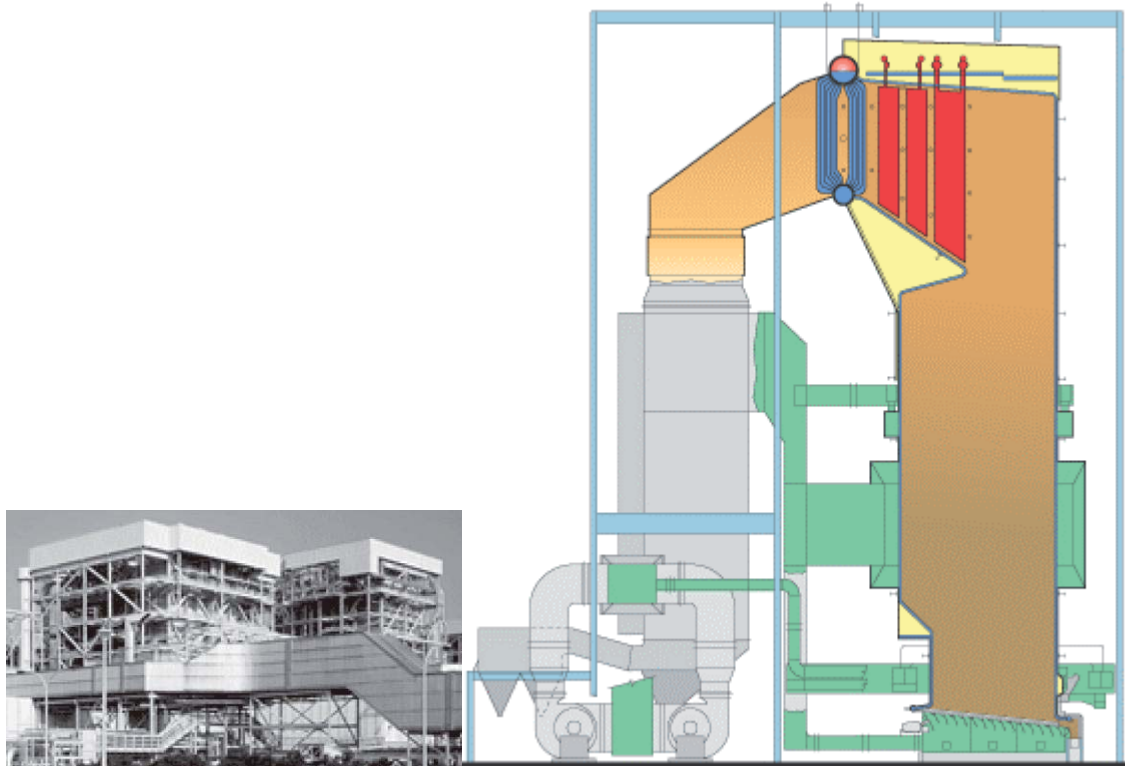
- ۱- بویلر و ملحقات
- ۲- توربین و ملحقات
- ۳- جرثقیل
- ۴- دودکش (و برج خنک کن)
- ۵- واحد کنترل

مخازن سوخت نفت، گاز و سیستم لوله کشی نیروگاهی بترتیب در فصول ۶، ۷ و ۸ ارائه شده است.

۲-۵- سطح عملکرد

۱-۲-۵- بویلر و ملحقات

بویلر و ملحقات آن باید به گونه‌ای طراحی گردد تا در سطح خطر-۱، بهره‌برداری بی‌وقفه بوده و در سطح خطر-۲، با حداقل وقفه و بالافاصله قابل بهره برداری باشد.



شکل ۱-۵ بولیر و ملحقات آن

۲-۲-۵ توربین بخار و ملحقات

عملکرد مورد انتظار در سطح خطر-۱، عملکرد بدون وقفه توربین و ملحقات آن می‌باشد.

در زلزله سطح خطر-۲، میزان آسیب در حدی قابل قبول است که پس از تعمیرات جزئی در مدت زمان کوتاهی توربین قابل بهره‌برداری باشد. در مورد ماشین دورانی رفتار لرزه‌ای باید به گونه‌ای باشد، که بطور ایمن متوقف گردد.



شکل ۲-۵ توربین بخار

۳-۲-۵ دودکش

عملکرد لازم دودکش در سطح خطر-۱، بهره برداری بدون وقفه است.

در سطح خطر-۲ نیز باید بلافارسله و با تعمیرات جزئی به بهره برداری برگردد.

۴-۲-۵ واحد کنترل

دستگاه کنترل و محافظت باید در هنگام زلزله دارای مقاومت کافی برای حفظ عملکرد بوده و بهره برداری مختل نگردد.

برای سطح خطر-۱ بهره برداری بدون وقفه و برای سطح خطر-۲ بهره برداری با وقفه حداقل مورد انتظار می باشد.

- با توجه به قواعد مربوط به طراحی لرزاها، دستگاههای کنترل و محافظت، نه تنها باید آسیب ببینند، بلکه بایستی عملکرد عادی در اثر وقوع هر نوع زمین لرزه در آنها حفظ گردد.
- علی الخصوص در تجهیزات کنترل و محافظت به منظور حفظ عملکرد، نگهداری تجهیزات یا تأمین ایمنی عمومی، طراحی لرزاها باید انجام شود.
- از نظر تضمین برق رسانی، از آنجایی که توقف در کار دستگاههای کنترل و حفاظت مجاز نمی باشد، لذا تجهیزات بدنه اصلی در اثر خرابی تا حد امکان باید سالم بماند.

۵-۳-۵- محاسبات طرح لرزاهاي بويلر و ملحقات

۵-۳-۱- روند بارگذاري

بارگذاري لرزاهاي بويلر و ملحقات آن باید بر اساس جدول (۱-۵) انجام شود.

جدول ۱-۵ روش بارگذاري لرزاهاي

روش بارگذاري لرزاهاي			ملحقات
روش تحليل ديناميكي	روش شبه استاتيكي اصلاح شده	روش شبه استاتيكي	
		<input type="radio"/>	بدنه اصلی بويلر
<input type="radio"/>	<input type="radio"/>	<input type="radio"/>	قاب تکيه‌گاهی بويلر
		<input type="radio"/>	ملحقات اصلی بويلر
		<input type="radio"/>	مجرای دود/هواء و تجهیزات تصفیه گاز خروجی

روش مناسب طراحی لرزاهاي با علامت نشان داده شده است. در صورت تأمین اینمی، از روش‌های دیگری به غیر از روش‌های ذکر شده فوق، می‌توان استفاده کرد.

- برای قاب تکيه‌گاهی بويلر با ارتفاع کمتر از ۳۰ متر از روش شبه استاتيكي استفاده می‌شود. برای قاب

تكيه‌گاهی بويلر با ارتفاع بین ۳۰ متر تا ۶۰ متر از روش شبه استاتيكي اصلاح شده استفاده می‌شود و برای قاب

تكيه‌گاهی بويلر با ارتفاع بیشتر از ۶۰ متر از روش ديناميكي استفاده می‌شود.

۵-۳-۲- روند محاسبه

۵-۳-۲-۱- بدنه اصلی بويلر

۱- بدنه اصلی بويلر به بويلر با تسمه مهاری از پایین، بويلر خودايستا و سایر بويلرها با رفتارهای تکيه‌گاهی مشابه، طبقه‌بندی می‌شود.

۲- در هر یک از انواع بدنه بويلر، نیروی لرزاهاي باید به راحتی به سازه تکيه‌گاهی یا پی بويلر منتقل گردد.

۳- بار مرده بدنه اصلی بويلر شامل وزن دیواره کوره، تیوب داخلی، مخزن با شمع بیرونی، لوله‌کشی، سیال داخل بدنه و سایر بارها می‌باشد.

۴- نیروی لرزاهاي در این حالت باید با استفاده از رابطه (۱-۵) زیر محاسبه گردد.

$$F = K_{SH} \times W \quad (1-5)$$

F : نیروی لرزاهاي مربوط به قسمتی از سازه واقع بر بالای سطح زمین (N)

W : نیروی ناشی از بارهای مرده (N)

K_{SH} : ضریب زلزله افقی طرح.

جهت محاسبه ضریب زلزله طرح، ضریب اهمیت متوسط را می‌توان برای بویلر در نظر گرفت.

در طراحی لرزاها انواع بویلر به نکات زیر توجه شود:

۱- خرابی دیواره کوره در بدنه اصلی بویلر تا زمانی که مقاومت لازم در مجاورت نقاط تکیه‌گاهی تأمین گردد، رخ نمی‌دهد، زیرا کل سازه دارای صلبیت بالای می‌باشد.

۱-۱- بویلر با تسمه، با استفاده از مهاربندی در راستای ارتفاع به قاب متصل می‌شود. از آنجایی که دیواره کوره با پشت بند مسلح شده است، می‌توان آن را به صورت یک تیر با صلبیت زیاد روی چند تکیه‌گاه در نظر گرفت. بنابراین فرکانس طبیعی آن نسبت به فرکانس قاب، نسبتاً بیشتر بوده و امکان وقوع پدیده رزنанс در آن کم خواهد بود.

۱-۲- بویلر خودایستا نیز کم ارتفاع، جعبه‌ای شکل و لذا با صلبیت نسبتاً زیاد می‌باشد. اینمی بویلر با طراحی سازه تکیه‌گاهی در مقابل لغزش، تغییر مکان جانبی تأمین می‌گردد.

۲- در بویلر با تسمه، طراحی لرزاها، بطور خاص شامل مقاومت لرزاها مهاربندی و مقاومت اعضای محیطی می‌گردد.

۳- در طراحی سازه‌ای بویلر با تسمه، مسائل زیر باید در نظر گرفته شود:

۱-۱- از آنجایی که نیروی لرزاها ناشی از جرم دیواره کوره از طریق پشت‌بند و مهاربند دیواره، به قاب منتقل می‌گردد، بنابراین جذب تغییر شکل انسپاسی دیواره (انبساط حرارتی) در بهره‌برداری، باید در نظر گرفته شود.

۱-۲- نیروی لرزاها افقی وارد بر تیوب داخلی به دیواره کوره ثابت و به قاب منتقل می‌شود. از آنجایی که امکان برخورد لوله‌ها با دیواره کوره وجود دارد، به منظور پرهیز از ایجاد هر گونه شکست، وجود تلاقی باید دارای شکلی صاف باشد.

۱-۳- در مورد سازه‌های با جرم زیاد، مانند محفظه بخار و محفظه آب، از مهاربندهایی استفاده می‌شود که تغییر شکل انسپاسی حین بهره‌برداری را به راحتی جذب نموده و نیروی لرزاها افقی را به قاب انتقال دهد.

۳-۵-۲-۲- قاب تکيه‌گاهی بویلر

برای طراحی قاب تکيه‌گاهی بویلر توجه به نکات زیر توصیه می‌شود:

- بار مرده شامل وزن قاب و وزن بویلر می‌باشد.

- بار زنده با احتساب تجهیزات الحاقی در محل تعیین می‌گردد.

پریود طبیعی اولیه T بر حسب ثانیه برای طراحی قاب بصورت زیر تعیین می‌گردد:

$$T = 0.02H \quad H < 16 \quad (2-5)$$

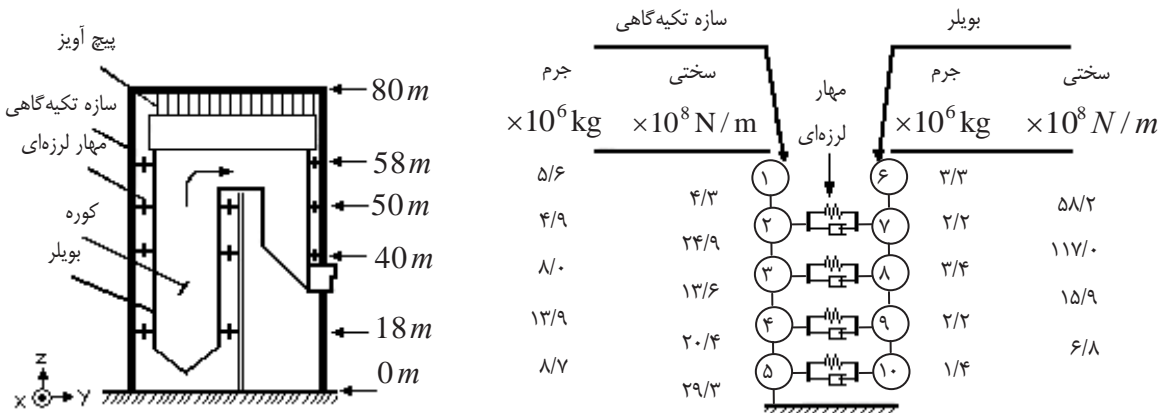
H : در این رابطه ارتفاع کل ساختمان بر حسب متر می‌باشد.

$$T = (0.02 + 0.01\alpha) \cdot H \quad H \geq 16 \quad (3-5)$$

α : نسبت ارتفاع طبقاتی از ساختمان که از فولاد ساخته شده به ارتفاع کلی ساختمان است.

در تحلیل دینامیکی از روش طیفی یا تاریخچه زمانی استفاده می‌شود. وزن مورد استفاده در تحلیل دینامیکی، وزن مؤثر سازه می‌باشد. که شامل وزن ناشی از بارهای مرده می‌باشد. وقتی که وزن مؤثر بدنه بویلر، لوله‌کشی و مجاری تعیین شد، وزن مؤثر مشخص می‌شود.

طراحی لرزاهاي قاب تکيه‌گاهی بویلر مشابه طراحی ساختمان‌ها، انجام می‌شود. برای این کار، مشخصات پاسخ لرزاهاي این سازه با استفاده از ویژگی‌های مدل جرم-فر قاب تکيه‌گاهی بویلر که در آن جرم اضافی، بدنه اصلی بویلر می‌باشد، شبیه‌سازی می‌شود. به هر حال از آنجایی که در این روش شکل قاب تکيه‌گاهی بویلر که بدنه اصلی بویلر از داخل در آن آویزان است، در نظر گرفته نمی‌شود، بهتر است که در این حالت از روش تحلیل دینامیکی برای طراحی لرزاهاي استفاده گردد. در شکل (۱-۵) نمونه‌ای از مدل‌سازی قاب بویلر نشان داده شده است.



شکل ۳-۵ مدل‌سازی قاب بویلر

۵-۳-۲-۳- ملحقات اصلی بویلر

- ۱- طراحی لرزاها ملحقات اصلی بویلر باید با توجه به شکل سازه‌ای و شرایط ایستایی آن انجام شود.
- ۲- بار مرده محاسبه شده در حالت بهره‌برداری شامل وزن تجهیزات، وزن عایق حرارتی و وزن سیال داخلی می‌باشد.

۱- ملحقات بویلر بر اساس طبقه‌بندی سازه‌ای آنها به صورت زیر است:

۱-۱- پیش‌گرمهن هوا

۱-۲- دستگاه تهویه (دستگاه دمنده)

۱-۳- پمپ

۱-۴- کمپرسور هوا

۱-۵- مبدل حرارتی و برج‌ها و مخازن

۲- چون صلبیت این ملحقات و مقاومت لرزاها آنها زیاد است، لذا کافیست مقاومت اتصال آنها به بدنه کنترل گردد. برای این منظور تنש‌های واردہ به اتصال این ملحقات باید کمتر از تنش مجاز این ملحقات گردد.

۵-۳-۲-۴- مجاری دود، هوا و تجهیزات تصفیه گاز خروجی

طراحی مجاری دود، هوا و تجهیزات تصفیه گاز بر اساس نکات زیر انجام می‌شود:

۱- بار مرده شامل وزن مرده بدنه اصلی و وزن عایق حرارتی آن می‌باشد.

۲- نیروی زلزله از روش استاتیکی محاسبه می‌شود.

۳- قاب‌های تکیه‌گاهی در این حالت نیز مشابه قاب تکیه‌گاهی بویلر، طراحی می‌گردد.

۱- ملاحظات مربوط به طراحی لرزاها مجاری دود و هوا و تجهیزات تصفیه گاز خروجی به صورت زیر می‌باشد.

۱-۱- مجرای دود، مجرایی برای عبور گاز خروجی حاصل از احتراق در بویلر می‌باشد و معمولاً بین قسمت خروجی بهینه‌ساز سوخت و دهانه دودکش قرار دارد. بنابراین مجرای دود قسمت پشتی مبدل حرارتی بویلر نیز باید مانند تجهیزات طراحی گردد.

مجرای هوا در واقع مجرایی برای احتراق بویلر می‌باشد و معمولاً در فاصله بین فن ورودی هوای تحت فشار و مجرای باد ورودی نصب شده است.

طراحی لرزاها مجرای دود با بررسی مقاومت اعضای مهاربند و پایه‌های تکیه‌گاهی مجرای دود، این طراحی شامل اعضای سازه‌ای از قبیل دیرک‌های داخلی مجرای دود، نمی‌باشد.

۱-۲- بدنه اصلی دستگاه گردگیر دود صلب می‌باشد و دارای سازه‌ای می‌باشد که نیروی لرزاها را به راحتی به پی یا قاب تکیه‌گاهی منتقل می‌کند. بنابراین فقط مقاومت سازه تکیه‌گاهی آن کنترل می‌شود.

- ۱-۳-۱- بدنه اصلی دستگاه زداینده نیترات گاز خروجی، ترکیبی از قاب فولادی و ورق فولادی می‌باشد و انتظار می‌رود که بدنه اصلی برای تحمل فشار داخلی در شرایط بهره‌برداری دارای مقاومت کافی باشد. بنابراین طراحی لرزاهاي سازه با بررسی مقاومت اعضاي از قبيل اعضاي سازه تکيه‌گاهي انجام می‌شود.
- ۱-۲- از آنجايي که سازه مجرای هوا و دود، نسبتاً ساده بوده و در مكان‌های پايان نصب می‌شود، بنابراین روش طراحی اصلی لرزاهاي، روش استاتيکي می‌باشد.
- ۱-۳- طراحی سازهای بدنه اصلی دستگاه زداینده نیترات گاز خروجی با توجه به مفاد زير باید انجام شود.
- ۱-۴- باید بتواند نيروي لرزاهاي را به پي يا قاب تکيه‌گاهي به راحتی منتقل کند.
- ۱-۵- با توجه به اينکه دمای قاب تا دمای گاز بالا می‌رود، بتواند انبساط حاصل از اين دما را جذب کند.
- ۱-۶- محاسبه بار طراحی
- ۱-۷- وزن تمام ملحقات اعم از پله‌ها، لوله‌كشی، صفحه چسبنده غبارگیر و مخزن تهنشيني آن، سيسitem نيترات زدا و تجهيزات زداینده سولفور باید ملحوظ گردد.
- ۱-۸- در وزن بدنه اصلی مجرای هوا و دود، وزن غبار چسبیده باید در نظر گرفته شود.
- ۱-۹- ارزیابی و محاسبه تنیش
- ۱-۱۰- از آنجايي که سازه مجرای دود توخالي بوده و نسبت سطح مقطع به وزن بدنه اصلی در آن بزرگ می‌باشد، اثر باد روی آن موثرتر از زلزله می‌باشد.
- ۱-۱۱- در دستگاه نيترات زدای گاز خروجی، تنش مجاز مصالح با توجه به اثر دمای بالاي گاز خروجی باید تصحیح گردد. برای این منظور این تنش مجاز باید کمترین مقدار $0.6S_{u0}$ یا $0.6Sy_0$ باشد. که S_u : مقاومت کششی در دمای بهره‌برداری مصالح از ${}^{\circ}C$ تا ${}^{\circ}40$ که باید کمتر از حداقل مقدار استاندارد مصالح باشد. S_u : مقاومت کششی در دمای محیط، Sy : مقاومت تسلیم در دمای بهره‌برداری و Sy_0 : مقاومت تسلیم در دمای محیط می‌باشد.

۳-۳-۵- کمیت‌های مجاز

تنش مجاز مصالح سازه بویلر و ملحقات آن از پاراگراف مربوط به مصالح فولادی فصل ۴ تعیین می‌گردد.

۳-۴-۵- معیار پذيرش

تنش ایجاد شده ناشی از نيروي لرزاهاي طرح، بایستی کمتر از مقدار تنش مجاز باشد.

۵-۴- محاسبات طرح لرزاها توربین و ملحقات

۵-۴-۱- روند بارگذاری

بارگذاری لرزاها توربین و ملحقات آن بصورت زیر می باشد:

- ۱- برای بارگذاری و تحلیل توربین می توان از روش های شبه استاتیکی، شبه استاتیکی اصلاح شده، دینامیکی، مدل سازی فیزیکی و آزمایشگاهی استفاده کرد.
- ۲- طراحی لرزاها بطور اصولی شامل ارزیابی تغییر شکل، آسیب یا حرکت ناشی از نیروی زلزله و تغییر مکان اجباری می باشد.

- منظور از توربین در اینجا هردو توربین بخاری و گازی می باشد.

۵-۴-۲- روند محاسبه

۵-۴-۲-۱- بدنه اصلی توربین

طراحی بدنه اصلی توربین باید با توجه به نکات زیر انجام شود

- ۱- سطح عملکرد طراحی لرزاها بدنه اصلی توربین و تجهیزات روغن موتور قابلیت استفاده بی وقفه می باشد.
- ۲- طراحی لرزاها بدنه اصلی توربین (پیچ مهاری و اهرم ثابت توربین و غیره) باید برای تجهیزاتی که به آن و پی ثابت شده اند، انجام شود.
- ۳- طراحی پیچ های مهاری و اهرم های ثابت مربوط به پی باید بر اساس آئین نامه آبا انجام شود.
- ۴- وسائل تکیه گاهی شامل پیچ مهاری نیز باید طراحی گردد.
- ۵- حداقل یکی از منابع برق پمپ اضطراری روغن، تبدیل چرخ دنده پمپ روغن و چرخ دنده اضطراری پمپ روغن باید هرگز از کار بیافتد.
- ۶- سریز روغن در اثر لرزش سطح روغن، در هنگام زلزله باید رخ دهد. برای این منظور باید معیارهای استاندارد ASTMD445 یا استانداردهای مورد تایید، تأمین گردد.

- صلبیت توربین بخار خیلی بالا بوده و اینمی کافی در مقابل تلاطم را دارد و در طراحی لرزاها می توان آن را به صورت یک جسم صلب در نظر گرفت. بنابراین در حالت عادی مقاوم در برابر تغییر مکان ناشی از نیروی لرزاها باید مورد بررسی قرار گیرد.
- صلبیت تجهیزات مونتاژ روغن موتور، بالا می باشد و اینمی کافی در مقابل زلزله را خواهند داشت. بنابراین به علت بالا بودن مقاومت لرزاها در مقابل تغییر شکل ناشی از تغییر مکان لرزاها، طراحی لرزاها اجزاء زیر و اعضای تکیه گاهی آنها از قبیل پیچ های مهاری باید انجام شود:

مخزن اصلی
کولر روغن موتور
پمپ اضطراری روغن
تبديل چرخ دنده پمپ روغن
چرخ دنده اضطراری پمپ روغن

۴-۲-۲- ژنراتور و ملحقات آن

- ۱- ژنراتور و ملحقات آن باید به گونه‌ای طراحی گردد تا در اثر نیروی لرزاهاي آسیب ندیده و مقاومت کافی داشته باشد.
- ۲- وسائل ثبیت نمودن (پیچ و اهرم مهاری) به بدنه اصلی ژنراتور و بدنه اصلی مولد باید طراحی لرزاهاي شود.
- ۳- در مورد ملحقات ژنراتور، طراحی لرزاهاي وسائل تکیه‌گاهی تجهیزات زیر باید انجام شود:
 - ۱-۳- وسائل روغن موتور و عایق روغن
 - ۲-۳- تأسیسات فرآیند هیدروژن و دی اکسید کربن
 - ۳-۳- باس اصلی مابین ژنراتور و مبدل اصلی نیرو و ملحقات
 - ۴-۳- مبدل اصلی نیرو

۱- با توجه به بالا بودن فرکانس ارتعاشی ژنراتور، رفتار آن تقریباً صلب بوده و احتمال خرابی در زلزله ندارد. بنابراین فقط لنگر واژگونی و نیروی برشی در بدنه اصلی و پی (برای مثال پیچ مهاری و اهرم) بایستی مورد بررسی قرار گیرد. برای این منظور نیروی زلزله از رابطه (۱-۵) و با استفاده از وزن ژنراتور محاسبه می‌گردد. تنש‌های وارد و لنگر واژگونی ناشی از این نیرو نباید به ترتیب از تنش‌های مجاز و لنگر مقاوم واژگونی تجاوز نماید.

۳- برای جلوگیری از نشت هیدروژن در زمان زلزله از محل یاطاقان، لازم است که روغنکاری مولد خنک کننده گاز هیدروژن، بطور پیوسته ادامه داشته باشد.

۴- از آنجایی که صلیبیت تجهیزات مونتاژ این تأسیسات زیاد است، طراحی لرزاهاي اعضای تکیه‌گاهی از قبیل پیچ مهاری در مولفه‌های زیر باید انجام شود:

- محفظه خلاء
- مخزن انبساط
- مخزن تخليه هوا
- لوله‌کشی

۵-۴-۳- کندانسور

- ۱- تنش و لنگر واژگونی ناشی از زلزله که از رابطه (۱-۵) محاسبه می شود در محل اتصال به پی، نباید از تنش های مجاز و لنگر واژگونی مقاوم تجاوز نماید.
- ۲- تنش ناشی از زلزله که از رابطه (۱-۵) محاسبه می شود در محل اتصال کندانسور با توربین نباید از تنش های مجاز تجاوز نماید.
- ۳- گرچه روش متداول در بارگذاری لرزاها کندانسور روش شبه استاتیکی می باشد، لیکن استفاده از روش دینامیکی نیز توصیه می شود.

- کندانسور معمولا در مقابل لنگر واژگونی، به علت تراکم مهارهای زیر آن در طراحی اولیه ، به اندازه کافی پایدار می باشد.

۵-۴-۴- مبدل های حرارتی

- ۱- تنش و لنگر واژگونی ناشی از زلزله که از رابطه (۱-۵) محاسبه می شود در محل اتصال به پی، نباید از تنش های مجاز و لنگر واژگونی مقاوم تجاوز نماید
- ۲- مبدل های حرارتی قائم باید در ارتفاع یا سقف مهار گردد.
- ۳- در قسمت هایی که پایه بر روی ریل واقع شده است برای جلوگیری از جداسدگی از ریل باید گیره هایی تعییه گردد که نیروهای مقاوم این گیره ها از نیروی لرزاها که در بند ۱ محاسبه گردیده است، بیشتر باشد.
- ۴- با استفاده از مونتاژ مناسب باید از همسانی فرکانس طبیعی مبدل با فرکانس طبیعی سازه تکیه گاهی ، جلوگیری شود.

- مبدل های حرارتی دارای فرکانس طبیعی بالا بوده و در تحلیل لرزاها می توان آنها را به صورت یک جسم صلب در نظر گرفت.

- تا زمانی که سازه تکیه گاهی سالم باشد، مبدل حرارتی دچار آسیب یا قطع عملکرد در اثر نیروی لرزاها نخواهد شد. بنابراین فقط باید لنگر واژگونی و نیروی برشی در پیچ مهاری، مورد بررسی قرار گیرد.
- فرکانس طبیعی سازه تکیه گاهی فرکانسی است که در آن سازه به انضمام سایر سیستم ها بهمراه تجهیزات به نوسان در می آید.

۵-۴-۵- ماشین دورانی اصلی

- ۱- تنش و لنگر واژگونی ناشی از زلزله که از رابطه (۱-۵) و با استفاده از وزن این ماشین ها محاسبه می شود در محل اتصال به پی، نباید از تنش های مجاز و لنگر واژگونی مقاوم تجاوز نماید.
- ۲- طراحی لرزاها ماشین دورانی اصلی توربین مشابه ماشین دورانی بویلر، انجام می شود.

- ماشین دورانی توربین بخار شامل پمپ گردش آب، پمپ تقطیر، پمپ‌هایی از قبیل پمپ آب دریا، فن‌هایی از قبیل مکنده کندانسور بخار، و موتورهای برقی برای راهاندازی این وسائل می‌باشد.
- فرکانس طبیعی ماشین دورانی از نقطه نظر عملکردی خیلی بالا بوده و در طراحی لرزاها می‌توان آن را به صورت یک سازه صلب در نظر گرفت.
- لازم است نیروی افقی ناشی از زلزله و کشش ناشی از لنگر واژگونی در پیچ مهار به پی تجهیزات، کنترل شود.

۶-۲-۴-۵- جرثقیل

۱- روش طراحی جرثقیل

۱-۱- جرثقیل باید در مقابل نیروی زلزله مقاومت کافی داشته و سرنگون نگردد.

۱-۲- روش‌های تحلیل و بارگذاری جرثقیل، روش شبه استاتیکی و شبه استاتیکی اصلاح شده می‌باشد.

۲- بار لرزه‌ای

۱-۲- ضریب زلزله افقی

الف) روش شبه استاتیکی

$$K_{SH} = K_H \cdot \beta'_3 \cdot \beta'_4 \cdot \beta_4 \quad (4-5)$$

β_4 : ضریب بزرگنمایی پاسخ افقی. مقدار این ضریب بستگی به ارتفاع سازه از روی زمین دارد. برای ارتفاع کوچکتر مساوی ۱۶ متر برابر ۱ است. برای ارتفاع بالای ۱۶ متر برابر است با $0.0125h + 0.8$

β'_3 : ضریب تصحیح مربوط به سازه تکیه‌گاهی

ضریب تصحیح مربوط به سازه تکیه‌گاهی با در نظر گرفتن روداری ناشی از تنوع مشخصات دینامیکی سازه تکیه‌گاهی و جرثقیل، به صورت زیر محاسبه می‌گردد.

۴-۱- در حالتی که جرثقیل بر روی زمین و پایه‌ها نصب می‌گردد.

$$\beta'_3 = 2.0 \quad (5-5)$$

۴-۲- در حالتی که جرثقیل بر روی سازه در ساختمان نصب می‌گردد.

$$\beta'_3 = 1 + (\alpha - 1)h / H \quad (6-5)$$

H: ارتفاع ساختمان جرثقیل (m)

h: ارتفاع محل نصب جرثقیل (m)

α : ثابت تعیین شده از H

الف) در سازه فولادی

$$\alpha = 3 \quad (7-5)$$

$$\alpha = 100 / H \quad (8-5)$$

ب) در سازه بتن مسلح (RC) یا سازه قاب فولادی بتن مسلح (SRC)

$$\alpha = 3 \quad (9-5)$$

$$\alpha = 150 / H \quad (10-5)$$

۵- ضریب تصحیح لغزش β'_4

مقادیر استاندارد ضریب تصحیح لغزش β'_4 ، در جدول (۲-۵) نشان داده شده است.

جدول ۲-۵ مقدار β'_4

β'_4	وجود قيد	راستای بار	ردد
۱	محدود شده با لبه چرخ یا غلطک فشاری کناری	عمود بر ریل	۱
۱	محدود شده با مهار جرثقیل	موازی ریل	۲
{(تعداد کل چرخ‌ها / تعداد چرخ‌های ترمزدار) $\cdot ۰.۶۵$ } حداقل	بدون قيد	موازی ریل	۳

- ضریب زلزله بدست آمده از روش شبه استاتیکی یا روش شبه استاتیکی اصلاح شده، مربوط به حالتی است که اتصال جرثقیل به پی، زمین و غیره گیردار باشد.
- اگر اتصال به پی فقط از نوع اصطکاکی باشد، لغزش در نقطه اتصال چرخ به ریل رخ می‌دهد و ضریب زلزله محاسبه شده از رابطه (۴-۵) با استفاده از مقدار β'_4 بدست آمده از جدول (۲-۵) کاهش یافته به پایه یا وجه ساختمان، منتقل می‌شود.
- ضریب زلزله افقی به ریل با لبه چرخ مقييد و در راستای حرکت در هنگام توقف بطور کامل مهار می‌شود.
- در طراحی در راستای حرکت، باید نامساعدترین شرایط کار جرثقیل یا توقف آن، در نظر گرفته شود.
- ب) روش شبه استاتیکی اصلاح شده
- ضریب زلزله اصلاح شده افقی با توجه به پریود طبیعی جرثقیل، نوع زمین و با استفاده از رابطه (۱۱-۵) تعیین می‌شود.

$$K_{MH} = K_H \cdot \beta'_3 \cdot \beta'_4 \cdot \beta_5 \quad (11-5)$$

K_{SH} : ضریب زلزله افقی

K_H : ضریب زلزله افقی طرح در سطح زمین با استفاده از رابطه (۱-۳)

β'_3 : ضریب تصحیح سازه تکیه‌گاهی

β'_4 : ضریب تصحیح لغزش

β_5 : ضریب بزرگنمایی پاسخ شتاب (روش ضریب لرزه‌ای اصلاح شده) که مطابق زیر محاسبه می‌گردد:

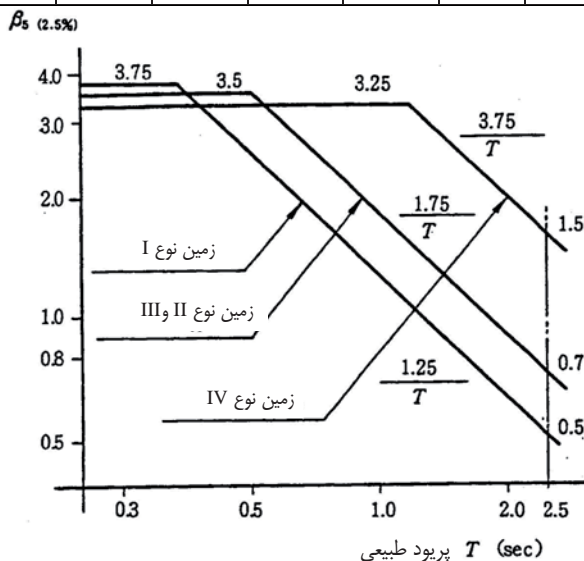
- الف- ضریب بزرگنمایی پاسخ شتاب جرثقیل ثابت روی زمین وقتی جرثقیل مستقیماً بر روی زمین نصب شده است، ضریب بزرگنمایی پاسخ شتاب $\beta_5(2.5\%)$ با ثابت میرایی متناظر $2/5\%$ از شکل (۲-۵)، بر حسب پریود جرثقیل محاسبه شده از رابطه (۱۵-۵) و نوع زمین تعیین می‌شود، سپس ضریب β_5 از رابطه (۱۲-۵) به دست می‌آید که در آن ضریب تصحیح η ، بر حسب مقدار ثابت میرایی جرثقیل مورد نظر به صورت زیر ضرب می‌شود.

$$\beta_5 = \beta_{5(2.5\%)} \times \eta \quad (12-5)$$

مقدار η از جدول (۳-۵) تعیین می‌گردد.

جدول ۳-۵ مقدار β

ثابت میرایی h_c (%)	ضریب تصحیح η	β_5 (2.5%)	۱۰	۵	۳	۲/۵	۲	۱/۵	۱	۰/۵
			۰/۸۲	۰/۸	۰/۹۴	۱	۱/۰۶	۱/۱۵	۱/۲۴	۱/۴۳

شکل ۴-۵ ضریب بزرگنمایی پاسخ شتاب $\beta_{5(2.5\%)}$

ب- وقتی جرثقیل بر روی سازه‌هایی از قبیل پایه و ساختمان نصب می‌گردد.

ضریب بزرگنمایی پاسخ شتاب β_5 از حاصلضرب λ ، در ضریب β_5 تعیین می‌گردد.

$$\lambda = 0.7 \times \sqrt{\frac{1 + \gamma}{0.925\gamma + 0.075}} \quad (13-5)$$

$$\text{وزن سازه تکیه‌گاهی} / \text{وزن جرثقیل} (\text{بار مرده} + \text{زنده}) = \gamma \quad (14-5)$$

عبارت λ در این پاراگراف با ساده‌سازی رابطه بزرگنمایی پاسخ با دو مدل سیستم جرم- فنر و با در نظر گرفتن حرکت دورانی (کوپلینگ) بین جرثقیل و پایه یا ساختمان، به دست می‌آید.

برای سادگی، این ضریب فقط از نسبت وزن جرثقیل به وزن سازه تکیه‌گاهی تعیین می‌گردد.

استفاده از تحلیل دینامیکی با در نظر گرفتن پریود طبیعی و ثابت میرایی نیز مناسب می‌باشد.

۷- نحوه محاسبه پریود طبیعی جرثقیل

$$T_z = 2\pi \sqrt{\frac{W \cdot \alpha_z}{g}} \quad (15-5)$$

پریود طبیعی در راستای حرکت T_z (sec)

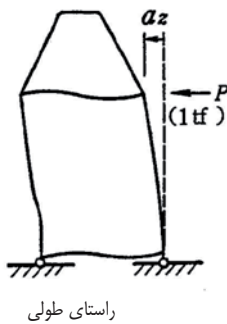
W: وزن در یک وجه تیر جرثقیل هوایی یا وزن کل به جز پایه پل جرثقیل (t)

g: شتاب گرانش زمین (980 m/s^2)

α_z : ضریب نرمی افقی تیر در راستای حرکت جرثقیل هوایی (cm/tf)

(همانطور که در شکل (۳-۵) نشان داده شده α_z تغییر مکان در محل می‌باشد که نیروی واحد افقی

(اعمال می‌شود) $P = 1.0 \text{ (tf)}$



شکل ۵-۵ نرمی قاب

۲-۲- نیروی جانبی زلزله از حاصل ضرب وزن جرثقیل در ضریب زلزله افقی در مرکز ثقل تعیین می‌گردد.

$$F = K \times W \quad (16-5)$$

W: وزن جرثقیل

K: ضریب زلزله بر حسب نوع تحلیل ($K_{\text{SH}}, K_{\text{MH}}$)

۳- ترکیب بارها

بارهای نقلی استاتیکی و دینامیکی در بحرانی ترین محل، مقدار و راستا با نیروی زلزله بصورت زیر ترکیب می‌شوند:

بار دینامیکی قائم + بار استاتیکی قائم + بار لرزه‌ای

۴- پایداری در مقابل واژگونی

برای تامین پایداری، مقدار لنگر پایدار در نقطه تکیه‌گاهی واژگونی جرثقیل باید بیشتر از مقدار لنگر واژگونی در آن نقطه باشد.

۴-۵- کمیت‌های مجاز

تنش مجاز مصالح توربین و ملحقات آن بر اساس فصل ۴، تعیین می‌گردد.

۵-۴-۴- معیار پذیرش

در هر حالت مقدار تنش ایجاد شده در اثر نیروی لرزاها طرح، نبایستی از تنش مجاز تعیین شده از بند پیشین بیشتر باشد.

۵-۵- دودکش

۱-۵-۵- روند

طراحی دودکش با ارتفاع ۶ متر یا کمتر، به روش شبه استاتیکی و با ارتفاع بیشتر از ۶ متر، به روش دینامیکی انجام می‌شود. یک روش ساده شده در تحلیل دودکش‌های بیش از ۶ متر، روش ضریب لنگر است که در آن لنگر خمسی و نیروی برشی مستقیماً به عنوان بار لرزاها به سازه وارد می‌شود. برای دودکش‌هایی که بار زیادی به بخش بالای آنها وارد شده یا صلیبت آنها بطور ناگهانی در قسمت‌های میانی تغییر می‌کند، باید از روش‌های دینامیکی استفاده گردد. برای دودکش‌های بسیار بلند از روش تحلیل مودال طیفی و تحلیل تاریخچه زمانی استفاده می‌شود.

۲-۵-۵- مراحل محاسبه

نیروی لرزاها دودکش مستقل را می‌توان علاوه بر روش ضریب لنگر با استفاده از تحلیل تاریخچه زمانی یا تحلیل مودال طیفی، بدست آورد. در ادامه روش ضریب لنگر ارائه خواهد شد. لنگر خمسی و نیروی برشی ایجاد شده در اثر نیروی لرزاها در ساختگاه دودکش با توجه به ارتفاع دودکش به صورت زیر محاسبه می‌شود.

$$(1) \text{ لنگر خمسی (N.m)}$$

$$M = 0.4 \cdot h \cdot C_{si} \cdot W \quad (17-5)$$

$$(2) \text{ نیروی برشی (N)}$$

$$Q = C_{si} \cdot W \quad (18-5)$$

h : ارتفاع از تراز دودکش (m)

C_{si} : ضریب توزیع تنش در راستای ارتفاع

$$C_{si} = K_{SH} \cdot Z \cdot \left(1 - \frac{h_i}{h}\right) \quad (19-5)$$

Z : ضریب زلزله منطقه‌ای

h_i : ارتفاع از تراز پایه در هر بخش دودکش (m)

W : مجموع وزن مرده و زنده بخش روزمینی دودکش (N)

K_{SH} : ضریب زلزله افقی

در اینجا، روش تخمین تنش عضو برای نیروی برشی طراحی و لنگر خمثی طراحی مطابق با لنگر اصلاحی، نشان داده می‌شود. مراحل محاسبه تنش عضو به صورت زیر توضیح و در شکل (۴-۵) نشان داده می‌شود.

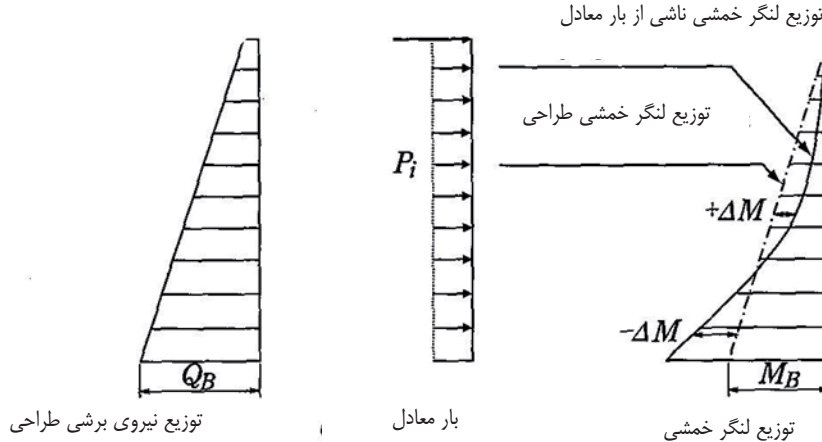
روش محاسبه تنش عضو:

۱- بار معادل P_i برای نیروی افقی (بار متتمرکز فوقانی و بار یکنواخت) در راستای نیروی برشی طراحی Q_i در نظر گرفته می‌شود.

۲- لنگر اصلاحی ΔM_i مربوط به اختلاف لنگر خمثی طراحی M_i و لنگر خمثی m_i ناشی از بار معادل در نظر گرفته می‌شود.

۳- تنش عضو با استفاده از تحلیل قاب استاتیکی و بار معادل P_i (بارگسترهای یکنواخت با همان اثر) و لنگر اصلاحی ΔM_i ، محاسبه می‌شود.

نیروی افقی در راستای توزیع نیروی برشی
طراحی



شکل ۶-۵ مفهوم محاسبه تنش عضو

لنگر اصلاحی ΔM ، از رابطه‌های زیر بدست می‌آید. لنگر خمثی در جهت بار معادل، مثبت و در جهت مخالف آن، منفی در نظر گرفته می‌شود. مفهوم لنگر اصلاحی در شکل (۴-۵) نشان داده است.

$$\Delta \alpha_i = \frac{(M_i - m_i) + (M_{i-1} - m_{i-1})}{2} \quad (20-5)$$

$$\left. \begin{array}{l} \Delta M_0 = M_0 - m_0 - \Delta a_0 \\ \Delta M_i = \Delta a_{i-1} - \Delta a_i \quad (1 \leq i < n) \\ \Delta M_n = \Delta a_{n-1} \end{array} \right\} \quad (21-5)$$

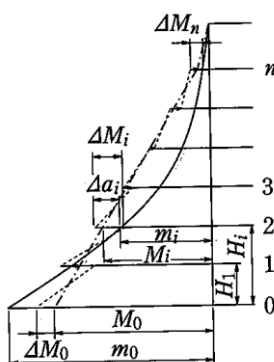
M_i : لنگر خمشی دودکش در ارتفاع i (kN.m)

m_i : لنگر خمشی ناشی از بار معادل که نیروی برشی طراحی را خنثی کند. (kN.m)

Δa_i : تفاوت لنگر خمشی طراحی i و لنگر خمشی m_i ناشی از بار معادل (kN.m)

ΔM_i : لنگر خمشی اصلاحی (kN.m)

H_i : ارتفاعی از تراز که تنש در آن محاسبه می‌شود. (m)



شکل ۷-۵ طرح کلی لنگر خمشی اصلاحی

۳-۵-۵- مقادیر مجاز

مقادیر مجاز تنش در مصالح سازه‌های بکار رفته در دودکش و ملحقات آن، به مقادیر تعیین شده در بخش مصالح فولادی ۳-۴ بستگی دارد.

۴-۵-۵- معیارهای پذیرش

مقدار تنش بدست آمده از نیروهای طراحی لرزه‌ای نباید از مقدار تنش مجاز بنده‌ای ذکر شده تجاوز کند.

۶- برج‌های خنک‌کن

طراحی برج خنک‌کن با کوران طبیعی باید با استفاده از ضوابط داده شده برای دودکش‌ها انجام شود.

۷-۵- واحد کنترل

۷-۵-۱- روند

۷-۵-۱-۱- روش طراحی

به طور کلی کنترل کننده‌ها و تجهیزات حفاظتی به روش شبه استاتیکی یا روش شبه استاتیکی اصلاح شده طراحی می‌شود.

تجهیزات حفاظتی و کنترل کننده نیروگاه حرارتی از سوئیچ‌های مختلف نصب شده در ساختگاه، گیرنده مبدل، محرک، کابل‌های متصل کننده تجهیزات، لوله‌کشی هوا و غیره تشکیل شده‌اند.

این تجهیزات تماماً دارای فرکانس‌های زیاد بوده و تقریباً صلب عمل می‌کنند. لذا روش شبه استاتیکی و یا در بعضی موارد با پریودهای بلندتر روش شبه استاتیکی اصلاح شده رفتار لرزاها آنها را بخوبی تبیین می‌نماید.

۷-۵- نیروی طراحی لرزاها

نیروی ناشی از زلزله بر این تجهیزات به صورت زیر بدست می‌آید:

$$F = K_{SH} \times W \quad (22-5)$$

F : نیروی لرزاها (N)

W : وزن (N)

K_{SH} : ضریب زلزله افقی طراحی بدست آمده از رابطه (23-۵)

$$K_{SH} = \beta_4 \cdot K_H \quad (23-5)$$

β_4 : ضریب بزرگنمایی پاسخ تجهیز

K_H : شدت لرزه در سطح زمین در محل نصب

۱- شدت لرزه در سطح زمین تحت عنوان بارگذاری شریانهای حیاتی با توجه به شتاب مبنای، ضریب اهمیت تجهیز، ضریب پهنه بندی و ضریب بزرگنمایی خاک محاسبه می‌شود.

۲- ضریب بزرگنمایی پاسخ تجهیز

• چون ضریب بزرگنمایی هر تجهیز متفاوت می‌باشد، نمی‌توان یک مقدار خاص به انواع مدل‌های آن اختصاص

داد.

• شرکت سازنده قبل از آزمایش لرزش مربوط به تجهیزات را به روشهای مناسب انجام داده و سپس مشخصات

مقاومت لرزاها استاندارد آنها مشخص می‌شود.

• برای تجهیزاتی که انجام آزمایشات لرزش در آنها مشکل می‌باشد، ضریب بزرگنمایی هر تجهیز با استفاده از

روش‌هایی مانند تحلیل غیرمستقیم مشخصات مقاومت لرزاها از روی اطلاعات لرزاها تعیین می‌شود.

- ضریب بزرگنمایی تجهیز در راهنمای طراحی لرزه‌ای تجهیزات الکتریکی پست‌ها برای بخش‌های تامین برق داخلی برابر $1/6$ و برای صفحه کلیدها برابر $2/5$ می‌باشد.

۳-۱-۷-۵- روشن محاسبه تنش پیچ مهار

در تجهیزات حفاظت و کنترل، ارتفاع تجهیزات در مقایسه با ارتفاع طبقه زیاد بوده و در اثر زلزله امکان سقوط آنها وجود دارد. بنابراین، لازم است در محل نصب، توسط پیچ با مقاومت کافی مهار شود.

مقاومت پیچ مهار از رابطه‌های زیر بدست می‌آید:

- لنگر واژگونی صفحه و بار ناشی از عمل مهاری پیچ مهار لنگر واژگونی صفحه از رابطه (۲۴-۵) بدست می‌آید.

$$M_t = K_{SH} \times W \times H_O + K_{SV} \times W \times L_1 - W \times L_2 \quad (24-5)$$

M_t : لنگر واژگونی صفحه (N.m)

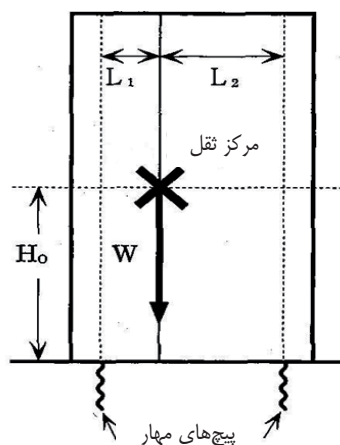
K_{SH} : ضریب زلزله افقی با استفاده از رابطه (۲۳-۵)

W : وزن صفحه (N)

H_O : ارتفاع از تراز کف تا مرکز نقل صفحه (mm)

$K_{SV} = K_{SH}/2$: ضریب زلزله قائم (K_{SV})

L_2 : فاصله افقی مرکز نقل صفحه و پیچ مهاری (mm)



شکل ۸-۵ ابعاد صفحه

در $M_t > 0$ ، صفحه تمایل به واژگونی دارد. در چنین شرایطی، رابطه (۲۵-۵) برای نیروی ناشی از عمل مهاری وارد بر پیچ مهار باید تأیید شود.

$$T_0 = \frac{M_t}{n \cdot (L_1 + L_2)} \leq T_a \quad (25-5)$$

T_0 : نیروی ناشی از عمل مهاری وارد بر یک پیچ مهاری (N)

n: تعداد پیچ‌های مهار یک وجه

T_a : نیروی ناشی از عمل مهاری مجاز لرزه‌ای پیچ مهاری (N)

-۲ مقاومت پیچ مهاری

تنش برشی و کششی وارد بر پیچ مهار در زلزله با استفاده از رابطه‌های (۲۶-۵) و (۲۷-۵) تایید می‌شود.

$$\tau = \frac{K_{SH} \cdot W}{N \cdot A_s} f_s \quad (26-5)$$

$$\sigma = \frac{T_0}{A_s} f_t \quad (27-5)$$

τ : تنش برشی وارد بر یک پیچ مهار در زلزله (N/mm²)

N: تعداد کل پیچ‌های مهار

A_s : سطح مقطع موثر پیچ مهاری (mm²)

f_s : تنش برشی مجاز پیچ مهاری در زلزله (N/mm²)

σ : تنش کششی وارد بر یک پیچ مهاری در زلزله (N/mm²)

f_t : تنش کششی مجاز پیچ مهاری در زلزله (N/mm²)

در $\tau > 44 N/mm^2$ ، زمانیکه نیروی برشی و کششی همزمان اعمال می‌شود، رابطه (۲۸-۵) باید برقرار باشد.

$$\sigma \leq f_{ts} = 1.4f_t - 1.6\tau \quad (28-5)$$

f_{ts} : تنش مجاز پیچ مهاری در زلزله زمانیکه نیروی برشی و کششی در یک زمان وارد می‌شود. (N/mm²)

۵-۷-۲- شدت لرزه هر یک از تجهیزات

۱- برد کنترل و برد دستگاه محافظه

(الف) در منطقه فرکانس غالب زلزله، طراحی باید به گونه‌ای انجام شود که ضریب تشید صفحه، کمترین مقدار ممکن شود.

(ب) برای سازه‌های مقاوم لرزه‌ای، در حد امکان باید از نصب صفحه کنترل بر بالشتک لاستیکی، اجتناب شود. زمانیکه نصب با استفاده از بالشتک لاستیکی و با هدف جذب ارتعاشات مکانیکی اجتناب ناپذیر است، اقداماتی برای پیشگیری از سقوط و لغزش صفحه باید انجام گیرد.

(ج) پیچ‌های مهار باید به طور کامل به صفحه پایه بسته شوند.

(د) زمانیکه رایانه‌ها بر روی کف نصب می‌شود، لازم است که از سقوط کایبینت پیشگیری شود.
۵) دستگاه‌های جانی و میز کنسولی باید ثابت شود.

(و) چون کامپیوترها از سیستم‌هایی مانند دیسک‌های مغناطیسی و سایر دستگاه‌های جانی، تشکیل شده‌اند که در برابر زلزله ضعیف هستند، انتخاب سطح و روش نصب تجهیزات، حائز اهمیت بوده و بطور جداگانه باید برای مقاومت در برابر زلزله کنترل شود.

۲- صفحه کلید داخلی(زیرسقف)

(الف) در محل نصب، دزnekتور باید در اطافک مهار شود. طراحی دزnekتور باید به نحوی باشد که در هنگام زلزله هیچ آسیبی به صفحه نزدیک و در اثر برخورد با آن هیچ آسیبی نبیند.

(ب) سایر موارد به بند ۱ مراجعه شود.

۳- سیستم کنترل ایمنی

۳-۱- سیستم تأمین برق اضطراری

(الف) چون سیستم تأمین برق اضطراری یک سیستم بسیار ضروری است، به منظور تامین ایمنی نیروگاه حرارتی، طراحی به گونه‌ای باید انجام شود که در اثر زلزله هیچ آسیبی به آنها وارد نشده و بلافاصله پس از اتمام زلزله فعالیت خود را مجددآ شروع کنند.

(ب) در طراحی لرزه‌ای موارد زیر را باید در نظر گرفته شود.

(i) انتخاب مخزن با سقف مناسب و ظرفیت کافی برای تأمین آب لازم سیستم خنک کن.

(ii) برای ژنراتورهای دیزلی با تکیه‌گاه جداگر ارتعاشی، اقداماتی برای پیشگیری از سقوط و لغزش باید انجام گیرد.

(iii) برای جلوگیری از سرربز مخزن در اثر تلاطم، باید بتوان کلاهک آدمرو با استفاده از پیچ ثابت کرد.

iv) تغییر مکان ناشی از زلزله باید با دادن خم به لوله قابل جذب باشد.

v) برای صفحه کنترل، صفحه کلید، تجهیز حفاظتی، مخزن هوا برای شروع و تاسیساتی مانند کمپرسور هوا، مخازن سوخت و مخزن سوخت روزانه به قسمت ۱ مراجعه شود.

۲-۳- شارژر و باتری انبارهای

الف) در طراحی لرزه‌ای موارد زیر باید در نظر گرفته شود.

i) به منظور عدم تشديد بین فرکانس طبیعی باتری انبارهای و فرکانس غالب منطقه زمین‌لرزه، طراحی برای حداقل ۱۰ هرتز یا بیشتر انجام شود.

ii) سازه به گونه‌ای طراحی شود که حتی در صورت لرزش مایع داخلی در اثر زلزله، الکتروولیت ریزش نکند.

iii) مقاومسازی قفسه و طراحی سازه بدون جایجایی یا لغزش باتری انبارهای باید انجام شود.

iv) آرایش مناسب باطری در یک ردیف طوری باید که در اثر نیروی زلزله آسیبی به باتری‌ها وارد نشود.

v) استفاده از اتصالات انعطاف‌پذیر به گونه‌ای که پست ترمینال باتری در اثر حرکت و انتقال باتری انبارهای و ارتعاش کابل آسیب نبیند.

برای شارژر به بخش ۱ مراجعه کنید.

۳-۳- سیستم روشنایی اضطراری

- نورافکن در حد امکان باید به سازه مهار شود.

۴- سیستم اطلاع‌رسانی (Paging)

الف) سیستم پیچینگ با استی میزان تشید در قفسه را از طریق کاهش ارتفاع مرکز ثقل یا طریق دیگری محدود کند.

ب) ضریب تشید سیستم اطلاع‌رسانی (Paging)، β_5 در طبقه سوم برابر با $2/5$ در طبقه دوم 1.5 و طبقه اول ۱ در نظر گرفته می‌شود.

۵- سایر موارد

۱-۵- لوله‌کشی و سیم‌کشی

الف) سیم‌کشی و لوله‌کشی باید طوری طراحی شود که با قابلیت انعطاف‌پذیری زیاد خود بتواند نیروی لرزه‌ای بزرگ ناشی از زلزله را تحمل کند.

ب) در طراحی لرزه‌ای موارد زیر باید در نظر گرفته شود.

i) انعطاف‌پذیری کافی و مطمئن برای اتصال بین تجهیزات با خصوصیات ارتعاشی مختلف تامین گردد. علاوه‌براین، در محل اتصال انعطاف‌پذیر باید این مسئله مد نظر قرار گیرد که در اثر خمین، هیچ تماسی با سایر بخش‌ها برقرار نشده و در عملکرد ایزو‌لاتورها هیچ وقفه‌ای ایجاد نشود.

ii) بخش‌های زیر طوری طراحی شود که در بخش‌های نصب شده در زیرزمین نشست نامتقارن ایجاد نشود و در صورت ایجاد نشست جزئی با قابلیت انعطاف‌پذیری کافی بتواند آن را تحمل کند.

- بخش‌های عوری از پی ساختمان

- سایر بخش‌های مشابه

ج) در مسیریابی نباید خطر سقوط بخش‌های بالای وجود داشته باشد.

۲-۵- توقف عملکرد نیروگاه در اثر زلزله

طراحی باید به گونه‌ای انجام شود که در زمان وقوع زلزله، واحد تولید برق بدون خطر و با اطمینان متوقف گردد.

۳-۵- پیشگیری از خرابی تجهیزات حفاظتی

طراحی تجهیزات حفاظتی باید طوری انجام شود که در اثر زلزله آسیبی به آنها وارد نشود.

۳-۷-۵- مقادیر مجاز

تنش مجاز مصالح سازه‌ای مورد استفاده، به مقدار تعیین شده در فصل ۴ بستگی دارد.

۴-۷-۵- معیارهای پذیرش

مقدار تنش بدست آمده از نیروهای طراحی لرزه‌ای باید از مقدار تنش مجاز بندهای مربوطه در فصل ۴ تجاوز کند.

فصل ۶

طراحی لردهای و کنترل ایمنی

مخازن سوخت نفتی

۶-۱- سطح عملکرد مخازن سوخت نفتی

مخازن سوخت نفتی باید به گونه‌ای طراحی گردد که در سطح خطر-۱ زلزله هیچگونه آسیبی به آن وارد نشده و بهره‌برداری بی وقفه ادامه یابد.

در سطح خطر-۲ نیز شکست و تغییرشکل مختل کننده طولانی مدت بهره‌برداری، رخ نداده و نشت مواد سوختی اتفاق نیافتد.

۶-۲- طراحی لرزاها

۶-۲-۱- روند

بارگذاری لرزاها مخازن با توجه به ظرفیت مخزن به یکی از روش‌های شبه استاتیکی، شبه استاتیکی اصلاح شده و دینامیکی صورت می‌پذیرد.

برای طراحی نیز از روش تنش مجاز برای سطح خطر-۱ و از روش‌های شکل پذیر برای سطح خطر-۲ استفاده می‌شود.
در ادامه، این روشها حسب مورد برای مخازن سوخت نفتی نیروگاهی با توجه به ظرفیت آنها ارائه شده است.

۶-۲-۲- روش‌های محاسبه

۶-۲-۲-۱- ضرایب لرزا روش استاتیکی

مخازن بر حسب ظرفیت به سه نوع، مخازن با ظرفیت بیشتر از ۱۰۰۰ متر مکعب، کمتر از ۱۰۰۰ و بیشتر از ۵۰۰ متر مکعب و کمتر از ۵۰۰ متر مکعب تقسیم می‌شوند.

۱- مخزن (ظرفیت 1000m^3 یا بیشتر)

بار طراحی لرزاها با در نظر گرفتن ترکیب بارهای زیر محاسبه می‌گردد:

- بار در حالت بهره‌برداری عادی+بار ناشی از اثرات شتاب زلزله

- بار در حالت بهره‌برداری عادی+بار ناشی از اثرات تغییر مکان زلزله

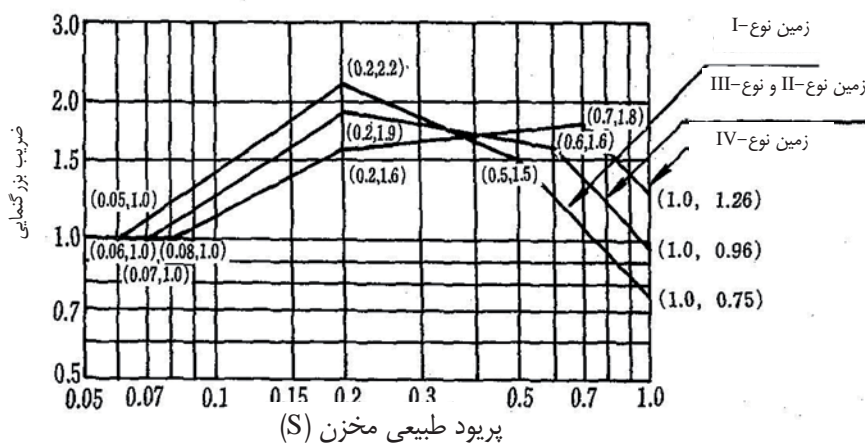
۱- ضربی زلزله، مربوط به اثرات شتاب زلزله

ضرایب زلزله افقی، K_{MH} و قائم، K_{MV} با استفاده از روش شبه استاتیکی اصلاح شده، از روابط زیر محاسبه می‌گردد.

$$K_{MH} = \beta_5 \cdot K_H \quad (1-6)$$

$$K_{MV} = K_{MH} / 2 \quad (2-6)$$

β_5 : نسبت بزرگنمایی که در آن پریود طبیعی مخزن در نظر گرفته شده و از شکل (۱-۶) تعیین می‌گردد.



شکل ۶-۱ ضریب بزرگنمایی مخزن بر حسب پریود طبیعی مخزن

۱- ضریب زلزله برای مخزن با تلاطم

در این حالت به علت کم بودن شتاب، اثر سرعت پاسخ افقی، در نظر گرفته می‌شود.

$$K_{M2} = 0.15 \cdot \beta_1 \cdot \beta_2 \cdot v_6 \quad (۳-۶)$$

$$v_6 = \frac{4.5}{T_s} \quad (۴-۶)$$

K_{M2} : ضریب زلزله افقی طرح مربوط به تلاطم مایع

β_1 : ضریب اهمیت (یک در نظر گرفته می‌شود)

β_2 : نسبت شتاب مبنای طرح

v_6 : ضریب بزرگنمایی که در آن پریود طبیعی تلاطم مایع در نظر گرفته می‌شود.

T_s : پریود طبیعی تلاطم مایع (s) که از رابطه (۹-۶) محاسبه می‌گردد.

۲- مخزن (ظرفیت کمتر از ۱۰۰۰ و بیشتر از ۵۰۰ مترمکعب)

بار طراحی لرزه‌ای با در نظر گرفتن ترکیب بار زیر محاسبه می‌گردد.

بار در حالت بهره‌برداری عادی + بار ناشی از شتاب

ضرایب زلزله افقی، K_{MH} و قائم، K_{MV} با استفاده از روش شبه استاتیکی اصلاح شده از رابطه‌های (۱-۶) و (۲-۶) بدست می‌آید.

۳- مخزن (با ظرفیت کمتر از ۵۰۰ متر مکعب)

در این حالت می‌توان از اثرات شتاب قائم و تغییرمکان در زلزله صرف‌نظر کرد و مخزن را همانند یک جسم صلب فرض و آن را با روش شبه استاتیکی همانند بدنه اصلی بویلر در فصل ۵ تحلیل نمود. ضریب زلزله در این حالت در زیر ارائه شده است.

$$K_{SH} = K_H \cdot \beta_4 \quad (۵-۶)$$

$$\beta_4 = \max\{1, 0.0125 \times h + 0.8\} \quad (۶-۶)$$

h: ارتفاع مخزن

۱- پریود طبیعی مخزن با استفاده از رابطه (۷-۶) تعیین می‌گردد.

$$T_b = \frac{2J}{\lambda} \cdot \sqrt{\frac{W}{\pi \cdot g \cdot E \cdot t_{(1/3)}}} \quad (7-6)$$

T_b : پریود طبیعی مخزن (s)

λ : مقداری است که از رابطه (۸-۶) تعیین می‌گردد.

$$\lambda = 0.067 \cdot (H/D_I)^2 - 0.30 \cdot (H/D_I) + 0.46 \quad (8-6)$$

H: ارتفاع تراز حداکثر مایع (mm)

D_I : قطر داخلی مخزن ذخیره واقع در محوطه (mm)

W: وزن (N)

g: شتاب گرانش (mm/s^2)

E: مدول ارتجاعی (N/mm^2)

$t_{(1/3)}$: ضخامت ورق کناری در ارتفاع یک سوم تراز حداکثر مایع از کف مخزن (جز خودگی مجاز) (mm)

J: ضریب تصحیح مربوط به تأثیر اندرکنش پی، زمین و بدنه اصلی مخزن می‌باشد. برای مخزن ذخیره خارجی با پی گستردگی واقع بر خاک نوع ۴-۳، ۱/۱ و برای سایر موارد ۱ در نظر گرفته می‌شود.

۲- پریود طبیعی مربوط به تلاطم مایع از رابطه (۹-۶) تعیین می‌گردد.

$$T_s = 2 \cdot \pi \cdot \sqrt{\frac{D_I}{3.68 \cdot g} \cdot \coth\left(\frac{3.68 \cdot H}{D_I}\right)} \quad (9-6)$$

T_s : پریود طبیعی تلاطم مایع (s)

در مخازن با ظرفیت کمتر از $1000 m^3$ به علت کوچک بودن قطر، ارتفاع آنها از قطرشان بیشتر می‌باشد، لذا از اثر تلاطم به علت تأثیر کمتر فشار هیدرودینامیکی ناشی از تلاطم مایع، نسبت به فشار دینامیکی ناشی از شتاب زمین، صرف نظر می‌گردد.

۶-۲-۲-۲-۲-بار طراحی

پس از محاسبه ضرایب لرده در روش شبه استاتیکی، بار طراحی باید به صورت زیر محاسبه گردد.

۱- بار لردهای طراحی

بارهای مختلف مخزن در شرایط عادی و زلزله بشرح زیر در نظر گرفته می‌شوند:

۱-۱- بار در حالت بهره‌برداری عادی

- وزن مخزن

- وزن مایع

- بار زنده -

۲-۱- بار در هنگام زلزله (بار مربوط به مؤلفه قائم و تغییرمکان در زلزله در مخازن با ظرفیت کمتر از 500 متر مکعب در نظر گرفته نمی‌شود)

- فشار هیدرودینامیکی ناشی از ضربیت زلزله قائم و افقی به علت اثرات شتاب زلزله
- فشار هیدرودینامیکی ناشی از ضربیت زلزله افقی به علت اثرات تغییرمکان زلزله
- نیروی افقی ناشی از بار مرده در اثر ضربیت زلزله افقی و بار زنده
- بار قائم افزایش یافته ناشی از ضربیت زلزله قائم در بار مرده و بار زنده
- وزن مخزن با در نظر گرفتن وزن مخصوص فولاد محاسبه می‌گردد.

۲- ترکیب بار طراحی

در جدول (۶-۱) ترکیب حالت بارگذاری و نوع بار نشان داده شده است.

جدول ۶-۱ ترکیب حالت بارگذاری و نوع بار

اثرات استاتیکی (مخاطرات ژئوتکنیکی) زمین لرزه	اثرات دینامیکی (ارتعاش) زمین لرزه	در حالت بهره‌برداری عادی	نوع بار
○	○	○	بار مرده
○	○	○	بار مایع
○	○	○	بار زنده
○	○	×	فشار هیدرودینامیکی در اثر نیروی لرزه‌ای افقی
×	○	×	کمتر از 1000 m^3
×	○	×	فشار هیدرودینامیکی در اثر لرزش قائم
×	○	×	کمتر از 1000 m^3

توجه ۱) در مخازن با ظرفیت کمتر از 500 m^3 نیروها با در نظر گرفتن محتوای مایع به صورت جسم صلب محاسبه می‌گردد.

توجه ۲) در جدول بالا علامت دایره به معنی در نظر گرفته شدن و علامت ضرب به معنی در نظر نگرفتن می‌باشد.

۶-۲-۳- برسی ارتفاع مجاز مربوط به تلاطم مایع

در مخازن با ظرفیت 1000 m^3 و بیشتر، ارتفاع مجاز مربوط به تلاطم مایع باید کمتر از ارتفاع لبه بالایی ورق کناری از تراز سیال باشد، که از رابطه (۶-۱۰) محاسبه می‌گردد.

$$H_C = 0.45 D_1 K_{M2} \quad (\text{mm}) \quad (6-10)$$

H_C : ارتفاع لبه فوقانی ورق کناری (mm)

۶-۲-۴- بررسی واژگونی و لغزش

بررسی واژگونی و لغزش مخزن در هنگام زلزله ضروری است.

۱- بررسی واژگونی

لنگر واژگونی مخزن ناشی از مولفه افقی (حرکت صلب مایع) و تلاطم مایع، نباید از لنگر مقاوم مربوطه، بیشتر گردد.

M_{T2} و M_{T1} به ترتیب لنگر واژگونی در اثر مولفه افقی (حرکت صلب مایع) و تلاطم مایع بوده و لنگر مقاوم مربوط

به هر دو به ترتیب M_{RT1} و M_{RT2} است که باید:

$$M_{T1} \leq M_{RT1} \quad (11-6)$$

$$M_{T2} \leq M_{RT2} \quad (12-6)$$

۲- بررسی لغزش

نیروی افقی ایجاد شده در مخزن ناشی از مولفه افقی (حرکت صلب مایع) و تلاطم مایع نباید از نیروی مقاوم در برابر

لغزش آن بیشتر گردد.

Q_P و Q_{PS} به ترتیب نیروی افقی کف در اثر مولفه افقی (حرکت صلب مایع) و تلاطم مایع بوده و نیروی مقاوم

مربوط به هر دو به ترتیب F_1' و F_2' است که باید:

$$Q_P \leq F_1' \quad (13-6)$$

$$Q_{PS} \leq F_2' \quad (14-6)$$

۱- بررسی واژگونی

لنگرهای واژگونی M_{T1} و M_{T2} در اثر زلزله افقی و تلاطم مایع از رابطه‌های (۱۵-۶) و (۱۶-۶) به دست می‌آید و

لنگرهای مقاوم M_{RT1} و M_{RT2} از رابطه‌های (۱۵-۶) و (۱۶-۶) به دست می‌آید.

$$M_{T1} = M_P + M_{PB} \quad (\text{N.mm}) \quad (15-6)$$

$$M_{T2} = M_{PS} + M_{PBS} \quad (\text{N.mm}) \quad (16-6)$$

$$M_{RT1} = (W_T + W_L)(1 - K_{MV}).D / 2 + \sigma_a.N_B.A_B.D / 4 \quad (\text{N.mm}) \quad (17-6)$$

$$M_{RT2} = (W_T + W_L).D / 2 + \sigma_a.N_B.A_B.D / 4 \quad (\text{N.mm}) \quad (18-6)$$

M_{PB} و M_P : لنگر ایجاد شده در ورق کناری و کف در اثر مولفه افقی زلزله (N.mm)

M_{PBS} و M_{PS} : لنگر ایجاد شده در ورق کناری و کف در اثر تلاطم مایع (N.mm)

W_T : وزن بدنه مخزن بجز ورق کف و ورق حلقوی (N)

W_L : وزن مایع ذخیره شده (N)

N_B : تعداد پیچ‌های مهاری

A_B : سطح مقطع پیچ مهاری (mm^2)

σ_a : تنش کششی مجاز پیچ مهاری (N/mm^2)

D : قطر خارجی مخزن (mm)

۱-۱- لنگر در کف ورق کناری در اثر مولفه افقی زلزله از رابطه (۱۹-۶) محاسبه می‌گردد.

$$M'_P = K_{MH} \left(\frac{W_0 H_0 - W_1 H_1}{\beta_5} + W_1 H_1 + W'_S H'_S + W'_r H'_r \right) \quad (19-6)$$

می‌گردد: M'_P : لنگر در کف ورق کناری (N.mm)

H'_S : ارتفاع مرکز ثقل ورق کناری از کف ورق کناری (mm)

H'_r : ارتفاع مرکز ثقل ورق سقف از کف ورق کناری (mm)

W_0 : وزن آب ثابت (N) (از نسبت ارتفاع تراز فوقانی به قطر مخزن ذخیره خارجی با استفاده از شکل (۳-۶) به دست می‌آید)

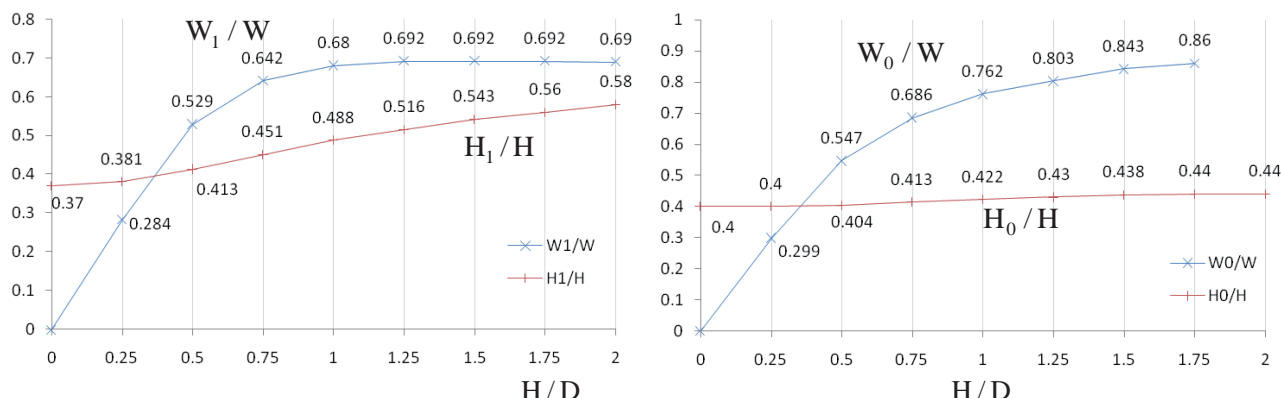
W_1 : وزن آب متناظر (N) (از شکل (۳-۶) به دست می‌آید)

W'_S : وزن ورق کناری و تجهیزات الحاقی (N)

W'_r : وزن ورق سقف و تجهیزات الحاقی (N)

H_0 : محل اثر آب ثابت (mm) (از نسبت ارتفاع تراز فوقانی به قطر مخزن ذخیره خارجی با استفاده از شکل (۲-۶) به دست می‌آید).

و H_1 : محل اثر آب متناظر (mm)



شکل ۶-۳ رابطه بین $\frac{H_1}{H}$ با $\frac{H}{D}$ و $\frac{W_1}{W}$ با $\frac{H}{D}$

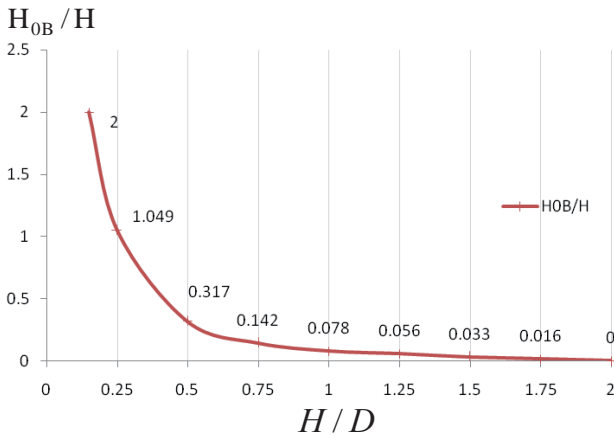
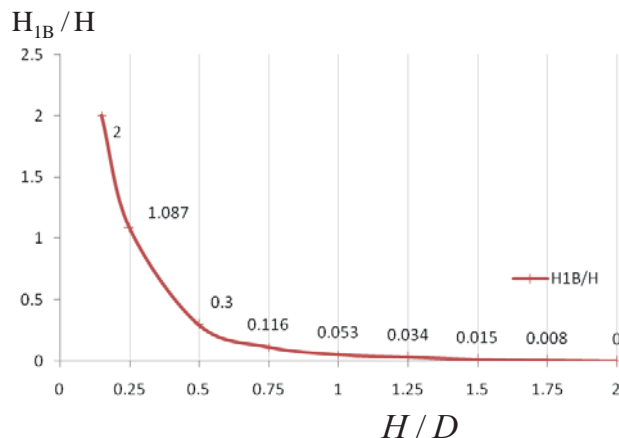
شکل ۶-۲ رابطه بین $\frac{H_0}{H}$ با $\frac{H}{D}$ و $\frac{W_0}{W}$ با $\frac{H}{D}$

۱-۲- لنگر ایجاد شده در ورق کف در اثر زلزله از رابطه (۲۰-۶) محاسبه می‌گردد.

$$M_{PB} = W_0 \cdot H_{0B} \cdot K_{MH} / v_{6..} + W_1 \cdot H_{1B} \left(1 - \frac{1}{\beta_5} \right) K_{MH} \quad (\text{N.mm}) \quad (20-6)$$

می‌گردد: M_{PB} : لنگر ایجاد شده در ورق کف (N.mm)

H_{1B} و H_{0B} : ارتفاع تبدیل شده (از نسبت ارتفاع تراز فوقانی و قطر مخزن ذخیره خارجی با استفاده از شکل‌های (۴-۶) یا (۵-۶) به دست می‌آید) (mm).

شکل ۶-۵ رابطه بین $\frac{H_{0B}}{H}$ با $\frac{H}{D}$ شکل ۶-۶ رابطه بین $\frac{H_{1B}}{H}$ با $\frac{H}{D}$

۱-۳- لنگر ورق کف کناری در اثر تلاطم از رابطه (۲۱-۶) محاسبه می‌گردد.

$$M'_{PS} = W_O \cdot \eta_{max} \cdot \frac{\tanh(3.68H/D) - D/3.68H\{1 - \operatorname{sech}(3.68H/D)\}}{1.84} \quad (21-6)$$

۱-۴- M'_{PS} : لنگر ایجاد شده در ورق کناری در اثر تلاطم مایع (N.mm)

(mm): حداکثر تغییرمکان تراز مایع که از رابطه (۲۲-۶) به دست می‌آید.

$$\eta_{max} = 0.42D_I K_M 2 \quad (22-6)$$

۱-۵- لنگر ایجاد شده در ورق کف در اثر تلاطم مایع از رابطه (۲۳-۶) محاسبه می‌گردد.

$$M_{PBS} = W_0 \cdot \eta_{max} \cdot \frac{D \cdot 0.148}{H \cosh(3.68H/D)} \quad (23-6)$$

۱-۶- لنگر وارد بر ورق کناری

برای بدست آوردن لنگرهای M_P, M_{PS} وارد بر ورق کناری، می‌توان از رابطه‌های زیر و لنگرهای پایین ورق کناری استفاده کرد.

$$M_P = \left(1 - \frac{Z}{H}\right)^2 \cdot M'_P \quad (24-6)$$

$$M_{PS} = \left(1 - \frac{Z}{H}\right)^{1.3} \cdot M'_{PS} \quad (25-6)$$

mm: ارتفاع از کف مخزن بر حسب Z

- بررسی لغزش

۱-۷- Q_P و Q_{PS} به ترتیب نیروی‌های افقی در اثر مولفه افقی زلزله و تلاطم مایع می‌باشد که به ترتیب از رابطه‌های (۲۶-۶) و (۲۷-۶) به دست می‌آید و نیروی‌های مقاوم در برابر هر یک از این نیروها به ترتیب از رابطه‌های (۲۸-۶) و (۲۹-۶) به دست می‌آید.

۱-۲- نیروی افقی کف Q_P در اثر مؤلفه افقی زلزله از رابطه (۲۶-۶) تعیین می‌گردد.

$$Q_P = K_{MH} \left(\frac{W_0 - W_1}{\beta_5} + W_1 + W'_s + W'_r \right) \quad (26-6)$$

(N) : نیروی افقی کف Q_P

۲-۲- نیروی افقی کف Q_{PS} در اثر تلاطم از رابطه (۲۷-۶) تعیین می‌گردد.

$$Q_{PS} = \frac{\eta_{max}}{H} \cdot \frac{\tanh(3.68H/D)}{1.84} W_0 \quad (27-6)$$

(N) : نیروی افقی کف در اثر تلاطم Q_{PS}

۳-۲- نیروی مقاوم در اثر مؤلفه افقی (حرکت صلب مایع) و تلاطم مایع به ترتیب از رابطه‌های (۲۸-۶) و (۲۹-۶) به دست می‌آید.

$$F'_2 = (W_T + W_L) \cdot \mu \cdot (1 - K_{MV}) + \frac{1}{2} \cdot \tau_a N_B \cdot A_B \quad (28-6)$$

$$F'_2 = (W_T + W_L) \cdot \mu + \frac{1}{2} \cdot \tau_a N_B \cdot A_B \quad (29-6)$$

A_B ، N_B ، K_V ، W_L ، W_T : مانند قسمتهای ذکر شده فوق

τ_a : تنش برشی مجاز پیچ مهاری که از رابطه (۳۰-۶) بر حسب مقاومت کششی مجاز تعیین می‌گردد.

$$\tau_a = \sigma_a / \sqrt{3} \quad (N/mm^2) \quad (30-6)$$

μ : ضریب اصطکاک کف مخزن با پی، در حدود $1/4$.

۶-۲-۲-۵- مطالعه تنش ایجاد شده در زلزله

برای تنش ایجاد شده در زلزله موارد زیر باید مورد مطالعه قرار گیرد.

۱- تنش کششی پیرامونی ورق کناری

تنش کششی پیرامونی ورق کناری بدست آمده از رابطه (۳۱-۶) باید کمتر از تنش مجاز باشد.

$$\sigma_c = \frac{P \cdot D}{2t} \quad (31-6)$$

$$P = P_{ST} + \sqrt{P_h^2 + P_v^2} \quad (32-6)$$

σ_c : تنش کششی پیرامونی (N/mm^2)

t : ضخامت ورق (mm) به استثنای مقدار مجاز خوردنگی

P_{ST} : فشار هیدرواستاتیکی (MPa)

P_h : فشار هیدرودینامیکی وارد بر ورق کناری در اثر مؤلفه افقی زمین‌لرزه افقی (MPa)

P_v : فشار هیدرودینامیکی وارد بر ورق کناری در اثر مؤلفه قائم زمین‌لرزه قائم (MPa)

برای مطالعه فشار هیدرولیکی ناشی از تلاطم سیال باید از رابطه (۳۳-۶) استفاده شود.

$$P = P_{ST} + P_s \quad (33-6)$$

P_{ST} : فشار هیدرولیکی (MPa)

P_s : فشار هیدرولیکی دینامیکی که بر صفحه کناری به واسطه تلاطم اعمال می‌شود.

۲- بخش گوشه ورق کناری و ورق حلقوی یا ورق کف

تنش موضعی ایجاد شده در گوشه ورق کناری، ورق حلقوی یا ورق زمینه باید کمتر از تنش مجاز باشد.

تنش حاصل، تنش ثانویه بوده و با استفاده از رابطه (۳۴-۶) و (۳۵-۶) محاسبه می‌شود.

۱-۲- حالت بدون مهار

تنش خمشی گوشه‌ی ورق حلقوی ناشی از زلزله از رابطه (۳۴-۶) محاسبه می‌شود.

$$\Delta\sigma_B = \frac{12}{t_B^2} \left| M_m \cdot M_o + M_v \cdot V_1 + M_q \frac{P_1}{K_B} D_B \right| \quad (34-6)$$

M_0 : لنگر استاتیکی نامعین ایجاد شده در گوشه انتهای پایینی ورق (N.mm/mm)

V_1 : نیروی قائم انتهای پایینی ورق کناری ناشی از لنگر واژگونی در زلزله (N.mm)

P_1 : فشار هیدرودینامیکی در گوشه (MPa)

K_B : مدول ضریب واکنش خاک (N/mm³)

D_B : مقاومت خمشی ورق حلقوی، از رابطه (۵۵-۶) محاسبه می‌گردد.

t_B : ضخامت ورق حلقوی (mm)

M_q, M_v, M_m : ضریب تاثیر برای پارامترهای (۴۸-۶)، (۴۹-۶) که به ترتیب از رابطه‌های (۴۰-۶) بدست می‌آید.

۲-۲- حالت با مهار

تنش خمشی گوشه ورق حلقوی ناشی از زلزله از رابطه (۳۵-۶) محاسبه می‌شود.

$$\Delta\sigma_B = 2K\alpha_m P_0 \frac{D}{2 \cdot t_L} \quad (35-6)$$

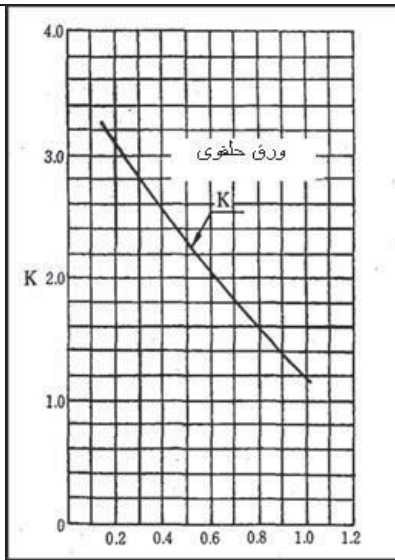
K : شاخص تنش با توجه به شکل (۶-۶)

t_L : ضخامت ورق بخش پایینی در ورق کناری (به استثنای مقدار مجاز خوردگی) (mm)

t_B : ضخامت ورق حلقوی (mm) استفاده شده در شکل (۶-۶) برای تعیین K

α_m : عدد تاثیر توزیع فشار هیدرودینامیکی

P_0 : فشار هیدرودینامیکی در گوشه (MPa)



شکل ۶-۶ (ضخامت ورق کناری/(ضخامت ورق حلقوی یا زمینه)) نسبت ضخامت ورق

۳- بررسی کمانش پوسته مخزن

تنش کمانش ناشی از مؤلفه افقی و مؤلفه قائم زلزله و تلاطم سیال نباید از مقدار تنش مجاز تجاوز کند.

تنش محوری فشاری ایجاد شده در ورق کناری از رابطه (۳۶-۶) بدست می‌آید.

$$\sigma_b = \frac{N}{A} + \frac{2M_p}{AD_I} \quad (36-6)$$

σ_b : تنش محوری فشاری (N/mm^2)

N : بار قائم با در نظر گرفتن ضریب زلزله قائم (N)

A : سطح مقطع (mm^2)

M_p : لنگر ورق کناری (N.mm)

برای مطالعه تلاطم سیال، لنگر M_{ps} (N.mm) ورق کناری ناشی از تلاطم سیال با استفاده از رابطه (۳۷-۶) بدست می‌آید.

$$\sigma_b = \frac{N}{A} + \frac{2M_{ps}}{AD_I} \quad (37-6)$$

۱- روش محاسبه فشار هیدرودینامیکی وارد بر ورق کناری در اثر زلزله افقی

$$P_h = P_{h0} + P_{h1} \quad (38-6)$$

P_h : فشار هیدرودینامیکی وارد بر ورق کناری در ارتفاع Z از کف (MPa)

P_{h1} : طبق رابطه (۳۹-۶) و P_{h0} (۴۰-۶)

$$P_{h0} = \left\{ \sum_{i=0}^5 C_{oi} \left(\frac{Z}{H} \right)^i \right\} \frac{\rho \cdot H \cdot K_{MH}}{\beta_5} \quad (39-6)$$

$$P_{h1} = \left\{ \sum_{i=0}^5 C_{li} \left(\frac{Z}{H} \right)^i \right\} \left(1 - \frac{1}{\beta_5} \right) \frac{\rho \cdot H \cdot K_{MH}}{\beta_5} \quad (40-6)$$

ρ : وزن مخصوص سیال ذخیره شده (N/mm^3)

C_{li} و C_{oi} : مقادیر بدست آمده از جدول (۳-۶) یا جدول (۲-۶) براساس نسبت ارتفاع تراز بالابی و قطر مخزن خارجی

جدول ۲-۶ ضرایب c_o

C_{0i} H/D	C_{00}	C_{01}	C_{02}	C_{03}	C_{04}	C_{05}
۰/۱۵	۰/۸۱۱	- ۰/۱۳۰	۰/۶۸۸	- ۴/۲۱	۵/۷	- ۲/۸۵
۰/۲	۰/۸۲۴	- ۰/۱۳۲	۰/۶۸۸	- ۴/۲۴	۵/۷۱	- ۲/۸۵
۰/۳	۰/۸۲۶	- ۰/۱۳۳	۰/۷۰۳	- ۴/۲۶	۵/۷۴	- ۲/۸۷
۰/۴	۰/۷۹۴	- ۰/۱۲۹	۰/۷۰۶	- ۴/۱۱	۵/۵۴	- ۲/۷۹
۰/۵	۰/۷۴۲	- ۰/۱۳۳	۰/۸۱۱	- ۴/۲۲	۵/۶۵	- ۲/۸۵
۰/۶	۰/۶۸۴	- ۰/۱۳۳	۰/۸۹۲	- ۴/۲۳	۵/۶۵	- ۲/۸۶
۰/۷	۰/۶۲۶	- ۰/۱۳۱	۰/۹۵۲	- ۴/۲۱	۵/۶۲	- ۲/۸۶
۰/۸	۰/۵۷۲	- ۰/۱۳۳	۱/۰۳	- ۴/۲۴	۵/۶۶	- ۲/۸۸
۱	۰/۴۸۱	- ۰/۱۳۳	۱/۱۳	- ۴/۲۶	۵/۷۳	- ۲/۹۴
۱/۲	۰/۴۱۰	- ۰/۱۳۴	۱/۲	- ۴/۲۳	۵/۸۷	- ۳/۰۲
۱/۴	۰/۳۵۶	- ۰/۱۳۶	۱/۲۶	- ۴/۴۲	۶/۰۶	- ۳/۱۲
۱/۶	۰/۳۱۳	- ۰/۱۴۰	۱/۳۲	- ۴/۵۶	۶/۳۰	- ۳/۲۳
۱/۸	۰/۲۷۹	- ۰/۱۴۴	۱/۳۷	- ۴/۷۱	۶/۵۴	- ۳/۳۴
۲	۰/۲۵۲	- ۰/۱۴۸	۱/۴۳	- ۴/۸۷	۶/۷۹	- ۳/۴۵

جدول ۶-۳ ضرایب C_{1i}

C_{1i} H/D	C_{10}	C_{11}	C_{12}	C_{13}	C_{14}	C_{15}
۰/۱۵	۰/۸۰۷	۰/۲۳۴	- ۱/۴۵	۰/۵۴۷	- ۰/۱۹۷	۰/۰۶۲۶
۰/۲	۰/۸۱۳	۰/۲۶۷	- ۱/۴۸	۰/۵۸۸	- ۰/۲۱۷	۰/۰۲۸۷
۰/۳	۰/۷۹۲	۰/۲۷۷	- ۱/۱۵	- ۰/۰۳۳۵	۰/۴۱۸	- ۰/۳۰۵
۰/۴	۰/۷۳۱	۰/۲۴۱	- ۰/۴۷۲	- ۱/۳	۱/۷	- ۰/۹
۰/۵	۰/۶۴۴	۰/۱۹۳	۰/۲۶۵	- ۲/۶۲	۳/۰۵	- ۱/۵۲
۰/۶	۰/۵۵۱	۰/۱۳۳	۱/۰۱	- ۳/۹۸	۴/۴۷	- ۲/۱۷
۰/۷	۰/۴۶۲	۰/۰۸۱۰	۱/۶۱	- ۵/۰۶	۵/۶۳	- ۲/۷۲
۰/۸	۰/۳۸۵	۰/۰۳۷۷	۲/۰۸	- ۵/۹۲	۶/۶۲	- ۳/۱۹
۱	۰/۲۶۷	- ۰/۰۳۰۱	۲/۶۷	- ۷/۰۵	۸/۰۵	- ۳/۹
۱/۲	۰/۱۸۸	- ۰/۰۷۷۲	۲/۹۷	- ۷/۷۳	۹/۰۹	- ۴/۴۴
۱/۴	۰/۱۳۶	- ۰/۱۱۲	۳/۱۲	- ۸/۱۸	۹/۹۲	- ۴/۸۸
۱/۶	۰/۱	- ۰/۱۳۹	۳/۱۹	- ۸/۵	۱۰/۶	- ۵/۲۴
۱/۸	۰/۰۷۵۳	- ۰/۱۶۲	۳/۲۳	- ۸/۷۹	۱۱/۲	- ۵/۵۵
۲	۰/۰۵۸۰	- ۰/۱۸۴	۳/۲۷	- ۹/۰۹	۱۱/۸	- ۵/۸۳

۲- روش محاسبه فشار هیدرودینامیکی وارد بر ورق کناری در اثر مولفه قائم زلزله

$$P_V = \rho H \left\{ \left(1 - \frac{Z}{H} \right) \frac{K_{MV}}{\beta_5} + 0.811 \cos \left(\frac{\pi Z}{2H} \right) \left(1 - \frac{1}{\beta_5} \right) K_{MV} \right\} \quad (41-6)$$

P_V : فشار هیدرودینامیکی وارد بر ورق کناری در ارتفاع Z از کف (MPa)

Z : ارتفاع از کف (mm)

۳- روش محاسبه فشار هیدرودینامیکی وارد بر ورق کناری ناشی از تلاطم سیال

$$P_S = \rho \eta_{max} \frac{\cos h(3.68Z/D)}{\cos h(3.68H/D)} \quad (42-6)$$

P_S : فشار هیدرودینامیکی وارد بر ورق کناری در ارتفاع Z از کف ناشی از تلاطم سیال (MPa)

η_{max} : حداکثر تغییرمکان سطح سیال که مقدار آن از رابطه (۲۲-۶) بدست می‌آید. (mm)

۴- محدوده تنش خمشی گوشه‌ی ورق حلقوی در زلزله

$$\Delta \sigma_B = \frac{12}{t_B^2} \left| M_m \cdot M_o + M_V \cdot V_1 + M_q \frac{P_I}{K_B} D_B \right| \quad (43-6)$$

در عبارت بالا، لنگر استاتیکی نامعین ایجاد شده در گوشه پایینی ورق کناری با استفاده از رابطه‌های زیر بدست می‌آید.

V_1 : نیروی قائم در انتهای پایینی ناشی از لنگر واژگونی زلزله (N/mm)

$$M_0 = \frac{1}{\left(\frac{\theta_n}{D_B} + \frac{1}{2K_s D'_s} \right)} \left\{ \frac{P_1 R^2 K_s}{E \cdot t} - \theta_v \frac{V_1}{D_B} - \theta_q \frac{P_1}{K_s} \right\} \quad (44-6)$$

$$\theta_m = \frac{1}{2f^2} \left(2c^2 + f^2 + 1 + 2cs \right) \frac{1}{2\beta} \quad (45-6)$$

$$\theta_v = \frac{c^2}{f^2} \frac{1}{2\beta^2} \quad (46-6)$$

$$\theta_q = - \left\{ \frac{1}{2f} \left(f - \frac{1}{f} \right) + \frac{sc}{f^2} + \frac{s^2}{f^2} \right\} \beta \quad (47-6)$$

$$M_m = - \frac{1}{2f^2} \left(f^2 + 1 + 2cs \right) \quad (48-6)$$

$$M_v = - \frac{1}{4f^2} \left(c^2 - s^2 + 2cs - f^2 \right) \frac{1}{\beta} \quad (49-6)$$

$$M_q = \frac{2s^2}{f^2} \beta^2 \quad (50-6)$$

$$f = e^{\beta \cdot l} \quad (51-6)$$

$$c = \cos \beta \cdot l \quad (52-6)$$

$$s = \sin \beta \cdot l \quad (53-6)$$

$$\beta = \sqrt[4]{\frac{K_B}{4D_B}} \quad (54-6)$$

$$D_B = \frac{E \cdot t_B^3}{12(1-v^2)} \quad (55-6)$$

$$K_s = \sqrt[4]{\frac{3(1-v^2)}{R^2 t_L^2}} \quad (56-6)$$

$$D'_s = \frac{E \cdot t_L^3}{12(1-v^2)} \quad (57-6)$$

K_B : مدول واکنش خاک (N/mm^3)

t_B : ضخامت ورق حلقوی (mm)

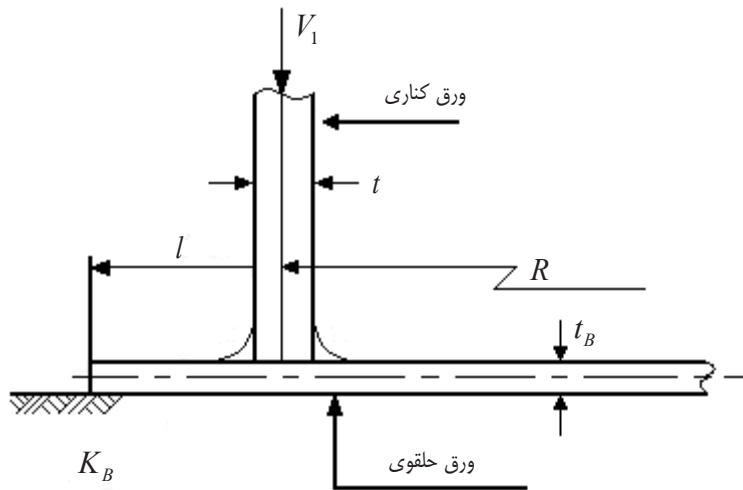
l: اضافه طول ورق حلقوی کف از بر خارجی ورق کناری مطابق شکل ۶-۷ (mm)

t_L : ضخامت ورق کناری در پایین ترین قسمت (به استثنای مقدار مجاز خوردگی) (mm)

R: شعاع متوسط مخزن (mm)

P_1 : فشار هیدرودینامیکی در گوش (MPa)

v: ضریب پواسون



شکل ۶-۷ نمایش پارامترهای ابعادی مخزن ذخیره سوخت

فشار هیدرودینامیکی در گوشه P_1 و نیروی قائم V_1 در انتهای پایینی ورق کناری ناشی از لنگر واژگونی زلزله را می‌توان به صورت زیر بدست آورد.

۱-۱-۴- برای محدوده تنش خمشی ورق حلقوی ناشی از حرکت صلب سیال تحت اثر مؤلفه افقی زلزله

$$P_1 = \sqrt{3} K_{MH} \rho_1 H \left\{ 1 - \frac{1}{2} \tanh \left(\frac{\sqrt{3} R}{H} \right) \right\} \quad (58-6)$$

$$V_1 = \frac{M_{T1}}{\pi R^2} \quad (59-6)$$

ρ_1 : چگالی سیال ذخیره شده (N/mm^3)

M_{T1} : لنگر واژگونی ناشی از زلزله افقی ($N.mm$)

۲-۲-۴- برای محدوده تنش خمشی ورق حلقوی ناشی از حرکت صلب سیال تحت اثر مؤلفه قائم زلزله

$$P_1 = K_{MV} \rho H \quad (60-6)$$

$$V_1 = K_{MV} \cdot \frac{W'_S + W'_R}{\pi D} \quad (61-6)$$

W'_S : کل وزن ورق کناری (N)

W'_R : کل وزن بخش سقف نگهدارنده ورق کناری (N)

محدوده تنش خمشی ایجاد شده در ورق حلقوی زمانیکه مؤلفه های افقی و قائم به صورت همزمان در نظر گرفته می‌شود، برابر جذر مجموع مربعات محدوده تنش خمشی هر یک از زلزله‌ها می‌باشد.

$$\Delta\sigma_B = \sqrt{(\Delta\sigma_{BH})^2 + (\Delta\sigma_{BV})^2} \quad (62-6)$$

$\Delta\sigma_{BH}$: محدوده تنش خمشی مؤلفه افقی

$\Delta\sigma_{BV}$: محدوده تنش خمشی مؤلفه قائم

۳-۳-۴- برای محدوده تنش خمشی ورق حلقوی ناشی از مؤلفه تغییر مکان زلزله

$$P_1 = \frac{\rho \eta_{\max}}{\cos h \left(3.682 \frac{H}{D} \right)} \quad (63-6)$$

$$V_1 = \frac{4M_{T2}}{\pi D^2 t} \times t = \frac{4M_{T2}}{\pi D^2} \quad (64-6)$$

η : حداکثر ارتفاع پاسخ تلاطم (mm)

M_{T2} : لنگر واژگونی تلاطم سیال (N.mm)

حداکثر ارتفاع پاسخ تلاطم η از رابطه (65-6) بدست می‌آید.

$$\eta = 0.418 D \psi \quad (65-6)$$

$$\psi = \frac{0.00641}{T_s} S_{VO} \beta_2 \quad (66-6)$$

S_{VO} : مقدار طیف سرعت (cm/s)

β_2 : ضریب ناحیه لرزه‌ای

T_s : پریود طبیعی تلاطم سیال (s)

۴-۴- محدوده تنش خمشی ناشی از زلزله در اتصال ورق حلقوی با ورق کناری

فشار هیدرودینامیکی (P_0) وارد بر ورق کناری و عدد تائیر توزیع فشار هیدرولیکی دینامیکی α_m لازم برای محاسبه محدوده تنش خمشی ورق حلقوی در ورق کناری و اتصال ورق کناری در زلزله، به صورت زیر بدست می‌آید.
نسبت K (شاخص تنش) تنش گوشه به تنش غشایی راستای زاویه‌ای ورق کناری با استفاده از نسبت t_B / t_L از رابطه (67-6) بدست می‌آید.

$$K = 3.7013 - 3.0459 \left(\frac{t_B}{t_L} \right) + 0.47294 \left(\frac{t_B}{t_L} \right)^2 \quad (67-6)$$

الف) محدوده تنش خمشی ورق حلقوی ناشی از شتاب افقی زلزله

$$\alpha_m = 1 + 0.114 \left(\frac{H}{D} \right) + 0.6 \left(\frac{H}{D} \right)^2 \quad (68-6)$$

$$P_o = \frac{\sqrt{3}}{2} K_{MH} \rho H \tanh \left(\frac{\sqrt{3}D}{2H} \right) \mid z=0 \quad (69-6)$$

ب) محدوده تنش خمشی ورق حلقوی ناشی از شتاب قائم زلزله

$$\alpha_m = 0.1 \quad (70-6)$$

$$P_0 = K_{MV} \rho H \mid z=0 \quad (71-6)$$

ج) محدوده تنش خمشی ورق حلقوی در اثر تغییر مکان ناشی از زلزله

$$\alpha_m = 1 + 0.114 \left(\frac{H}{D} \right) + 0.6 \left(\frac{H}{D} \right)^2 + \beta \left\{ 0.025 + 0.112 \left(\frac{H}{D} \right)^2 + 0.8 \left(\frac{H}{D} \right)^3 \right\} \quad (72-6)$$

$$P_0 = \rho \eta \frac{\cos h\left(3.682 \frac{Z}{D}\right)}{\cos h\left(3.682 \frac{H}{D}\right)} \Big|_{z=0} \quad (73-6)$$

$$\beta = \frac{P_1 - P_0}{P_0} \quad (74-6)$$

β : گرادیان فشار

$Z = H$ در P_1 : فشار هیدرودینامیکی وارد بر ورق کناری، برابر مقدار رابطه (73-6)

۶-۲-۲-۶- محاسبه مقاومت جانبی نهایی

مقاومت جانبی نهایی مخزن Q_y باید بیشتر از ظرفیت برابری افقی لازم ناشی از اثرات لرزاکی Q_{dw} محاسبه شده از رابطه (77-6) باشد.

$$Q_y = \frac{2\pi R^2 q_y}{0.44 H} \quad (75-6)$$

Q_y : مقاومت جانبی نهایی (N)

q_y : مقاومت برکنش هر واحد عرض ورق کف مخزن است، که از رابطه (76-6) بدست می‌آید.

$$q_y = \frac{2t_b \sqrt{1.5 P_{ST} \sigma_{yr}}}{3} \quad (76-6)$$

t_b : ضخامت واقعی ورق حلقوی (mm)

P_{ST} : فشار هیدرولیکی استاتیکی (MPa)

σ_{yr} : مقاومت تسلیم واقعی ورق حلقوی (N/mm^2)

علاوه بر این، ظرفیت برابری افقی لازم ناشی از اثرات لرزاکی با استفاده از رابطه زیر تعیین می‌شود.

$$Q_{dw} = K_{SH} \cdot \beta_3 \cdot v_p \cdot D_s \cdot W_0 \quad (77-6)$$

Q_{dw} : ظرفیت برابری افقی لازم (N)

β_3 : ضریب تشدید با در نظر گرفتن پریود طبیعی مخزن خارجی

v_p : ضریب طراحی پلاستیک برابر ۱/۵

D_s : ضریب مشخصه سازه‌ای

W_0 : وزن سیال موثر (N)

روش محاسبه ضریب مشخصه سازه‌ای (D_s) در محاسبات ظرفیت برابری افقی لازم به صورت زیر است

۱- زمانیکه نسبت نقطه تسلیم (نقطه تسلیم / مقاومت کششی ورق حلقوی) کمتر از ۸۰٪ است.

$$D_s = \frac{1}{\sqrt{1 + 84(T_1 / T_e)^2}} \quad (78-6)$$

۲- زمانیکه نسبت نقطه تسلیم ۸۰٪ یا بیشتر است.

$$D_s = \frac{1}{\sqrt{1 + 24(T_1 / T_e)^2}} \quad (79-6)$$

T_1 : پریود بدنی اصلی مخزن است که تنها با در نظر گرفتن برکنش ورق زمینه بدست می‌آید.

$$T_1 = 2\pi\sqrt{W_0 / gK_1} \quad (80-6)$$

T_e : پریود بدنی اصلی مخزن است که با در نظر گرفتن برکنش ورق زمینه و تغییرشکل ورق کناری بدست می‌آید.

$$T_e = \sqrt{T_b^2 + T_1^2} \quad (81-6)$$

K_1 : ثابت فنر کل مخزن در برکنش

$$K_1 = 48.7R^3\kappa_I / H^2 \quad (82-6)$$

κ_I : ثابت فنر با توجه به برکنش هر واحد عرض

$$\kappa_I = q_y / \delta_y \quad (83-6)$$

δ_y : تغییرمکان برکنش در مقاومت تسلیم (mm)

$$\delta_y = 3t_b \sigma_y^2 / 8PE \quad (84-6)$$

T_b : پریود طبیعی بدنی اصلی مخزن در ثبیت پایه ورق کناری (s)

۶-۳- طراحی لرزاهای تجهیزات ذخیره سوخت

طراحی لرزاهای تجهیزات ذخیره سوخت شامل بازوی بارگیر، پمپ‌ها و دستگاه تولید گرما، باید بصورت زیر انجام شود:

۱- طراحی لرزاهای تجهیزات باید به روش استاتیکی انجام شود.

۲- ضریب زلزله قائم، نصف ضریب زلزله افقی بوده و باید به صورت همزمان اعمال گردد.

۳- ضریب طراحی زلزله افقی با استفاده از ضریب اهمیت ۱ تعیین می‌شود.

۴- طراحی لرزاهای تجهیزات تاسیسات ذخیره سوخت تنها برای پیچ مهار و پی بدنی اصلی می‌باشد.

۵- در زمان ارزیابی لنگر واژگونی و لغزش تجهیزات، کاهش یا افزایش وزن ناشی از مولفه قائم روی لنگر واژگونی و نیروی اصطکاک ناشی از نیروی افقی لرزاها تاثیر می‌گذارد.

۶-۴- مقادیر مجاز

۱- تنش مجاز

- تنش مجاز کششی S برابر 60% کمترین نقطه تسلیم یا 60% مقاومت متناظر با کرنش $/20\%$ است.

- تنش مجاز بررسی کمانش تنش فشاری ورق کناری برابر کمترین مقدار بین S و S' فرض می‌شود.

S' از رابطه (85-6) بدست می‌آید.

$$S' = \frac{0.4 \cdot E \cdot t_{sb}}{\gamma \cdot D} \quad (85-6)$$

S' : تنش مجاز (N/mm^2)

t_{sb} : ضخامت ورق کناری در محل وقوع کمانش (mm)

۲/۲۵ : γ

- تنش مجاز در زلزله

- تنش مجاز کششی در زلزله برابر با $S' / 5$ است.

- تنش مجاز کششی پیچ در زلزله $1/5$ برابر شرایط غیر لرزه‌ای است.

- تنش مجاز کمانش در زلزله کوچکترین مقدار S' و S'' است.

زمانیکه ظرفیت مخزن بین $500 m^3$ تا $1000 m^3$ است، تنش مجاز "S" به صورت زیر خواهد بود. چنانچه برای مخازن بالای 1000 متر مکعب مقدار دقیق "S" از طریق آزمایش یا آیننامه‌های معتبر، موجود نباشد می‌توان آن را از رابطه (۶-۸۶) بدست آورد.

$$S'' = \frac{0.4 \cdot E \cdot t}{\gamma \cdot D} \quad (6-86)$$

"S" : تنش فشاری مجاز در زلزله (N/mm^2)

t : ضخامت ورق کناری در محل وقوع کمانش (mm)

۱/۱ : γ

- تنش مجاز خمثی

محدوده مجاز تنش خمثی ایجاد شده در ورق حلقوی در زلزله برابر $2\sigma_y$ فرض می‌شود.

$$\Delta\sigma_B' \leq 2 \cdot \sigma_y \quad (6-87)$$

$\Delta\sigma_B'$: محدوده تنش خمثی ورق حلقوی ایجاد شده در زلزله (N/mm^2)

σ_y : حداقل نقطه تسليیم یا مقاومت متناظر با کرنش $20/0\%$ ورق حلقوی (N/mm^2)

دامنه تنش ناشی از بار متناوب برای تنش خمثی با توجه به بار لرزه‌ای ایجاد شده در گوشه اختیار شده و می‌تواند به عنوان تنش ثانویه ارزیابی گردد.

۶-۵- معیارهای پذیرش

تنش باید با استفاده از اضافه بار ایجاد شده در نامساعدترین راستای اعمال بار زلزله محاسبه شود.

تنش بدست آمده از نیروی طراحی لرزه‌ای نباید از تنش مجاز تجاوز کند.

فصل ۷

طراحی لردهای و کنترل ایمنی

مخازن سوخت گازی

۱-۷- سطح عملکرد مخازن سوخت گازی

عملکرد مخازن سوخت گازی در سطح خطر-۱ باید بهره برداری بی وقفه باشد.

در سطح خطر-۲، مخزن ممکن است آسیب کمی دیده بطوریکه با تعمیرات سریع در کوتاه مدت قابل بهره برداری باشد. تجهیزات گاز مایع باید از لحاظ اهمیت بر حسب مقدار قابلیت اشتعال یا گازهای خطرناک موجود، طبقه‌بندی و طراحی لرزاگ آنها باید بر این اساس انجام شود.
از لحاظ اهمیت، مخازن روزمینی دارای درجه اهمیت زیاد و خیلی زیاد می‌باشند.

۲-۷- طراحی لرزاگ

۱-۲-۷- مراحل طراحی

تجهیزات مورد نظر برای طراحی عبارتند از:

- مخزن روزمینی
 - تاسیسات آتش‌نشانی
 - تجهیزات ایمنی
- ۱- طراحی لرزاگ مخزن

مخزن گاز طبیعی مایع با توجه به موارد زیر، به گونه‌ای طراحی می‌شود که شتاب و تلاطم سیال را تحمل کند.
آسیب‌های محتمل شامل موارد زیر می‌باشد:

- آسیب به بخش‌ها در اثر تنش‌های ناشی از نیروی لرزاگ و تغییرات فشار هیدرولیکی ناشی از تلاطم سیال
- آسیب به بخش بالایی مخزن در اثر ضربه ناشی از تلاطم
- برکنش، واژگونی، کمانش، اعوجاج و لغزش مخزن براثر فشار هیدرولیکی ناشی از تلاطم سیال
- نشست، تغییرشکل و آسیب به پی در اثر نیروی زلزله

۱-۱- بار لرزاگ تاسیسات با درجه اهمیت متوسط یا کم و با قطر و ارتفاع کمتر از ۱۰ متر به روش شبه استاتیکی محاسبه و سایر تاسیسات به روش شبه استاتیکی اصلاح شده انجام می‌شود.

۱-۲- دامنه جابجایی در تحلیل تلاطم سیال با توجه به ارتعاشات پریود بلند ناشی از زلزله، درجه اهمیت و نسبت شتاب مبنای طرح، تعیین می‌شود.

۱-۳- محاسبه پاسخ اثرات ناشی از شتاب زلزله و تلاطم سیال به صورت جداگانه و با توجه به موارد زیر انجام می‌شود:

(الف) ضریب میرایی مورد استفاده با توجه به مشخصات سازه و خصوصیات فیزیکی سیال تعیین می‌شود.

(ب) پاسخ شتاب (سطح خطر-۱)

پريود طبیعی مورد استفاده در تحلیل سازه در سطح خطر-۱ با توجه به صلیبت سیال و مخزن تعیین می شود.

ج) تحلیل پاسخ مخزن با احتساب تلاطم سیال در سطح خطر-۲ زلزله با روش های زیر صورت می پذیرد:

- روش سه موج تشدید

- روش تحلیل تاریخچه زمانی

- روش طیفی

۲- طراحی لرزاهاي تجهيزات

تجهيزات مورد نظر معمولاً شامل بخارسازها، گرمکننده، پمپ و کمپرسور هستند.

بارگذاری لرزاهاي اين تجهيزات با روش شبه استاتيکي صورت می پذيرد.

براي سطح خطر-۱، از روش تنش مجاز برای طراحی استفاده می شود.

برای سطح خطر-۲، از روش طراحی شکل پذير استفاده مي گردد.

۳- طراحی لرزاهاي تجهيزات ايمني

در تاسيسات گاز طبیعی تجهيزات مورد نظر به صورت زیر در نظر گرفته می شود:

- دودکش (مربوط به گاز چاه) و هوакشن قائم

- محفظه هایی از قبیل، جداساز غبار، درزگیرها و سیلندرها

- پمپ انتقال سوخت

- تاسيسات کنترل ايمني

نکات زیر در طراحی لرزاهاي تجهيزات رعایت می شود:

۱-۴- برای سطح خطر-۲، درجه اهمیت هر تجهیز باید با استفاده از قضاوت در مورد جایگزینی تجهیزات تعیین شود.

۲-۴- بارگذاری لرزاهاي تجهيزات ايمني مربوط به تاسيساتی که درجه اهمیت آنها خیلی زياد و زياد است، به روش شبه استاتيکي اصلاح شده انجام شود اما در صورت لزوم باید با در نظر گرفتن شکل و خصوصيات ارتعاشی، روش تحلیل مodal طيفی یا تاریخچه زمانی استفاده شود.

۳-۴- بهتر است بارگذاری لرزاهاي تجهيزات ايمني مربوط به تاسيسات با درجه اهمیت متوسط و کم به روش شبه استاتيکي انجام شود. در صورت لزوم روش شبه استاتيکي اصلاح شده بکار می رود.

۷-۲-۲-۲- روشن های طراحی مخزن

۷-۲-۲-۱- طراحی با روش تنش مجاز

در اين روش برای موارد زير تنش ناشی از نیروی زلزله نباید از تنش مجاز تجاوز کند.

۱- ورق های کناری و ورق های کف

در اين مورد لازم است تنش محوري فشاری ورق کناري از تنش مجاز کمتر شود.

۳- پیچ های مهاری یا کلاف مهاری

۳- ورق سقف، اسکلت سقف و ورق خم دور مخزن

۴- مخزن خارجی در ورق کناری، ورق سقف، اسکلت سقف و مهار ایجاد شده

۵- قاب سیلندر تلمبه

۶- عایق سرما

علاوه بر موارد فوق نباید لنگر واژگونی ناشی از تلاطم و شتاب از لنگر مقاوم در برابر واژگونی مخزن تجاوز کند. همچنین نیروی افقی ناشی از هردو زلزله با پریود کوتاه و بلند نباید از نیروی مقاوم در برابر لغش بیشتر شود.

۱- مقاومت ورق کناری و کف

۱-۱- توزیع فشار هیدرودینامیکی وارد بر ورق کناری و ورق کف را می‌توان با استفاده از تئوری پتانسیل سرعت محاسبه نمود.

روش محاسبه فشار هیدرودینامیکی و تلاطم سیال به صورت زیر است.

(الف) زلزله پریود کوتاه

(i) توزیع فشار (P_{HW}) وارد بر دیواره کناری ناشی از شتاب افقی زلزله با استفاده از رابطه (۱-۷) محاسبه می‌شود:

$$P_{HW} = \gamma \cdot K_{MH} \cdot H \sqrt{3} \left\{ \left(\frac{y}{H} \right) - \frac{1}{2} \left(\frac{y}{H} \right)^2 \right\} \cdot \tanh \left(\sqrt{3} \cdot \frac{R}{H} \right) \cdot \cos \phi \quad (H > 1.5R) \quad (1-7)$$

$$P_{HW} = \gamma \cdot K_{MH} \cdot R \cos \phi \quad (H \leq 1.5R) \quad (\text{MPa})$$

فشار در ورق کف (P_b)

$$P_b = \gamma \cdot K_{MH} \cdot \frac{H \sqrt{3}}{2} \frac{\sin h \left(\sqrt{3} \frac{x}{H} \right)}{\cos h \left(\sqrt{3} \frac{l}{H} \right)} \quad (\text{MPa}) \quad (H > 1.5R) \quad (2-7)$$

$$P_b = \gamma \cdot K_{MH} \cdot R \quad (\text{MPa}) \quad (H \leq 1.5R)$$

γ : وزن واحد حجم سیال (N/mm^3)

y : عمق دلخواه

x : طول دلخواه در ورق کف

K_{MH} : ضریب زلزله اصلاح شده افقی که از رابطه (۳-۳) محاسبه می‌گردد.

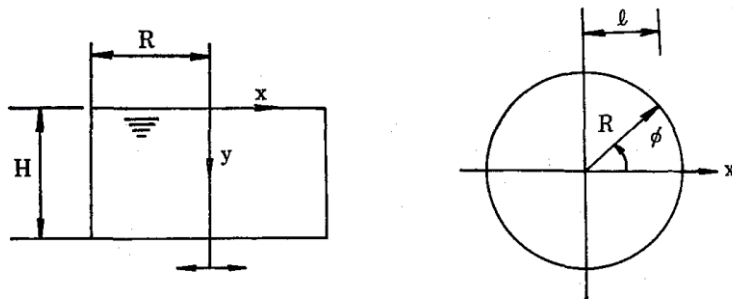
x: عمق دلخواه (cm)

H: حداقل ارتفاع تراز سیال در مخزن (mm)

R: شعاع متوسط مخزن (mm)

ϕ : زاویه محیطی (رادیان)

به محور مختصات در شکل (۱-۷) الف و ب مراجعه شود.



(۲-۷) نمایش پارامترهای دخیل در رابطه‌های (۱-۷) و (۲-۷)

(ب)

(الف)

(۱-۷) نمایش پارامترهای دخیل در رابطه‌های (۱-۷) و (۲-۷)

(ii) توزیع فشار (P_{VW}) وارد بر دیواره کناری و کف ناشی از شتاب قائم زلزله با استفاده از رابطه (۳-۷) محاسبه می‌شود.

$$P_{VW} = \gamma \cdot K_{MV} \cdot (y) \quad (\text{MPa}) \quad (3-7)$$

K_{MV}: ضریب زلزله قائم مربوطه به شتاب زلزله

ب) زلزله پریود بلند

روش محاسبه فشار هیدرودینامیکی در مد اول تلاطم سیال، بشرح زیر است:

(i) فشار هیدرودینامیکی وارد بر ورق کناری (P_W)

$$P_W = \gamma \eta_{max} \frac{\cos h\left(1.841 \frac{y}{R}\right)}{\cos h\left(1.841 \frac{H}{R}\right)} \cos \theta \quad (\text{MPa}) \quad (4-7)$$

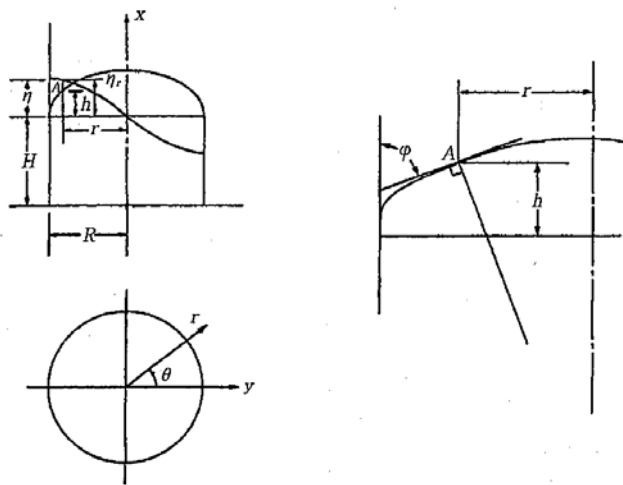
 η_{max} : حداقل تغییر مکان تراز مایع (mm) که از رابطه (۲۲-۶) محاسبه می‌گردد.(ii) فشار هیدرودینامیکی وارد بر ورق کف (P_{bs})

$$P_{bs} = \gamma \eta_{max} \frac{J_1(1.841r/R)}{J_1(1.841) \cos h(1.841H/R)} \cos \theta \quad (\text{MPa}) \quad (5-7)$$

r: ابعاد نشان داده شده در شکل (۳-۷) (mm)

x: تابع بسل مرتبه اول نوع اول

i: مشابه $\gamma, \eta, H, R, \theta$

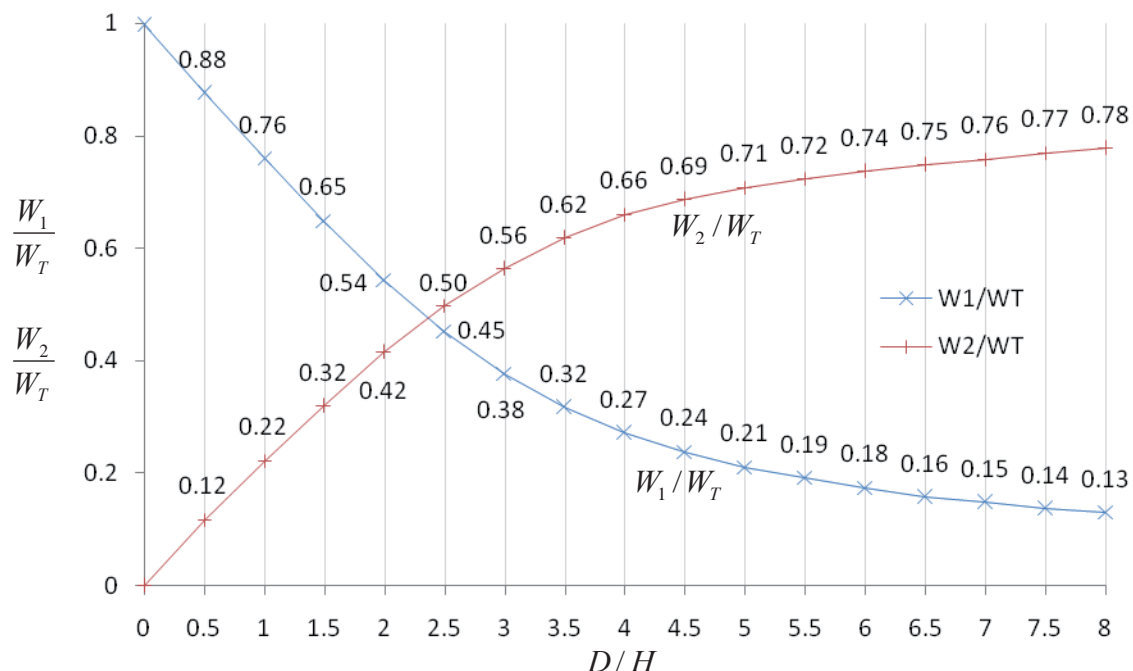


شکل ۲-۷ مختصات و ارتفاع موج در تحلیل تلاطم

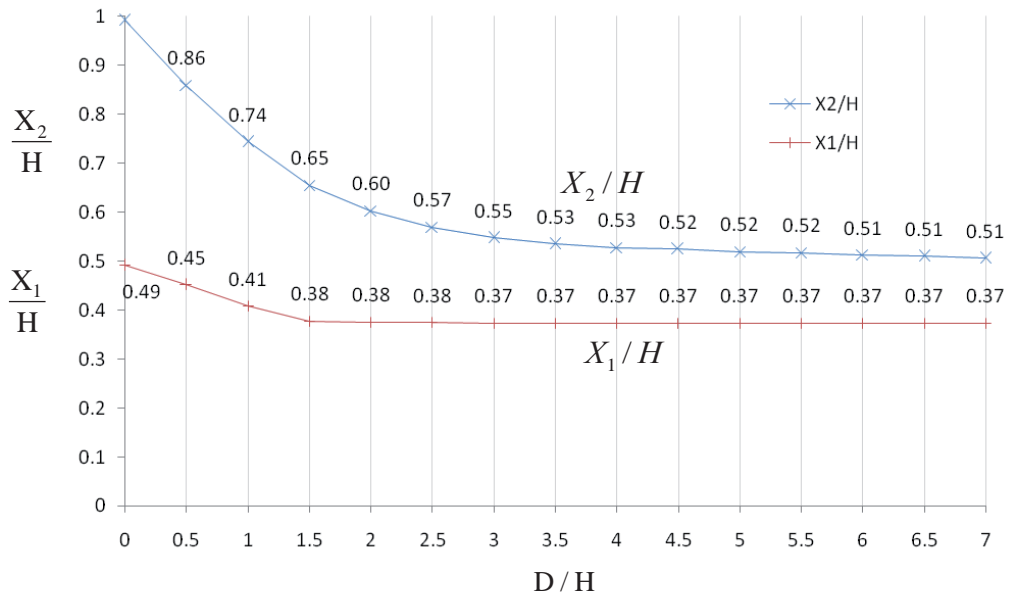
۲-۱- ورق کف (ورق حلقوی) متصل به پایین ترین ورق کناری

الف) وزن مؤثر و ارتفاع مرکز نقل سیال

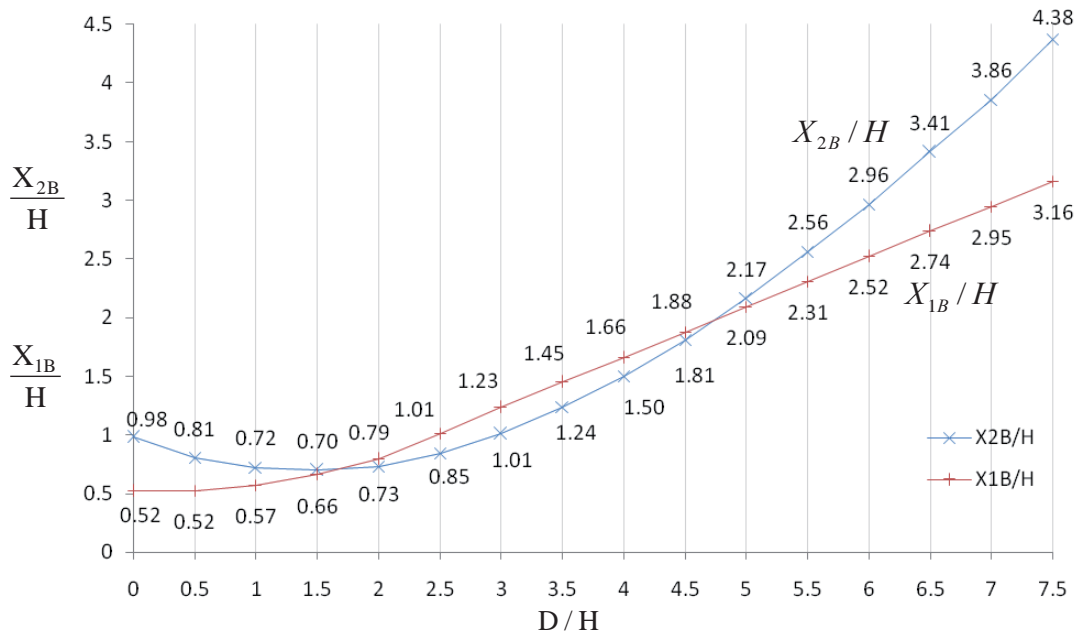
وزن مؤثر و ارتفاع مرکز نقل سیال از شکل‌های (۳-۷)، (۴-۷) و (۵-۷) بدست می‌آید.



شکل ۳-۷ نسبت وزن مؤثر



شکل ۷-۴ نسبت وزن مؤثر به ارتفاع مرکز ثقل (شامل فشار ورق کف نمی‌شود).



شکل ۷-۵ نسبت وزن مؤثر به ارتفاع مرکز ثقل (شامل فشار ورق کف)

ب) تنش‌های محوری σ_{w1} و σ_{w2} در فشار و تنش مجاز کمانش σ_{cr} ورق کناری، در اثرات دینامیکی و تلاطم سیال با استفاده از رابطه‌های زیر بدست می‌آید.

$$\sigma_{w1} = \frac{4M_1}{AD} + \frac{W_u}{A} \left(1 + K_{MV} \right) - \frac{P_o D}{4t} \quad (\text{N/mm}^2) \quad (7-7)$$

$$\sigma_{w2} = \frac{4M_2}{AD} + \frac{W_u}{A} - \frac{P_o D}{4t} \quad (\text{N/mm}^2) \quad (7-8)$$

$$\sigma_{cr} = \frac{0.25}{1.5} E \frac{t - C}{R} \quad (\text{N/mm}^2) \quad (8-7)$$

لنگرهای بوجود آمده در اثر بخش فوقانی ارتفاع مورد بررسی می‌باشد و از رابطه‌های زیر بدست می‌آید.

$$M_1 = M_{Z1} + K_{MH} \times W_u \times X_S \quad (\text{N.mm}) \quad (9-7)$$

$$M_2 = M_{Z2} + K_{M2} \times W_u \times X_S \quad (\text{N.mm}) \quad (10-7)$$

M_{Z1} : لنگر واژگونی سیال در اثر بخش فوقانی ارتفاع مورد بررسی در زلزله پریود کوتاه (N.mm)

M_{Z2} : لنگر واژگونی سیال در اثر بخش فوقانی ارتفاع مورد بررسی در زلزله پریود بلند (N.mm)

K_{M2} : ضریب زلزله افقی در اثر تغییرمکان ناشی از زلزله که با استفاده از روش n موج تشدید به صورت زیر می‌باشد.

$$K_{M2} = \alpha_2 / g \quad (11-7)$$

$$\alpha_2 = 60\mu_d\beta_l\beta_2 \times (2\pi/T_s)^2 \quad (T_s > 7.5 \text{ sec} \times \mu_d / \mu_v) \quad (12-7)$$

$$\alpha_2 = 50\mu_v\beta_l\beta_2 \times (2\pi/T_s) \quad (T_s < 7.5 \text{ sec} \times \mu_d / \mu_v)$$

W_u : وزن مخزن از محل مورد بررسی تا قسمت فوقانی (N)

X_s : فاصله مرکز ثقل کل مخزن تا نقطه مورد بررسی در جهت قائم (mm)

A : سطح مقطع ورق کناری در ارتفاع مورد بررسی، $\pi D t$ (mm^2)

t : ضخامت ورق کناری در ارتفاع مورد بررسی (mm)

C : مقدار مجاز خوردگی (mm) (مقدار مجاز خوردگی داخل مخزن برابر با صفر فرض می‌شود.)

E : مدول الاستیسیته طولی (N/mm^2)

P_0 : فشار داخلی مخزن (MPa)

D : قطر متوسط مخزن (mm)

M_{Z1} و M_{Z2} به صورت زیر بدست می‌آید.

لنگرهای واژگونی ناشی از سیال بر پایین ورق کناری برابر با M_{O1} و M_{O2} است، که به صورت زیر بدست می‌آید:

$$M_{O1} = K_{MH} \times W \times X_1 \quad (\text{N.mm}) \quad (13-7)$$

$$M_{O2} = S(n) \times K_{M2} \times W_2 \times X_2 \quad (\text{N.mm}) \quad (14-7)$$

$$M_{Z1} = (1 - Z/H)^2 \times M_{O1} \quad (\text{N.mm}) \quad (15-7)$$

$$M_{Z2} = (1 - Z/H)^{1.3} \times M_{O2} \quad (\text{N.mm}) \quad (16-7)$$

W_1 : وزن مؤثر سیال ناشی از اثرات شتاب از شکل (3-7) (N)

W_2 : وزن مؤثر سیال در اثر تغییرمکان از شکل (3-7) (N)

X_1 : وزن مؤثر ارتفاع مرکز ثقل سیال ناشی از اثرات شتاب، شکل (4-7) (mm)

X_2 : وزن مؤثر ارتفاع مرکز ثقل سیال در اثر تغییرمکان، شکل (۴-۷) (mm)

$S(n) = 3\pi$ موج سینوسی، در این روابط

۲- کنترل واژگونی

لنگرهای واژگونی M_{1B} و M_{2B} ناشی از اثرات شتاب و تغییرمکان ناشی از زلزله و M'_1 و M'_2 لنگر مقاوم در برابر واژگونی می‌باشد که می‌توان آنها را با استفاده از رابطه‌های زیر بدست آورد.

$$M_{1B} = K_{MH} \times W_1 \times X_{1B} + K_{MH} \times W_T \times X_S \quad (N.mm) \quad (17-7)$$

$$M_{2B} = S(n) \times K_{M2} \times W_2 \times X_{2B} + K_{M2} \times W_T \times X_s \quad (N.mm) \quad (18-7)$$

$$M'_1 = (W_L + W_T) \frac{D}{2} (1 - K_{MV}) + \sigma_n \frac{N_B \times A_B \times D}{4} \quad (N.mm) \quad (19-7)$$

$$M'_2 = (W_L + W_T) \frac{D}{2} + \sigma_n \frac{N_B \times A_B \times D}{4} \quad (N.mm) \quad (20-7)$$

W_1 : وزن مؤثر سیال ناشی از اثر شتاب، شکل (۴-۷) (N)

W_2 : وزن مؤثر سیال در اثر تغییرمکان، شکل (۵-۷) (N)

K_{M2} : ضریب زلزله افقی در اثر تغییرمکان ناشی از زلزله که از رابطه (۱۱-۷) محاسبه می‌گردد.

W_L : وزن کل سیال (N)

W_T : وزن بدن اصلی مخزن (N)

X_{1B} : وزن مؤثر ارتفاع مرکز ثقل سیال ناشی از اثرات شتاب، شکل (۶-۷) (mm)

X_{2B} : وزن مؤثر ارتفاع مرکز ثقل سیال ناشی از اثرات تغییرمکان، شکل (۶-۷) (mm)

X_S : فاصله مرکز ثقل کل مخزن تا نقطه مورد بررسی در جهت قائم (mm)

N_B : تعداد پیچ مهاری

A_B : سطح مقطع پیچ مهاری (mm^2)

σ_n : تنش کششی مجاز پیچ مهاری (N/mm^2)

۳- مقاومت پیچ‌های مهاری

تنش ایجاد شده σ ، در اثر بار ناشی از کشیدن پیچ، یا کلاف مهاری (از این پس پیچ مهار نامیده می‌شود) را می‌توان به صورت تقریبی از رابطه (۲۱-۷) بدست آورد.

$$\sigma = \frac{4M_{iB}}{N_B \cdot D \cdot A_B} + \frac{\pi D^2 \cdot P_0}{4N_B \cdot A_B} - \frac{W_T (1 - K_{MV})}{N_B \cdot A_B} + \frac{M_b}{Z_b} \quad (N/mm^2) \quad (21-7)$$

K_{MV} : در هنگام تلاطم سیال برابر صفر فرض می‌شود.

M_{iB} : لنگر واژگونی ایجاد شده در اثر زلزله در پایین ورق کناری ($i = 1, 2$)

P_0 : فشار طراحی (فشار گاز) (MPa)

M_b : لنگر خمی ایجاد شده (N.mm) به ازای هر یک از پیچ‌ها در اثر انقباض حرارتی مخزن. زمانیکه صلبیت پیچشی در کلاف مهاری کم باشد، قابل صرفنظر کردن است.

Z_b : مدول مقطع یک پیچ مهاری (mm^3)

K_{MV} : ضریب زلزله قائم (اصلاح شده)

۴- بررسی لغزش مخزن

در حالت کلی، نیروی مقاوم در برابر لغزش، نیروی اصطکاک از ضرب وزن مخزن در ضریب اصطکاک استاتیکی بدست می‌آید. در این حالت زلزله قائم در تراز زمین به علت اثر کاهشی در وزن مخزن در نظر گرفته می‌شود.

نیروی افقی F_1 ، F_2 و نیروی مقاوم F'_1 ، F'_2 ناشی از اثرات دینامیکی زلزله و تغییر مکان ناشی از زلزله از رابطه‌های زیر بدست می‌آید.

$$F_1 = K_{MH}(W_1 + W_T) \quad (N) \quad (22-7)$$

$$F_2 = S(n) \times K_{M2} \times W_2 + K_{M2} \times W_T \quad (N) \quad (23-7)$$

$$F'_1 = (W_L + W_T) \cdot \mu \cdot (1 - K_{MV}) + \frac{1}{2} T_n \cdot N_B \cdot A_B \quad (N) \quad (24-7)$$

$$F'_2 = (W_L + W_T) \cdot \mu + \frac{1}{2} T_n \cdot N_B \cdot A_B \quad (N) \quad (25-7)$$

K_{MH} ، K_{M2} ، W_1 ، W_2 ، W_T ، $S(n)$ ، N_B ، A_B مشابه روابط پیشین.

T_n : تنش برشی مجاز پیچ مهاری (N/mm^2)

μ : ضریب اصطکاک کف مخزن با پی

K_{MV} : ضریب زلزله قائم در سطح زمین

۵- کنترل کمانش فشاری

۱- مقاومت کمانش ورق کناری مخزن

تنش فشاری σ ایجاد شده در اثر بار زلزله در ورق کناری مخزن خارجی، باید کمتر از تنش مجاز کمانش σ_c نشان

داده شده در ادامه باشد.

$$\sigma = \frac{N}{A} + \frac{4M_i}{AD} \quad (\text{N/mm}^2) \quad (26-7)$$

$$\sigma_c = \frac{0.2}{1.5} E \frac{t_{as} - C}{R} \quad (\text{N/mm}^2) \quad (27-7)$$

N : بار قائم با در نظر گرفتن ضریب زلزله قائم (N)

A : سطح مقطع ورق کناری در ارتفاع مورد بررسی (N)

M_i : لنگر خمشی وارد بر ورق کناری ناشی از بار زلزله در ارتفاع مورد بررسی (N.mm)

t_{as} : ضخامت واقعی ورق کناری مخزن خارجی (mm)

C : مقدار مجاز خوردگی (mm)

۲- مهار مخزن

تنش ایجاد شده در اثر بار زلزله در مهار مخزن باید کمتر از تنش مجاز باشد.

$$\sigma = Q / A_p \quad (N/mm^2) \quad (28-7)$$

$$Q = F + \frac{4M_o}{D_I N} \quad (N) \quad (29-7)$$

Q: بار وارد بر مهار (N)

M_o: لنگر واژگونی ایجاد شده در اثر شتاب (N.mm)

D_I: قطر داخلی مخزن (mm)

N: تعداد مهارها

F: بار وارد بر مهار در حالت بهره‌برداری عادی (N)

A_p: سطح مقطع مهار (mm²)

۲-۲-۲-۷- طراحی به روشن شکل‌پذیر

در طراحی به روشن شکل‌پذیری، مقاومت هر یک از اجزای مخزن باید به صورت زیر باشد:

۱- مخزن داخلی

۱-۱- طراحی باید به گونه‌ای انجام شود تا ضربیب شکل‌پذیری به دست آمده، از ضربیب شکل‌پذیری مجاز بیشتر نشود.

۱-۲- ارزیابی مخزن داخلی با مد اول غالب و با استفاده از روش انرژی انجام می‌شود.

۱-۳- روش انرژی شامل روش‌های ضربیب شکل‌پذیری، روش ظرفیت باربری می‌باشد.

۱-۴- ارزیابی عملکرد لرزاها در مدهای خرابی زیر:

(الف) ورق کناری مخزن داخلی

- کمانش ورق

(ب) مهار مخزن داخلی

- تسلييم مهار

(ج) افشاره مخزن داخلی

- خرابی افشاره

۲- مخازن خارجی

بر اساس بندهای ۱-۱ و ۲-۱ و بر اساس مد خرابی زیر ارزیابی می‌شود.

- کمانش ورق کناری

۳- قاب سیلندر پمپ

ارزیابی عملکرد لرزاها مهار سقف و ورق‌های کناری مخزن داخلی در قاب سیلندر پمپ، باید با استفاده از روشهای مناسب برای تحلیل پاسخ قاب سیلندر پمپ، انجام شود.

۴- عایق سرد

باید به گونه‌ای طراحی گردد تا تنش ناشی از زلزله از مقدار تنش مجاز بیشتر نشود.

در بخش‌هایی که ضریب شکل پذیری داده نشده است، کرنش و تنش تا حد تسلیم در نظر گرفته می‌شود. یعنی تنش تا حد تنش تسلیم و کرنش تا حد کرنش تسلیم در نظر ملحوظ می‌گردد. برای توضیحات بند ۲-۲-۷ به پیوست ۲ مراجعه شود.

۳-۲-۷- کمیت‌های مجاز

کمیت‌های مجاز در بند ۳-۴ مربوط به مصالح به دست می‌آید.

۴-۲-۷- معیار پذیرش

۱-۴-۲-۷- روش تنش مجاز (سطح خطر-۱)

مقاومت اجزای مخزن در طراحی به روش تنش مجاز به اصول زیر بستگی دارد.

۱- مقاومت اجزایی از قبیل ورق‌های کناری و کف

تنش ایجاد شده در این اجزا در اثر زلزله بهره‌برداری در سطح خطر-۱، باید از مقدار تنش مجاز کمتر باشد. در مورد ورق‌های کناری تنش محوری فشاری به وجود آمده نباید از تنش مجاز حد کمانش، بیشتر باشد.

۲- بررسی واژگونی مخزن

لنگر واژگونی ایجاد شده در اثر تلاطم و شتاب ناشی از زلزله، نباید از لنگر مقاوم بیشتر باشد.

۳- مقاومت اجزایی از قبیل پیچ‌های مهاری

تنش ایجاد شده در پیچ یا تسمه مهاری در هنگام زلزله نباید از تنش مجاز مربوطه بیشتر شود.

۴- بررسی لغزش مخزن

نیروی افقی ناشی از زلزله تلاطم و شتاب ناشی از زلزله، نباید از مقاومت در برابر لغزش جانبی بیشتر شود.

۵- مقاومت سقف

تنش ایجاد شده در غلاف و اسکلت سقف، و ورق خم دور کف مخزن در اثر بار لرزه‌ای باید به گونه‌ای باشد که از مقدار تنش مجاز بیشتر نشود.

۶- مخزن خارجی

تنش ایجاد شده ورق کناری پوشش سقف، اسکلت سقف و مهار، در اثر زلزله نباید از تنش مجاز بیشتر شود.

۷- قاب سیلندر پمپ

تنش ایجاد شده در این عضو در اثر زمین‌لرزه نباید از تنش مجاز بیشتر شود.

۸- عایق سرد

تنش ناشی از زلزله نباید از تنش مجاز بیشتر شود.

۴-۲-۷- روشن شکل پذیر (سطح خطر-۲)

مقاومت اجزای مخزن به روشن شکل پذیر با توجه به اصول زیر تعیین می‌گردد.

۱- مخزن داخلی

ضریب شکل پذیری محاسباتی در مدهای آسیب زیر در سطح خطر-۲، نباید از ضریب شکل پذیری مجاز بیشتر شود:

۱-۱- کمانش ورق، کناری

۲-۱- تسلیم مهار مخزن داخلی

۳-۱- خرابی افشاره مخزن داخلی

۲- مخزن خارجی

طراحی با روشهای مانند بند ۱ انجام می‌شود و ارزیابی عملکرد لرزاها بر اساس مد خرابی کمانش ورق کناری آن می‌باشد.

فصل ۸

طراحی لردهای و کنترل ایمنی

لوله کشی نیروگاهی

۱-۸- سطح عملکرد سیستم‌های لوله کشی

- در سطح خطر ۱ نباید آسیبی به سیستم لوله کشی بین تجهیزات وارد شده و باید بی وقفه مورد بهره‌برداری قرار گیرند.
- در سطح خطر ۲ نباید نشتی صورت گیرد. سایر آسیب‌ها باید بحدی ناچیز باشد که با حداقل وقفه مجدداً قابل بهره‌برداری باشند.
- لوله کشی اصلی بویلر، توربین، مخازن سوخت نفت و گاز، باید بتواند نیروی ناشی از زلزله را به سازه تکیه‌گاهی، انتقال دهد.
 - لوله‌های بین تجهیزاتی نباید در اثر شتاب و تغییر مکان نسبی ناشی از زلزله آسیب‌دیده و محتویات آن به بیرون نشت کند.

۲-۸- بارگذاری لرزاها سیستم لوله کشی

۱-۲-۸- لوله کشی روز میانی

- الف) لوله کشی اصلی بویلر و توربین
- بارگذاری لرزاها لوله کشی بویلر و توربین بخار به روش شبیه استاتیکی انجام شود.
- ب) لوله کشی مخازن سوخت
- بار برای لوله‌های با درجه اهمیت زیاد، از روش شبیه استاتیکی اصلاح شده، روش طیفی یا روش تاریخچه زمانی، انجام می‌شود.
- در صورتی که از موج لرزاها مناسب استفاده شود و در تحلیل، میرایی مناسب در نظر گرفته شود، می‌توان از روش تحلیل پاسخ تاریخچه زمانی، استفاده کرد.
- در سیستم لوله کشی با درجه اهمیت متوسط و کم، وقتی طراحی به روش پاسخ تکیه‌گاه لوله کشی (از زیابی عملکرد لرزاها ساده شده) انجام می‌شود، نیازی به تحلیل پاسخ و تغییر مکان پاسخ نیست.
- در بارگذاری لرزاها به موارد زیر باید توجه نمود:
- ۱- روش شبیه استاتیکی اصلاح شده
 - ۱-۱- در روش شبیه استاتیکی اصلاح شده، لوله با فرض رفتار تیر و شرایط تکیه‌گاهی مربوطه، مدل می‌شود.
 - ۱-۲- باید انعطاف‌پذیری لازم در مقابل تغییر مکان سازه تکیه‌گاهی، مخزن یا ماشین‌آلات تامین گردد.
 - ۱-۳- تنش قفسه نگهدارنده (شامل پیچ مهار) تحت عکس العمل در نقطه تکیه‌گاهی باید کنترل شود.
 - ۲- روش دینامیکی
 - ۲-۱- در روش دینامیکی، مدل‌سازی حتی المقدور باید منطبق با شرایط واقعی باشد.
 - ۲-۲- اگر در مقایسه با وزن سیستم سازه نگهدار (یا مخزن یا ماشین‌آلات)، وزن لوله کشی به قدر کافی کم باشد (کمتر از ده درصد وزن سیستم)، نیروی لرزاها با استفاده از قسمت ۳-۲ یا ۴-۲ محاسبه می‌شود.

۳-۲-۳- زمانیکه فرکانس طبیعی لوله کشی بسیار بالاتر از فرکانس طبیعی غالب سیستم سازه نگهدار (بیش از ۱۰ برابر)

است، نیروی لرزاها از ضرب جرم در حداکثر شتاب پاسخ لوله کشی در محل نصب، بدست می آید.

۴-۲- برای مواردی به غیر از بند ۳-۲، نیروی لرزاها با در نظر گرفتن رفتار دینامیکی لوله کشی، محاسبه می شود.

۵-۲- اگر وزن لوله کشی در مقایسه با وزن سیستم سازه نگهدار قابل صرفنظر (کمتر از ده درصد وزن سیستم نگهدار) کردن نباشد، لوله کشی و سازه نگهدار به صورت یک سیستم مرکب، تحلیل می گردد.

- ثابت میرایی لوله کشی ۵٪ یا کمتر فرض می شود.

- برای روش طراحی دینامیکی، نیروی طراحی با استفاده از طیف پاسخ کف سازه تکیه گاهی تعیین می شود.

۲-۲-۸- لوله کشی زیرزمینی

طراحی لرزاها لوله زیرزمینی ترجیحاً براساس روش پاسخ تغییر مکان انجام می شود.

ارزیابی لوله زیرزمینی با درجه اهمیت زیاد یا خیلی زیاد و براساس کرنش ایجاد شده در لوله انجام می شود. در مناطق با احتمال جابجایی بزرگ ناشی از روانگرایی و تغییر مکان افقی ناشی از جابجایی جانبی زمین شیبدار وجود دارد، مطالعات مناسب باید انجام شود.

۳-۸- محاسبات سیستم لوله کشی در بویلر و توربین بخار

۱- لوله کشی اصلی بویلر

۱-۱- در صورت اعمال نیروی لرزاها، مقدار تنش ایجاد شده باید رابطه های (۱-۸) و (۲-۸) را ارضاء کند.

$$S_L = \frac{PD_0}{4t_n} \left(\text{or} \frac{Pd^2}{D_0^2 + d^2} \right) + \frac{1000(0.75 \times i_c)M_A}{Z} \leq 1.0S_h \quad (1-8)$$

$$S_L = \frac{PD_0}{4t_n} \left(\text{or} \frac{Pd^2}{D_0^2 + d^2} \right) + \frac{1000(0.75 \times i_c)M_A}{Z} + \frac{1000(0.75 \times i_c)M_B}{Z} \leq 1.2 \times S_h \quad (2-8)$$

S_L : مقدار تنش ایجاد شده در اثر فشار داخلی، وزن لوله ها و سایر بارهای بهره برداری (N/mm^2)

P : فشار طرح (MPa)

D_0 : قطر خارجی لوله (mm)

d : قطر داخلی لوله (mm)

t_n : ضخامت اسمی لوله (mm)

Z : مدول مقطع (mm^3)

M_A : لنگر ترکیبی ایجاد شده در اثر وزن لوله در امتداد مقطع و سایر بارهای بهره برداری (N.m)

نیز: ضریب تمرکز تنش، از جدول ۱۹ پیوست محاسبه می گردد.

M_B : لنگر ترکیبی ایجاد شده در اثر بارهای متغیر مانند نیروی عکس العمل جت شیر اطمینان در مقطع لوله، فشار،

نوسان سرعت جریان و نیروی لرزه‌ای (N.m)

S_h : مقاومت کششی مجاز در دمای طراحی مصالح (N/mm^2)

۱-۲- در حالتی که تنش ناشی از جابجایی نسبی در نظر گرفته می‌شود، رابطه (۳-۸) باید ارضاء شود.

$$S_E = \frac{1,000(i_c \cdot M_C)}{Z} \leq S_A + S_h - S_L \quad (3-8)$$

S_E : تنش ناشی از بار در لوله (N/mm^2)

M_C : لنگر ترکیبی ایجاد شده در اثر تغییر مکان نسبی ناشی از زلزله و انبساط حرارتی بین اتصالات (N.m)

S_A : برابر $1.25S_c + 0.25S_h$ فرض می‌شود.

S_c : مقاومت کششی مجاز در دمای عادی مصالح (N/mm^2)

۲- لوله کشی اصلی توربین

بهتر است لوله کشی اصلی و لوله کشی آب فرعی توربین بر اساس بندهای زیر انجام شود.

۱-۲- لوله کشی اصلی

لوله کشی اصلی توربین باید در محل اتصال با توربین بر اساس روش استفاده شده در لوله کشی اصلی بویلر طراحی شود. لوله کشی‌های زیر لوله کشی اصلی به شمار می‌روند:

الف) لوله کشی‌هایی که اتصال دهنده سوپاپ بخار به بدنه اصلی توربین هستند.

ب) لوله کشی‌هایی که توربین با فشار متوسط را به توربین با فشار کم اتصال می‌دهند.

۲-۲- لوله کشی آب فرعی

شامل لوله کشی آب دریا برای کندانسور، خنک کننده مبدل حرارتی آب به استثنای لوله‌های با قطر کم می‌باشد.

لوله کشی آب فرعی بدون حفاظ باید طراحی لرزه‌ای شود تا مقاومت کافی را برای تحمل نیروی لرزه‌ای داشته باشد.

انتظار می‌رود خط لوله دارای تغییر مکان نسبی بزرگی در طول مسیر بوده و با قضاوت طراح به حد کافی مهار شده و

نقاط تکیه‌گاهی آن بالای قسمت اتصال با دقت طراحی شده است.

- لوله کشی اصلی بویلر شامل لوله بخار اصلی، لوله بازگرمکن با دمای بالا و پایین و لوله اصلی آب می‌شود.

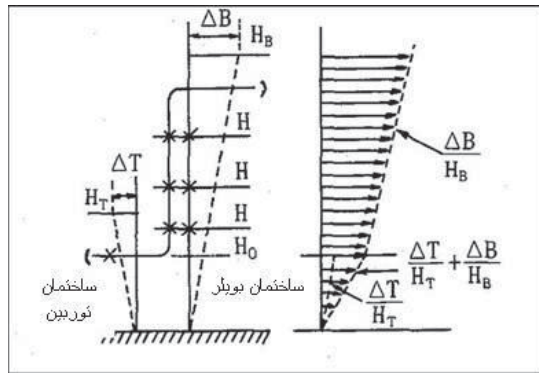
- بسیاری از آسیب‌های وارد به لوله کشی اصلی بویلر در زلزله از تغییر مکان نسبی سازه‌های نگهدارنده لوله کشی سرچشم می‌گیرد. بنابراین، برای طراحی لرزه‌ای لازم است که تغییر مکان بین تکیه‌گاهها در نظر گرفته شود.

- باید پریود طبیعی لوله‌ها و تکیه‌گاهها به منظور اجتناب از پدیده تشديد ارتعاش مورد توجه طراح قرار گیرد.

نیروی لرزه‌ای لوله کشی اصلی بویلر با استفاده از ضربی اصلاح مربوط به ارتفاع یا با فرض مقادیر متوسط یکنواخت به علت تغییر محدوده ارتفاع نصب، محاسبه می‌شود.

در مطالعه، تغییر مکان نسبی بین اتصالات در لوله کشی اصلی بویلر، تغییر مکان نسبی بین ساختمان بویلر و ساختمان توربین باید

در نظر گرفته شود. مقدار تغییر مکان نسبی از رابطه (۴-۸) بدست می‌آید.



شکل ۱-۸ تغییر مکان نسبی بین ساختمان بویلر و توربین

$$\Delta = \left(\frac{\Delta T}{H_T} + \frac{\Delta B}{H_B} \right) H_0 + \frac{\Delta B}{H_B} (H - H_0) \quad (4-8)$$

Δ : مقدار تغییر مکان نسبی (mm)

ΔT : تغییر مکان ساختمان توربین (mm)

ΔB : تغییر مکان ساختمان بویلر (mm)

H_T : ارتفاع ساختمان توربین (m)

H_B : ارتفاع ساختمان بویلر (m)

H_0 : ارتفاع نزدیکترین محل اتصال لوله کشی ساختمان بویلر به ساختمان بویلر (m)

H : ارتفاع محل محاسبه تغییر مکان (m)

در صورت مشخص نبودن مقادیر T و B ، مقدار داخل پرانتز عبارت اول رابطه (۴-۸) را می‌توان تقریباً ۱۰۰ میلیمتر بر ۳۰ متر و $\Delta B/H_B$ عبارت دوم را ۱۶۰ میلیمتر بر ۶۰ متر در نظر گرفت.

ضریب f برابر با ۱ در نظر گرفته می‌شود زیرا فرکانس شروع / پایان معمول نیروگاه در حدود ۷۰۰۰ بار یا کمتر، می‌باشد. ارزیابی طراحی لرزاهاي لوله کشی اصلی بویلر مطابق با ASME - B31.1 - 2001 EDITION انجام می‌شود.

عبارت داخل پرانتز رابطه (۴-۸) و (۴-۵) برای لوله جدار ضخیم و مطابق با بخش III ASTM بکار می‌رود.

لوله کشی توربین بخار: طراحی لرزاهاي لوله کشی توربین بخار، باید براساس روش طراحی لوله کشی اصلی بویلر صورت پذیرد.

۴-۸- محاسبات سیستم لوله کشی مخازن سوخت

۱- کلیات

بارهای زیر باید به عنوان بارهای مؤثر در طراحی لرزاهاي در نظر گرفته شود.

- وزن خود لوله کشی و تاسیسات الحاقی
- وزن محتويات لوله کشی
- فشار داخلی لوله کشی

• اثرات لرزاها

• سایر بارها

تنش محاسباتی از مجموع تنش ناشی از بار بهره‌برداری و تنش ناشی از بار لرزاها در نامساعدترین حالت بدست می‌آید.

مواردی که در طراحی لرزاها باید در نظر گرفته شود عبارتست از:

۱-۱- محاسبات نمونه براساس شکل، مصالح، سازه و شرایط بهره‌برداری بصورت طبقه‌بندی انجام شده است. حالت ارتعاش سایر لوله‌کشی‌ها را می‌توان از نتیجه محاسبات مربوطه تخمین زده و نیازی به محاسبات لرزاها جداگانه نمی‌باشد.

۱-۲- سیستم لوله‌کشی به صورت یک تیر و شرایط تکیه‌گاهی مدل می‌شود.

۱-۳- زمانیکه امکان ایجاد تنش ناشی از تغییرمکان بزرگ وجود دارد، لوله‌کشی باید دارای انعطاف‌پذیری کافی باشد.

۱-۴- برای پیشگیری از افت سازه تکیه‌گاهی، باید از تجهیزات پیشگیری از افت استفاده گردد.

۱-۵- تنش ناشی تغییرمکان نسبی بین نقاط نصب مانند سازه تکیه‌گاهی، مخزن و ماشین‌آلات باید کنترل شود.

۱-۶- برای جلوگیری از هرگونه آسیب و نشت، اتصال بین لوله و مخزن باید بتواند جابجایی‌های نسبی احتمالی بین آنها را براحتی جذب نمایند.

۲- محاسبه تنش در حالت بهره‌برداری عادی

۲-۱- تنش پیرامونی ایجاد شده در اثر فشار داخلی در لوله‌کشی با استفاده از رابطه (۵-۸) بدست می‌آید.

$$\sigma_{ci} = \frac{P_i(D - t + c)}{2(t - c)} \quad (5-8)$$

σ_{ci} : تنش پیرامونی ایجاد شده در اثر فشار داخلی در لوله‌کشی (N/mm^2)

P_i : حداکثر فشار بهره‌برداری (MPa)

D : قطر خارجی لوله‌کشی (mm)

t : ضخامت واقعی لوله‌کشی (mm)

c : ضخامت خوردگی سطح داخلی (mm)

۲-۲- تنش پیرامونی ایجاد شده در اثر فشار زمین یا بار ترن یا خودرو در لوله‌کشی از رابطه (۶-۸) بدست می‌آید.

$$\sigma_{CO} = \frac{D_1 \cdot K_B \cdot W \cdot R \cdot E \cdot I_t + \alpha \cdot W \cdot K_{HS} \cdot R^5 + 2\beta \cdot D_1 \cdot K_x \cdot W \cdot P_i \cdot R_4}{E \cdot I_t + 0.061K_{HS} \cdot R^4 + 2P_i \cdot D_1 \cdot R^3 \cdot K_x} \cdot \frac{1}{Z_t} \quad (6-8)$$

σ_{CO} : تنش پیرامونی ایجاد شده در اثر فشار زمین یا بار ترن یا خودرو در لوله‌کشی (N/mm^2)

D_1 : ضریب خیز مربوط به زمان (۱ برای زمین نوع I، جایگزین شده است، ۱/۵ برای سایر انواع زمین)

K_B : مقدار بدست آمده از جدول (۱-۸)

جدول ۱-۸ K_x و K_B با توجه به شرایط بسترهای

K_x	K_B	شرایط بسترهای
۰/۰۸۳	۰/۱۲۵	بسترهای کافی متراکم
۰/۰۸۹	۰/۱۳۸	بسترهای عادی

 W : فشار زمین یا بار ترن یا خودرو (N/mm) R : شعاع لوله‌کشی (mm) E : مدول یانگ لوله‌کشی (N/mm^2) I_t : لنگر دوم سطح دیواره لوله‌کشی (شکل ۲-۸) (mm^4/mm) α : مقدار بدست آمده از رابطه (۷-۸)

$$\alpha = 0.061 \times D_1 \times K_B - 0.082 \times K_x \quad (7-8)$$

 K_{HS} : ضریب عکس‌العمل افقی (N/mm^2) β : مقدار بدست آمده از رابطه (۸-۸)

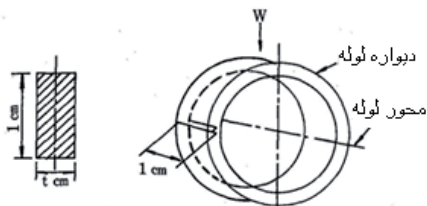
$$\beta = D_1 \times K_B - 0.125 \quad (8-8)$$

 P_i : حداکثر فشار بهره‌برداری (MPa) K_x : مقدار بدست آمده از جدول (۱-۸) Z_t : مدول مقطع دیواره لوله (شکل ۲-۸) (mm^3/mm)

از رابطه‌های (۹-۸) و (۱۰-۸) بدست می‌آید.

$$I_t = \frac{1}{12} t^3 \quad (mm^4/mm) \quad (9-8)$$

$$Z_t = \frac{1}{6} t^2 \quad (mm^3/mm) \quad (10-8)$$



شکل ۲-۸ مقطع لوله

تنش محوری ایجاد شده در لوله‌کشی در اثر فشار داخلی در مواردیکه تغیرمکان محوری مقید نمی‌باشد با استفاده از رابطه (۱۱-۸) و در مواردیکه تغیرمکان محوری مقید می‌باشد از رابطه (۱۲-۸) بدست می‌آید.

$$\sigma_{li} = \frac{P_i(D - t + c)}{4(t - c)} \quad (11-8)$$

$$\sigma_{li} = v \cdot \frac{P_l(D - t + c)}{2(t - c)} \quad (12-8)$$

σ_{li} : تنش محوری ایجاد شده در اثر فشار داخلی لوله کشی (N/mm^2)

P_l : حداکثر فشار بهره‌برداری (MPa)

v : ضریب پواسون لوله کشی

۲-۳-۲- تنش محوری ایجاد شده در اثر بار ترن یا خودرو در لوله کشی با استفاده از رابطه (۱۳-۸) بدست می‌آید.

$$\sigma_{lo} = \frac{0.322W}{Z_p} \cdot \sqrt{\frac{E \cdot I_p}{K_{sv} \cdot D}} \quad (13-8)$$

σ_{lo} : تنش محوری ایجاد شده در اثر بار ترن یا خودرو در لوله کشی (N/mm^2)

W : بار ترن یا خودرو (N/mm)

Z_p : مدول مقطع لوله کشی (mm^3)

E : مدول یانگ لوله کشی (N/mm^2)

I_p : لنگر دوم سطح لوله کشی (mm^4)

K_{sv} : ضریب عکس العمل در راستای قائم (N/mm^3)

۳- روش محاسبه تنش در زلزله

منظور از اثرات زلزله، نیروی اینرسی، فشار زمین، فشار دینامیکی آب، شناوری و تغییر مکان زمین ناشی از زمین لرزه است.

۱-۳- برای لوله روز میانی

(الف) نیروی اینرسی در زلزله

نیروی اینرسی، در راستای محور لوله و راستای عمود بر محور لوله در صفحه افقی، اعمال می‌شود.

(ب) فشار دینامیکی آب در اثر زلزله

فشار دینامیکی آب در زلزله از رابطه‌های (۱۴-۸) و (۱۵-۸) بدست می‌آید.

$$P_{w1} = 0.785 \times K_{sh} \times \gamma_w \times D^2 \quad (14-8)$$

$$P_{w2} = 0.785 \times K_{sv} \times \gamma_w \times D^2 \quad (15-8)$$

P_{w1} : فشار دینامیکی افقی آب ناشی از زلزله (N/m)

P_{w2} : فشار دینامیکی قائم آب ناشی از زلزله (N/m)

γ_w : وزن مخصوص آب (N/m^3)

راستای P_{w1} راستای افقی عمود بر محور لوله و راستای P_{w2} راستای قائم عمود بر محور لوله و هم راستای

نیروی اینرسی می‌باشد.

۲-۳- برای لوله مدفون

الف) فشار زمین در زلزله

فشار زمین در زلزله از رابطه (۱۶-۸) بدست می‌آید. فشار زمین بر لوله کشی متکی بر شمع‌ها در زلزله از رابطه (۱۷-۸) بدست می‌آید.

$$W_s = \gamma_s \times h \times D \times (1 + K_v) \quad (16-8)$$

$$W_s = \frac{1}{K} \cdot (e^{\frac{K}{D}} - 1) \cdot \gamma_s \cdot D^2 (1 + K_v) \quad (17-8)$$

W_s : فشار زمین (N/mm)

γ_s : چگالی مرطوب زمین (N/mm³)

h : عمق مدفون لوله کشی (mm)

e : لگاریتم طبیعی(عدد نپر)

K : ثابت، ۰/۴ برای خاک نوع I و II و ۰/۸ برای سایر انواع خاک

K_v : ضریب زلزله قائم در تراز زمین

بارهای ملاحظه شده بصورت زیر است:

۱- فشار داخلی، حداکثر فشار داخلی فرض می‌شود.

۲- فشار خاک بر بالای لوله مدفون در نظر گرفته می‌شود.

۳- فشار هیدرولیکی برابر با فشار هیدرواستاتیک فرض می‌گردد.

۴- بار ترن از رابطه (۱۸-۸) بدست می‌آید. اگر همزمان ۲ خط ترن باشد، بار ترن هر خط اضافه و اعمال می‌شود.

$$W_t = \frac{P_t \cdot D}{B_t (B_s + 2h_p \cdot \tan \theta)} \cdot (1 + i_t) \quad (18-8)$$

W_t : بار ترن (N/mm)

P_t : بار محور(چرخ) (N)

B_t : عرض چرخ (mm)

B_s : طول تراورس (mm)

h_p : فاصله بین سطح فوقانی لوله و سطح زمین (mm)

θ : زاویه توزیع بار محور(چرخ) (درجه)

i_t : ضریب ضربه که از جدول (۲-۸) بدست می‌آید.

جدول ۲-۸ ضریب ضربه ترن

i_t (ضریب ضربه)	h_p (mm)
0.75	$h_p < 1500$
$0.9 - 0.0001h_p$	$1500 \leq h_p \leq 9000$
0	$9000 < h_p$

۵- بار خودرو از رابطه (۱۹-۸) بدست می‌آید.

$$W_m = \frac{29.1D}{100 + h_p \cdot \tan \theta} \cdot (1 + i_c) (N/mm) \quad (19-8)$$

(N/mm) : بار خودرو W_m

θ : زاویه توزیع بار چرخ عقب خودرو (درجه)

i_c : ضریب ضربه که از جدول (۳-۸) بدست می‌آید.

جدول ۳-۸ ضریب ضربه خودرو

i_c (ضریب ضربه)	h_p (mm)
0.75	$h_p < 1500$
$0.65 - 0.0001h_p$	$1500 \leq h_p \leq 6500$
0	$6500 < h_p$

۵-۵- محاسبات سیستم لوله کشی مخازن سوخت گاز طبیعی مایع

۱-۵-۸- مراحل ارزیابی لرزاها لوله کشی

در مواردیکه اهمیت سازه کم است، نیازی به استفاده از روش طراحی لرزاها نبوده و طراحی با استفاده از روش‌های ارزیابی ساده شده تکیه‌گاه لوله کشی (روش دهانه مجاز لوله) انجام می‌شود. لیکن طراحی لرزاها باید برای لوله‌های زیر انجام شود:

- لوله با قطر خارجی ۴۵ میلیمتر یا بیشتر
- محتویات لوله ۳ مترمکعب یا بیشتر
- لوله متصل به برج‌ها و مخازن

۲-۵-۸- روش ارزیابی ساده شده (روش دهانه مجاز لوله)

اگر درجه اهمیت سازه متوسط یا کم باشد، می‌توان از این روش استفاده نمود. در این روش اگر طول دهانه لوله کمتر از طول دهانه مجاز بوده و برای لوله در تکیه‌گاه‌های مختلف، ظرفیت جذب تعییرمکان بیشتر از تعییرمکان نسبی سازه باشد، عملکرد لرزاها قابل قبول می‌باشد.

روش دهانه مجاز در موارد زیر بکار می‌رود.

- ۱- ارزیابی عملکرد باید در هر مقطع لوله کشی بین دو نقطه اتكای ثابت اعمال شود. اما اگر مقطع لوله کشی مشخص نباشد، باید ارزیابی در اولین نقطه اتكای نزدیک به مقطع بکار برده شده، انجام شود.
- ۲- دهانه‌های زیر با استفاده از روش دهانه مجاز ارزیابی می‌شود.
- طولانی‌ترین دهانه سیستم لوله کشی

• دهانه لوله با بار متتمرکز

- ۳- اگر تکيه‌گاهها متعدد باشد، ظرفیت جذب تغییرمکان نسبی باید ارزیابی شود.
- ۴- اگر دهانه لوله دارای انشعاب بوده و قطر خارجی لوله انشعاب، برابر با نصف یا کمتر از قطر لوله مادر باشد، ارزیابی باید از نقطه انشعاب تا اولین نقطه اتکای لوله انشعابی انجام شود.
- ۵- ارزیابی بندهای ۲ تا ۴ در هر سه راستای افقی و یک راستای قائم).
- ۶- اگر دهانه لوله دارای اتصال انبساطی باشد، ارزیابی ظرفیت تغییرمکان اتصال مربوطه نیز باید انجام شود.

۱-۲-۵-۸- معیار دهانه مجاز

لوله در سه راستا، دو راستای عمود و یک راستای موازی با محور لوله کشی، باید در برابر زلزله مهار شود.
طول لوله کشی بین تکيه‌گاههای مجاور (طول دهانه لوله) که عملکرد تکيه‌گاهی موثری در راستای زلزله دارد، نباید از طول دهانه مجاز متناظر، بیشتر باشد.
معیار پذیرش روش دهانه مجاز در رابطه (۲۰-۸) نشان داده می‌شود.

$$L_{ps} \leq L_a \quad (20-8)$$

L_{ps} : طول دهانه لوله، محاسبه شده توسط پیوست ۱-۳ (m)
 L_a : طول مجاز دهانه محاسبه شده توسط پیوست ۱-۳ (m)

۲-۲-۵-۸- ظرفیت تغییرمکان

تغییرمکان نسبی لوله کشی بین تکيه‌گاهها نباید از ظرفیت جذب تغییرمکان آن تجاوز کند.
زمانیکه نقطه اتکای لوله بر تکيه‌گاههای مختلف باشد، ارزیابی ظرفیت تغییرمکان باید انجام شود.
اگر دهانه لوله دارای انشعاب بوده و قطر خارجی لوله انشعاب، برابر با نصف یا کمتر از قطر لوله مادر باشد، ارزیابی از نقطه انشعاب تا اولین نقطه اتکاء انشعاب باید انجام شود.
ارزیابی ظرفیت تغییرمکان به صورت زیر انجام می‌شود.

$$\Delta \leq \delta_a \quad (21-8)$$

Δ : تغییرمکان نسبی بین دو تکيه‌گاه یا بین شروع انشعاب و اولین تکيه‌گاه انشعاب لوله (mm)
 δ_a : ظرفیت تغییرمکان دهانه لوله در راستای مورد طراحی است (mm)

۳-۵-۸- روش طراحی تنش مجاز

ارزیابی عملکرد لرزاهاي سیستم لوله کشی با درجه اهمیت زیاد به روش تنش مجاز، با استفاده از تحلیل تفصیلی انجام می‌شود.
در مواردیکه نمی‌توان از روش دهانه مجاز استفاده کرد، حتی اگر درجه اهمیت آن کم باشد روش تنش مجاز بکار می‌رود.
روند طراحی لرزاهاي استاندارد سیستم لوله کشی در پیوست ۲-۳ نشان داده شده است.

۱- سیستم لوله کشی از لوله، تکيه‌گاه، پی، اتصال فلنجی، شیرها و اتصالات انبساطی، تشکیل شده است.

۲- موج لزهای از طریق پی به لوله کشی، تکیه گاه و لوله‌ها منتقل می‌شود. لرزش لوله از تکیه گاه آن به سازه تکیه گاهی و سپس به پی و زمین انتشار می‌یابد. برای ساده‌سازی، معمولاً تحلیل پاسخ سازه تکیه گاهی و لوله بطور جداگانه انجام می‌شود.

۳- تحلیل پاسخ سازه تکیه گاهی تنها با در نظر گرفتن جرم لوله کشی در برابر موج زلزله انجام شده و شتاب و تغییر مکان در تکیه گاه لوله کشی محاسبه می‌شود.

۴- شتاب و تغییر مکان بدست آمده از تحلیل پاسخ سازه تکیه گاهی به عنوان مقادیر ورودی فرض شده، نیروی عکس العمل، لنگر و تنفس هر بخش از لوله، افشارهای سازه تکیه گاهی و غیره بر اساس آن محاسبه می‌شود.

۵- ارزیابی عملکرد لزهای با مقایسه تنفس محاسبه شده و تنفس مجاز طراحی لزهای انجام می‌شود.

۱-۳-۵-۸- تحلیل پاسخ سازه تکیه گاهی

ضریب زلزله افقی و تغییر مکان پاسخ نقطه اتکای لوله با استفاده از تحلیل پاسخ سازه تکیه گاهی لوله محاسبه می‌شود. در تحلیل پاسخ سازه تکیه گاهی، صلیبیت لوله نادیده و وزن لوله کشی به عنوان بار به سازه تکیه گاهی لوله کشی وارد می‌شود. جزئیات تحلیل پاسخ سازه تکیه گاهی لوله کشی در پیوست ۳-۳ توضیح داده شده است.

۲-۳-۵-۸- تحلیل پاسخ سیستم لوله کشی

محاسبه تنفس سیستم لوله کشی برای نیروی لزهای استاتیکی، تغییر مکان پاسخ تکیه گاه، فشار و وزن محرک انجام می‌شود. تحلیل با مدل کردن لوله به صورت تیر انجام می‌شود. نیروی لزهای استاتیکی اصلاح شده از رابطه‌های (۲۲-۸) و (۲۳-۸) بدست می‌آید.

$$F_{MH} = \beta_8 \mu K_{MH} W_H \quad (22-8)$$

$$F_{MV} = \beta_9 K_{MV} W_V \quad (23-8)$$

F_{MH} : نیروی لزهای افقی اصلاح شده طراحی (N)

F_{MV} : نیروی لزهای قائم اصلاح شده طراحی (N)

β_8 : ضریب بزرگنمایی پاسخ افقی (جدول (۴-۸)) چنانچه سازه تکیه گاهی متصل به لوله برج یا مخزن از نوع سازه قابی باشد مقدار این جدول در ۲ ضرب می‌شود. این ضریب برای سازه تکیه گاهی لوله کشی برابر با ۲ می‌باشد.

β_9 : ضریب بزرگنمایی پاسخ قائم سازه تکیه گاهی لوله کشی که برابر با ۲ فرض می‌شود.

K_{MH} : ضریب زلزله اصلاح شده افقی

K_{MV} : ضریب زلزله اصلاح شده عمودی

$$K_{MH} = \beta_5 K_H \quad (24-8)$$

$$K_{MV} = \beta_6 K_V \quad (25-8)$$

β_5 : تقویت پاسخ که در این رابطه برابر ۲ در نظر گرفته می‌شود.

β_6 : تقویت پاسخ در جهت عمودی که در این رابطه برابر ۲ در نظر گرفته می‌شود.

(N) وزن محرک (W_H)

W_V : وزن محتويات و وزن مرده لوله کشی وارد بر محلی که نیروی لرزه‌ای قائم اصلاح شده طراحی محاسبه می‌شود (N)

- تحلیل پاسخ سیستم لوله کشی براساس تغییر مکان پاسخ سازه تکیه گاه آن به روش تحلیل پاسخ تغییر مکان انجام می شود.
 - در این روش تغییر مکان پاسخ تکیه گاهی، به عنوان تغییر مکان اجباری به لوله ها و ملحقات آنها اعمال می شود.
 - مدل تحلیلی و نیروی لرزه ای طراحی اصلاح شده در پیوست ۳-۴ نشار داده شده است.

تنش، لوله در استای طولی، ناشه از نیروی لرزه‌ای، فشار سیال، وزن، محرک یا ترکیب یا ریهه برداشی و زنگله، محاسبه مم شود.

۱- فشار سیا، وزن محک و نیروی لزهای

تنش راستای طولی ناشی از فشار سیال، وزن محرک، نیروهای لرزه‌ای افقی و قائم برای بخش منحنی، محدوده انشعابی و بخش تکیه‌گاهی، لوله‌کشی، از رابطه $(26-8)$ محاسبه می‌شود.

$$\sigma_{\ell} = \frac{\sqrt{(i_i M_i)^2 + (i_o M_o)^2}}{Z} + \left| \frac{F_T}{A_p} \right| \quad (26-8)$$

σ : تنش راستای طولی ناشی از فشار، وزن و نیروی ناشی از زلزله (N/mm^2)

^{۱۹}: ضریب تشدید تنش درونصفحه‌ای محاسبه شده با استفاده از روش مناسب بر حسب نوع اتصال لوله (جدول پیوست)

^{۱۹}: ضریب تشدید تنش برونشفهای محاسبه شده با استفاده از روش مناسب بر حسب نوع اتصال لوله (جدول پیوست)

M: لنگر خمی درون صفحه‌ای ناشی از فشار سیال، وزن محرک، نیروی لرزه‌ای افقی و قائم (پیوست ۳-۵) (N.mm)

M: لنگر خمی بروندصفحه‌ای ناشی از فشار سیال، وزن محرک، نیروی لرزه‌ای افقی و قائم (پیوست ۳-۵) (N.mm)

Z: مدول مقطع لوله که در آن محاسبات بدون در نظر گرفتن مقدار مجاز خوردگی انجام می‌شود. برای لوله انشعابی با قطرهای مختلف از ابظه (۲۷-۸) استفاده می‌شود. (mm^3)

$$Z = \pi(r_o)^2 t_s \quad (27-8)$$

(mm): شعاع متوسط لوله در محل خم

؛ ضخامت موثر لوله دو خم، ضخامت مجاز خوردگی و صفحه تقویتی در نظر گرفته نمی‌شود. (mm)

F_T : نیروی محوری ناشی از فشار سیال، وزن محرک، نیروی لرزه‌ای افقی و قائم وارد بر لوله کشی (N)

A_p : سطح مقطع لوله. مقدار مجاز خوردگی نادیده گرفته می‌شود (mm^2)

۲- محدوده تنش تناوبی براساس نیروی لرزاها

محدوده تنش تناوبی براساس نیروی لرزاها افقی، قائم طراحی و جابجایی نقطه اتکای لوله کشی با استفاده از رابطه (۲۸-۸) محاسبه می شود.

$$\sigma_E = 2 \frac{\sqrt{(i_i M_i)^2 + (i_o M_o)^2 + M_t^2}}{Z} \quad (28-8)$$

σ_E : محدوده تنش تناوبی خمی براساس نیروی لرزاها افقی، قائم و جابجایی تکیه گاه لوله کشی (N/mm^2)

M_i : لنگر پیچشی ناشی از نیروی لرزاها افقی، قائم وارد و جابجایی تکیه گاه لوله کشی (پیوست ۵-۳) ($N.mm$)

۳-۴-۵-۸- ارزیابی تنش لوله کشی

اگر در طراحی لرزاها تنש محاسبه شده از تنش مجاز طراحی لرزاها تجاوز نکند، ارزیابی قابل قبول می باشد.

اگر تنش محاسبه شده بیش از تنش مجاز مشخصات طراحی، سازه و شرایط تکیه گاهی تغییر داده شده و ارزیابی عملکرد لرزاها تکرار می شود.

تنش مجاز طراحی لرزاها لوله کشی در پیوست ۶-۳ نشان داده می شود.

۳-۵-۵-۸- ارزیابی عملکرد لرزاها اتصال فلنجه

- ارزیابی نشت در اثر نیروی محوری و لنگر خمی محاسبه شده از تحلیل پاسخ شتاب و تحلیل پاسخ تغییر مکان لوله کشی، در اطراف اتصال فلنجه باید انجام شود.

- ارزیابی نشت زمانی تایید می شود که تنش ها در اتصال فلنجه (تنش ساعی و پیرامونی فلنجه و تنش محوری مادگی لوله) کمتر از تنش مجاز باشد.

- می توان از ارزیابی عملکرد لرزاها اتصال فلنجه با درجه اهمیت کم صرف نظر کرد.

۱- محاسبه کل فشارهای معادل

فشار داخلی معادل P_e ناشی از نیروی کششی محوری (F_T) و لنگر خمی (M) ناشی از بار لرزاها، با استفاده از رابطه (۲۹-۸) بدست می آید.

$$P_e = \frac{4F_T}{\pi D_e^2} + \frac{16M}{\pi D_e^3} \quad (29-8)$$

P_e : فشار معادل در زلزله (MPa)

F_T : نیروی کششی محوری ناشی از زلزله (N)

M : لنگر خمی (N.mm)

D_e : قطر متوسط در وجه تماس واشر (mm)

$$D_e = D_{gi} + 2(N_g - b_g) \quad (30-8)$$

D_{gi} : قطر داخلی واشر (mm)

(mm) : عرض واشر (N_g)

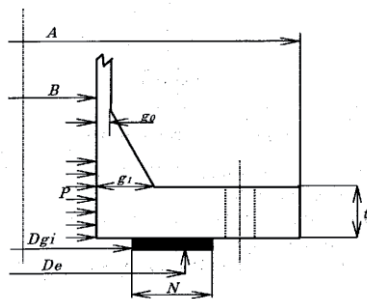
(mm) : عرض موثر واشر (b_g)

کل فشار معادل از رابطه (۳۱-۸) و با استفاده از فشار P_p سیال در لوله کشی و فشار معادل در زلزله بدست می‌آید.

$$P_{eq} = P_p + P_e \quad (31-8)$$

(MPa) : کل فشار معادل (P_{eq})

(MPa) : فشار سیال در لوله (P_p)



شکل ۳-۸ فلنج با واشر مسطح

۲- محاسبه تنش (واحد همه تنش‌ها) (N/mm^2)

تنش در اتصال فلنجی در حالت بهره‌برداری محاسبه می‌شود.

برای محاسبه باروارد بر وجه (بر قطر) درونی فلنج در اثر بار کل H و فشار داخلی، فشار معادل کل استفاده می‌گردد. تنها فشار داخلی برای مطالعه بار بر وجه کششی، جاییکه باربری واشر در محاسبات بار فشاری کاهش یافته، بکار می‌رود.

تنش انواع مختلف فلنج مانند فلنج شل بدون مادگی لوله از رابطه زیر محاسبه می‌شود:

- تنش محوری مادگی لوله

$$\sigma_H = 0 \quad (32-8)$$

- تنش شعاعی فلنج

$$\sigma_R = 0 \quad (33-8)$$

- تنش حلقوی فلنج

$$\sigma_T = \frac{YM}{t_f^2 B_f} \quad (34-8)$$

تنش فلنج با در نظر گرفتن مادگی لوله با استفاده از رابطه زیر محاسبه می‌شود.

- تنش محوری مادگی لوله

$$\sigma_H = \frac{fM}{Lg_1^2 B_f} \quad (35-8)$$

- تنش شعاعی فلنج

$$\sigma_R = \frac{(133t_e + 1)M}{Lg_1^2 B_f} \quad (36-8)$$

• تنش حلقوی فلنچ

$$\sigma_r = \frac{YM}{t_f^2 B_f - Z\sigma_R} \quad (37-8)$$

B_f: قطر داخلی فلنچ. زمانیکه B_f کوچکتر از 20g₁ است، می‌توان از B₁ به جای B_f استفاده کرد.

B_f + g₁: در فلنچ چند کاره و B₁: در فلنچ شل

d: ضریب، برای فلنچ یکپارچه $\frac{U}{V_L} h_0 g_0$ ² و برای فلنچ شل $\frac{U}{V} h_0 g_0$ ²

e: ضریب، برای فلنچ یکپارچه $\frac{F_L}{h_0}$ و برای فلنچ شل $\frac{F}{h_0}$

f: ضریب اصلاح تنش طوقه تعیین شده براساس مقدار g₀/g₁ و h₀/h_h. به نمودار پیوست ۷-۳ مراجعه شود.

F: ضریب تعیین شده براساس مقدار g₀/g₁ و h₀/h_h. به پیوست ۷-۳ مراجعه شود.

F_L: ضریب تعیین شده براساس مقدار g₀/g₁ و h₀/h_h. به پیوست ۷-۳ مراجعه شود.

h_h: طول طوقه (mm)

h₀: برابر $\sqrt{Bg_0}$ گرفته می‌شود.

g₀: ضخامت مادگی لوله (mm)

g₁: ضخامت طوقه وجه پشتی فلنچ (mm)

L: ضریب است و مقدار آن برابر است با $(t_e + 1)/T + t_f^3/d$

M: لنگر وارد بر فلنچ با در نظر گرفتن فشار معادل در اثر نیروی لرزهای (N.mm)

T: ضریب تعیین شده براساس مقدار K(A/B_f). به پیوست ۷-۳ مراجعه شود.

t_f: ضخامت فلنچ (mm)

U: ضریب تعیین شده براساس مقدار K(A/B_f). به پیوست ۷-۳ مراجعه شود.

V: ضریب تعیین شده براساس مقدار g₀/g₁ و h₀/h_h. به پیوست ۷-۳ مراجعه شود.

V_L: ضریب تعیین شده براساس مقدار g₀/g₁ و h₀/h_h. به پیوست ۷-۳ مراجعه شود.

Y: ضریب تعیین شده براساس مقدار K(A/B_f). به پیوست ۷-۳ مراجعه شود.

Z: ضریب تعیین شده براساس مقدار K(A/B_f). به پیوست ۷-۳ مراجعه شود.

ازیابی نشت با محاسبه تنش داخلی معادل با بار لرزهای انجام می‌شود (از این پس "فشار داخلی معادل" نامیده می‌شود)، و تنش ایجاد شده (تنش شعاعی در بال، تنش دایره‌ای در بال و تنش محوری در مرکز) در اتصال فلتی در اثر فشار معادل که فشار اضافه بر فشار داخلی معادل می‌باشد، باید کمتر از تنش مجاز طراحی لرزهای باشد.

۶-۳-۵-۸- ارزیابی عملکرد لرزاهاي شیرها

- تنش در بخش ضعیف بدنه اصلی شیر و بخش‌هایی با خروج از مرکزیت وزنی زیاد از محور لوله، در اثر نیروی اینرسی ناشی زلزله محاسبه می‌شود. اگر مقاومت شیر کافی باشد، عملکرد شیر ایمن در نظر گرفته می‌شود.
- ارزیابی عملکرد لرزاهاي شیر به این صورت است که تنش ایجاد شده در مقطع، بین بخش‌هایی با خروج از مرکزیت وزنی، مانند بدنه اصلی و محرك شیر، در اثر نیروی لرزاهاي افقی طراحی وارد بر شیر باید کوچکتر از تنش مجاز طراحی لرزاهاي باشد.
- برای شیرهاي زير، می‌توان از ارزیابی تنش محاسبه شده صرفنظر کرد.
 - در صوريکه سيستم لوله‌كشي داراي شير، به روش دهانه مجاز طراحی شود.
 - در صوريکه بخش‌هایی با خروج از مرکزیت وزنی، مانند محرك‌ها، مهار شده باشد.
 - در صوريکه فرکانس طبیعی بدست آمده شير ۲۰ هرتز يا بیشتر باشد.
- معیار فرکانس طبیعی شیر

$$\text{اگر در شير شرط } \frac{H_{VD}}{\sqrt{D_V}} \leq 40 \text{ ارضا شود، فرکانس طبیعی } 20 \text{ هرتز يا بیشتر در نظر گرفته می‌شود.}$$

H_{VD} : فاصله مرکز ثقل وجه فلنج تخت شير تا جرم خارج از مرکز قسمت گردان شير (mm)

D_V : حداقل عرض مصالح در بخش‌هایی با خروج از مرکزیت وزنی، مانند وجوده فلنج تخت و بخش‌های محرك شير (mm)

برای شیرهاي دستي بدون توجه به موارد بالا، ۲۰ هرتز فرض می‌شود.

۱- نیروی لرزاهاي افقی اصلاح شده طراحی

نيروی لرزاهاي افقی اصلاح شده طراحی وارد بر شير از رابطه (۳۶-۸) محاسبه می‌شود.

$$F_{MH} = \beta_8 \mu K_{MH} W_H \quad (38-8)$$

اگر راستای ميله شير عمود بر راستای قائم زلزله باشد، نیروی طراحی به جاي رابطه بالا از رابطه (۳۷-۸) بدست می‌آيد.

$$F_{MH} = \beta_9 K_{MV} W_H \quad (39-8)$$

F_{MH} : نیروی لرزاهاي افقی اصلاح شده طراحی شير (N)

β_8 : ضریب بزرگنمایی پاسخ افقی(جدول (۴-۸)) چنانچه سازه تکیه‌گاهی متصل به لوله برج یا مخزن از نوع سازه قابی

باشد مقدار اين جدول در ۲ ضرب می‌شود. اين ضریب برای سازه تکیه‌گاهی لوله‌كشي برابر با ۲ می‌باشد.

جدول ۸-۴ ضریب بزرگنمایی پاسخ لوله کشی شیر

ضریب β_8	$H_{VD} / \sqrt{D_V}$
(هرچند ارزیابی قابل صرفنظر کردن است)	۴۰ یا کمتر
$0.1H_{VD} / \sqrt{D_V} - 0.3$	۶۰-۴۰
۳	بیشتر از ۶۰

β : ضریب بزرگنمایی پاسخ قائم شیر. دارای مقدار ۱ تا ۳ است که در ۲ که ضریب بزرگنمایی پاسخ تعیین شده لوله کشی براساس سازه و روش تکیه گاهی شیر می باشد، ضرب می گردد.

W_H : وزن بخش هایی با خروج از مرکزیت وزنی مانند بخش های محرک شیر (N)

۲- محاسبه تنش

تنش بخش های با خروج از مرکزیت وزنی و بخش های محرک شیر از رابطه (۴۰-۸) محاسبه می شود.

$$\sigma_n = \frac{F_{MH} \cdot L_b}{Z} + \sigma_L \quad (40-8)$$

σ_n : بزرگترین تنش در مقطع بین بخش هایی با خروج از مرکزیت وزنی مانند بدن های اصلی شیر بخش های محرک

F_{MH} : نیروی لرزاها افقی اصلاح شده طراحی شیر (N)

L_b : فاصله مرکز ثقل اعضا بین بخش های وزنی و محرک ها تا بخش هایی با خروج از مرکزیت وزنی (mm)

Z: مدول مقطع (mm^3)

σ_L : تنش ایجاد شده در مقطع در اثر فشار داخلی و نیروی محرک (N.mm)

در صورتی که مقطع عضو به شکل استوانه باشد و فشار داخلی به بدن اصلی شیر اعمال شود و ساق شیر در راستای محوری و خروجی محرک در راستای محوری ساق شیر باشد، تنش شیر از رابطه (۳۹-۸) بدست می آید:

$$\sigma_L = (F_p + F_m) \cdot \frac{4}{\pi(D_o^2 - D_i^2)} \quad (41-8)$$

F_p : نیروی ناشی از فشار داخلی (N)

$$F_p = \frac{\pi D_i^2}{4} \cdot P_p \quad (42-8)$$

F_m : نیروی خروجی از بخش محرک (N)

D_i : قطر داخلی مقطع (mm)

P_p : فشار سیال در بدن اصلی شیر (MPa)

- در شیری که وزن بخش محرک آن زیاد و مرکز ثقل این بخش از محور لوله کشی دور است، به علت کاهش نسبی فرکانس طبیعی، در بخش محرک در اثر زنله نیروی زیادی ایجاد می شود.
- برای شیرهای با فرکانس طبیعی کمتر از ۲۰ هرتز، تنش در بخش ضعیف بین بدن اصلی شیر و بخش های با خروج از مرکزیت وزنی از محور لوله کشی برای نیروی اینرسی محاسبه و عملکرد لرزاها ارزیابی می شود.

- اگر مقاومت به اندازه کافی باشد، عملکرد قطع جریان نیز ایمن فرض می‌شود.

۷-۳-۵-۸- ارزیابی عملکرد لرزه‌ای اتصال انبساطی

۱- محاسبه تنش

۱-۱- مقدار جابجایی محوری چین آکاردئون

تعییرمکان آکاردئون در تکیه‌گاه در اثر زلزله به صورت زیر تبدیل به جابجایی محوری چین‌های آن می‌شود:

$$e_{be} = e_x + e_y + e_\theta \quad (43-8)$$

(الف) برای آکاردئون‌های ساده

$$e_x = \frac{x}{N_b} \quad (44-8)$$

$$e_y = \frac{3d_p y}{L_{lb} + x_c} \quad (45-8)$$

$$e_\theta = \frac{d_p \theta_A}{2N_b} \quad (46-8)$$

(ب) برای آکاردئون دوتایی

$$e_x = \frac{x}{2N_b} \quad (47-8)$$

$$e_y = \frac{K_{bl} d_p y}{2N_b (L_{lb} - C_{bl} + 0.5x_c)} \quad (48-8)$$

e_{be} : مقدار آکاردئون‌های جابجایی چین‌ها (mm)

x : کل تعییرمکان‌های محوری (mm)

y : مقدار تعییرمکان عمود بر محور (mm)

θ_A : مقدار تعییرمکان خمشی همه محورها (rad)

x_c : مقدار تعییرمکان وجه انقباضی در راستای محوری (mm)

N_b : تعداد چین‌های آکاردئون‌های یک قطعه

d_p : قطر متوسط آکاردئون‌ها (mm)

L_{lb} : طول موثر بخش آکاردئونی (mm)

C_{bl} : طول موثر یک آکاردئون (mm)

K_{bl} : ضریب اصلاح شده جابجایی معادل آکاردئون دوتایی

۲-۱- محاسبه تنش (واحد همه تنش‌ها N/mm^2)

(الف) برای آکاردئون‌های بدون حلقه تقویتی

(i) تنش غشایی در راستای محوری ناشی از فشار

$$\sigma_{mmp} = \frac{P_p W_b}{2n_b t_p} \quad (49-8)$$

(ii) تنش خمشی در راستای محوری ناشی از فشار

$$\sigma_{mbp} = \frac{P_p}{2n_b} \left(\frac{W_b}{t_p} \right)^2 C_p \quad (50-8)$$

(iii) تنش غشایی در راستای محوری ناشی از جابجایی کل هر چین

$$\sigma_{mmd} = \frac{E'_b t_p^2}{2W_b^3 C_f} e_{ba} \quad (51-8)$$

(iv) تنش خمشی در راستای محوری ناشی از جابجایی کل هر چین

$$\sigma_{mbd} = \frac{5E'_b t_p}{3W_b^2 C_d} e_{ba} \quad (52-8)$$

ب) برای آکاردئون‌های با حلقه تقویتی

(i) تنش غشایی در راستای محوری ناشی از فشار

$$\sigma_{mmp} = \frac{P_p (W_b - k_r q)}{2n_b t_p} \quad (53-8)$$

(ii) تنش خمشی در راستای محوری ناشی از فشار

$$\sigma_{mbp} = \frac{P_p}{2n_b} \left(\frac{W_b - k_r q}{t_p} \right)^2 C_p \quad (54-8)$$

(iii) تنش غشایی در راستای محوری ناشی از جابجایی کل هر چین

$$\sigma_{mmd} = \frac{E'_b t_p^2}{2(W_b - k_r q)^3 C_f} e_{ba} \quad (55-8)$$

(iv) تنش خمشی در راستای محوری ناشی از جابجایی کل هر چین

$$\sigma_{mbd} = \frac{5E'_b t_p}{(W_b - k_r q)^2 C_d} e_{ba} \quad (56-8)$$

P_p : فشار محرک (MPa)

E'_p : ضریب الاستیسیته طول در دمای عادی مصالح آکاردئون‌ها (N/mm^2)

W_b : ارتفاع چین آکاردئون (mm)

q : گام چین آکاردئون (mm)

n_b : تعداد لایه‌های آکاردئونی

t_b : ضخامت محاسباتی یک لایه آکاردئونی (mm)

k_r : ضریب اصلاح آکاردئون با حلقه تقویتی

C_p : ضریب اصلاح تنش خمشی محاسباتی ناشی از فشار

C_f : ضریب اصلاح تنش غشایی محاسباتی ناشی از جابجایی آکاردئون

C_d : ضریب اصلاح تنش خمشی محاسباتی ناشی از جابجایی آکاردئون

e_{ba} : کل جابجایی هر چین آکاردئون

۲- محاسبه دامنه تنش کل

حداکثر دامنه‌های محوری تنش به صورت زیر محاسبه می‌شود.

$$S_{am} = 0.7(\sigma_{mmp} + \sigma_{mbp}) + (\sigma_{mmd} + \sigma_{mbd}) \quad (57-8)$$

(N/mm²): حداکثر دامنه‌های محوری تنش (S_{am})

- حداکثر تنش محوری در آکاردئون‌ها، در اثر تغییر مکان تکیه‌گاه لوله، باید کمتر از تنش قابل قبول متناظر با ۵۰۰ سیکل، باشد.

- جهت بهبود عملکرد لرزه‌ای سیستم لوله‌کشی لازم است نوع مناسبی از اتصال انساطی در محل مناسب نصب شود.

۸-۳-۵-۸- ارزیابی عملکرد لرزه‌ای افشاره برج‌ها و مخازن

روش محاسبه تنش افشاره برج‌ها و مخازن با استفاده از تئوری پوسته‌های جدار نازک در زیر داده شده است:

۱- تنش پوسته جدار نازک

تنش در راستای i از رابطه (58-۸) محاسبه می‌شود.

$$\sigma_i = K_N \frac{N_i}{t} \pm K_b \frac{6M_{ii}}{t^2} \quad (58-8)$$

t_w : ضخامت پوسته جدار نازک (mm)

N_i : بار غشایی در راستای i به ازای واحد طول (N/mm)

M_{ii} : لنگر خمشی در راستای i در واحد طول (N.mm/mm)

K_N : ضریب تمرکز تنش برابر با ۱ برای نیروی غشایی

K_b : ضریب تمرکز تنش برابر با ۱ برای لنگر خمشی

۲- محاسبه ضریب تنش

ضریب تنش از رابطه (59-۸) محاسبه می‌شود.

$$S_I = M_{ax} \left(\frac{\sigma_x + \sigma_\phi \pm \sqrt{(\sigma_x - \sigma_\phi)^2 + 4\tau^2}}{2} \times \sqrt{(\sigma_x - \sigma_\phi)^2 + 4\tau^2} \right) \quad (59-8)$$

σ_x : تنش در راستای شعاعی

σ_ϕ : تنش در راستای محوری

τ : تنش محیطی

۳- پوسته کروی

پارامتر شکل هندسی بدون بعد استفاده می شود.

پارامتر پوسته (U) عبارتست از نسبت بعد خارجی افشاره به جذر حاصلضرب شعاع پوسته در ضخامت آن در افشاره های توخالی: پارامتر γ عبارتست از نسبت شعاع افشاره به ضخامت آن در افشاره های توخالی: پارامتر ρ عبارتست از نسبت ضخامت نازل به ضخامت پوسته از این پارامترها تنש های زیر بدست می آید:

- ۱) تنش غشایی و تنش خمی در راستای شعاعی و راستای مماسی ناشی از بارگذاری در راستای شعاعی
- ۲) تنش غشایی و تنش خمی در راستای شعاعی و راستای مماسی ناشی از لنگر خمی
- ۳) تنش برشی ناشی از نیروی برشی
- ۴) تنش برشی ناشی از لنگر پیچشی

از این تنش ها، حداقل تنش برشی در دو طرف پوسته حول محل اتصال افشاره و بدن بدست می آید.

اگر یک صفحه دارای صفحه های به عنوان پشتیبان باشد، ضخامت این صفحه را نیز باید به ضخامت صفحه اضافه کرد.

۴- پوسته استوانه ای

پارامتر پوسته γ عبارتست از نسبت ضخامت پوسته به میانگین شعاع پوسته

اگر تجهیز متصل به پوسته استوانه ای وجود داشته باشد پارامتر زیر تعریف می شود.

β برای تجهیزات با شکل دایره عبارتست از نسبت میانگین شعاع پوسته به شعاع محل اتصال تجهیز

β_1 برای تجهیزات با شکل مستطیل عبارتست از: نسبت طول بزرگتر مستطیل به میانگین شعاع پوسته

β_2 عبارتست از نسبت طول کوچکتر مستطیل به شعاع میانگین پوسته.

ضریب تنش از حداقل تنش برشی داخلی و خارجی ایجاد شده در اطراف اتصال افشاره، بدست آمده از تنش غشایی و تنش خمی راستای طولی و پیرامونی و تنش برشی ناشی از لنگر پیچشی و تنش برشی ناشی از نیروی برشی، با استفاده از نمودار و با پارامترهای بدون بعد، تعیین می گردد.

در صورت وجود ورق سخت کننده، اتصال افشاره با ضخامت محفظه و ورق سخت کننده ارزیابی می شود.

ارزیابی در بخش کمانی ورق سخت کننده، تنها با استفاده از ضخامت محفظه انجام می شود.

- در افشاره برج ها و مخازن، تنش مربوط به نیروی های لرزا های افقی و قائم و جابجایی تکیه گاه لوله کشی باید محاسبه شود.

- جزئیات روش ارزیابی در پیوست ۳-۱۰ نشان داده می شود.

۸-۷-۵-۴- ارزیابی عملکرد لرزا های سازه تکیه گاهی لوله کشی

ارزیابی عملکرد لرزا های سازه تکیه گاهی لوله کشی (تکیه گاه و تجهیزات تکیه گاهی لوله کشی) به این صورت است که تنش بوجود آمده در مصالح، باید کمتر از تنش های مجاز طراحی لرزا های باشد.

- ارزیابی عملکرد لرزاهاي تجهیزات تکیه‌گاهی لوله‌کشی به روش‌های ارزیابی تجهیزات انجام می‌شود.
- روش ارزیابی عملکرد لرزاهاي تکیه‌گاه در پیوست ۱۱-۳ نشان داده می‌شود.

۸-۵-۴- روش طراحی شکل‌پذیر

زمانیکه از سطح خطر-۲ استفاده می‌شود، طراحی لرزاهاي به روش طراحی شکل‌پذیر انجام می‌شود.
ارزیابی اثر جابجایی‌های زمین نیز با روش پاسخ تغییرمکان انجام می‌شود.

- چهارچوب طراحی لرزاهاي به روش شکل‌پذیر سیستم لوله‌کشی در پیوست ۱۲-۳ نشان داده می‌شود.
- اگر حرکت زمین لوله‌کشی را تحت تاثیر قرار ندهد، نیازی به ارزیابی عملکرد لرزاهاي نیست.
- انعطاف‌پذیری در تغییرشکل‌های بزرگ سیستم لوله‌کشی بستگی زیادی به خم‌ها دارد.
- ارزیابی لوله خم در پیوست ۱۳-۳ نشان داده شده است.

۸-۵-۵- ارزیابی طراحی لرزاهاي نیروی اینرسی و تغییرمکان پاسخ

مراحل ارزیابی نیروی اینرسی و تغییرمکان پاسخ در پیوست ۱۴-۳ نشان داده می‌شود.

۸-۵-۶-۱- سازه تکیه‌گاهی لوله

ضریب زلزله و تغییرمکان پاسخ نقطه اتکا لوله، از تحلیل پاسخ سازه تکیه‌گاهی محاسبه می‌شود.

سازه تکیه‌گاهی با یک مدل سیستم ارتعاشی مناسب، جایگزین شده و شتاب پاسخ و تغییرمکان پاسخ در نقطه اتکا به روش استاتیکی اصلاح شده، طیفی یا تاریخچه زمانی محاسبه می‌شود.
تغییرمکان پاسخ نقطه اتکا به روش استاتیکی اصلاح شده در پیوست ۱۴-۳ نشان داده شده است.

۸-۵-۶-۲- سیستم لوله‌کشی

شتاب و تغییرمکان نقطه اتکا سیستم لوله‌کشی از تحلیل پاسخ سازه تکیه‌گاهی بدست می‌آید.

تحلیل سیستم لوله‌کشی با استفاده از مدل تحلیلی که رفتار غیرخطی تغییرشکل خمیری را در نظر می‌گیرد، انجام می‌شود.

۱- المان لوله‌کشی

در المان‌های لوله‌کشی مانند لوله‌های مستقیم و لوله‌های T شکل، المان تیر خطی در نظر گرفته می‌شود.

در لوله منحنی، رابطه بار و کرنش غیرخطی در نظر گرفته می‌شود.

۲- ثابت میرایی

اثر جذب انرژی توسط تغییرشکل پلاستیک لوله خم و تکیه‌گاه‌های لوله‌کشی، با ثابت میرایی که به طور مناسبی کاهش می‌یابد، جایگزین می‌شود.

رونده کلی تحلیل خطی معادل و تحلیل تفصیلی و همچنین ضرب بزرگنمایی پاسخ در پیوست ۱۴-۳ توضیح داده شده است.

۸-۵-۴-۳- مد خوابی

در سیستم لوله کشی، ارزیابی عملکرد لرزاگاهی مد خوابی موارد زیر برای نیروی اینرسی و تغییر مکان پاسخ انجام می‌شود.

- ۱- تغییر شکل پلاستیک لوله خم
- ۲- ترک در ناحیه انشعاب
- ۳- ترک لوله در تکیه گاه
- ۴- تغییر شکل موجی لوله
- ۵- خرابی افشارانه
- ۶- خرابی اتصال انبساطی
- ۷- نشت گاز فشار قوی از اتصال فلنجی
- ۸- خرابی تکیه گاه

۱- تغییر شکل پلاستیک لوله خم

به علت انعطاف پذیری زیاد لوله خم (زانوی) در سیستم لوله کشی، سرعت تغییر شکل پلاستیک افزایش می‌یابد.

۲- ترک در ناحیه انشعاب

به علت تکرار بار لرزاگاهی در نقاط انفال با تمرکز تنفس زیاد، ناشی از بار متناوب زلزله، وقوع ترک در ناحیه انشعاب به عنوان یک مد خوابی مورد انتظار می‌باشد.

۳- ترک لوله در تکیه گاه

خستگی ناشی از تکرار بار لرزاگاهی در نقاط انفال که تنفس متمرکز می‌شود باعث یک مد خوابی مانند ترک لوله در تکیه گاه می‌باشد.

۴- تغییر شکل موجی لوله

اگر در اثر بار متناوب، تنفس نوسانی بیش از حد ایجاد شود، کرنش پلاستیک انباسته شده و باعث موج برداشتن لوله می‌شود.

۵- خرابی افشارانه

ترک ناشی از خستگی بار لرزاگاهی متناوب در نقاط انفال که تنفس محلی متمرکز می‌شود، و ناحیه افشارانه به عنوان یک مد خوابی در نظر گرفته می‌شود.

۶- خرابی اتصال انبساطی

ترک ناشی از خستگی آکاردئون در اتصال انبساطی ناشی از تغییر شکل بیش از اندازه در اثر بار لرزاگاهی به عنوان مد خوابی در نظر گرفته می‌شود. از سوی دیگر، با وجود آنکه طراحی به صورتی انجام شده است که جابجایی دو یا تعداد بیشتر آکاردئون‌ها همراه با حلقه تنظیم‌کننده می‌باشد، در مواردی که تغییر مکان از حد جابجایی تجاوز کند، سازه آکاردئون باید حفاظت شود و تغییر شکل ناشی از لوله کشی جذب گردد. با استفاده از میل مهارها در اتصالات انبساطی باید انبساط و انقباض محوری در سازه مهار گردد تا این جابجایی باعث ناپایداری سازه نشود.

۷- نشت گاز فشار قوی از اتصال فلنجی

نقص در آببندی ناشی از کاهش باربری واشر در اثر کشش یا خمش بیش از اندازه، یک مد خرابی فرض می‌شود.

۸- خرابی تکیه‌گاه

ممکن است در اثر تغییرشکل پلاستیک، در عملکرد تکیه‌گاهها نقص ایجاد شود.

چون تنش در شیرها در حد کران پایین تنش در روش طراحی تنش مجاز، نگهدارنده می‌شود، بنابراین می‌توان از ارزیابی، در روش طراحی شکل‌پذیر صرف‌نظر کرد.

۸-۵-۴-۱- ارزیابی لرزاهاي لوله‌کشی

تغییرشکل پلاستیک نهایی مجاز ناشی از نیروی اینرسی و تغییرمکان پاسخ لرزاهاي طراحی با استفاده از جدول (۵-۸) محاسبه می‌شود.

جدول ۸-۵ تغییرشکل پلاستیک نهایی مجاز ناشی از نیروی اینرسی و تغییرمکان پاسخ

تغییرشکل پلاستیک نهایی مجاز	بار
محدودیت فشار داخلی رزوه	فشار داخلی، وزن مرده و تنش طولی ناشی از نیروی اینرسی لرزاهاي
کرنش پلاستیک نصف دامنه ۲%	محدوده تنش تکرارشونده

در این موارد ممکن است ارزیابی با موارد ۱ یا ۲ جایگزین شود.

۱- ارزیابی مد خرابی لوله خم

زاویه اعوجاج لوله خم نباید از زاویه مجاز تجاوز کند. در اینجا زاویه مجاز لوله θ_m ، برابر زاویه اعوجاج لوله خم متناظر به حداقل کرنش پلاستیک معادل $2\% \text{ نیم دامنه}$ می‌باشد.

۲- ارزیابی مد خرابی لوله‌های انشعابی و لوله‌های مستقیم

ابتدا تنش ظاهری محاسبه می‌شود و این مقدار باید کوچکتر از تنش مجاز طراحی لرزاهاي طبق جدول (۶-۸) باشد.

جدول ۸-۶ ارزیابی عملکرد لرزاهاي ساده با استفاده از مدل خطی نیروی اینرسی و پاسخ تغییرمکان

ملاحظات	تنش مجاز طراحی لرزاهاي	بار
S_y : توضیح داده شده در ۳-۱-۴	$2S_y$	تنش طولی
طراحی مصالح یا مقاومت تسليیم در دمای $20/2$ %	$4S_y$	محدوده تنش تکرارشونده در زلزله

ارزیابی مد خرابی لوله منحنی، لوله‌های انشعابی و لوله‌های مستقیم و جزئیات رزوه در پیوست ۳-۱۴ نشان داده می‌شود.

۸-۴-۵-۱- ارزیابی لرزاها اتصال فلنجی

ارزیابی نشت اتصال فلنجی تحت اثر کشش محوری F و لنگر خمی M با استفاده از رابطه ۶۰-۸) انجام می‌شود.

$$mP_p + \alpha_1 P_e \leq \sigma_a \quad (60-8)$$

m : ضریب واشر

P_p : فشار داخلی (MPa)

α_1 : ضریب اصلاح نشت مربوط به فشار داخلی معادل

P_e : فشار داخلی معادل ناشی از نیروی کششی محوری F و لنگر خمی M تحت اثرات لرزاها (N/mm^2)

σ_a : باربری واشر (N/mm^2) ناشی از نیروی بستن اولیه پیچ. در مواردیکه پیچ‌ها منظم نیستند، تنش بستن اولیه هر یک از پیچ‌ها کوچکترین مقدار بین تنش تسليم و $\sqrt{d}/1500$ پیچ می‌باشد. در اینجا d قطر اسمی پیچ است.

مطالعه تفصیلی و باربری مورد نیاز واشر در اتصال فلنجی در بند ۳-۱۴-۴ پیوست نشان داده می‌شود.

۸-۴-۵-۶- ارزیابی لرزاها اتصال انبساطی

تغییرمکان نسبی دو انتهای اتصال انبساطی باید کمتر از تغییرمکان نسبی مربوط به ۵۰ بار تکرار در اتصال باشد.

در چنین مواردی، ارزیابی جداگانه مانند ارزیابی مربوط به جابجایی زمین، انجام می‌شود. در راستایی که جابجایی نسبی نباید رخدده، مقاومت کافی برای عکس العمل محاسبه شده از محاسبات پاسخ، باید وجود داشته باشد.

جزئیات مراحل ارزیابی اتصال انبساطی در بند ۳-۱۴-۵ پیوست نشان داده می‌شود.

۸-۴-۵-۷- ارزیابی لرزاها افسانه برج‌ها و مخازن

لنگر خمی، لنگر پیچشی و کشش محوری وارد بر افسانه باید کمتر از مقادیر مجاز باشد.

جزئیات مراحل ارزیابی افسانه برج‌ها و مخازن در بند ۳-۱۴-۶ پیوست نشان داده می‌شود.

۸-۴-۵-۸- ارزیابی لرزاها تکیه‌گاه لوله

ارزیابی مربوط به نیروی اینرسی و پاسخ تغییرمکان تکیه‌گاه لوله با استفاده از عکس العمل بدست آمده از محاسبات مربوط به مدهای خرابی زیر از ۱ تا ۴، در تکیه‌گاه لوله، انجام می‌شود.

۱- تغییرشکل پلاستیک تکیه‌گاه

۲- ترک تکیه‌گاه لوله

۳- حد تغییرمکان تکیه‌گاه

۴- کمانش تکیه‌گاه

ارزیابی عملکرد لرزاها تکیه‌گاه لوله در پیوست ۳-۱۴-۷ نشان داده می‌شود.

۸-۴-۵-۲- ارزیابی طراحی لرزاهاي تحت اثر تغییرشکل‌های ماندگار زمین (مخاطرات ژئوتکنیکی)

۸-۴-۵-۱- طراحی سیستم لوله‌کشی

برای سیستم لوله‌کشی در زمین‌های روانگرایی باید با استفاده از پی مشترک، از اثر جابجایی نسبی پی‌های منفرد، جلوگیری کرد.
اگر عدم نشت گاز فشار قوی با وجود انعطاف‌پذیری کافی در لوله‌کشی تایید شود، نیازی به این مورد نیست.

این یک اصل است که طراحی سازه به صورتی انجام شود که بجای بکارگیری پی‌های مختلف برای تکیه‌گاه لوله با استفاده از پی مشترک، تغییرمکان نسبی اضافی به لوله‌کشی تحمیل نشود.
در پیوست ۱۵-۳ روش تامین انعطاف‌پذیری سیستم لوله‌کشی شرح داده شده است.

۸-۴-۵-۲- جابجایی پی ناشی از جابجایی زمین

ارزیابی رفتار لرزاهاي پی در برابر حرکت زمین برای پیدا کردن حداقل جابجایی نسبی بین پی و زمین اطراف انجام می‌شود. این ارزیابی با در نظر گرفتن موارد زیر انجام می‌شود.

- ۱- نشست هموار پی ناشی از روانگرایی زمین و جریان خاک روانگرا شده
- ۲- نشست ناهموار پی ناشی از روانگرایی زمین و جریان خاک روانگرا شده
- ۳- تغییرمکان جانبی پی ناشی از جریان ناشی از روانگرایی

مقدار تغییرمکان و تغییرمکان نسبی بین پی‌ها ناشی از جابجایی زمین در پیوست ۱۶-۳ تشریح شده‌اند.

۸-۴-۵-۳- روش تحلیل پاسخ

ارزیابی عملکرد لرزاهاي تحت جابجایی زمین با استفاده از روش انرژی یا روش تحلیل خطی معادل یا روش تحلیل پاسخ غیرخطی یا ترکیب آنها انجام می‌شود. در چنین مواردی برای لوله خم رابطه تنفس کرنش غیرخطی فرض شده و برای سایر انواع لوله می‌تواند خطی باشد. اگرچه در لوله خم می‌توان پاسخ خطی را با استفاده از ضریب انعطاف‌پذیری مناسب اصلاح شده در تغییرشکل پلاستیک محاسبه کرد.

ضریب انعطاف‌پذیری لوله خم برای جابجایی پی و تحلیل با استفاده از ضریب انعطاف‌پذیری در پیوست ۱۷-۳ آورده شده‌اند.

۸-۴-۵-۴- مد خرابی

ارزیابی عملکرد لرزاهاي مد خرابی ۱ تا ۸ برای جابجایی زمین ناشی از روانگرایی انجام می‌شود.

- ۱- تغییرشکل پلاستیک لوله خم
- ۲- ترک در محدوده انشعاب
- ۳- ترک لوله‌کشی در تکیه‌گاه
- ۴- تغییرشکل موجی لوله
- ۵- خرابی افشارنه
- ۶- خرابی اتصال انساطی

۷- نشت گاز از اتصال فلنجی

۸- خرابی تکیه گاه

نسبت تغییرشکل پلاستیک نهایی مجاز برای جابجایی های ماندگار زمین ۵٪ و برای نیروی اینرسی ۲٪ است.

۸-۴-۵-۲- ارزیابی لرزاها لوله کشی

با محاسبه فشار سیال، وزن بهره برداری، تنش طولی ناشی از نیروی لرزاها، و محدوده تنش تکرار شونده ناشی از نیروی لرزاها و با در نظر گرفتن ترکیب بار لوله کشی و جهت زلزله، نسبت پاسخ پلاستیک باید در محدوده نسبت تغییرشکل پلاستیک مجاز باشد. در این موارد، ممکن است از ارزیابی مربوط به مد خرابی لوله خم یا لوله های انشعابی و لوله های مستقیم استفاده شود.

نسبت تغییرشکل پلاستیک نهایی مجاز لوله کشی برای جابجایی زمین برابر ۵٪ فرض می شود. در این موارد، ممکن است از ارزیابی موارد ۱ یا ۲ استفاده شود.

۱- ارزیابی مد خرابی لوله خم

زاویه اعوجاج_a لوله خم نباید از زاویه مجاز در ارزیابی با استفاده از ضریب شکل پذیری تجاوز نماید.

در اینجا زاویه مجاز_a لوله خم برابر زاویه اعوجاج لوله خم مطابق با حداقل کرنش پلاستیک معادل ۵٪ فرض می شود.

۲- ارزیابی مد خرابی لوله انشعابی، مستقیم یا سایر لوله ها

در ارزیابی عملکرد لرزاها لوله انشعابی، مستقیم یا سایر لوله ها، تنش ظاهری باید برابر یا کمتر از تنش مجاز_y برای طراحی لرزاها در ارزیابی با ضریب شکل پذیری باشد.

جزئیات زاویه مجاز لوله خم در پیوست ۳-۱۸ نشان داده می شود.

۸-۴-۶-۲- ارزیابی لرزاها اتصال فلنجی

ارزیابی نشت در اطراف اتصال فلنجی برای نیرو در راستای لوله کشی و لنگر خمشی محاسبه شده از تحلیل پاسخ شتاب و تحلیل پاسخ تغییر مکان لوله کشی انجام می شود.

وقتی کشش F و خمش M بر محل اتصال لبه وارد شود، ارزیابی نشت بر اساس بند ۳-۱۹ در پیوست انجام می شود.

۸-۴-۵-۲- ارزیابی لرزاها اتصال انبساطی

تغییر مکان نسیی دو انتهای اتصال انبساطی باید کمتر از تغییر مکان نسیی مجاز مربوط به ده بار تکرار در اتصال انبساطی باشد. ارزیابی جابجایی های ماندگار زمین می تواند به صورت مجزا از ارزیابی نیروی اینرسی و تغییر مکان پاسخ انجام شود.

در جایی که نمی توان جابجایی نسبی را برای اتصال انبساطی انتظار داشت، اتصال باید مقاومت کافی برای عکس العمل بدست آمده از محاسبات را داشته باشد.

جزئیات مراحل تخمین در پیوست ۳-۲۰ نشان داده می شود.

۸-۴-۵-۲-۸- ارزیابی لرزاها افشانه برج ها و مخازن

لنگر خمشی، لنگر پیچشی و کشش محوری وارد بر افشانه باید کمتر از مقادیر مجاز باشد.

جزئیات مراحل ارزیابی مربوط به جابجایی زمین افسانه برج‌ها و مخازن در پیوست ۲۱-۳ نشان داده می‌شود.

۸-۴-۹-۲- ارزیابی لرزه‌ای تکیه‌گاه لوله

ارزیابی تکیه‌گاه لوله برای عکس العمل بدست آمده از محاسبات پاسخ مربوط به مدهای خرابی ۱ تا ۴ انجام می‌شود.

۱- تغییرشکل پلاستیک تکیه‌گاه لوله

۲- حد تغییرمکان تکیه‌گاه لوله

۳- بار رهایی تکیه‌گاه آزاد

۴- حد کمانش تکیه‌گاه لوله

ارزیابی عملکرد لرزه‌ای تکیه‌گاه در پیوست ۲۲-۳ نشان داده می‌شود.

فصل ۹

طراحی لرزاوی و کنترل ایمنی

پستهای برق

۱-۹ تجهیزات هدف

تجهیزات هدف در این فصل شامل موارد زیر می‌باشد:

- ۱- ترانسفورماتور (ترانس)
- ۲- مقره
- ۳- بوشینگ
- ۴- کابل
- ۵- سایر تجهیزات

- پست‌ها معمولاً دارای یک یا چند ترانس، سوئیچ، تجهیزات کنترل و حفاظت می‌باشد.
- در پست‌های بزرگ، دزکتورها به منظور جلوگیری از اتصال کوتاه یا اضافه بارجیان که احتمال وقوع آن در شبکه وجود دارد، مورد استفاده قرار می‌گیرد.
- در پست‌های توزیع کوچکتر برای حفاظت از مدارهای انشعابی، از قطع کننده‌های خودکار یا فیوز استفاده می‌گردد.
- در یک پست ممکن است سازه‌های پایانه خطوط، سوئیچ‌های ولتاژ بالا و پایین، برق‌گیرها، قطع کننده مدار، ابزار کنترل و اندازه‌گیری جریان وجود داشته باشد.
- سایر تجهیزات از قبیل خازن تنظیمی جریان و تنظیم کننده ولتاژ نیز در پست وجود دارد.

۲-۹-۱ مدهای آسیب

۱- ترانس

- مدهای آسیب بدنه ترانس شامل لغش در طول ریل و واژگونی با خروج از ریل می‌باشد.
- اهم مدهای آسیب بوشینگ‌ها و رادیاتور، نشت مواد روغنی از قسمت سرامیکی، خروج واشر و شکست سرامیک می‌باشد.

این شکست‌ها در محل اتصال واشر به بدن، مرکز می‌شود.

۲- تجهیزات سرامیکی

مهم‌ترین مده آسیب تجهیزات سرامیکی، شکست ستون سرامیکی ناشی از کشش بیش از اندازه می‌باشد. مد دیگر آسیب ناپایداری سازه تکیه‌گاه یا تغییر شکل دائمی است.

۳- باس

مد آسیب غالب در یک باس، شکست سرامیک‌ها می‌باشد.

۳-۹- روشن طراحی لرزاهاي مبني بر عملکرد

۱-۳-۹- طراحی لرزاهاي تجهيزات پست

- ۱- بعلت صلبيت زياد، فركانس بالا و مقاومت زياد مصالح، بدنه اصلی ترانس، ترانس جريان، كمپرسور هوا و سازه هاي نظير آنها به روش شبه استاتيكي طراحی می گردد.
- ۲- برای طراحی تجهیزات مقره و بوشینگ، از روش دیناميکی استفاده می گردد. پس از کنترل تجهیزات مقرهای باس روش دیناميکی برای باس آلومينیومی نیز قابل تعمیم است.
- ۳- در روش تحلیل شبه استاتيكي و دیناميکي، طراحی باید با استفاده از روش تنفس مجاز انجام می شود.

۲-۳-۹- روشن استاتيكي بارگذاري لرزا اي

- ۱- در روش شبه استاتيكي، باید ضریب زلزله، بر اساس اهمیت تجهیزات استفاده شده در پست تعیین گردد.
 - ۲- ضریب زلزله باید با تراز تعیین شده در این راهنمای مطابقت داشته باشد.
 - ۳- ضرایب لرزاهاي روش شبه استاتيكي از راهنمای بارگذاري و تحليل لرزاهاي شريانهاي حياتی ايران بدست می آيد.
- ۱- بدنه اصلی ترانس

فرکانس طبیعی بدنه اصلی ترانس معمولاً Z_{15H} یا بیشتر بوده و احتمال ایجاد پدیده تشیدید در اثر زلزله ناچیز می باشد.
لوله های متصل به بدنه ترانس باید کنترل شود.

- ۲- واحد تأمین برق در ایستگاه
اغلب این تجهیزات دارای فرکانس طبیعی در حدود Z_{7H} یا بیشتر بوده و میرایی آنها نیز در حدود ۱۰٪ یا بیشتر می باشد.
اغلب این تجهیزات در طبقه اول یا طبقات پایینی نصب می شود. ضریب بزرگنمایی پاسخ تجهیزاتی با ثابت میرایی در حدود ۰.۵٪ یا بیشتر و فرکانس طبیعی Z_{7H} یا بیشتر، حداقل $1/6$ در نظر گرفته می شود. لذا نیروی لرزاهاي طرح برابر 0.5×1.6 تعیین می گردد. اگر این تجهیزات در طبقات دوم یا سوم نصب شود، بزرگنمایی ساختمان نیز باید در نظر گرفته شود. از آنجایی که ضریب بزرگنمایی در طبقات دوم یا سوم ساختمان حدود ۲ می باشد، مقدار $1/0$ (۰.۵×۲) به عنوان شتاب معادل لرزاهاي طرح تعیین می گردد.
برای طبقات بالاتر، باید بزرگنمایی ساختمان برای این تجهیزات محاسبه شود.

۳- تابلوی برق

- تابلوهای برق دارای تنوع سازهای زیادی می باشد. با بررسی نتایج آزمایش لرزاهاي تابلوهای برق، ضریب بزرگنمایی پاسخ تابلوی برق در حدود $2/5$ یا کمتر می باشد. شتاب افقی استاتيكي برابر با $1/5$ ($0.3 \times 2.5 \times 2.0$) به عنوان مقدار استاندارد در طراحی تابلوی برق نصب شده در طبقه سوم یا کمتر، در نظر گرفته می شود. برای طبقات بالاتر، باید ضریب بزرگنمایی پاسخ برای این تجهیزات محاسبه شود. کفایت مقاومت داخلی تابلوی برق در مقابل شتاب ورودی نیز باید بررسی گردد.
در مورد سقوط اجزایی از قبیل رله بایستی توجه خاص مبذول شود.

۴- کمپرسور هوا

از آنجا که فرکانس طبیعی کمپرسور هوا بیشتر از ۱۵ هرتز بوده و بدنه آن صلب می‌باشد، شتاب افقی آن مانند بدنه ترانس در نظر گرفته می‌شود.

۳-۳-۹- روش تحلیل دینامیکی

- ۱- با توجه به امکان تشدید ارتعاش در تجهیزات بوشینگ از روش دینامیکی برای تحلیل رفتار آنها استفاده می‌گردد.
- ۲- هر دو مولفه افقی و قائم زلزله باید در تحلیل دینامیکی در نظر گرفته شود.
- ۳- ارتعاش میرا با سه موج سینوسی با همان پریود طبیعی تجهیزات، به عنوان ورودی برای تحلیل لرزه‌ای تجهیزات بوشینگ بکار می‌رود.

۱- نیروی طراحی لرزه‌ای در سطح زمین

۱-۱- شتاب افقی

در روش ۳ موج سینوسی مقدار شتاب افقی $\frac{1}{3}$ /، عنوان ورودی در سطح زمین ملحوظ می‌گردد.

۱-۲- شتاب عمودی

شتاب عمودی، اغلب نصف شتاب افقی می‌باشد. از آنجایی که تاثیر شتاب عمودی بر اغلب دستگاهها از نظر سازه‌ای ناچیز می‌باشد، در بسیاری از حالات نیازی به در نظر گرفتن این شتاب نمی‌باشد. شتاب عمودی برای سازه‌های خاص (بوشینگ دیواری و نظایر آن) که اثرات موج عمودی را دریافت می‌کنند در نظر گرفته می‌شود. شکل موج و زمان وقوع حداکثر در شتابهای افقی و عمودی با یکدیگر متفاوت بوده و لازم است برای هر دو جهت به صورت جداگانه کنترل شود.

۱-۳-۱- موج ورودی

- از آنجایی که فرکانس غالب تجهیزات مقره‌ای، بوشینگ و باس آلومینومی در زلزله، در محدوده $0.5-10.5$ هرتز می‌باشد، احتمال تشدید در محدوده فرکانس طبیعی آنها وجود دارد. بنابراین باید موج سینوسی‌ای که دارای فرکانس طبیعی دستگاه است، به عنوان بدترین حالت ورودی اختیار شود.

- یک روش اعمال تشدید در نظر گرفتن n^{th} سیکل موج سینوسی با فرکانس تشدید به عنوان ورودی معادل با یک موج واقعی زلزله است.

پاسخ تجهیزات در برابر زلزله ناشی از دو موج سینوسی از پاسخ تجهیزات ناشی از موج لرزه‌ای واقعی بزرگ‌تر است. بنابراین موج استفاده شده برای طراحی، از دو موج سینوسی با شتاب افقی $\frac{1}{3}$ /۰ تشکیل می‌شود. این موج ورودی تا حدی محافظه‌کارانه است.

۲- نیروی طراحی لرزه‌ای تجهیزات

۲-۱- برای دو موج سینوسی:

- تجهیزات مقره‌ای: دو موج سینوسی تشدید با حداکثر شتاب $\frac{1}{3}^{\text{rd}}$ ، ورودی در انتهای پایینی تکیه‌گاه

- باس لوله آلومینیومی: دو موج سینوسی تشدید با حداکثر شتاب $\frac{1}{3}^{\text{rd}}$ ، ورودی در انتهای پایینی قاب

- بوشینگ ترانسفورماتور: دو موج سینوسی تشديد با حداکثر شتاب $3/0$ ، ورودی در انتهای پایه فلزی

برای تجهیز مقره‌ای و باس آلومینیومی ضریب بزرگ‌نمایی با وجود پی برابر $1/2$ ، و برای بوشینگ ترانسفورماتور ضریب بزرگ‌نمایی با وجود پی و بدنه اصلی ترانسفورماتور برابر 2 می‌باشد. همچنین، ضریب عدم قطعیت $1/1$ به منظور در نظر گرفتن تاثیر شتاب عمودی و الحالات متصل شده در نظر گرفته می‌شود.

۲-۲-۲ برای سه موج:

- تجهیزات مقره‌ای: سه موج سینوسی تشديد با حداکثر شتاب $3/0$ ، ورودی در انتهای پایه گاه

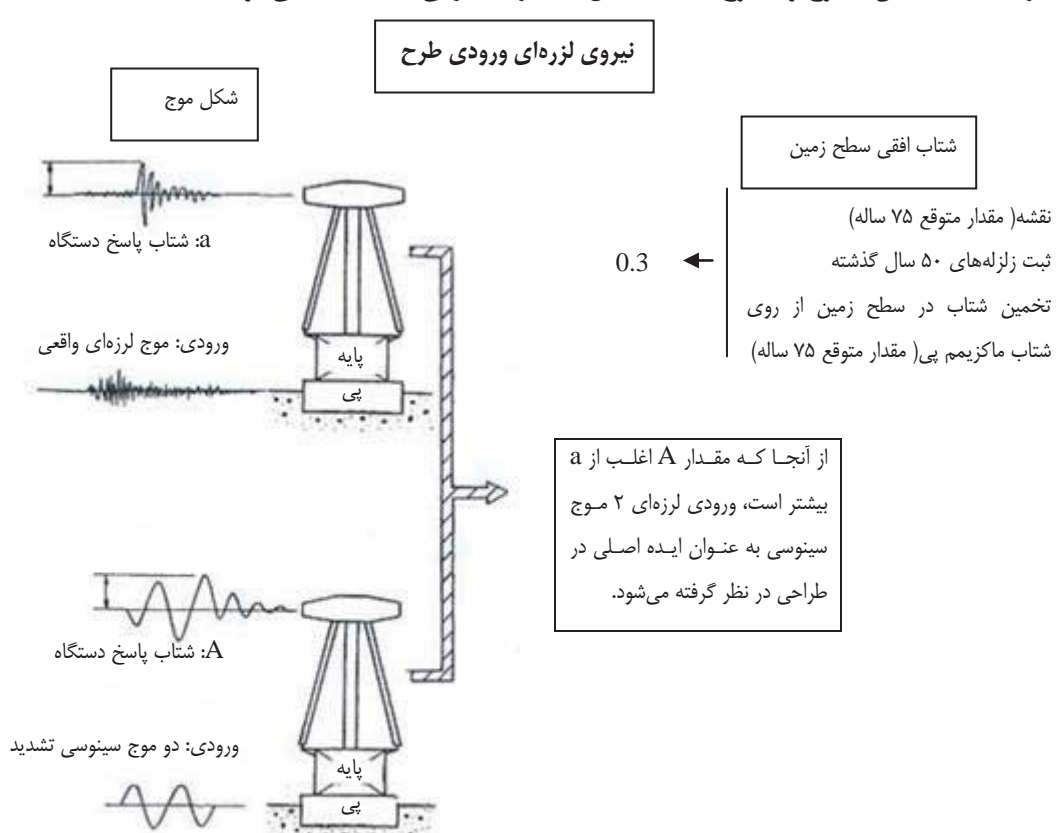
- بوشینگ ترانسفورماتور: سه موج سینوسی تشديد با حداکثر شتاب $5/0$ ، ورودی در انتهای پایه فلزی

- باس لوله آلومینیومی: سه موج سینوسی تشديد با حداکثر شتاب $3/0$ ، ورودی در انتهای پایه قاب

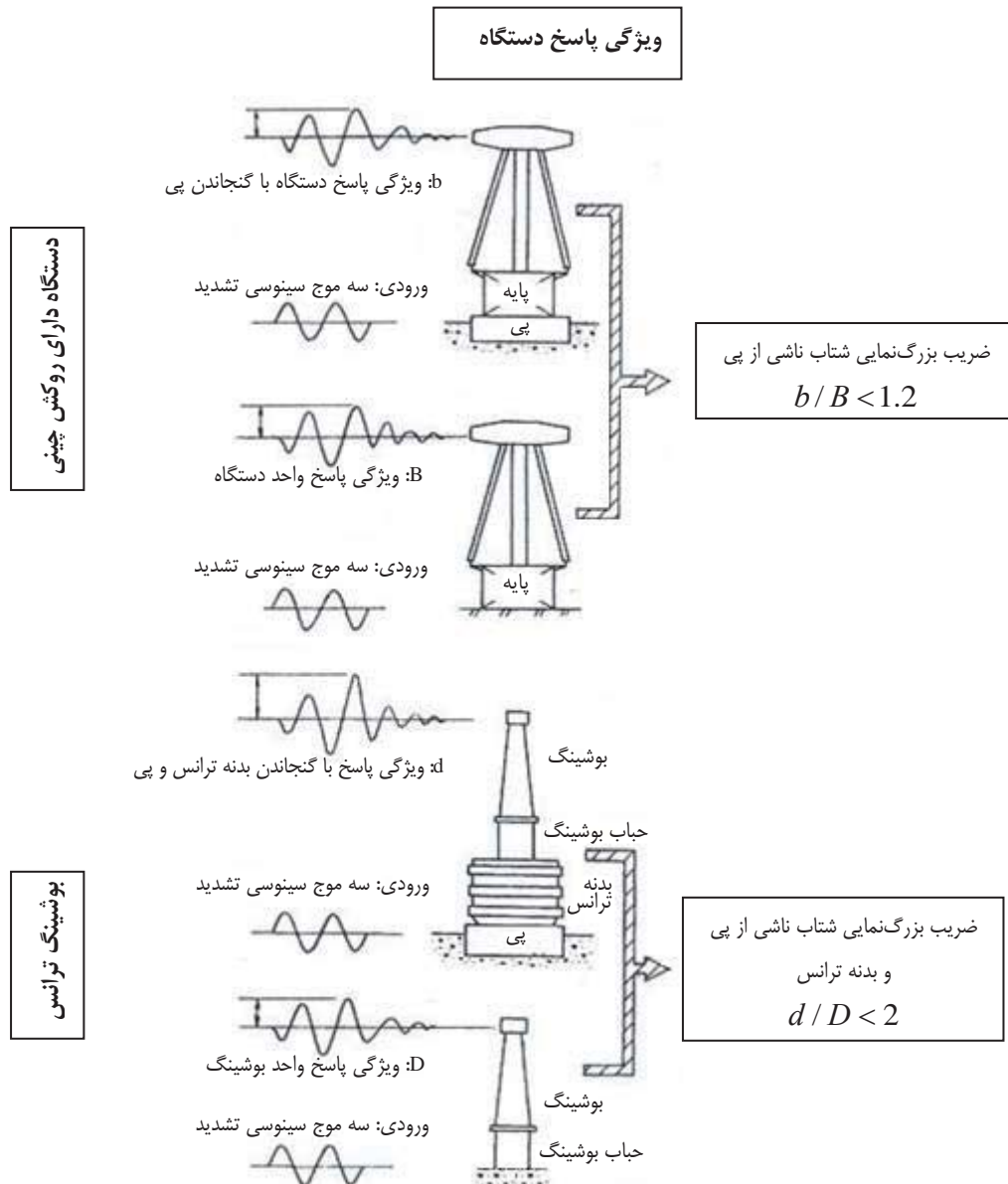
برای تجهیزات مقره‌ای که ضریب بزرگ‌نمایی با وجود پی از $1/2$ تجاوز می‌کند، لازم است از تحلیل اندرکنشی استفاده گردد.

برای باس آلومینیومی برای نسبت f_0/f_1 ، نسبت فرکانس طبیعی تجهیز، (f_1) به فرکانس طبیعی پی و زمین، f_0 ، برابر با $3/0$ یا کمتر، می‌توان نسبت بزرگ‌نمایی را با وجود پی برابر $1/2$ در نظر گرفت.

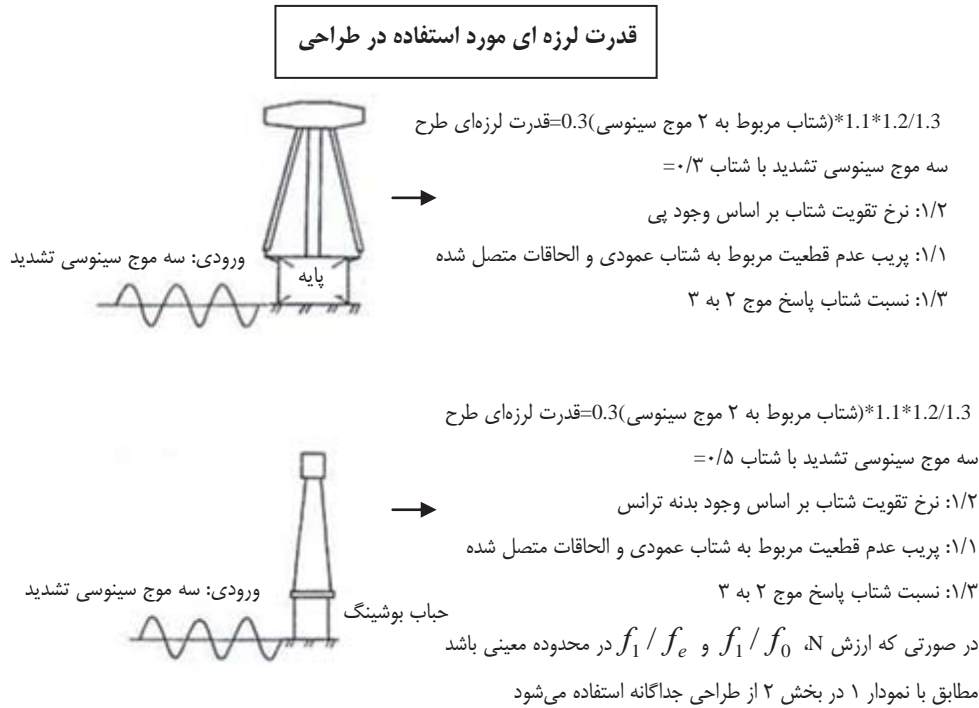
برای مقایسه میان ۲ موج و ۳ موج، نسبت تبدیل $1/3$ برای میرایی 5% استفاده می‌شود.



شکل ۱-۹ (الف) نیروی لرزه‌ای ورودی طرح



شکل ۱-۹ (ب) نیروی لرزه‌ای ورودی طرح



شکل ۱-۹ (ج) نیروی لرزه‌ای ورودی طرح

۳- شرایط طراحی بوشینگ ترانسفورماتور

نیروی طراحی لرزه‌ای برای بوشینگ ترانسفورماتور نیز در فوق (بند ۲) بیان گردیده است. مشخصات پاسخ بوشینگ در شکل ۱-۹ نشان داده شده است. تفاوت عمداتی که با تجهیزات مقراطی وجود دارد، این است که با توجه به وزن سنگین بدنه اصلی ترانسفورماتور که مایبن پی و سیستم بوشینگ قرار دارد (شامل پایه فلزی)، پاسخ بوشینگ ترانسفورماتور بوسیله مشخصه ضد ارتعاشی سیستم (زمین، پی و بدنه اصلی ترانسفورماتور) کنترل می‌گردد. بوشینگ به علت وزن سبک به سختی می‌تواند پاسخ سیستم ترانسفورماتور را تحت تاثیر قرار دهد. با آنالیز پاسخ مدل ۲ جرمی سیستم بوشینگ، خصوصیات پاسخ زیر روشن می‌شود.

۱-۳- پاسخ بوشینگ‌ها در اثر ورود ۲ موج سینوسی تشدید در تراز زمین، غالباً شدیدتر از پاسخ در اثر موج لرزه‌ای طبیعی بدون در نظر گرفتن فرکانس طبیعی سیستم بوشینگ می‌باشد.

۲-۳- اگر پاسخ انتهای بالایی ترانسفورماتور به موج سینوسی تشدید تبدیل شده باشد، تعداد موج معادل غالباً زیر ۲ موج بوده و تجربه‌ای مبنی بر بیش از ۳ موج موجود نمی‌باشد.

۳-۳- اگرچه پاسخ بوشینگ ناشی از سه موج سینوسی تشدید با حداکثر شتاب $0/5$ وارد شده به انتهای پایه فلزی بوشینگ، در اکثر موارد از پاسخ بوشینگ به موج لرزه‌ای واقعی با حداکثر شتاب $0/3$ ، در تراز زمین تجاوز می‌نماید، اما در محدوده‌ای که نسبت f_0 / f_1 حدود ۱ است، پاسخ ناشی از موج لرزه‌ای واقعی با حداکثر شتاب $0/3$ ، بعضی اوقات بزرگتر از پاسخ ناشی از موج سینوسی می‌گردد. در بوشینگ ۴۰۰ کیلو ولت و ۱۳۲ کیلو ولت، پاسخ بوشینگ ناشی از

سه موج لرزاها تشیدید با حداکثر شتاب $5/0$ وارد شده به قسمت پایینی پایه فلزی کمتر از پاسخ بوشینگ به موج لرزاها واقعی با حداکثر شتاب $3/0$ است.

-۴-۳ در بوشینگ 230 کیلو ولت هنگامی که f_1/f_0 در محدوده $1/2-1/8$ است، و f_e/f_1 در محدوده $5/1-5/0$ است، یک حالت تشیدید وجود دارد که پاسخ موج لرزاها واقعی ورودی با حداکثر شتاب $3/0$ سطح زمین از پاسخ سه موج سینوسی با حداکثر شتاب $5/0$ ورودی به قسمت پایینی پایه فلزی بوشینگ بزرگتر است.
برای $V_s = 270$ متر بر ثانیه یا بیشتر (معادل حدود 25 مقدار ارزش N از آزمایش نفوذ استاندارد) باشد، به استثناء حالت پی با سایز بزرگ، حدود 10 هرتز یا بیشتر میشود.

۴-۳-۹- طراحی لرزاها تجهیزات بوشینگ

۱- برای تجهیزات محوطه با روکش سرامیکی

اگر نسبت بزرگنمایی $2/1$ یا کمتر باشد، نیروی طراحی لرزاها استانداردی که در بالا ذکر شد، می‌تواند استفاده شود. کل سیستم (زمین، پی، و دستگاه) بایستی با دو موج تشیدید سینوسی با حداکثر شتاب $3/0$ در تراز زمین یا موج لرزاها واقعی در نظر گرفته شود.

۲- برای بوشینگ با شرایط زیر:

بوشینگ حدود 400 کیلو ولت در حالتی که مقدار $N = 10$ یا کمتر و بدون شمع باشد.

$$0.8 < f_1/f_0 < 1.2 \quad (1-9)$$

$$0.5 < f_1/f_e < 1.5 \quad (2-9)$$

بوشینگ حدود 230 کیلو ولت

$$6\text{Hz} < f_1 < 8\text{Hz} \quad (3-9)$$

$$N < 25 \quad (4-9)$$

$$0.8 < f_1/f_0 < 1.2 \quad (5-9)$$

$$0.5 < f_1/f_e < 1.5 \quad (6-9)$$

f_1 : فرکانس طبیعی سیستم بوشینگ

f_0 : فرکانس طبیعی زمین، پی و قاب اصلی ترانس

f_e : فرکانس غالب زمین لرזה

کل سیستم (زمین، پی، و بدنه ترانس، و سیستم بوشینگ) بایستی با دو موج تشیدید سینوسی با حداکثر شتاب $3/0$ در تراز زمین یا موج لرزاها واقعی در نظر گرفته شود.

-۳- برای باس آلومینومی، با نسبت $f_1/f_0 = 3/0$ یا بیشتر، کل سیستم (زمین، پی، و سیستم باس آلومینومی) بایستی با دو موج تشیدید سینوسی با حداکثر شتاب $3/0$ در تراز زمین یا موج لرزاها واقعی در نظر گرفته شود.

-۴- تجهیزات داخلی که بر روی طبقه دوم یا بالاتر قرار گرفته‌اند، نیاز به طراحی خاصی دارد. تحلیل پاسخ ساختمان پست

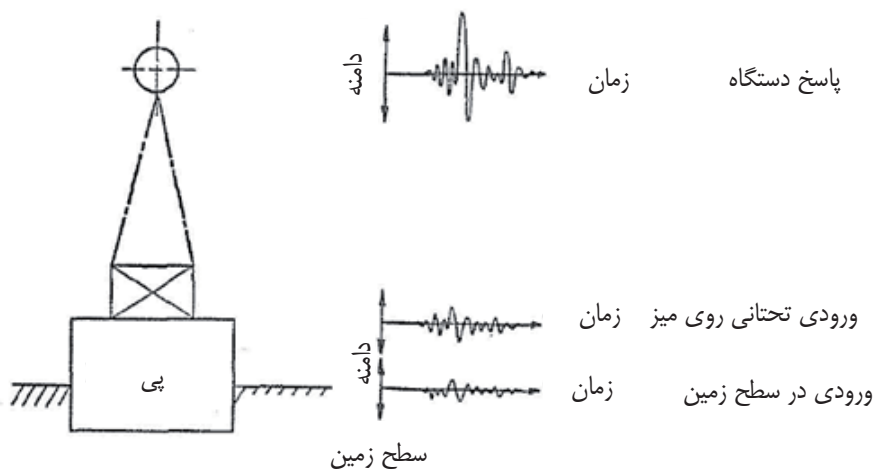
در چنین حالتی باید با استفاده از موج لرزه‌ای واقعی انجام و ورودی پاسخ هر طبقه به عنوان ورودی دستگاه در طبقه مربوطه استفاده شود.

۵-۳-۹- طراحی تجهیزات دیگر

- ۱- دستگاه منبع تغذیه پست، تابلوهای برق و مولدهای هوای فشرده نیازی به طراحی لرزه‌ای کابل قدرت، کابل کنترل و لوله تحت فشار نیست. در فاز طراحی و زمان اجرا باید به خطر ناشی از آسیب تجهیزات مجاور توجه کرد. برای کنترل این مسئله از روش استاتیکی استفاده می‌شود.
- ۲- دستگاه منبع تغذیه پست باید برای شتاب افقی استاتیکی $1/5$ (طبقه اول یا پایین‌تر) طراحی شود. صفحه سوئیچ‌ها باید با شتاب افقی استاتیکی $1/5$ (طبقه سوم یا پایین‌تر) طراحی گردد. مولد هوای فشرده باید با شتاب افقی استاتیکی $1/5$ (طبقه اول یا پایین‌تر) طراحی گردد.

۶-۳-۹- مشخصه‌های پاسخ لرزه‌ای تجهیزات

- در طراحی لرزه‌ای تجهیزات، نیروی لرزه‌ای در ارتفاع تجهیزات با در نظر گرفتن بزرگنمایی ناشی از اثر پی و پایه اعمال می‌گردد.
- ۱- مشخصه‌های پاسخ لرزه‌ای تجهیزات مقره‌ای بیرونی برای درک رفتار تجهیزات لازم است تا اثر پی و زمین مجاور تجهیز را نیز در نظر گرفت. به منظور ساده‌سازی مراحل کنترل، لازم است برای لرزه ورودی در انتهای پائین پایه، بزرگنمایی ناشی از پی را به لرزه ورودی در سطح زمین اعمال نمود.



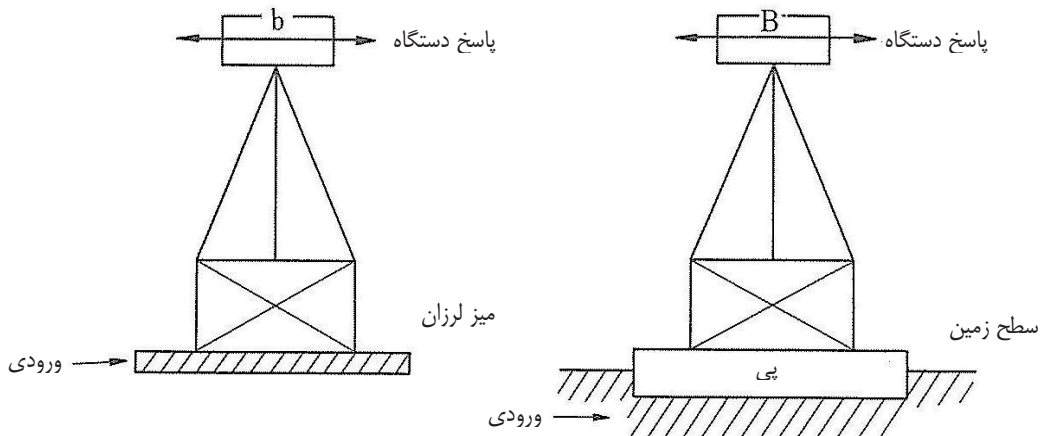
شکل ۲-۹ مشخصات پاسخ مقره

ضریب بزرگنمایی با وجود پی به عنوان شاخص بزرگنمایی تاثیر پی به صورت زیر تعریف می‌شود. این موضوع در شکل (۳-۹) نشان داده شده است.

$$\frac{\text{ضریب بزرگنمایی}}{\text{به علت وجود پی}} = \frac{\text{پاسخ تجهیزات هنگامی که موج ورودی در سطح زمین وارد می‌شود.}(\text{پاسخ در حالت اسباب در محل نصب شده است})}{\text{پاسخ تجهیزات هنگامی که موج ورودی در سطح تراز پایین تجهیز وارد می‌شود.}(\text{پاسخ در حالت آزمایش تحریک‌پذیر تجهیزات})} = \frac{B}{b}$$

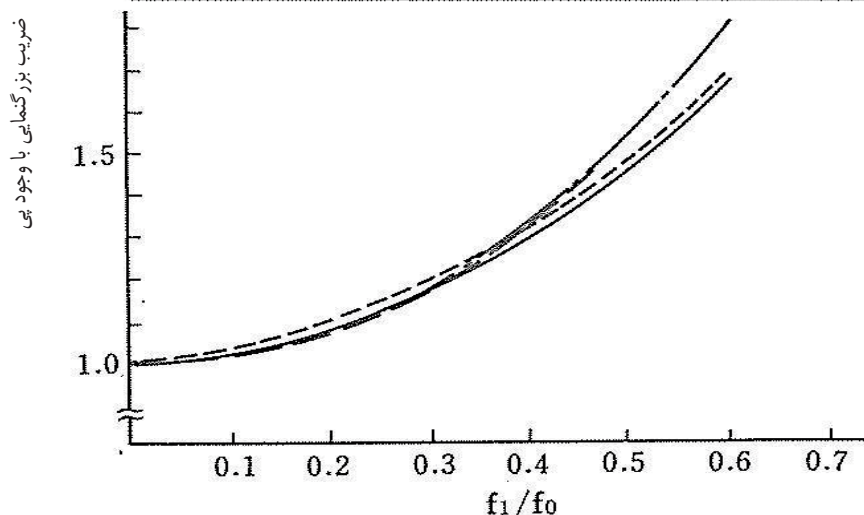
"ضریب بزرگنمایی با وجود پی" به نسبت f_1/f_0 بستگی دارد.

مطابق شکل (۴-۹)، هرچه f_1/f_0 به یک نزدیکتر می‌شود، ضریب بزرگنمایی بزرگ‌تر می‌شود.



شکل ۳-۹ ضریب بزرگنمایی با وجود پی

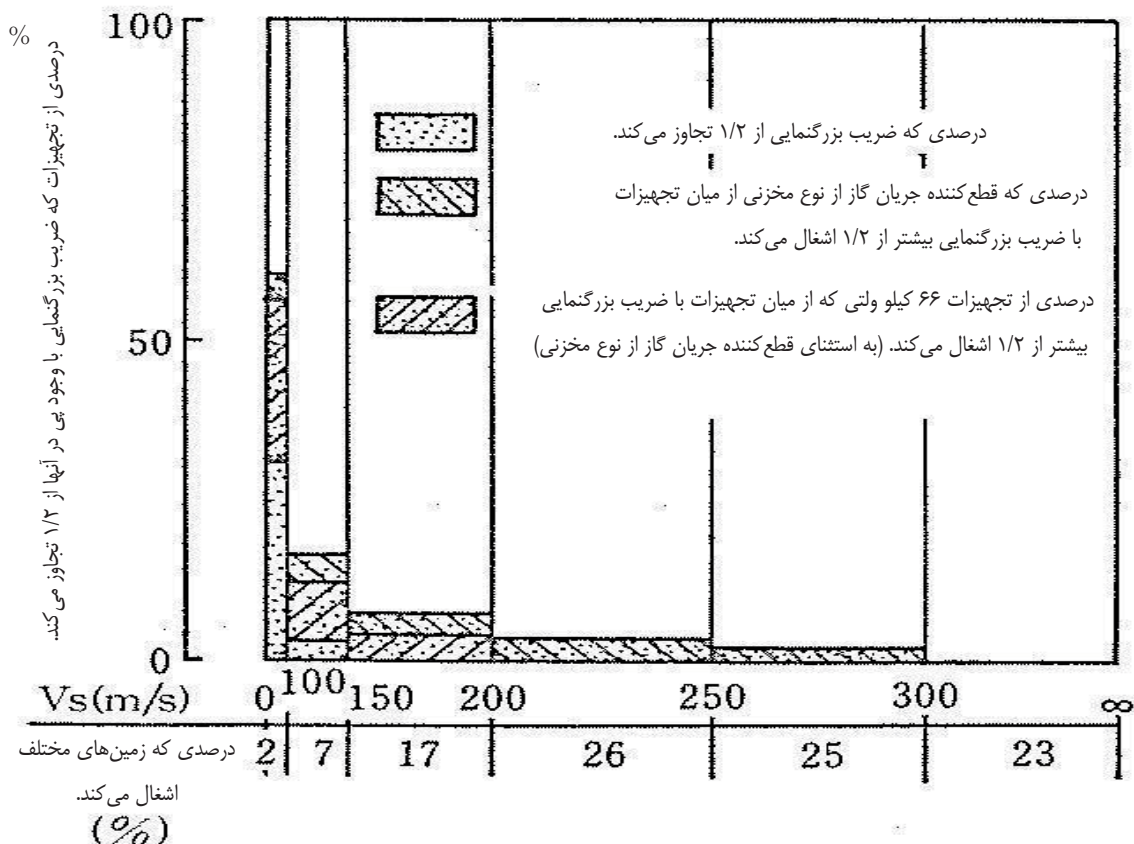
		5 %	$y = 1.85 (f_1/f_0)^{2.002} + 1$
—	—	5 %	$y = 2.74 (f_1/f_0)^{2.37} + 1$
---	---	15 %	$y = 1.70 (f_1/f_0)^{1.79} + 1$
- - -	- - -	15 %	$y = 2.50 (f_1/f_0)^{2.19} + 1$



شکل ۹ رابطه میان ضریب بزرگنمایی با وجود پی و نسبت f_1/f_0

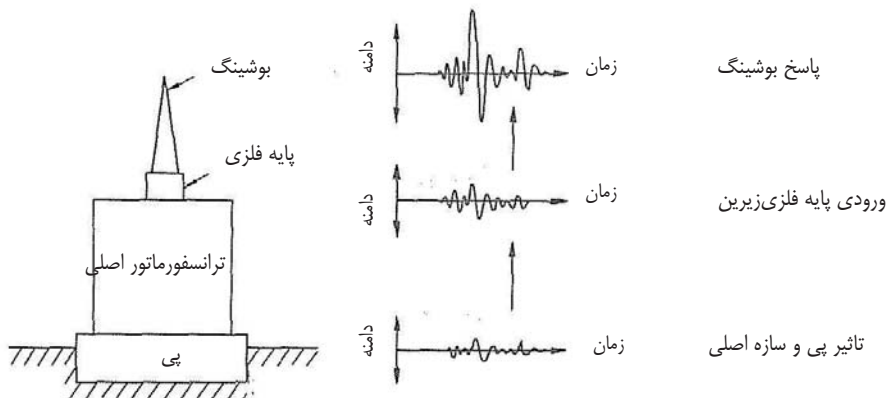
علاوه بر این، f_0 به سختی زمین که با استفاده از سرعت موج برشی V_S لایه سطحی زمین بدست می‌آید، بستگی دارد. وقتی V_S زیاد شود، f_0 نیز افزایش می‌یابد. در نتیجه ضریب بزرگنمایی کاهش می‌یابد.

نتیجه بررسی انجام شده برای "ضریب بزرگنمایی با وجود پی" برای زمین، پی و فرکانس طبیعی تجهیز مقره‌ای تیپ‌های مختلف متعلق به شرکت‌های سازنده مختلف در شکل (۵-۹) نشان داده شده است. برای بیشتر تجهیزات مقره‌ای "ضریب بزرگنمایی با وجود پی" در زمین با $V_s \geq 150$ متر بر ثانیه برابر $1/2$ یا کمتر است.



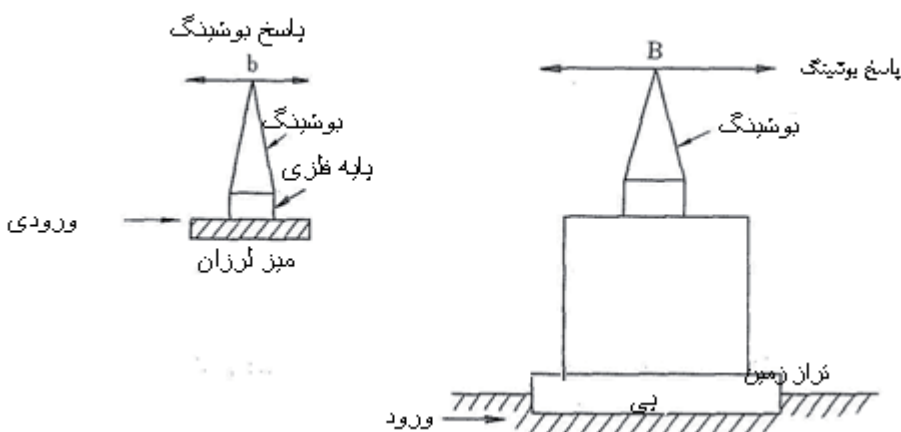
شکل ۵-۹ درصد حالت‌هایی که ضریب بزرگنمایی با وجود پی که از $1/2$ فراتر می‌رود

۲- مشخصه‌های پاسخ لرزه‌ای بوشینگ ترانس بیرونی
بوشینگ ترانس رفتاری مشابه تجهیزات مقره‌ای مطابق شکل (۶-۹) از خود نشان می‌دهد. در چنین مواردی پدیده بلندشدگی باید در نظر گرفته شود بطوری که اثر زمین، پی، بدنه اصلی و غیره ملاحظه می‌گردد. ورودی اصلاح شده تراز زمین، در پائین پایه فلزی بوشینگ در نظر گرفته می‌شود. ممکن است مقدار بزرگنمایی را با وجود تأثیر پی و بدنه بوسیله ضریب بزرگنمایی (شکل ۷-۹) نشان داد.



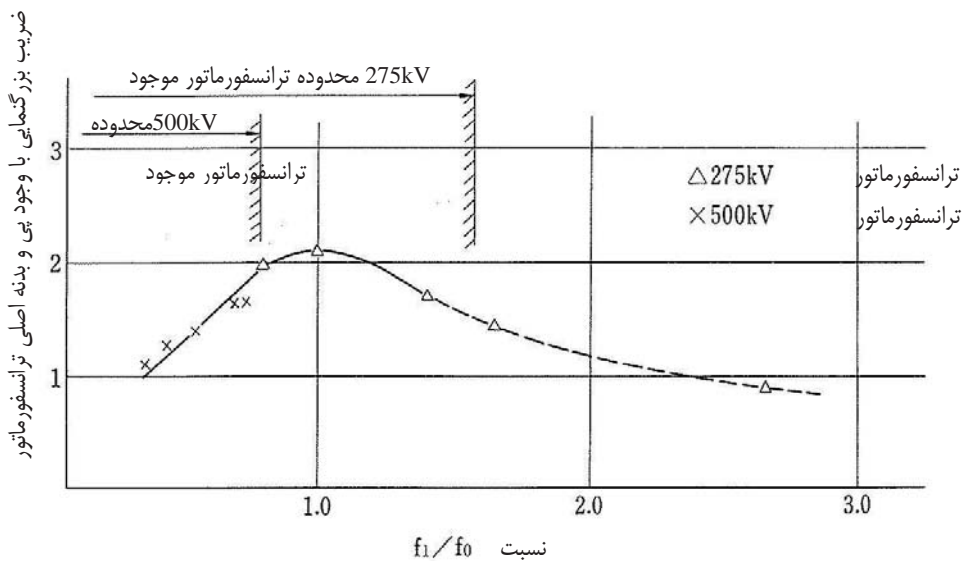
شکل ۶-۹ مشخصه پاسخ بوشینگ ترانس

$$\frac{\text{ضریب تقویت با وجود پایه}}{\text{پاسخ بوشینگ هنگامی که ورودی در سطح است. (پاسخ در حالتی از نصب در محل ترانسفورماتور)}} = \frac{\text{پاسخ بوشینگ هنگامی که ورودی در تراز پایین پایه فلزی است. (پاسخ در وضعیت آزمایش تحریک‌پذیری بوشینگ)}}{\text{و بدنه ترانس}} = \frac{B}{b}$$



شکل ۷-۹ ضریب بزرگنمایی با وجود پی و بدنه اصلی ترانس

- ۱-۱- مانند تجهیز مقره‌ای "ضریب بزرگنمایی با وجود پی و بدنه اصلی ترانسفورماتور" به نسبت f_0/f_1 بستگی دارد.
- ۱-۲- همانطور که در شکل (۸-۹) نشان داده شده است، بدليل اینکه احتمال دارد f_0/f_1 به یک نزدیک شود، ضریب به طور قابل ملاحظه‌ای بیشتر شده و با تجهیز مقره‌ای متفاوت می‌گردد.
- ۲-۳- ضریب بزرگنمایی می‌تواند بر اثر تغییر شکل پی کاهش یابد (به عنوان مثال با بیشتر کردن عرض پی).
- ۲-۴- بنابراین اگر ملاحظات مربوط به بزرگتر شدن تفاوت مابین f_1 و f_0 یا انتخاب صحیح شکل پی صورت گرفته باشد، ضریب بزرگنمایی با وجود پی و بدنه ترانس در حدود ۲ درصد می‌شود.



شکل ۸-۹ ضریب بزرگنمایی با وجود پی و بدنه ترانس

۳- مشخصه پاسخ تجهیز مقره‌ای و بوشینگ ترانس داخل ساختمان

اگرچه برای پاسخ تجهیز مقره‌ای درونی و بوشینگ ترانس برخلاف نوع بیرونی، به جای پی فقط تأثیر ساختمان بررسی می‌شود، ولی نیاز به مطالعه پاسخ هر ساختمان به طور جداگانه وجود دارد.

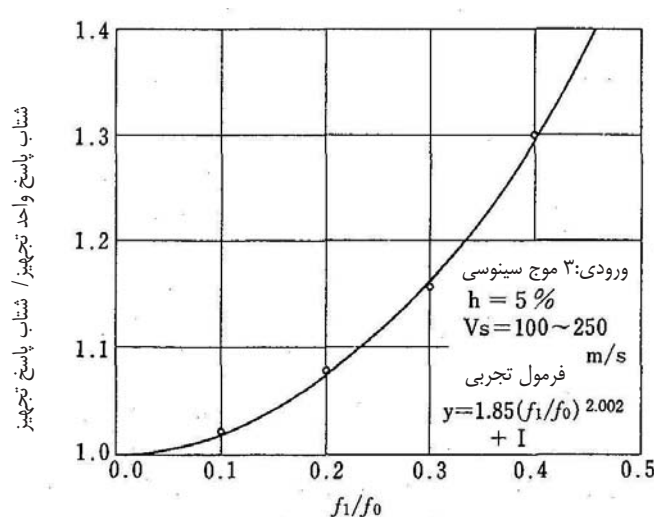
در صورتی که این تجهیزات در زیرزمین یا طبقه اول نصب شود، می‌توان با آن مانند نوع بیرونی برخورد کرد.

۴- مشخصه‌های پاسخ لرزه‌ای باس آلومینیومی

اسکلت فلزی، مقره، و باس آلومینیومی تعداد زیادی نقاط تشدید بین ۲ تا ۷ هرتز داشته و احتمال تشدید در آنها زیاد است.

مقدار بزرگنمایی با در نظر گرفتن اثرات خاک و پی برای تجهیزات ۴۰۰ کیلو ولت برابر $1/2$ می‌باشد.

حدوده‌ای از f_1 / f_0 که در آن می‌توان از این مقادیر استفاده کرد، مطابق شکل (۹-۹)، $0/3$ یا کمتر می‌باشد.

شکل ۹-۹ رابطه میان ضریب بزرگنمایی و نسبت f_1 / f_0

۴-۹- روند طراحی کابل‌ها

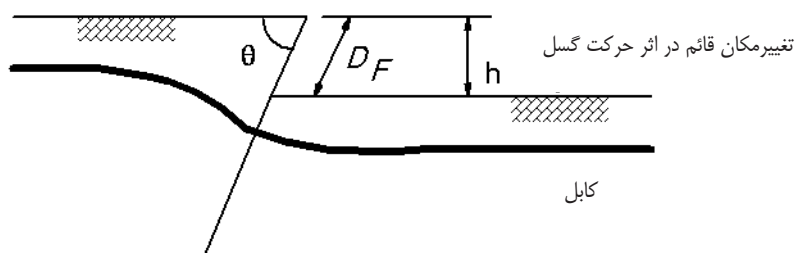
- ۱- برای طراحی لرزه‌ای سیم یا کابل هوایی باید از روش تعیین شده در بخش ۲-۳-۱۰ استفاده شود.
- ۲- طراحی لرزه‌ای کابل‌های مدفعون بایستی بر اساس کرنش زمین یا تغییر مکان لوله انجام شود.

۴-۹-۱- مدهای آسیب کابل‌های برق

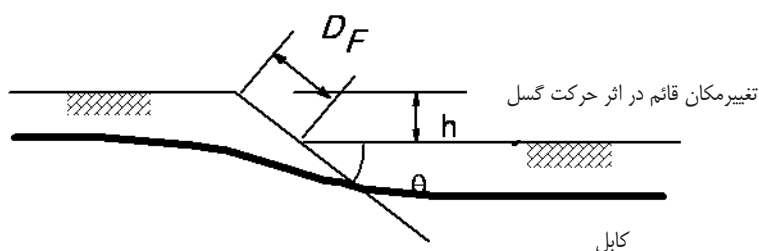
بایستی مدهای آسیب کابل‌های مدفعون تحت اثر انتشار موج و مخاطرات ژئوتکنیکی (گسلش، روانگرایی و زمین لغزه) در طراحی و اجرا در نظر گرفته شود.

کابل‌های واقع در مجاري متصل به آدمرو و ساختمان‌ها از لحاظ ایمنی در مقابل زلزله باید کنترل گردد.

در هنگام زلزله، کابل‌های مدفعون نصب شده در مجاري دامنه ارتعاشی کوچکتری نسبت به ارتعاش زمین دارند. لغزش بین ماجرا و کابل، باعث می‌شود حتی در لرزه‌های قوی، کابل‌های برق در محدوده ارجاعی باقی بمانند. بنابراین انتشار امواج لرزه‌ای تأثیر قابل ملاحظه‌ای بر کابل‌ها نداشته و دارای مد آسیب مهمی نمی‌باشد. مخاطرات ژئوتکنیکی یا همان تعییر شکل‌های ماندگار زمین از قبیل گسلش، روانگرایی، زمین لغزه و نشست ناهمگن در کابل‌ها تعییر شکل‌های بحرانی ایجاد می‌کنند. کابل‌ها در اثر تنفس بیش از حد، ناشی از حرکت معکوس گسل نسبت به راستای کابل (در تقاطع با گسلهای راستا لغز) یا گسل فشاری دچار خرابی (Z شکل) می‌شود (شکل ۱۰-۹). همانطور که در شکل (۱۱-۹) نشان داده شده است، حرکت گسل در راستای کابل (در تقاطع با گسلهای راستا لغز) یا گسل نرمال باعث بیرون آمدن کابل‌ها و مد آسیب و پارگی کششی می‌شود. در نواحی روانگرایی شکل بزرگ زمین باعث تعییر شکل کابل در جهت طولی و عرضی می‌شود.

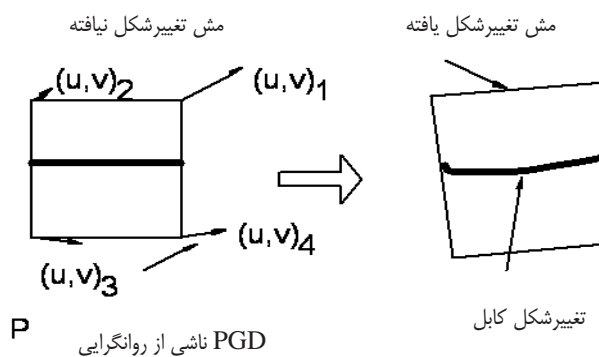


شکل ۱۰-۹ تغییر شکل کابل در محل تقاطع با گسل فشاری (معکوس)

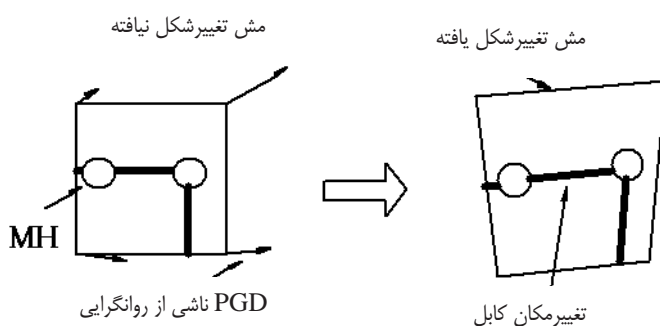


شکل ۱۱-۹ شکل کابل در محل تقاطع با گسل نرمال

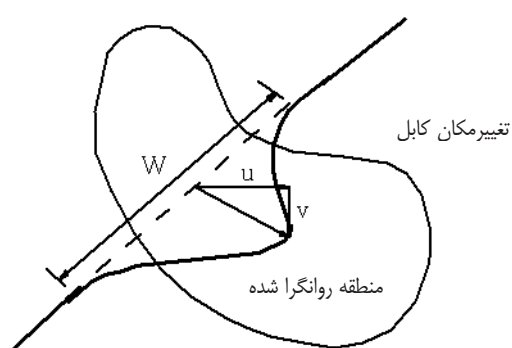
در شکل (۱۲-۹) نمونه‌ای از برش طولی کابل مدفون مستقیم نشان داده است. شکل (۱۳-۹) نمونه دیگری که دو آدمرو در اثر تغییر شکل زمین حرکت کرده و باعث کشش در کابل شده را نشان میدهد. زمین لغزه باعث ایجاد تغییر شکل زیاد در زمین و بیرون زدن کابل از آن می‌گردد. در کابل‌های هوایی اغلب شکم‌دادگی زیادی در پروفیل طولی آنها رخ می‌دهد. در شکل (۱۴-۹) نمونه‌ای از لغزش زمین و کابل تغییر شکل یافته نشان داده است.



شکل ۱۲-۹ تغییر شکل کابل در اثر روانگرایی



شکل ۱۳-۹ مکان کابل متصل به دو آدمرو در اثر روانگرایی



شکل ۱۴-۹ تغییر مکان کابل در اثر زمین لغزه

۲-۴-۹- روند طراحی کابل‌های مدفون

۱-۴-۹- تغییر شکل زمین

اگر سختی خمشی کابل کم باشد، آسیب‌دیدگی بیشتر زمانی روی می‌دهد که ازدیاد طول ΔL از حد بحرانی تجاوز کند.

۱- ازدیاد طول (بهره‌برداری)

ازدیاد طول ΔL کابل از رابطه (۷-۹) قابل محاسبه می‌باشد:

$$\Delta L = \int_0^{L_{ic}} \sqrt{1 + \left(\frac{df}{dx} \right)^2} dx - L_{ic} \quad (7-9)$$

(x): تابع پروفیل در طول کابل

L_{ic} : طول اولیه کابل

کرنش کابل ϵ_{cable} از رابطه (۸-۹) محاسبه می‌شود.

$$\epsilon_{cable} = \frac{\Delta L}{L_{ic}} \quad (8-9)$$

۲- انتشار موج

کرنش ناشی از انتشار موج در زمین بیش از کرنش کابل بوده و معیار خوبی برای تعیین حداقل کرنش کابل می‌باشد.

کرنش کابل تقریباً برابر با کرنش زمین ϵ_G به صورت رابطه (۹-۹) در نظر گرفته می‌شود:

$$\epsilon_{cable} \approx \epsilon_G \quad (9-9)$$

۳- تقاطع گسل

کرنش کابل در محل عبور گسل از رابطه (۱۰-۹) محاسبه می‌گردد:

$$\epsilon_F = \frac{d}{L} \quad (10-9)$$

d: جابجایی گسل از رابطه (۱۱-۹)

L: طول موثر کابل از رابطه (۱۲-۹)

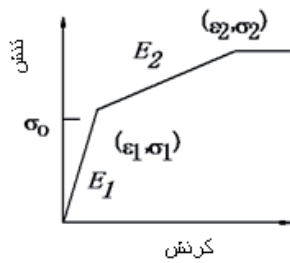
$$d = \frac{h}{2 \sin\left(\frac{\theta}{2}\right)} \quad (11-9)$$

$$L = \sqrt{\frac{2E_2 d}{q} + \left(\frac{\sigma_1 - \sigma_o}{q} \right)^2} - \frac{\sigma_1 - \sigma_o}{q} \quad (12-9)$$

q: مقاومت لغزشی در واحد طول

h, θ : تعریف شده در شکل‌های (۱۰-۹)، (۱۱-۹)، (۱۵-۹) و (۱۶-۹).

E_2 و σ_2 و σ_1 : تنش‌های بحرانی و مدول ثانویه تعریف شده در شکل (۱۵-۹)

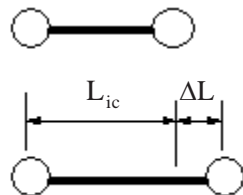


شکل ۱۵-۹ منحنی تنش-کرنش یک المان کابل

۴- روانگرایی

حداکثر کرنش کابل در زمین روانگرا، برابر کرنش محوری زمین در نظر گرفته می‌شود: در صورت جابجایی سازه‌هایی که کابل به آنها متصل است، کابل‌ها در کشش یا فشار قرار می‌گیرند. کرنش تقریبی کابل با استفاده از جابجایی دو سازه در شکل (۱۶-۹) نشان داده است.

$$\varepsilon_{L1} = \frac{\Delta L}{L_{ic}} \quad (13-9)$$



شکل ۱۶-۹ افزایش طول کابل بین دو سازه

۵- زمین لغزه

کرنش کابل در اثر زمین لغزه از رابطه (۱۴-۹) به دست می‌آید:

$$\varepsilon_{LS} = \frac{\Delta L}{L_{ic}} \quad (14-9)$$

۲-۲-۴-۹- اتصال به سازه‌ها

۱- مجراء

در صورتی که کابل در مجراء رفتاری ارتجاعی از خود نشان دهد، کرنش حداکثر به صورت رابطه (۱۵-۹) محاسبه می‌گردد:

$$\varepsilon_D = \frac{D}{2EI} \left(\frac{7}{12} q_w L_{ic2}^2 + \frac{2}{3} C_1 L_{ic2} \right) \quad (15-9)$$

که در آینجا D ، q_w و L_{ic2} به ترتیب قطر کابل، وزن واحد کابل و طول موثر افقی می‌باشد.

$$C_1 = \frac{q(L_{ic2}^3 - L_{ic1}^3 + 2L_{ic2}L_{ic1}^2) + \frac{12hEI}{L_{ic1}}}{2(L_{ic1}^2 + L_{ic2}^2)} \quad (16-9)$$

که در اینجا L_{ic1} و EI به ترتیب تعییر مکان قائم گسل، طول افقی و صلبيت خمیزی یک کابل می‌باشد.

-آدمرو و ساختمان

کرنش حداکثر با استفاده از رابطه (17-9) محاسبه می‌گردد.

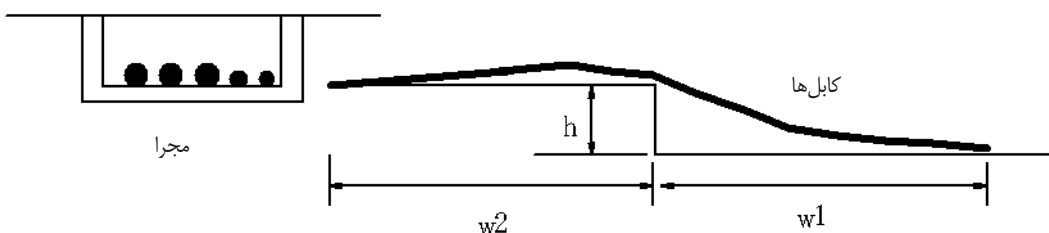
$$\varepsilon_{MH} = \frac{\sqrt{L_{ic}^2 + h^2} - L_{ic}}{W} \quad (17-9)$$

$$L_{ic} = \frac{2\pi}{\beta}, \beta = \sqrt[4]{\frac{K}{4EI}} \quad (18-9)$$

EI و K به ترتیب مدول فنریت بین خاک و کابل و صلبيت خمیزی کابل‌ها می‌باشد.

- مجرا

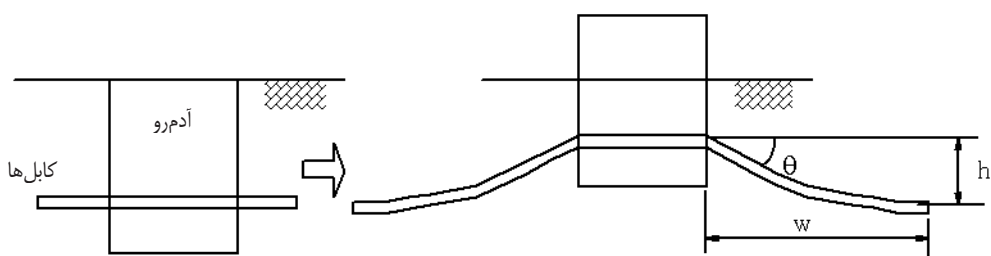
در صورت وقوع نشست ناهمگن زمین، کابل برق موجود در مجرا به صورت شکل (17-9) تعییر شکل می‌دهد.



شکل ۱۷-۹ تعییر شکل کابل در اثر نشست ناهمگن مجرا

- آدمرو

مطابق شکل (18-9)، کابل‌های برق از طریق یک جعبه سوراخ دار که جزوی از آدمرو می‌باشد، نصب می‌گردد. در صورت بالازدن یا دوران آدمرو در اثر فشار برکنش، کابل‌های برق به بیرون کشیده می‌شود. در اثر بیشتر شدن زاویه انحراف از مقدار بحرانی، این امر باعث پاره شدن کابل می‌گردد.



(ب) حالت عادی

(الف) بالازدگی آدمرو در اثر روانگرایی

شکل ۱۸-۹ تعییر مکان کابل در اثر نشست مجرا

۳- ساختمان

مدهای آسیب در کابل‌های برق متصل به ساختمان مشابه آدمرو می‌باشد.

۵-۹- خصوصیات مجاز مصالح

- ۱- مقادیر تعیین شده در فصل ۴ این راهنما بایستی برای خواص مصالح و تنش مجاز استفاده گردد.
- ۲- در صورت نیاز از مقادیر مجاز در مبحث مربوطه در مقررات ملی ساختمان ایران و یا هر آئین نامه معتبر مربوطه دیگر می‌توان استفاده نمود.
- ۳- مشخصات شکست مصالح بوشینگ تولید شده در شرکت‌های مختلف، متفاوت می‌باشد.
- ۴- بطور عمدت تنش مجاز در بوشینگ معمولی 20 N/mm^2 و در بوشینگ با مقاومت بالا 40 N/mm^2 می‌باشد.
- ۵- مشخصات مجاز کابلها توسط سازندگان و یا از طریق آزمایشات استاندارد تعیین می‌گردد.

۱۰. فصل

طراحی لردهای و کنترل ایمنی

خطوط انتقال و توزیع

۱-۱۰- تجهیزات مورد نظر

در این فصل طراحی لرزاها موارد زیر، ارائه شده است:

۱- دکل‌های فولادی خطوط انتقال

۲- پایه‌ها یا تیرهای برق در شبکه توزیع از جنس بتن و فولاد.

۳- سیم‌ها یا کابل‌های برق

موارد لازم در طراحی لرزاها اتصال ترانس‌های هوایی در شبکه توزیع روی پایه‌های برق نیز اشاره شده است.

۱-۲-۱- بارگذاری و طراحی لرزاها

۱-۲-۱- دکل انتقال

۱- دکل‌ها بطور عمده فولادی بوده و با روش شیوه استاتیکی و با محاسبه نیروی اینرسی لرزاها بارگذاری می‌شوند.

۲- برای بارگذاری تجهیزات روی دکل‌ها از ضریب زلزله طبقه استفاده می‌شود.

۳- برای تحلیل لرزاها پی مدفون دکل نیز، روش پاسخ تغییرمکان باید بکار برده شود.

۴- در صورتی که جزئیات بیشتری از رفتار لرزاها سازه با توجه به عوارض خاص جغرافیایی، شرایط ساختگاه و نوع سازه مورد نیاز باشد، از روش دینامیکی استفاده می‌شود.

۵- بارهای باد و زلزله به هنگام طراحی با یکدیگر مقایسه و اثر هر کدام که بیشتر باشد، لحاظ می‌گردد.

۶- دکل‌های طراحی شده برای نیروی باد به استثنای اثر ناپایداری خاک، در زلزله نیز جوابگو خواهند بود.

۷- بعلت اینکه صلبیت دکل بسیار کمتر از پی آن است، ازین‌رو فرقی بین مدل تحلیلی دکل با پایه‌های گیردار و مدل تحلیلی با شرایط واقعی (پی، دکل و زمین) برای پریود طبیعی و مد ارتعاش وجود ندارد.

۸- پاسخ مجازی دکل و پی، تفاوتی با پاسخ دکل و پی در سیستم دکل- پی- زمین ندارد.

۹- مشخصات ارتعاش در جهت عمود بر خط انتقال در اثر ارتعاش اجزایی از قبیل رشتہ سیم‌ها و مقره‌ها متغیر می‌باشد.

۱۰- مؤلفه قائم زلزله

- حداکثر شتاب قائم در سطح زمین در حدود نصف حداکثر شتاب افقی می‌باشد و حداکثر آنها همزمان رخ نمی‌دهند.

- اثر زلزله قائم بر پاسخ دکل را می‌توان نادیده گرفت ولی اثر زلزله قائم بر پاسخ بازو را نمی‌توان نادیده گرفت.

- در طراحی لرزاها بازو، نصف ضریب زلزله افقی به عنوان ضریب زلزله قائم در نظر گرفته می‌شود.

۱-۲-۲- پایه‌ها

۱- در طراحی باید توجه خاصی به شرایط زمین، جغرافیا و برنامه‌ریزی شهری مبذول شود.

۲- سیستم سازه هوایی در معرض بارهای ناشی از باد، برف، تغییردما و زلزله قرار دارد.

۳- بار باد واردہ بر کابل بر مقاومت تیر برق و باربری خاک شالوده، اثر می‌گذارد.

۴- نیروی کششی موازی وارد بر کابل باعث بوجود آمدن نیروی کششی در سیم‌های تکیه‌گاهی متصل به تیر برق می‌شود.

۵- بار ثقلی مرده تیر برق، وزن قطعات جاگذاری فلزی، وزن کابل و مؤلفه قائم سیم تکیه‌گاهی، همواره وارد می‌شود.

۶- نیروی باد معمولاً از نیروی زلزله بیشتر می‌باشد.

۷- نیروی ناشی از زمین لرزه به عنوان نیروی ثانویه در نظر گرفته می‌شود.

۸- بارگذاری لرزه‌ای با روش شبه استاتیکی صورت می‌گیرد.

۳-۲-۱۰- ترانس هوایی

طراحی سه مؤلفه ذیل در سازه‌های هوایی باید انجام شود:

۱- طراحی سیم آویز و سیم تکیه‌گاه

۲- طراحی پایه

۳- طراحی رشته سیم

برای اتصال ترانس به پایه برق سه روش اتصال مستقیم، اتصال با آویز و اتصال با صفحه نشیمن وجود دارد.

اتصال ترانس به پایه باید به قدری محکم باشد تا در اثر برخورد وسایل نقلیه و یا وقوع زلزله از پایه جدا نگردد.

کنترل ایمنی ترانس هوایی بایستی بر اساس تجربه یا با توجه به روش محاسبه مناسب با احتساب ضریب بزرگنمایی شتاب در ارتفاع ترانس انجام شود. طراحی ترانس با روش شبه استاتیکی می‌تواند انجام شود.

۳-۱۰- محاسبات طراحی لرزه‌ای

۱-۳-۱۰- دکل‌ها

۱- تعیین نوع و اندازه سازه

نوع و اندازه اولیه سازه بر اساس بار باد طراحی شده و برای زلزله کنترل می‌گردد.

دکل یا پی طراحی شده برای بار باد در صورتی که شرایط زمین مناسب باشد، در هنگام زلزله ایمن می‌باشد.

۲- انتخاب روش محاسبه لرزه‌ای

۱-۱-۲- اثر زلزله بر دکل و پی واقع بر تراز روی زمین با نیروی اینرسی بررسی می‌گردد.

۲-۲- در پی مدفن، تغییرمکان زمین به دست آمده از روش پاسخ تغییرمکان، به عنوان بار لرزه‌ای اعمال می‌گردد.

۳-۳- در صورت عدم کفايت روش‌های فوق یا نیاز به جزئیات بیشتر از رفتار لرزه‌ای، باید از روش دینامیکی استفاده نمود.

۳- کنترل ایمنی

ایمنی دکل با استفاده از نتایج روش‌های مختلف محاسباتی با فرضیات و شرایط متفاوت، بررسی می‌گردد.

برای طراحی لرزه‌ای دکل‌ها در ادامه از منحنی‌های استفاده می‌گردد که این منحنی‌ها با استفاده از مطالعات پارامتریک و از روش طیف پاسخ، برای سیستم دکل، مقره و رشته سیم‌ها با در نظر گرفتن اثرات دکل مجاور و با تغییر در نوع و ارتفاع دکل، زاویه افقی، قائم و دهانه خط انتقال، تهیه شده‌اند.

برای این منظور در طراحی استاتیکی دکل باید در محدوده مقادیر جدول (۱-۱۰) باشد.

جدول ۱-۱۰ محدوده مطالعه پارامتریک

ارتفاع دکل	۱۰۰ m ~ ۱۷۰ m
زاویه افقی	۰° ~ ۶۰°
زاویه قائم	-۳۰° ~ ۳۰°
طول دهانه	۳۰۰ m ~ ۸۰۰ m
تعداد خطوط	۲ خط

۱-۱-۳-۱۰- محاسبه پریود طبیعی دکل

پریود طبیعی برای طراحی دکل با استفاده از رابطه‌های (۱-۱۰) و (۲-۱۰) محاسبه می‌گردد.

$$T_0 = 1.23X^{0.29} \quad (1-10)$$

$$T_0 = 1.14X^{0.29} \quad (2-10)$$

: پریود طبیعی T_0 (sec)

: از رابطه (۳-۱۰) به دست می‌آید. (sec)

$$X = \sqrt{\frac{(W_T + W_C)H^2}{g \cdot E \cdot I_B}} \quad (3-10)$$

: وزن دکل (t) W_T

: وزن مؤثر رشته سیم‌ها (جدول (۲-۱۰)) (t) W_C

: ارتفاع دکل (m) H

: شتاب گرانش (m/s^2) g

: مدول الاستیسیته اعضا دکل (t/m^2) E

: صلبیت خمی دکل در محل اعمال لنگر (معادل با لنگر اینرسی دوم سطح مقطع) (m^4) I_B

جدول ۱۰-۲ وزن مؤثر رشته سیم‌ها

نوع مقره	جهت زلزله ورودی	وزن مؤثر(نسبت به وزن کل)
نوع آویز	راستای خط	% ۰
	عمود بر راستای خط	% ۰
	راستای قائم	% ۵۰
نوع کششی	راستای خط	% ۵۰
	عمود بر راستای خط	% ۰
	راستای قائم	% ۵۰

برای محاسبه وزن دکل و رشته سیم‌ها، وزن بدنه دکل، بازو، رشته سیم و غیره باید در نظر گرفته شود.

۱۰-۳-۱-۲- نیروی برشی و لنگر خمی در ترازهای مختلف دکل

۱- نیروی برشی و لنگر خمی طبقه باید از روابط ۴-۱۰ و ۹-۱۰ در دو راستای موازی و عمود بر راستای خط، محاسبه گردد.

$$Q_i = C_{Si} \cdot W_i \quad (4-10)$$

$$M_i = C_{Mi} \cdot W_i \cdot H_i \quad (5-10)$$

Q_i : نیروی برشی در تراز h_{bi} از پی دکل (t)

M_i : لنگر خمی در تراز h_{bi} از پی دکل (t - m)

H_i : فاصله از ارتفاع h_{bi} تا مرکز ثقل قسمت بالای ارتفاع (m) h_{bi}

(C_{Mi}) C_{Si} : ضریب برش در تراز h_{bi} از پی دکل (ضریب لنگر در تراز h_{bi})

$$W_i = \sum_{j=1}^i W_j \quad (6-10)$$

W_i : وزن دکل از تراز h_{bi} تا قسمت فوقانی (t)

$$H_i = \sum_{j=1}^i W_j (h_{bj} - h_{bi}) / W_i \quad (7-10)$$

h_{bj} : ارتفاع پانل ز از پی دکل (m)

$$W_j : \text{وزن پانل } j \quad (t)$$

در این حالت ضرایب برش و لنگر خمی با استفاده از رابطه‌های (۸-۱۰) و (۹-۱۰) محاسبه می‌گردد.

$$C_{Si} = R_S \cdot A_{Si} \cdot K_H \quad (8-10)$$

$$C_{Mi} = R_M \cdot A_{Mi} \cdot K_H \quad (9-10)$$

(R_M) R_S : ضریب مشخصه پاسخ مربوط به ضریب برش (مربوط به ضریب لنگر خمی) که در بند زیر توضیح داده شده است.

(A_{Mi}) A_{Si} : ضریب توزیع مربوط به ضریب برش (مربوط به ضریب لنگر خمی) بدنه دکل، که متعاقباً توضیح داده

خواهد شد.

K_H : شدت زلزله افقی طراحی

۲- نیروی برشی و لنگر بازو، بایستی در دو راستای خط و بر عمود خط، و راستای قائم به ترتیب با استفاده از رابطه‌های (۱۰-۱۰) تا (۱۳-۱۰) محاسبه گردد.

در راستای خط و عمود بر خط

$$Q_{Ai} = A_{ASi} \cdot R_S \cdot K_H \cdot W_{Ai} \quad (10-10)$$

$$M_{Ai} = A_{AMi} \cdot R_M \cdot K_H \cdot W_{Ai} \cdot l_x \quad (11-10)$$

در راستای قائم

$$Q_{Ai} = A_{ASi} \cdot K_V \cdot W_{Ai} \quad (12-10)$$

$$M_{Ai} = A_{AMi} \cdot K_V \cdot W_{Ai} \cdot l_x \quad (13-10)$$

Q_{Ai} : نیروی برشی بازو در تراز h_{bi} از پی دکل (t) در راستای بازو ثابت فرض می‌شود.

M_{Ai} : لنگر خمی بازو در تراز h_{bi} از پی دکل ($t - m$)

(A_{AMi}) A_{ASi}): ضریب توزیع مربوط به ضریب برشی طبقه بازو (مربوط به ضریب لنگر خمی)

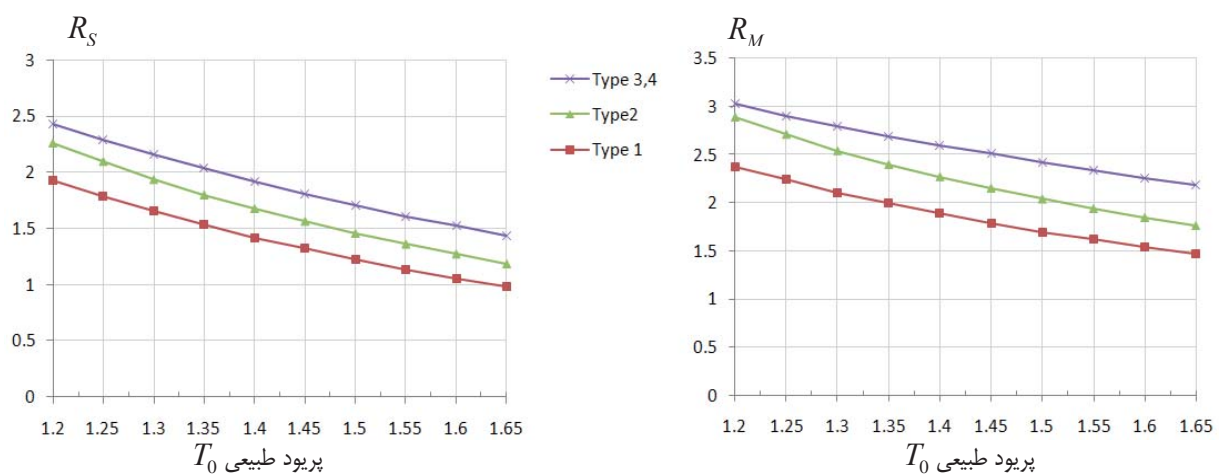
W_{Ai} : وزن بازو در ارتفاع h_{bi} از پای دکل

l_x : فاصله از نوک تا ته بازو (m)

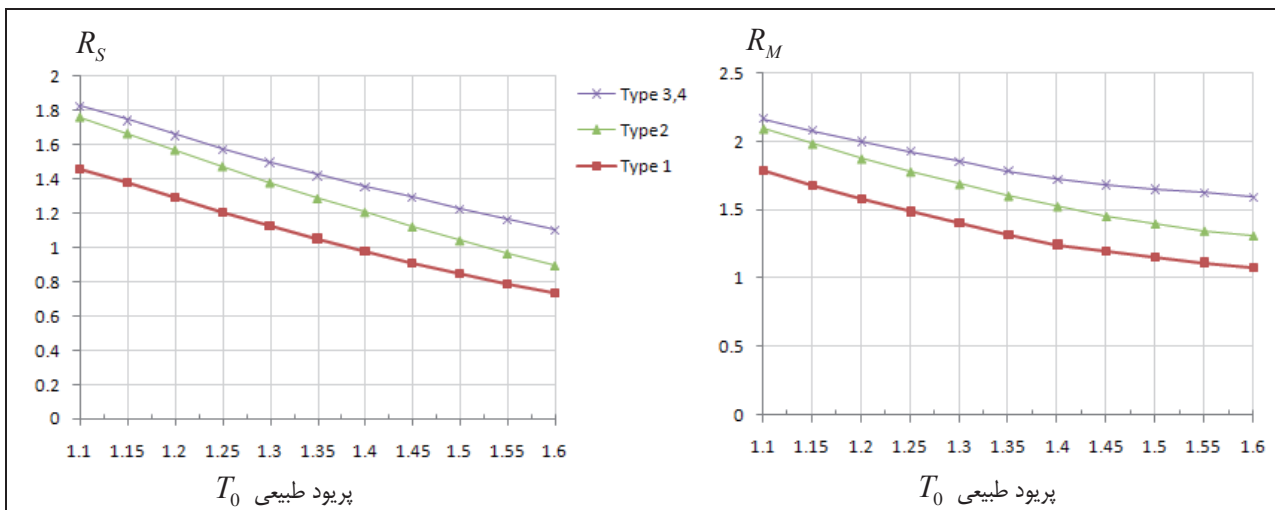
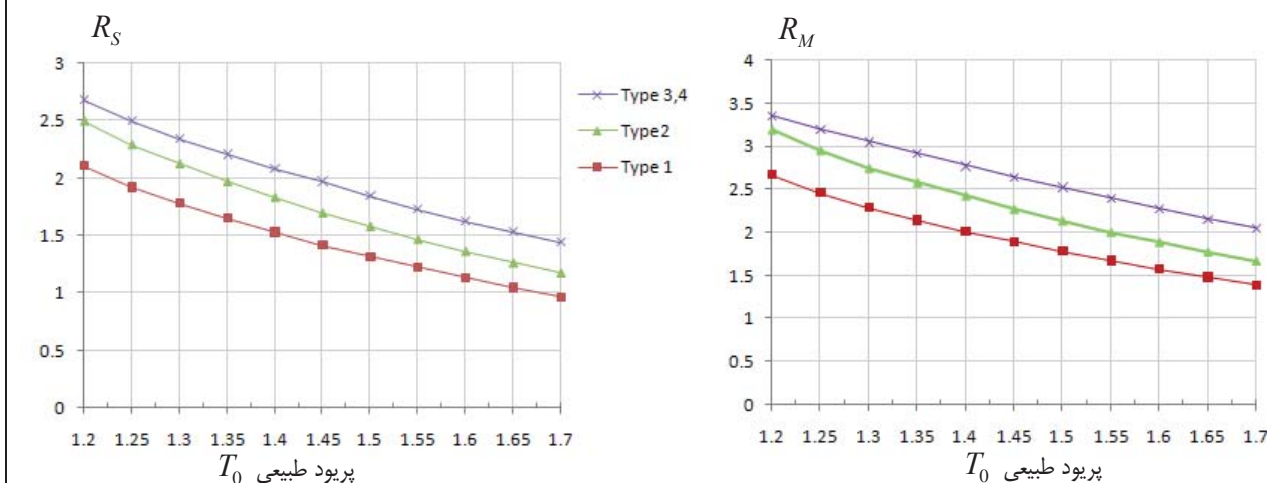
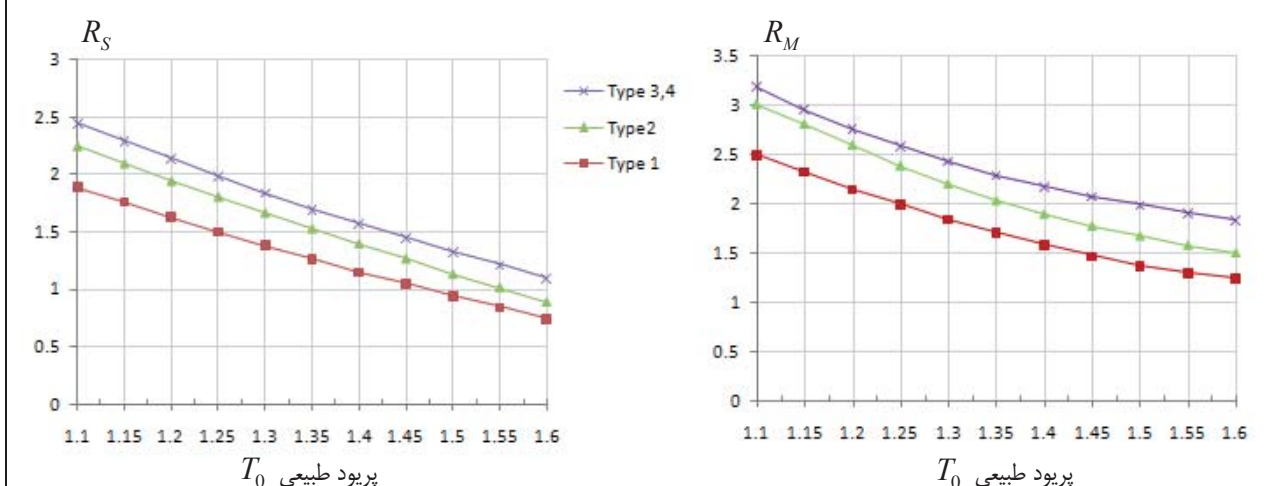
K_V : ضریب زلزله قائم ($0.5K_{SH}$ فرض می‌شود).

۱۰-۱-۳-۳-۳- ضریب مشخصه پاسخ مربوط به ضرایب برش و لنگر طبقه

ضریب مشخصه پاسخ R_S ، مربوط به ضریب برش طبقه و ضریب مشخصه پاسخ R_M ، مربوط به ضریب لنگر طبقه، بایستی از شکل‌های (۱۰-۱۰) الی (۱۰-۴) بر حسب پریود طبیعی T_0 دکل، و نوع زمین از لحاظ شرایط ارتعاشی محاسبه گردد.



شکل ۱۰-۱ ضریب مشخصه پاسخ مربوط به ضریب برش طبقه و ضریب لنگر طبقه، R_S و R_M ، در دکل از نوع معلق (راستای خط)

شکل ۲-۱۰ ضریب مشخصه پاسخ مربوط به ضریب برش طبقه و ضریب لنگر طبقه، R_S و R_M ، در دکل از نوع معلق (راستای عمود بر خط)شکل ۳-۱۰ ضریب مشخصه پاسخ مربوط به ضریب برش طبقه و ضریب لنگر طبقه، R_S و R_M ، در دکل از نوع کششی (راستای خط)شکل ۴-۱۰ ضریب مشخصه پاسخ مربوط به ضریب برش طبقه و ضریب لنگر طبقه، R_S و R_M ، در دکل از نوع کششی (راستای عمود بر خط)

۱۰-۳-۴- ضریب توزیع مربوط به ضرایب برش و لنگر طبقه دکل

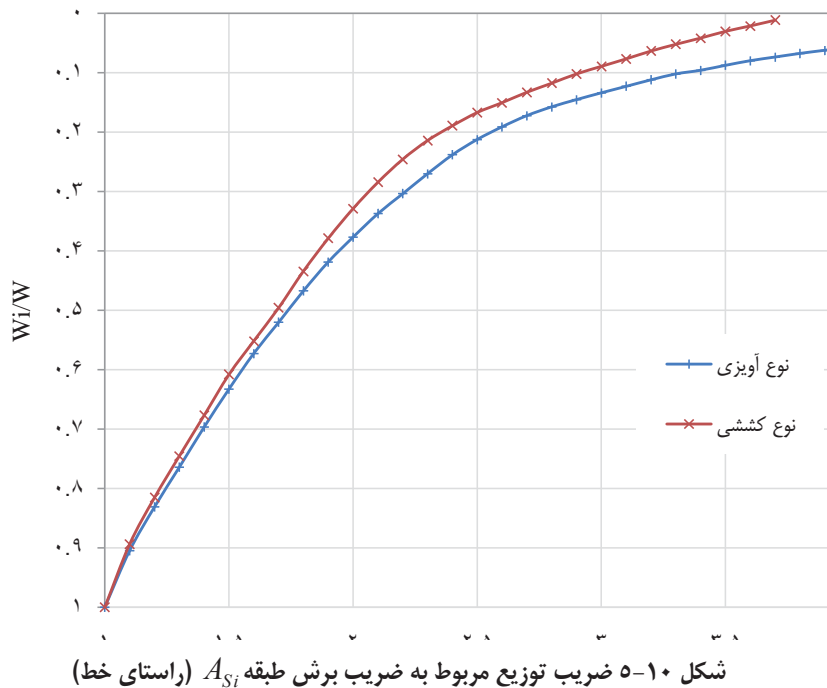
ضریب توزیع مربوط به ضرایب برش و لنگر طبقه دکل با استفاده از شکل‌های (۱۰-۵) تا (۱۰-۸) محاسبه می‌گردد. در این شکل‌ها:

W_i : وزن قسمت فوقانی از ارتفاع h_{bi} از پایه دکل (t)

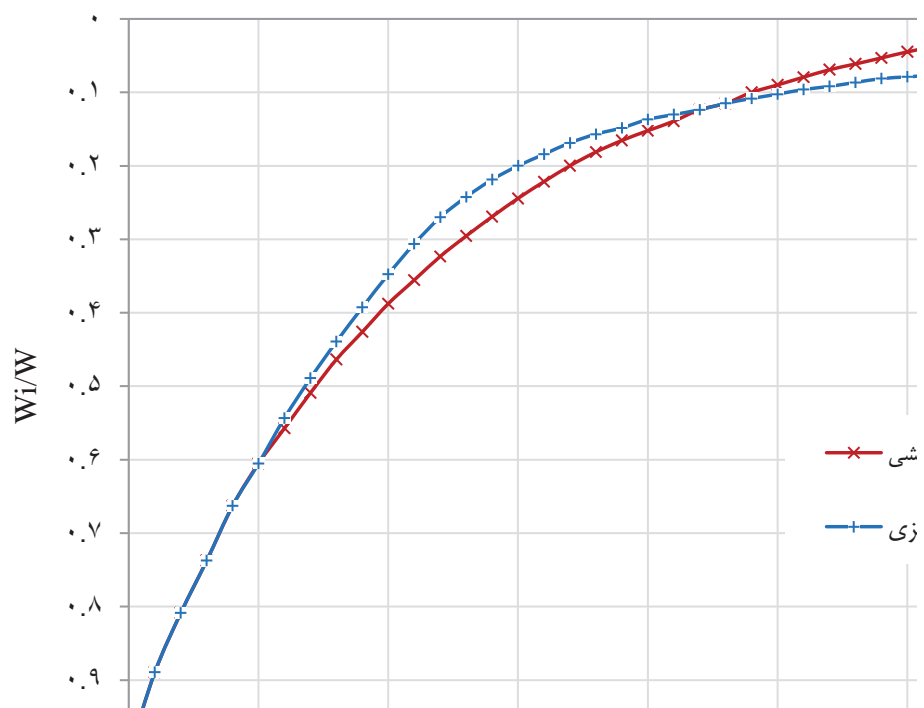
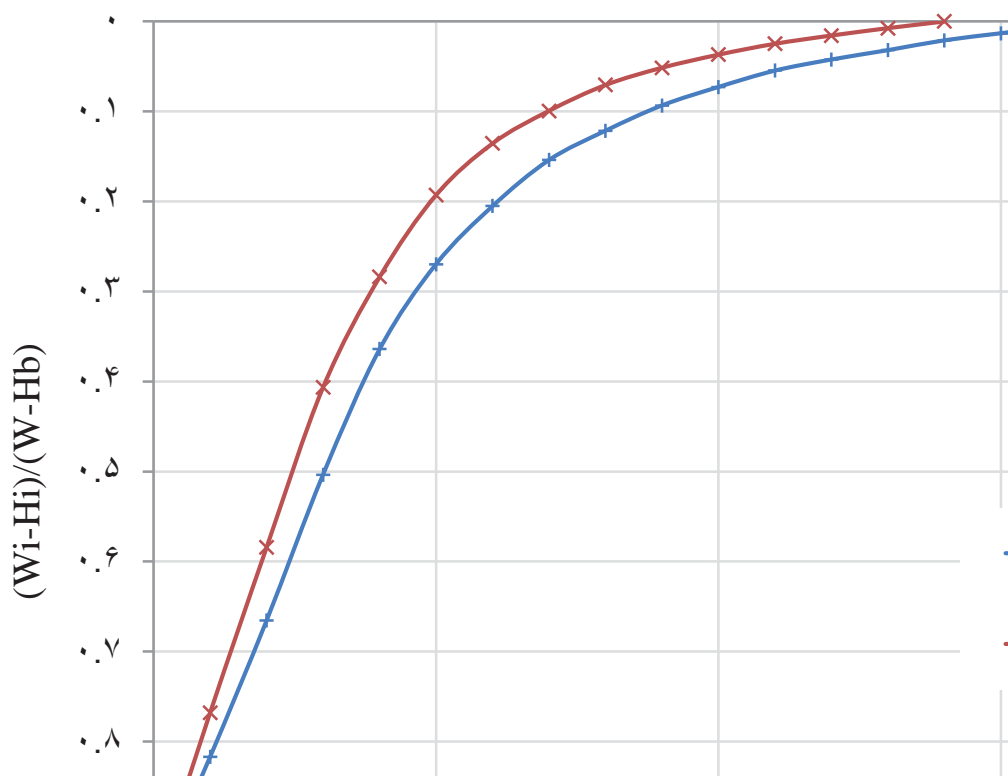
W: وزن کل دکل (وزن‌های مؤثر از قبیل وزن رشتہ سیم‌ها باید در نظر گرفته شود) (t)

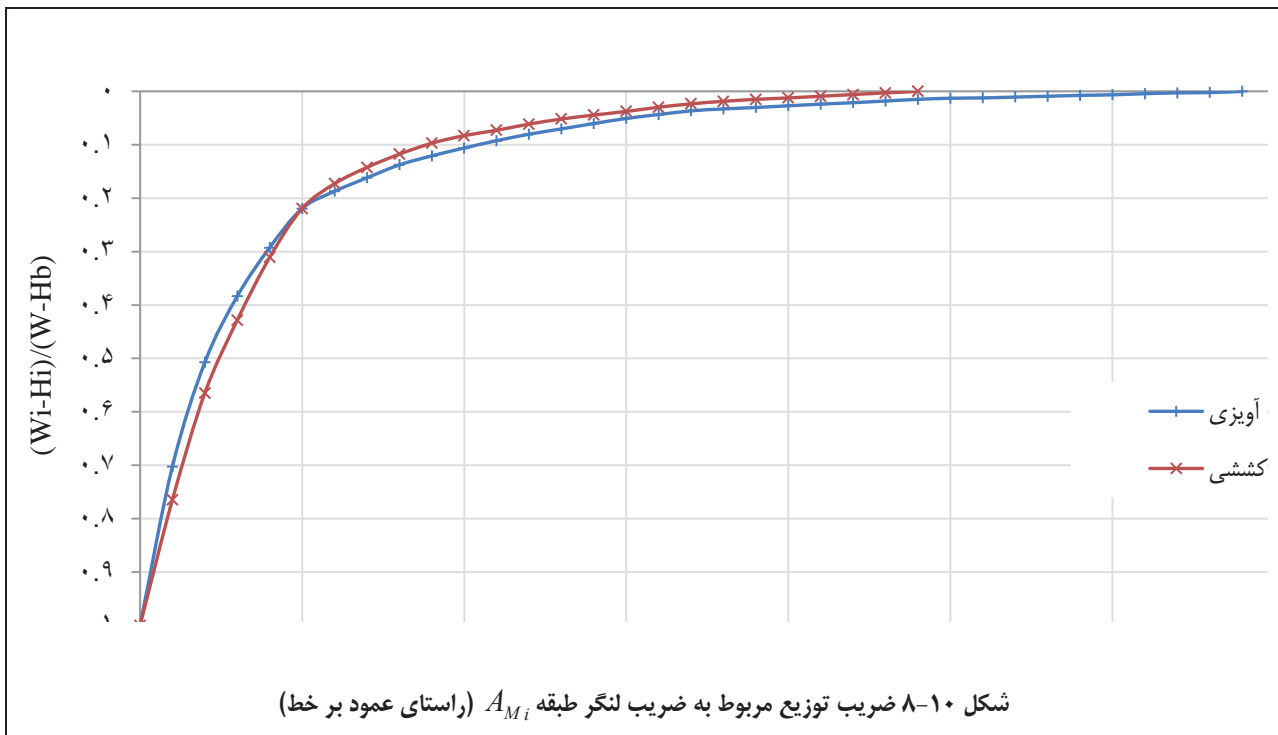
H_i : فاصله از ارتفاع h_{bi} تا مرکز گرانش قسمت فوقانی h_{bi} (m)

H_b : فاصله پای دکل تا مرکز ثقل آن (m)



شکل ۱۰-۵ ضریب توزیع مربوط به ضریب برش طبقه A_{Si} (راستای خط)

شکل ۶-۱۰ ضریب توزیع مربوط به ضریب برش طبقه A_{Si} (راستای عمود بر خط)شکل ۶-۱۱ ضریب توزیع مربوط به ضریب لنگر طبقه A_{Mi} (راستای خط)



۱۰-۳-۱-۵- ضریب توزیع مربوط به ضرایب برش و لنگر بازو

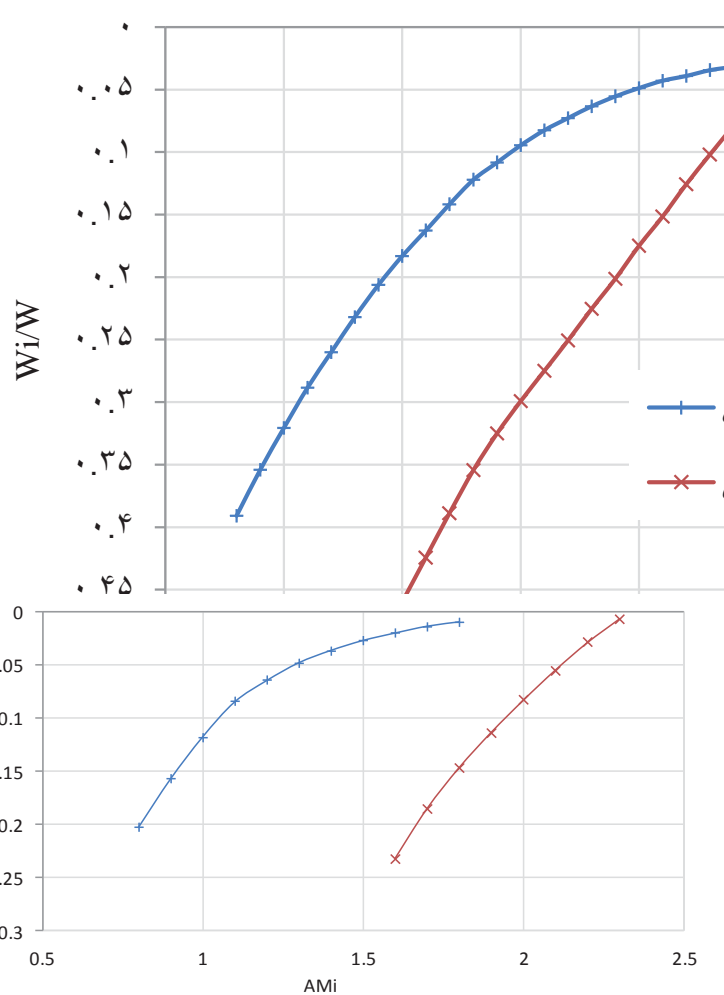
ضریب توزیع مربوط به ضریب برش طبقه A_{ASi} ، و ضریب توزیع مربوط به ضریب لنگر طبقه A_{AMi} ، در بازو، با استفاده از شکل‌های (۹-۱۰) تا (۱۱-۱۰) محاسبه می‌گردد. در این شکل‌ها:

W_i : وزن قسمت فوقانی از ارتفاع h_{bi} از پایه دکل (t)

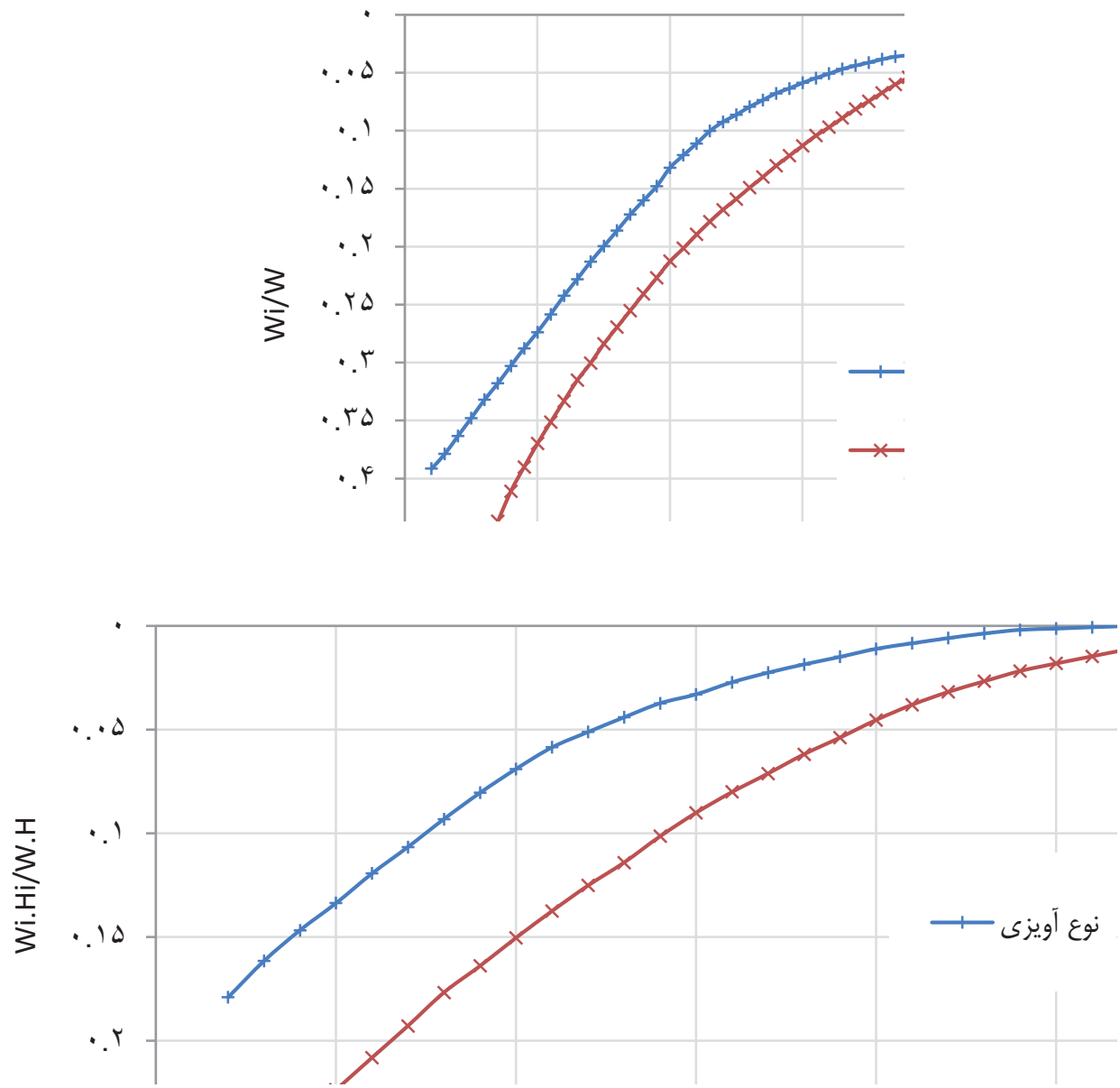
W : وزن کل (وزن‌های مؤثر از قبیل رشته سیم‌ها باید در نظر گرفته شود) (t)

H_i : فاصله از ارتفاع h_{bi} تا مرکز گرانش قسمت فوقانی h_{bi} (m)

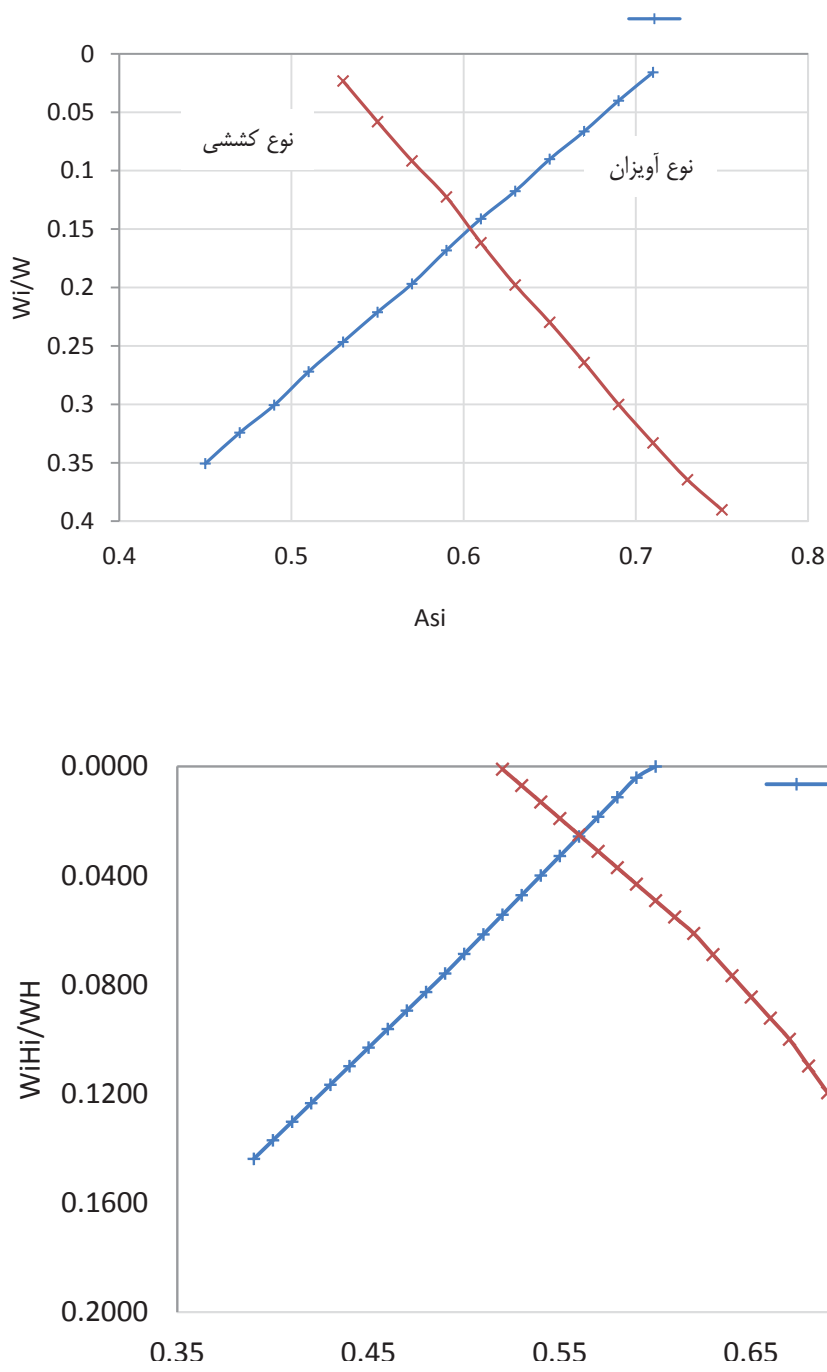
H_b : فاصله پای دکل تا مرکز ثقل آن (m)



شکل ۹-۱۰ ضریب توزیع مربوط به ضریب برش طبقه و ضریب لنگر طبقه در بازو A_{ASi} و A_{AMi} (راستای خط)



شکل ۱۰-۱۰ ضریب توزیع مربوط به ضریب برش طبقه و ضریب لنگر طبقه در بازو، A_{ASi} و A_{AMi} (راستای عمود بر خط)



شکل ۱۱-۱۰ ضریب توزیع مربوط به ضریب برش طبقه و ضریب لنگر طبقه در بازو، A_{ASi} و A_{AMi} (راستای قائم)

۳-۱-۶- محاسبه تنش

تنش ناشی از زلزله، بایستی با استفاده از نیروی برشی و لنگر طبقه محاسبه گردد.

برای بازوی دکل نیروی لرزه‌ای باید در دو راستای افقی و قائم در نظر گرفته شود.

تنش عضو بایستی با ترکیب تنش‌های ناشی از بار مرده، بار کششی رشتہ سیم و تنش ناشی از زلزله، محاسبه گردد.

کنترل ایمنی بایستی با مقایسه تنش ترکیبی با تنش مجاز طراحی انجام شود.

۷-۱-۳-۱۰- محاسبه بار طراحی پی دکل

- ۱- بار پی با ترکیب اثرات لرزه‌ای با اثرات بار مرده و بار کششی رشته سیم‌ها، محاسبه می‌گردد.
- ۲- بارهای لرزه‌ای در دو راستای افقی باید در نظر گرفته شود.
- ۳- برای طراحی پی از مبحث نهم مقررات ملی ساختمان ایران و یا آبا می‌توان استفاده نمود.

۷-۳-۱۰-۴- پایه (تیر) برق در خط توزیع

۱- محاسبه بار باد

بار باد و توزیع آن مطابق مبحث ششم مقررات ملی ساختمان ایران محاسبه می‌شود.

۲- نیروی کششی کابل

نیروی کششی کابل از رابطه (۱۴-۱۰) محاسبه می‌گردد.

$$T = W_L \cdot S^2 / (8 \cdot d) \quad (14-10)$$

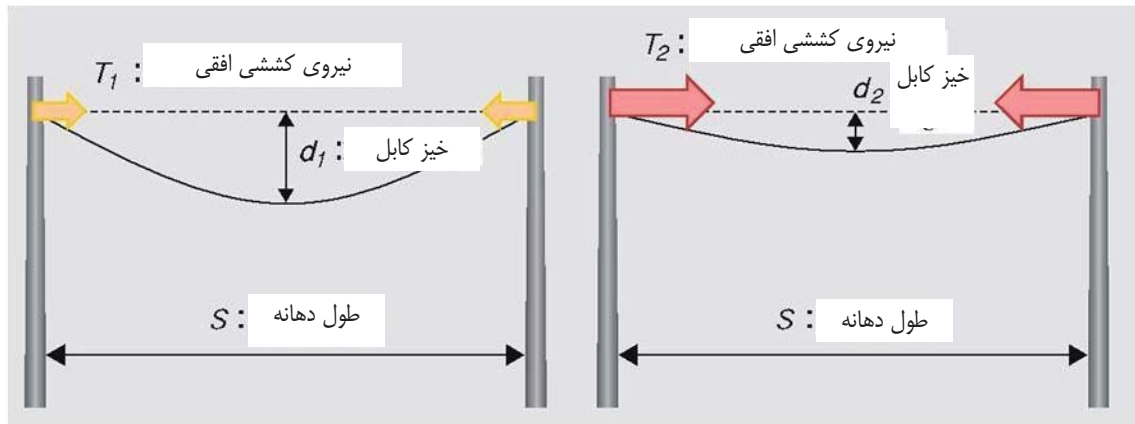
T : نیروی کششی (KN)

d : خیز کابل (m)

W_L : وزن موثر کابل در یک متر (N/m)

S : طول دهانه (m)

خیز کابل در واقع میزان انحنای کابل نشان داده شده در شکل (۱۲-۱۰) می‌باشد.



$$\text{نیروی کششی } T_2 < \text{نیروی کششی } T_1 \quad d_1 > d_2 \quad T_1 > T_2$$

شکل ۱۲-۱۰ نیروی کششی و درجه شل شدگی

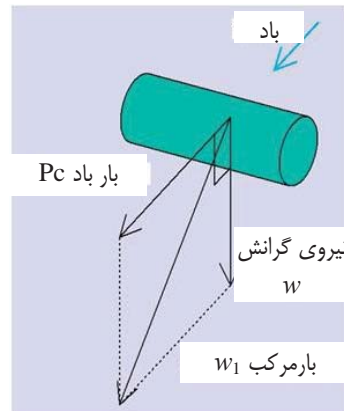
وزن موثر کابل در واحد طول همانطور که در شکل (۱۳-۱۰) نشان داده شده است، محاسبه می‌گردد.

$$W_L = \sqrt{w^2 + P_c^2} \quad (15-10)$$

W_L : وزن موثر کابل در واحد طول (N / m)

P_c : بار باد در واحد طول (N / m)

w : وزن کابل در واحد طول (N / m)



شکل ۱۳-۱۰ ترکیب بار باد و نیروی گرانشی

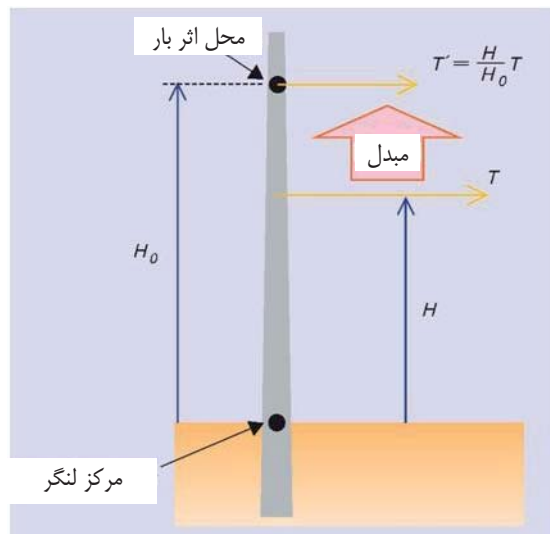
برای در نظر گرفتن اثر دمای محیط در طراحی کابل، حداکثر نیروی کششی در پایین ترین دما باید محاسبه گردد.

۳- محاسبه نیروی قائم

وزن پایه، وزن تجهیزات تابلوی برق شامل اتصالات تحت شرایط برفی و یخ‌بندان، وزن سیم‌های مختلف تحت بار برف و بیخ، وزن مؤلفه قائم سیم تکیه‌گاهی و وزن کارگرها و ابزار آلات باید در نیروی قائم در نظر گرفته شود.

۴- محل اثر نیرو

طراحی باید با در نظر گرفتن شرایط تعادل نیرو و لنگر، همانطور که در شکل (۱۴-۱۰) نشان داده شده است، انجام شود. نیروی تعادل در یک نقطه با برقراری تعادل لنگر در پی پایه، تعیین می‌گردد.



شکل ۱۴-۱۰ محل اثر بار

۵- انواع پایه برق

۱-۵- جنس پایه‌ها

پایه‌های برق در شبکه توزیع از دو نوع بتنی و فولادی می‌باشد.

پایه‌هایی بتنی به دو نوع ۱ و ۲ طبقه‌بندی می‌شود.

نوع اول برای تأسیسات حیاتی برق رسانی و ارتباطات و نوع دوم برای خطوط آهن به کار برده می‌شود.

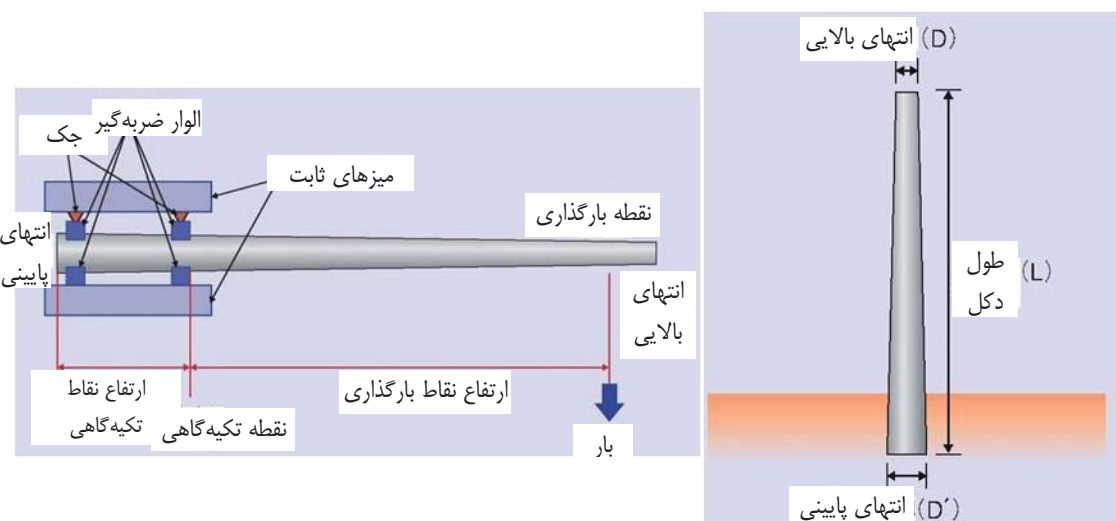
۲-۵- شکل پایه‌ها

مطابق شکل (۱۰-۱۵) انتهای پایینی با سطح مقطع بزرگتر و انتهای فوچانی با سطح مقطع کوچکتر می‌باشد. شیب

مخروطی پایه α از رابطه (۱۰-۱۶) محاسبه می‌گردد:

$$\alpha = \frac{(D' - D)}{L} \quad (16-10)$$

مقدار α هم برای پایه بتنی و فولادی برابر با $1/75$ (یک بر هفتاد و پنج) می‌باشد.



شکل ۱۰-۱۶ آزمایش خم شکل پایه

شکل ۱۰-۱۶ نحوه تعیین زاویه مخروطی پایه

همانطور که از شکل (۱۰-۱۵) مشخص است حداکثر لنگر خمی در نقطه‌ای بر مرز مابین قسمتی از پایه واقع در روی سطح زمین و زیر زمین اتفاق می‌افتد.

سطح مقطع پایه در نقطه مرزی تعیین کننده می‌باشد.

۳-۵- مدهای آسیب و مقاومت پایه

آسیب دیدگی پایه به دو صورت می‌باشد.

حالت اول شکستگی پایه می‌باشد که این حالت، در صورتی اتفاق می‌افتد که زمین سخت بوده و لنگر حداکثر ناشی از بار وارد بزرگتر از لنگر مجاز پایه باشد.

حالت دوم واژگونی پایه است که در زمین نرم بوده و ظرفیت برابری مجاز زمین کمتر از حداکثر لنگر وارد باشد.

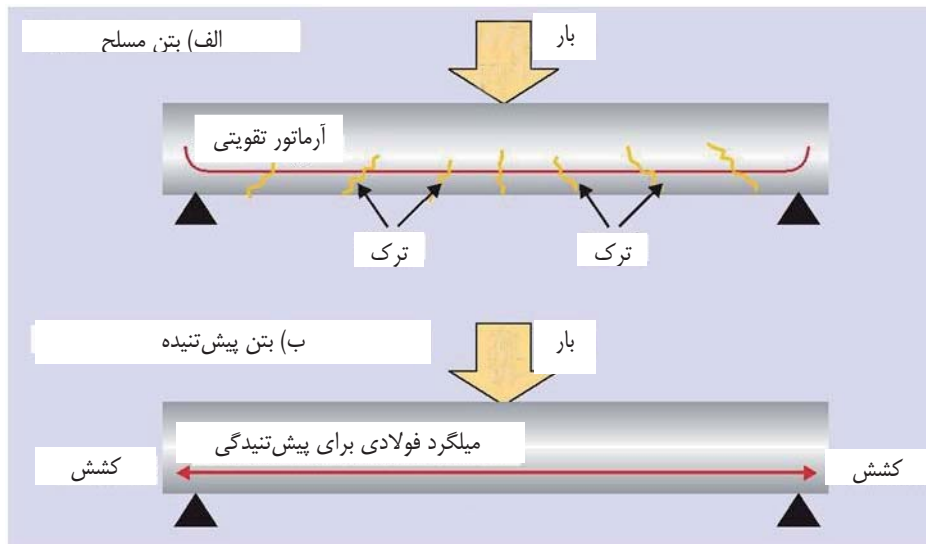
• مقاومت پایه

مقاومت مجاز پایه با استفاده از آزمایش نشان داده شده در شکل (۱۰-۱۶) تعیین می‌گردد.

حداکثر نیروی وارد (نیروی افقی)، مقاومت مجاز(نیروی طراحی) پایه می‌باشد.

ترک بیش از $25/0$ میلی‌متر در اثر حداکثر بار طراحی نباید اتفاق بیافتد.

ترک پسماند بدون اعمال بار، نباید بیش از ۰/۰۵ میلی‌متر باشد.
نیروی شکست دو برابر نیروی حداکثر طراحی می‌باشد.
همانطور که در شکل (۱۷-۱۰) نشان داده شده است برای اجتناب از ایجاد ترک در پایه بتنی اغلب از میلگرد های فولادی پیش‌تینیده استفاده می‌شود. این پایه‌های به پایه PC معروف هستند.



شکل ۱۷-۱۰ پایه پیش‌تینیده

نیروی طراحی پایه فولادی مانند پایه بتنی کنترل می‌گردد. کنترل کمانش آن با استفاده از آزمایش انجام می‌شود.

- ظرفیت برابری زمین تکیه‌گاهی

لنگر وارد M_{ot} در مرکز دورانی پایه با استفاده از رابطه (۱۷-۱۰) تعیین می‌گردد.

$$M_{ot} = P \cdot (h + t_o) \quad (\text{kN.m}) \quad (17-10)$$

(Nيروی باد) P

h : ارتفاع نیروی وارد از سطح زمین (m)

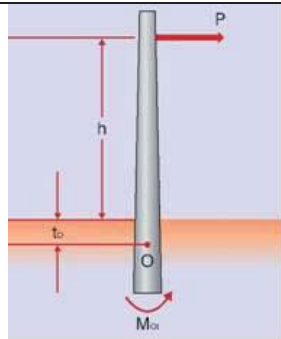
t_o : عمق(فاصله) مرکز دوران در زیر سطح زمین (m)

لنگر نهایی قبل از واژگونی پایه، لنگر مقاوم نهایی M_{oa} نامیده می‌شود.

برای طراحی با ضریب ایمنی مورد استفاده قرار می‌گیرد.

$$M_{ot} \leq M_{oa} \quad (18-10)$$

شکل (۱۸-۱۰) توضیح رابطه بالا می‌باشد.



شکل ۱۸-۱۰ لنگر وارد در مرکز دوران

- عمق مدفون پایه

هر چقدر عمق مدفون پایه بیشتر باشد، مقدار M_{oa} برای مقاومت در برابر لنگر M_{ot} بیشتر خواهد بود. مقدار M_{oa} به دست آمده باید با شرایط ساختگاه کنترل گردد.

۴-۵- طراحی لرزه‌ای پایه

توضیحات فوق اساساً در مورد طراحی پایه در مقابل بار باد، P می‌باشد.

در طراحی در مقابل بار لرزه‌ای، نیروی وارد P' تعیین شده و این مقدار در رابطه (۱۹-۱۰) بجای مقدار P قرار داده و استفاده می‌شود.

مقدار P' باید با مقدار P ترکیب شود. لنگر M_{ot} ناشی از P' یا P محاسبه و هر کدام که بزرگ‌تر باشد، در نظر گرفته می‌شود.

$$P' = K_{SH} W_s \quad (19-10)$$

K_{SH} : ضریب زلزله افقی (از پیوست این راهنما تحت عنوان بارگذاری لرزه‌ای شریانهای حیاتی)

W_s : وزن دکل (kN)

از اثر مؤلفه قائم زلزله صرف نظر می‌شود.

۴-۱۰- کمیت‌های مجاز

۱- تنش مجاز

تنش مجاز در روش شبه استاتیکی، روش پاسخ تغییرمکان و روش ضریب برش طبقه، یک و نیم برابر تنش مجاز ناشی از بار عادی در شرایط بهره برداری می‌باشد.

۲- تغییرمکان پی دکل

۱-۱- تغییرمکان پی دکل در زمین نرم

- در صورتی که زلزله در راستا یا عمود بر راستای خط باشد، مقدار تغییرمکان مابین پایه‌ها در حالتی که موج برشی در جهت حرکت، منتشر می‌شود، نادیده گرفته می‌شود.

- اگر زلزله در امتداد ۴۵ درجه نسبت به راستای خط باشد، تغییرمکان نسبی بین پایه‌ها باید محاسبه گردد.

- تغییر مکان مجاز استاندارد در حدود ۱/۸۰۰ (یک بر روی هشت‌تصد) در دهانه پای دکل می‌باشد.
- تغییر مکان پی دکل در زمین‌های معمولی ۲-۲
- تغییر مکان پی دکل در زمین‌های معمولی در اثر حرکت موج سطحی، ناچیز می‌باشد.
- در صورتی که پایه‌های دکل در نواحی کوهستانی بوده یا شیب سطح زمین در این نواحی تغییرات زیادی داشته باشد، تنش اضافی در اعضای دکل بوجود می‌آید.
- تغییر مکان مجاز پی در زمین عادی، یک و نیم برابر مجاز در شرایط بهره‌برداری و ۱۵ میلی‌متر در هر پایه می‌باشد.
- از آنجایی که تغییر مکان پی گستردگه روی ساختگاه مساعد کم می‌باشد، کنترل تغییر مکان در مورد آنها انجام نمی‌شود.

۱۰-۵- معیار پذیرش

تنش مرکب اعضای دکل و بازوی طراحی شده با بار باد در هنگام زلزله، نباید از تنش مجاز بیشتر شود.
علاوه بر آن مقدار تغییر مکان لرزه‌ای در پی نباید از مقدار مجاز بیشتر شود.

۱۰-۶- محدوده کاربرد

۱- مشخصه عضو اصلی ستون و دکل فولادی باید طبق جدول (۳-۱۰) باشد:

جدول ۳-۱۰ ضریب لاغری

ضریب لاغری	عضو	نوع تکیه گاه
۲۰۰ یا کمتر	پست اصلی (شامل مصالح بازو)	ستون فولادی دکل فولادی
۲۲۰ یا کمتر	عضو فشاری به غیر از پست اصلی	
۲۵۰ یا کمتر	عضو یدکی (به عنوان عضو فشاری بکار رود)	

جدول ۱۰-۴ ضخامت عضو (JESC E0008)

ضخامت (mm)	عضو	نوع تکیه گاه
۱/۰ یا بیشتر	عضو پست	صفحه فولادی بلند کننده پایه پایه لوله فولادی
۲/۰ یا بیشتر	عضو پست	
۴/۰ یا بیشتر	عضو اصلی، مصالح بازو	
۳/۰ یا بیشتر	سایر اعضاء	ساير ستون‌های فولادی لوله فولادی
۲/۴ یا بیشتر	عضو اصلی، مصالح بازو	
۱/۶ یا بیشتر	سایر اعضاء	
۵/۰ یا بیشتر	عضو اصلی، مصالح بازو	به غیر از لوله فولادی دکل فولادی
۳/۰ یا بیشتر	سایر اعضاء	

۲- پیچ بکار برده شده در ستون و دکل فولادی با موافقت بهره‌بردار تهیه می‌گردد.

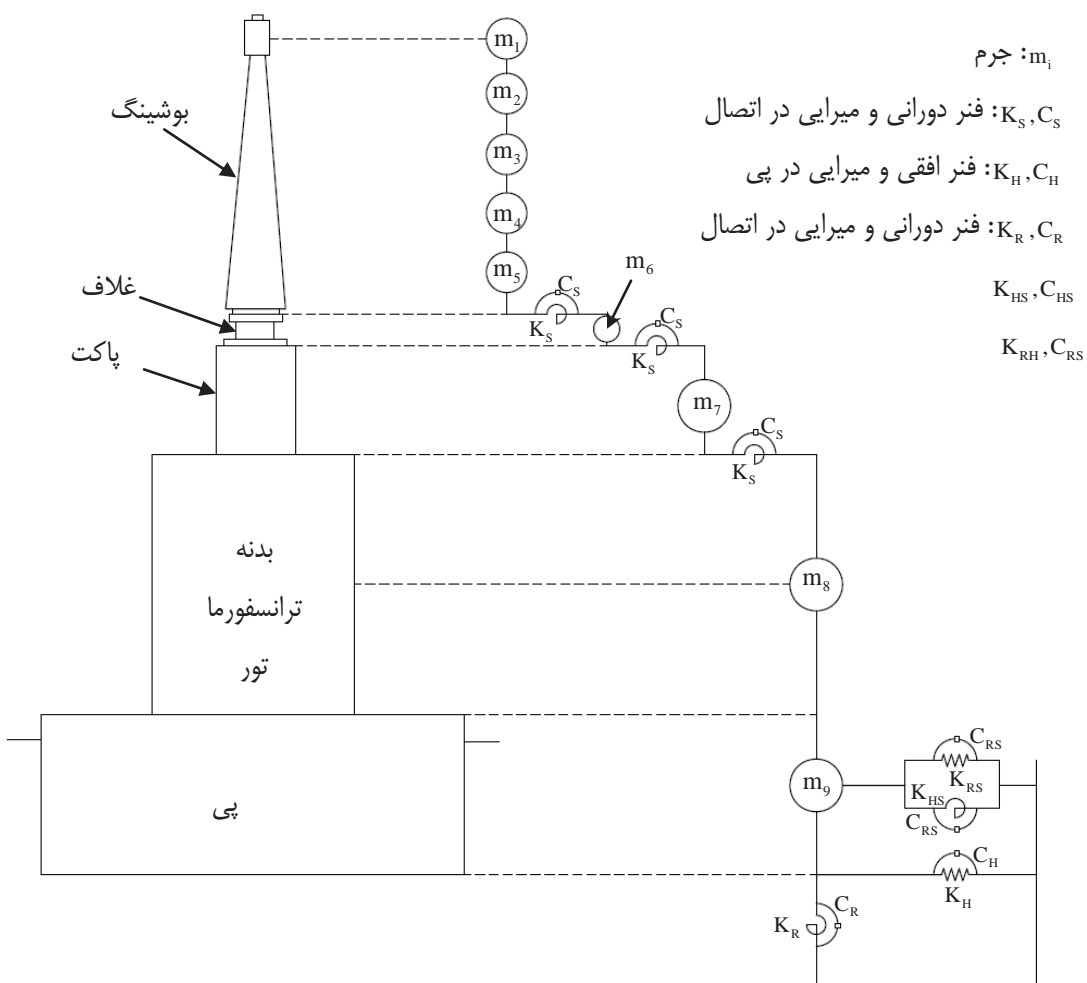
فصل ۱۱

مثال‌ها

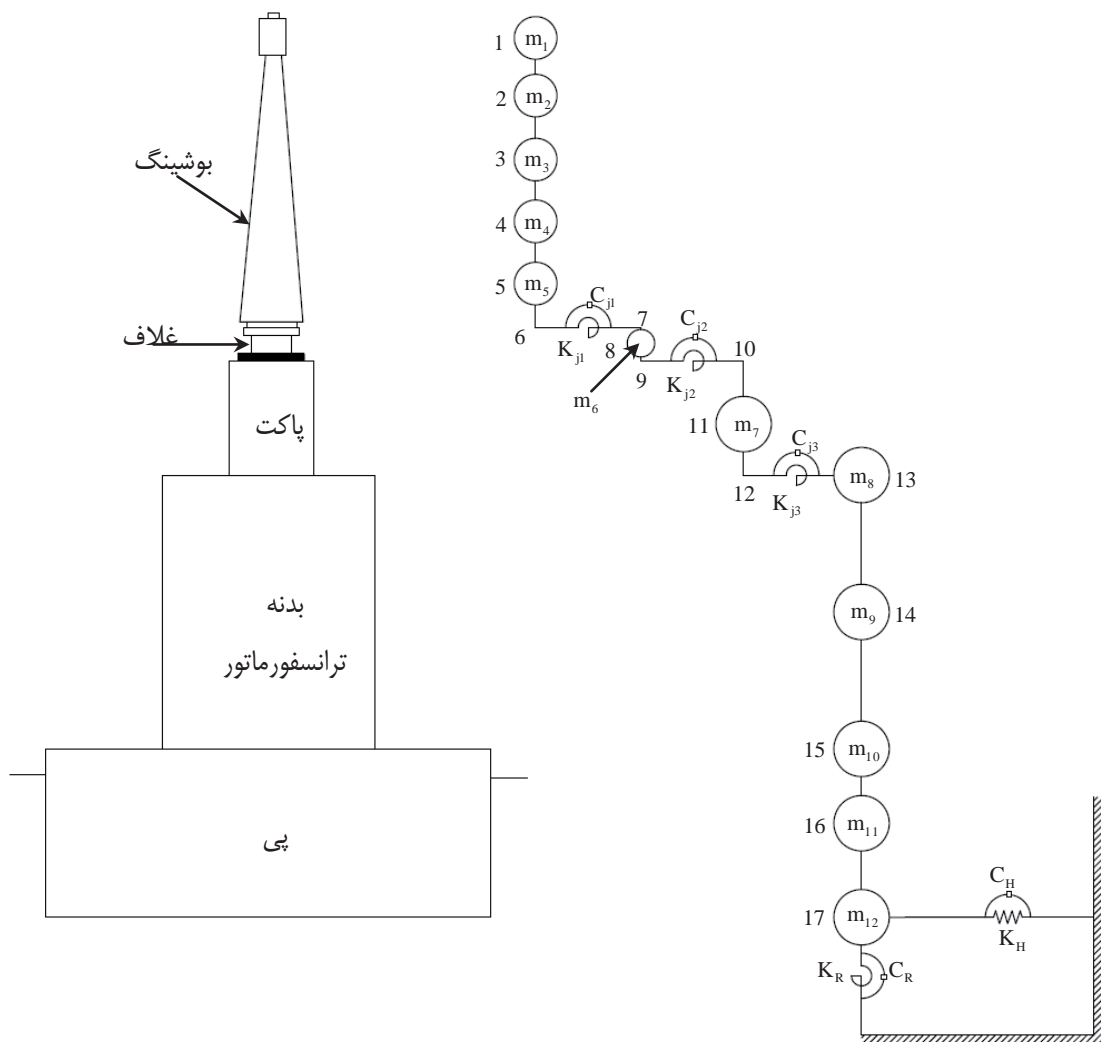
۱۱-۱-۱- مثال طراحی لرزه‌ای برای تاسیسات بوشینگ

۱۱-۱-۱- مدل طراحی لرزه‌ای

شکل ۱۱-۱ ترانسفورماتور با بوشینگی که مستقیماً بر روی پی قرار گرفته است را نشان می‌دهد. شکل ۲ نشان‌دهنده مدل طراحی لرزه‌ای است. چرم و ممان‌های اینرسی، ثابت فنر و نسبت میرایی بحرانی سیستم زمین پی ترانسفورماتور با بوشینگ و پی آن در این شکل آمده است.



شکل ۱۱-۱-۱- مثال طراحی لرزه‌ای ترانسفورماتور بوشینگ



شکل ۲-۱۱- ثابت‌های فیزیکی و نتایج تحلیل پاسخ لرزه‌ای برای بوشینگ ترانسفورماتور

۲-۱-۱۱- مشخصات اصلی بوشینگ

۱-۱-۱- وزن و اینرسی دورانی

جدول ۱-۱۱

اینرسی دورانی (N.m ²)	وزن (N)	
5.79E4	2.75E4	بدنه ترانسفورماتور
2.39E7	4.28E4	پی

۱-۱-۲-۲- ثوابت فنر و میرایی سیستم خاک- پی

جدول ۱-۱۱

C_R	K_R (N.m/rad)	C_H	K_H (N/m)	v	ρ (kN/m ³)	V_s (m/s)
0.19	5.684E10	0.33	2.156E7	0.4	1.65	200

۱-۱-۳- ورودی‌های لرزه‌ای

- ورودی لرزه‌ای: ۲ موج سینوسی با فرکانس $7/5$ هرتز در سطح زمین
- بزرگنمایی در بالای بوشینگ: $6/2$
- ممان کف مقره: 60760 N.m
- حداکثر تنش: تنش کششی N/mm^2 $10/78$ در پایین مقره

۱-۱-۳- مدل دینامیکی

معمولًاً از سیستم جرم متمرکز استفاده می‌شود. مدل جرم متمرکز در شکل ۲ نمایش داده شده است.

۱-۱-۴- اندرکنش خاک- سازه

اندرکنش بین پی و زمین مجاور را می‌توان با استفاده از ثابت‌های فنر افقی و دورانی مدل نمود. اثرات ثابت فنر دورانی برای پاسخ بوشینگ مهم است. روش تفصیلی برای بدست آوردن ثابت‌های میرایی دیگر در جدول ۳ نشان داده می‌شود.

از روابط زیر بدست می‌آید:

$$K_{HS} = L G_S S_{u1} \quad (\text{N/m}) \quad \text{رابطه ۱}$$

$$K_{RS} = L G_S r_0^2 S_{p1} \quad (\text{N.m/rad}) \quad \text{رابطه ۲}$$

$$(r_0 \omega / V_s) : \text{فرکانس دورانی (Hz)} \quad L : \text{عمق پی (m)}$$

$$V_s : \text{سرعت موج s در زمین} \quad G_S : \text{صلبیت زمین (N/m}^2\text{)}$$

$$S_{u1}, S_{p1} : \text{از رابطه جدول ۱-۱-۳- بدست می‌آید:} \quad r_0 : \text{شعاع معادل پی (m)}$$

$$\rho_s : \text{چگالی زمین (kg/m}^2\text{)}$$

جدول ۱۱-۳- محاسبه فنرهای پی

بدست آمده از روابط زیر : K_{RS} و K_{HS}

$$K_{HS} = L \times G_S \times S_{U1} (N/m)$$

$$K_{RS} = L \times G_S \times r_0^2 \times S_{\phi 1} (N.m/rad)$$

L : فرکانس دورانی (هرتز)

Ω : فرکانس بدون بعد

a_0 : شاعع معادل پی (m)

r_0 : صلیبت زمین

G_S : سرعت موج زمین

V_S : چگالی زمین

S_{U1} و $S_{\phi 1}$: p_S بدست آمده از جدول زیر :

K_{RS}	مد	نسبت پواسون	روابط تخمینی	محدوده اعمالی
K_{HS}	ارتعاش افقی S_{U1}	0	$0.2328a_0 + 3.609a_0/(a_0 + 0.06159)$ $150.3a_0 - 3630a_0^3 - 1934a_0^4 + 3488a_0^5$	$0.2 \leq a_0 \leq 1.5$ $0 \leq a_0 \leq 0.2$
		0.25	$2.474 + 4.119a_0 - 4.320a_0^2 + 2.057a_0^3 - 0.362a_0^4$ $- 1.468\sqrt{a_0} + 5.662\sqrt[4]{a_0}$	$0.2 \leq a_0 \leq 2.0$ $0 \leq a_0 \leq 0.2$
		0.4	$2.824 + 4.776a_0 - 5.539a_0^2 + 2.445a_0^3 - 0.394a_0^4$ $- 1.796\sqrt{a_0} + 6.539\sqrt[4]{a_0}$	$0.2 \leq a_0 \leq 2.0$ $0 \leq a_0 \leq 0.2$
	ارتعاش دورانی $S_{\phi 1}$		$3.142 - 0.4215a_0 - 4.209a_0^2 + 7.165a_0^3$ $- 4.66a_0^4 + 1.903a_0^5$	$0 \leq a_0 \leq 1.5$

(۱) نسبت میرایی بحرانی

جدول ۱۱-۴- نسبت میرایی بحرانی که معمولاً برای سازه‌های بوشینگ استفاده می‌شود، را نشان می‌دهد.

جدول ۴-۱۱- نسبت میرایی بحرانی

% ۸-۲	تاسیسات با بوشینگ فلنجی
% ۵-۲	تاسیسات با فلز جوش شده
% ۱۲-۵	تاسیسات با پیچ

(۱) نتایج محاسبه

(۱) فرکانس طبیعی مد اول (جنبش) پی و بدنه: $6/9$ هرتزفرکانس طبیعی مد دوم بوشینگ: $7/5$ هرتز(۲) حرکت سطح زمین: دامنه $g/3$ با $7/5$ هرتز(۳) تقویت بالای بوشینگ: $6/2$ (۴) ممان خمشی پایه بوشینگ: 60760 N.m (۵) حداکثر تنش: $10/75 \text{ N/mm}^2$

نتایج بالا در محدوده تنش مجاز ایزو لاتور مشخص است.

۱۱-۲- مثال کابل‌های مدفون

تجهیز: کابل فیبر نوری

ضریب اهمیت: ۱

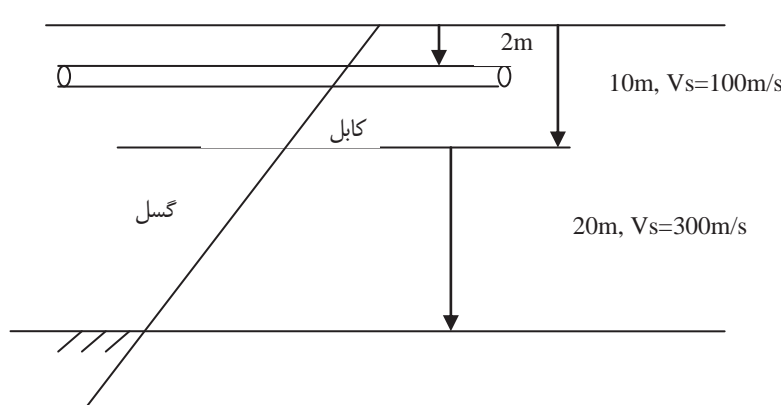
(۱) ساختگاه

ایستگاه فرعی در شهر تهران

شرایط زمین: III

فاصله از گسل منبع زلزله: بیشتر از 10 کیلومتر

همانطور که در زیر نشان داده شده کابل در دو لایه مدفون می‌شود.



شکل ۳-۱۱

(۲) شرایط زلزله

- شرایط MCE در نظر گرفته می‌شود (دوره بازگشت ۴۷۵ سال)

- $M = 7.2$ و فاصله = ۳۰ کیلومتر و گسل فشاری

(۳) ورودی‌های لرزه‌ای

انتشار موج و حرکت گسل در نظر گرفته می‌شود.

(۴) ضریب زلزله

$A = 0.35$ برای خطرلرزه‌خیزی بسیار بالا در شهر تهران

ضریب میدان نزدیک = ۱ برای بیشتر از ۱۰ کیلومتر و گسل نوع B

(۵) شتاب محاسبه شده توسط M و D

$$\alpha_{\max} = 10^{0.440M - 1.38 \log \sqrt{R_E^2 + d^2} + 1.04}$$

a_{\max} : حداکثر شتاب (گال)

M: بزرگای زلزله

R_E : فاصله کانونی (کیلومتر)

$d = 10^{0.353M - 1.435}$: عمق زلزله (کیلومتر)

$a_{\max} = 131$ گال روی سنگ بستر

(۶) جابجایی زمین در اثر انتشار موج

$$S_v = \alpha v^2 A (S+1)$$

$$= 40/100 + 80/300 = 0.67$$

Sپس = 1.75 برای خطر لرزه‌ای بسیار بالا

$$S_v = 100^2 \cdot 0.35^2 \cdot 1.75 = 70 \text{ kine}$$

$$U = \frac{2}{\pi^2} \cdot T \cdot S_v = 9.9 \text{ cm}$$

(L = 800m) (طول موج)

(۷) تغییرمکان گسل

$$\log_{10}(MD) = a + bM \quad \text{رابطه ۱-۱۱}$$

که در آن:

MD: حداکثر تغییرمکان گسل روی سطح زمین (m)

M: بزرگای ممان با توجه به دوره بازگشت زلزله طراحی

a, b: ضرایب مدل گسل بدست آمده از جدول ۱-۱۱.

جدول ۱۱-۵- ضوابط مدل گسل

ضریب		مدل گسل
b	a	
-۱/۰۳	-۷/۰۳	راستا لغز
-۰/۲۹	-۱/۸۴	فشاری
-۰/۸۹	-۵/۹	نرمال
-۰/۸۲	-۵/۴۶	کل

$$\log_{10}(MD) = a + bM = -1.84 + 0.29 \cdot 7.2 = 0.248$$

$$MD = 1.75m$$

(۱) کنترل ایمنی انتشار موج

(۲) انتشار موج

زمانیکه موج لرزه‌ای در سطح زمین منتشر می‌شود، سازه‌های مدفون تحت تاثیر موج قرار گرفته و دچار تغییرشکل می‌شوند. حداکثر کرنش ایجاد شده در کابل‌ها از کرنش زمین تجاوز نمی‌کند بطوریکه کرنش زمین ایجاد شده در اثر انتشار موج معیار مناسبی برای تخمین حداکثر کرنش کابل تحت تاثیر موج است.

(۲) پس به عنوان یک تخمین ساده، کرنش کابل برابر کرنش زمین ϵ_G فرض می‌شود. به صورت زیر:

$$\epsilon_{\text{cable}} \approx \epsilon_G \quad (8-7)$$

$$2\pi U/L = 0.07\% \quad \text{کرنش زمین}$$

همانطور که در نتایج آزمایشگاهی نشان داده شده در بخش ۳-۴-۵ مشهود است، در اثر انتشار موج هیچ آسیبی به کابل وارد نمی‌شود.

(۳) کنترل ایمنی جابجایی گسل

(۳) عبور از گسل

در موارد نشان داده شده در شکل ۱۱-۳ و ۱۱-۲ کرنش کابل ناشی از عبور گسل به صورت زیر داده می‌شود.

$$\epsilon_F = \frac{d}{L} \quad (8-8)$$

که در آن d و L به ترتیب جابجایی گسل و طول موثر کابل است.

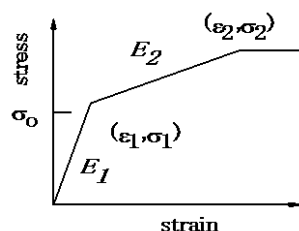
(۸-۹)

$$d = \frac{h}{2 \sin\left(\frac{\theta}{2}\right)}$$

$$L = \sqrt{\frac{2E_2 d}{q} + \left(\frac{\sigma_1 - \sigma_o}{q}\right)^2} - \frac{\sigma_1 - \sigma_o}{q}$$

(۸-۱۰)

که در آن q مقاومت لغزشی هر مساحت حلقه در واحد طول E_{29} ، σ_1 و σ_2 مدول دوم و تنشهای بحرانی در شکل ۴-۱۱ هستند.



شکل ۴-۱۱- منحنی تنش کرنش المان کابل

$$\theta = 90^\circ$$

$$d = 1.75 / (2 \cdot \sin(45)) = 1.23m$$

بر اساس آزمایش کشش کابل در جعبه، ۳۰۰ میلیمتر در ۱۰۰ متر طول کابل می‌باشد، بطوریکه آسیبی به کابل وارد نمی‌شود. نیروی اعمالی ۳ تن بر سطح مقطع $19/6 \text{ cm}^2$ به صورت زیر است.

$$E_1 = 51000 \text{ N/mm}^2$$

$$E_2 = E_1 / 5 = 10000 \text{ N/mm}^2$$

$$\epsilon_1 = 0.3 / 100 = 0.0003$$

$$\epsilon_2 = 3 \cdot \epsilon_1 = 0.0009$$

$$\sigma_1 = 15.3 \text{ N/mm}^2$$

$$\sigma_2 = 21.3 \text{ N/mm}^2$$

$$q = 0.001 \text{ N/mm}^3$$

$$L = 156.9 \text{ m}$$

سپس

$$\epsilon_F = 1.23 / 156.9 = 0.008 = 0.8\%$$

کرنش کابل بسیار (بیش از ۱۰ برابر) بیشتر از انتشار موج است. اینمنی باید با استفاده از اطلاعات واقعی آزمایش‌های کابل کنترل شود.

پیوست‌ها

۱ پیوست

تنش مجاز در طراحی لرزاها برای قسمت مورد استفاده در سازه هدف، تعیین می‌گردد و برای مصالح فشاری و غیر فشاری، بطور جداگانه در سیستم سازه تکیه‌گاهی، تعریف می‌گردد.

۱-۱- تنش مجاز برای طراحی لرزاها مصالح تحت فشار

تنش مجاز در طراحی لرزاها مصالح تحت فشار از ضرب یک ضریب بر مقاومت کششی η_w یا مقاومت متناظر با کرنش 0.2% در دمای بهره‌برداری مصالح بر حسب نوع تنش، تعیین می‌گردد. تنش‌های مجاز به صورت جدول ۱ می‌باشد.

جدول ۱ تنش مجاز برای طراحی لرزاها مصالح تحت فشار

تنش مجاز برای طراحی لرزاها	نوع تنش
(در مصالح با اتصال جوشی مقدار S باید در η_w ضرب گردد)	تنش کششی
S	تنش خمی
کمترین مقدار از S' یا S	تنش فشاری
$0.6S$	تنش برشی

توضیح: در این جدول مقادیر S ، S' و η_w بصورت زیر تعیین می‌گردند.
S: تنش مجاز برای طراحی لرزاها مصالح تحت فشار می‌باشد، که مقدار آن بر حسب نوع مصالح از ستون سمت راست، در ستون سمت چپ جدول ۲ آورده شده است. (N/mm^2)

جدول ۲ تنش مجاز برای طراحی لرزاها بر حسب نوع مصالح

S	نوع مصالح
$S = \min\{0.6S_u, 0.9S_y\}$	(a) مصالح با آلیاژ آلومینیوم و مصالح فولادی با ۹٪ نیکل برای دماهای پایین کمتر از دمای اتاق
$S = \min\{0.6S_{u0}, 0.6S_u, 0.9S_{y0}, S_y\}$	(b) مصالح فولادی ضد زنگ استنبیتی و مصالح فولادی با آلیاژ بالای نیکل، استفاده شده در دمایی بالاتر از دمای اتاق
$S = \min\{0.6S_{u0}, 0.6S_u, 0.9S_{y0}, S_y\}$	(c) مصالحی به غیر از بند (a) و (b)

S': تنش مجاز مربوط به کمانش در طراحی لرزاها مصالح تحت فشار در ستون سمت چپ جدول ۳ بر حسب نوع مصالح از ستون سمت راست، تعیین می‌گردد. (N/mm^2)

جدول ۳ تنش مجاز مربوط به کمانش

S'	نوع مصالح
$\frac{0.6 \square}{\left(1 + 0.004 \frac{\square}{S'_y}\right) \square}$	مخازن ذخیره افقی استوانه‌ای شکل و برج‌ها
$\frac{\square}{3 \square}$	مخازن استوانه‌ای شکل

η_w: کفایت جوشS_u: مقاومت کششی در دمای بهره‌برداری مصالح از ۰ تا ۴۰°C که باید کمتر از حداقل مقدار استاندارد مصالح باشد.S_{u0}: مقاومت کششی در دمای محیط که باید کمتر از حداقل مقدار استاندارد مصالح باشد.S_y: مقاومت تسلیم یا مقاومت متناظر با کرنش ۰/۲٪ در دمای بهره‌برداری مصالح از ۰ تا ۴۰°C که باید کمتر از حداقل مقدار استاندارد مصالح باشد.S_{y0}: مقاومت تسلیم یا مقاومت متناظر با کرنش ۰/۲٪ در دمای محیط از ۰ تا ۴۰°C که باید کمتر از حداقل مقدار استاندارد مصالح باشد.S_y' : کمترین مقدار از S_y یا S_{y0} (N/mm²)E: مدول ارتباعی مصالح در دمای بهره‌برداری (N/mm²)D_m: متوسط قطر پوسته (mm)

t: ضخامت متوسط پوسته یا ورق دیواره (mm)

D: قطر داخلی مخزن (mm)

۱-۲-۱- تنش مجاز طراحی لرزه‌ای مصالح سازه تکیه‌گاه

تنش مجاز در طراحی لرزه‌ای مصالح سازه تکیه‌گاه از حاصلضرب ضریب حداقل ۷۰٪ در مقاومت کششی و مقاومت تسلیم یا مقاومت متناظر با کرنش ۰/۲٪ یا مقاومت کششی در دمای طراحی مصالح بر حسب نوع تنش، به دست می‌آید. تنش مجاز مصالح فولادی در سازه‌های تکیه‌گاهی از استاندارد KHK ژاپن به صورت زیر می‌باشد.

۱-۲-۱- مصالح سازه تکیه‌گاهی

برای طراحی لرزه‌ای، مقدار تنش مجاز مصالح سازه‌های تکیه‌گاهی (N/mm²) که مستقیماً به مصالح قسمت فشاری جوش نشده‌اند، در ستون سمت راست بر حسب نوع تنش در ستون سمت چپ در جدول ۴ آمده است. با استفاده از رابطه کنترلی واقع در ستون سمت چپ جدول ۶ در مصالح سازه تکیه‌گاهی، تنش ترکیبی با توجه به نوع ترکیب تنش، در ستون سمت راست این جدول، باید کنترل گردد.

جدول ۴ تنش مجاز مصالح برای طراحی لرزه‌ای سازه تکیه‌گاهی

تنش مجاز مصالح برای طراحی لرزه‌ای	نوع تنش
F	تنش کششی
F	تنش فشاری
کمترین مقدار S'	دامنی
\square	
کمترین مقدار \square'	
$\sqrt{3}F$	تنش برشی

F: کمترین مقدار از ۷۰٪ مقاومت تسليیم یا مقاومت متناظر با کرنش ۲٪ یا مقاومت کششی مصالح (N/mm^2)

F': تنش مجاز فشاری مربوط به کمانش با توجه به ضریب لاغری مصالح (N/mm^2)

S' : مقدار به دست آمده از جدول ۳

توجه: تنش مجاز فشاری $\square F$, مربوط به کمانش با توجه به ضریب لاغری مصالح، تعیین می‌گردد.

اگر $\lambda_s \leq \Lambda$

$$F' = \frac{1.5 \left\{ 1 - 0.4 \left(\frac{\lambda_s}{\Lambda} \right)^2 \right\} F}{v} \quad (1)$$

اگر $\lambda_s > \Lambda$

$$F' = \frac{1.5 \times (0.277F)}{\left(\frac{\lambda_s}{\Lambda} \right)^2} \quad (2)$$

λ : ضریب لاغری عضو فشاری است که از رابطه (۳) به دست می‌آید.

$$\lambda_s = \frac{l_k}{i} \quad (3)$$

i : طول کمانش (mm) که در جدول ۵ بر حسب نوع تکیه‌گاه لبه‌ها، مشخص می‌گردد.

l_k : شعاع دوم سطح محور کمانش (mm)

جدول ۵ طول کمانش

قید		شرایط تغییرمکان	
یک سر گیردار	هر دو انتهای گیردار	هر دو انتهای آزاد	شرایط دوران
0.7l_k	0.5l_k	1	l_k

1: طول عضو می‌باشد (mm)

Λ : حد ضریب لاغری است که از رابطه (۴) تعیین می‌گردد.

$$\Lambda = \sqrt{\frac{\pi^2 E}{0.6 F}} \quad (4)$$

E: مدول الاستیسیته طولی مصالح (N/mm²)

v: مقدار به دست آمده از رابطه (5)

$$v = \frac{3}{2} + \frac{2}{3} \left(\frac{\lambda_s}{\Lambda} \right)^2 \quad (5)$$

جدول ۶ ترکیب تنش‌ها

معادله	نوع ترکیب تنش
$\frac{\sigma_a}{f_a} + \frac{\sigma_b}{f_b} \leq 1$	ترکیب تنش فشاری و خمشی
$\frac{\sigma_a}{f_a} + \frac{\sigma_b}{f_b} \leq 1$	ترکیب تنش کششی و خمشی
$\sqrt{(\sigma_a + \sigma_b)^2 + 3\tau^2} \leq f_c$	ترکیب تنش فشاری و خمشی و برشی
$\frac{\sigma_a + 1.6\tau}{1.4} \leq f_d$	ترکیب تنش کششی و برشی (محدود به پیچ مهاری)

f_a: تنش مجاز فشاری مصالح برای طراحی لرزاهاي سازه تکيهگاهي. از جدول ۴ (N/mm²) تعیین می‌گردد.

f_b: تنش مجاز خمشی مصالح برای طراحی لرزاهاي سازه تکيهگاهي. از جدول ۴ (N/mm²) تعیین می‌گردد.

f_c: تنش مجاز کششی مصالح برای طراحی لرزاهاي سازه تکيهگاهي. از جدول ۴ (N/mm²) تعیین می‌گردد.

σ_a : تنش فشاری ایجاد شده در مصالح سازه تکيهگاهي (N/mm²)

σ_b : تنش خمشی ایجاد شده در مصالح سازه تکيهگاهي (N/mm²)

σ_c : تنش کششی ایجاد شده در مصالح سازه تکيهگاهي (N/mm²)

τ : تنش برشی ایجاد شده در مصالح سازه تکيهگاهي (N/mm²)

۱-۲-۲- مصالح مستقیماً جوش شده سازه تکيهگاهي به مصالح قسمت فشاری

تنش مجاز مصالح قسمت فشاری باید همانند تنش مجاز مصالح سازه تکيهگاهي جوش شده به این قسمت باشد. زیرا، عملکرد قسمت فشاری باید همانند عملکرد مصالح سازه تکيهگاهي باشد. از اینرو اعمال شرایط زیر ضروری می‌باشد.

۱- تنش مجاز برای طراحی لرزاهاي باید کمترین مقدار از بین اعداد به دست آمد از جدول‌های ۱ تا ۵ انتخاب گردد.

۲- در صورت وجود تنش ترکیبی، شرایط جدول ۶ بایستی ارضاء گردد.

۱-۳-۱- تنش مجاز برای طراحی لرزه‌ای مصالح پی

در زیر تنش مجاز برای مصالح پی از آیین نامه KHK ژاپن آورده شده است.

۱-۳-۱-۱- تنش مجاز بتن در طراحی لرزه‌ای

تنش مجاز بتن در طراحی لرزه‌ای از ستون سمت چپ جدول ۷ بر حسب نوع تنش ستون سمت راست، تعیین می‌گردد.

جدول ۷ تنش مجاز بتن برای طراحی لرزه‌ای

تنش مجاز برای طراحی لرزه‌ای			نوع تنش
$2F_c/3$			تنش فشاری
$F_c/20 \left(0.735 + \frac{3\Delta}{200} \right)$			تنش برشی
$0.06F_c$	میلگرد تقویتی در بالای مقطع	میلگرد مدور تنش چسبندگی	تنش چسبندگی
$0.09F_c$	سایر میلگردها		
$F_c/10 \left(1.32 + \frac{\Delta}{25} \right)$	میلگرد تقویتی در بالای مقطع		
$3F_c/20 \left(2.00 + \frac{3\Delta}{50} \right)$	سایر میلگردها	میلگرد تقویتی آجر	

-۱- در این جدول مقاومت طرح ۲۸ روزه بتن می‌باشد. (N/mm^2)

-۲- مقاومت کششی بتن صفر در نظر گرفته می‌شود.

-۳- چسبندگی پیچ مهاری، مانند سایر میلگردها در نظر گرفته می‌شود. مقدار میلگرد تقویتی در قسمت فوقانی مقطع دو سوم

مقادیر سایر میلگردها در نظر گرفته می‌شود، چون چسبندگی بتن با میلگرد تقویتی در قسمت فوقانی خوب نمی‌باشد.

۱-۳-۲- تنش مجاز میلگرد برای طراحی لرزه‌ای

تنش مجاز برای طراحی لرزه‌ای میلگرد از ستون سمت چپ جدول ۸ بر حسب نوع تنش در ستون سمت راست تعیین می‌گردد.

جدول ۸ تنش مجاز بتن برای طراحی لرزه‌ای میلگرد

تنش مجاز برای طراحی لرزه‌ای		نوع تنش
F		تنش فشاری
F	مورد استفاده همراه با آرماتور برشی	تنش کششی
	(در صورتی که از ۲۹۴ بیشتر شود، ۲۹۴ در نظر گرفته می‌شود)	

در این جدول F مقدار تنش تسليیم میلگرد می‌باشد (N/mm^2)

۱-۴- تنش مجاز برای طراحی لرزه‌ای مصالح لوله‌کشی

تنش مجاز برای طراحی لرزه‌ای مصالح لوله‌کشی و سازه تکیه‌گاهی آنها (یا سیستم لوله‌کشی) برای لوله‌کشی، اتصال فلنج، شیر، اتصال انساطی و افشاره به ترتیب، به صورت می‌باشد.

در زیر تنش مجاز مصالح لوله‌کشی از آیین نامه KHK ژاپن آورده شده است.

۱-۴-۱- تنش مجاز مصالح برای طراحی لرزه‌ای لوله‌کشی

جدول ۹ تنش مجاز بتن برای طراحی لرزه‌ای لوله‌کشی

تنش مجاز برای طراحی لرزه‌ای	نوع تنش
S	تنش طولی لوله‌کشی
$2S_y$	محدوده تنش سیکلی

۱-۴-۲- تنش مجاز مصالح برای طراحی لرزه‌ای اتصال فلنج

جدول ۱۰ تنش مجاز بتن برای طراحی لرزه‌ای اتصال فلنج

تنش مجاز برای طراحی لرزه‌ای	نوع تنش
S	تنش شعاعی فلنج
S	تنش پیرامونی فلنج
$2S_{\square}$	تنش محوری رینگ

۱-۴-۳- تنش مجاز مصالح برای طراحی لرزه‌ای شیر

جدول ۱۱ تنش مجاز بتن برای طراحی لرزه‌ای شیر

تنش مجاز برای طراحی لرزه‌ای	نوع شیر
0.5S	شیر قطع کننده جریان در هنگام زلزله
S	سایر شیرها

۱-۴-۴- تنش مجاز مصالح برای طراحی لرزه‌ای اتصال انساطی

مقدار دو برابر تنش مجاز، در تحلیل تنش و شکست محفظه تحت فشار "متناظر با ۵۰۰ سیکل بارگذاری به دست آمده است.

۱-۴-۵- تنش مجاز مصالح برای طراحی لرزه‌ای افسانه متصل به برج‌ها و مخازن

جدول ۱۲ تنش مجاز مصالح برای طراحی لرزه‌ای افسانه متصل به برج‌ها و مخازن

تنش مجاز برای طراحی لرزه‌ای	نوع تنش مقاوم
S	مقاومت تنش غشایی اولیه
1.5S	مجموع تنش اولیه غشایی محلی و اولین تنش خمشی
2S _y	اختلاف بین مقدار حداکثر و حداقل مجموع مقاومت تنش غشایی اولیه محلی، مقاومت تنش خمشی اولیه و مقاومت تنش ثانویه در یک سیکل

پیوست ۲

۱-۲- مخزن داخلی

۱-۱- ورق‌های کناری مخزن داخلی

۱-۱-۱- ضریب زلزله تسليم مربوط به کمانش ورق کناری در اثر زلزله سطح خطر-۲

ضریب زلزله تسليم مربوط به کمانش ورق کناری برای سطح خطر-۲ از رابطه (۶) به دست می‌آید.

$$K_{yc2} = K_{MH2} \frac{S_c + \sigma_{t0} - \sigma_{c0}}{\sigma_{cE2}} \quad (6)$$

K_{yc2} : ضریب زلزله تسليم مربوط به کمانش در ورق کناری برای سطح خطر-۲

S_c : مقدار به دست آمده از رابطه (۷) در اثر تنفس ناشی از کمانش

$$S_c = \frac{Et}{2.5D_I} \quad (7)$$

E : مدول الاستیسیته طولی مصالح در دمای طراحی (N/mm^2)

t : ضخامت ورق کناری در محل محاسبه تنفس (mm)

D_I : قطر داخلی ورق کناری (mm)

σ_{t0} : متوسط تنفس کششی محوری در اثر فشار داخلی، که از رابطه (۸) محاسبه می‌گردد. (N/mm^2)

$$\sigma_{t0} = \frac{P_0 D_I}{4t} \quad (8)$$

P_0 : کمترین فشار در حالت بهره‌برداری عادی (MPa)

D_I : قطر داخلی ورق کناری (mm)

σ_{c0} : متوسط تنفس فشاری در اثر وزن سازه در محل محاسبه تنفس. این مقدار از رابطه (۹) محاسبه می‌گردد (N/mm^2)

$$\sigma_{c0} = \frac{(W_r + W_s)}{\pi D_I t} \quad (9)$$

W_r : وزن کل ورق‌های سقف (N)

W_s : وزن اعمالی ورق‌های کناری در محل محاسبه تنفس (N)

D_I : قطر داخلی ورق کناری (mm)

K_{MH2} : ضریب زلزله اصلاح شده تسليم برای سطح خطر-۲ که مقدار آن از رابطه (۱۰) محاسبه می‌گردد.

$$K_{MH2} = \frac{9\alpha_{H2}}{g} \quad (10)$$

g : شتاب گرانش (cm/s^2)

α_{H2} : شتاب افقی در زمین برای سطح خطر-۲ می‌باشد که از جدول ۱۳ با تقسیم پریود طبیعی اول ناشی از تلاطم محتوای مایع محاسبه می‌گردد. (cm/s²)

جدول ۱۳ پریود طبیعی اول مربوط به تلاطم، T و α_{H2}

$T(s)$	α_{H2}
$7.5 \frac{\alpha_d}{\alpha_v}$ و کمتر	$\frac{2\pi}{T} V_H$
$7.5 \frac{\alpha_d}{\alpha_v}$ و بیشتر	$\left(\frac{2\pi}{T}\right)^2 D_H$

T : پریود طبیعی اول ناشی از تلاطم محتوای مایع (s)

V_H : سرعت لزهای افقی در سطح زمین (cm/s)

D_H : دامنه تغییر مکان افقی جنبش زمین در سطح زمین (cm)

α_d : ضریب مربوط به دامنه تغییر مکان افقی جنبش زمین در سطح زمین، برای زلزله MCE می‌باشد. α_d بزرگ‌تر از یک می‌باشد (در اصل برابر با یک در نظر گرفته می‌شود).

σ_{cE2} : تنش فشاری در اثر لنگر واژگونی در ارتفاع \square برای سطح خطر-۲ با شتاب افقی اعمالی برابر با 1g می‌باشد که از رابطه (۱۱) محاسبه می‌گردد.

$$\sigma_{cE2} = K_{MH2} \frac{4(1 - h/H_1)^{1.3} W_2 H_2}{\pi D^2 t} \quad (11)$$

\square_2 : وزن موثر محتوای سیال برای سطح خطر-۲ که از رابطه (۱۲) محاسبه می‌گردد.

$$W_2 = f_2 \times W_L \quad (12)$$

f_2 : نرخ وزن موثر مایع برای سطح خطر-۲ که از شکل ۱، بر حسب مقدار H_1/D_I به دست می‌آید.
 W_L : وزن محتوای سیال (\square)

H_2 : ارتفاع مرکز گرانشی محتوای سیال برای سطح خطر-۲ که از رابطه (۱۳) محاسبه می‌گردد. (\square)

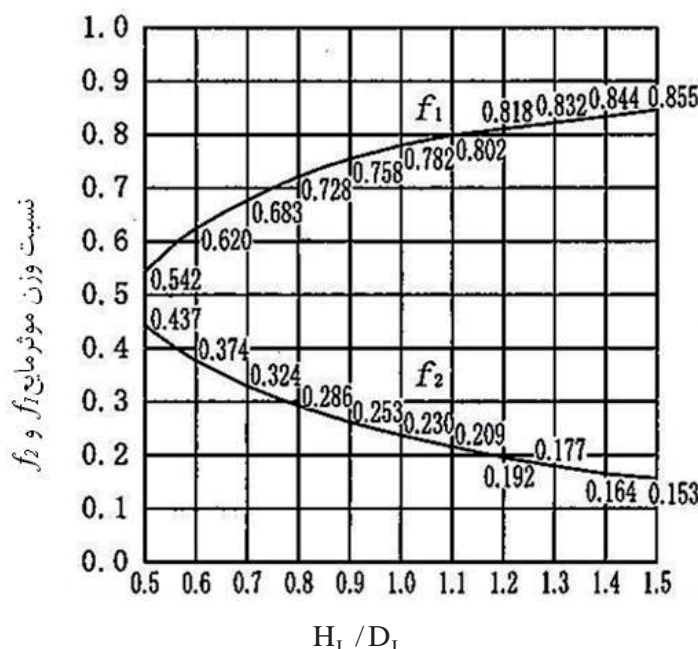
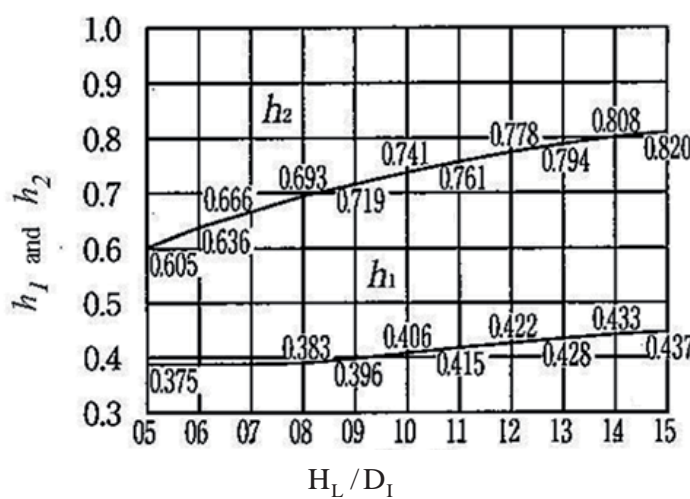
$$H_2 = h_2 \times H_L \quad (13)$$

مقداری که از شکل ۲ به دست می‌آید.

D_I : قطر داخلی ورق کناری (mm)

\square : ضخامت ورق کناری در محل محاسبه تنش (mm)

H_L : ارتفاع بالاترین تراز مایع (mm)

شکل ۱ نسبت وزن مؤثر f_1 و f_2 و H_L / D_I شکل ۲ h_1 و h_2 و H_L / D_I

۲-۱-۱-۲- خریب شکل پذیری مجاز

$$\sigma_0 / S_c \leq 0.2 \quad \text{برای}$$

$$\mu_{pa} = 0.35 \quad \square \quad (14)$$

$$\sigma_0 / S_c > 0.2 \quad \text{برای}$$

$$\mu_{pa} = 0.13 \quad (15)$$

μ_{pa} : خریب شکل پذیری مجاز

σ_0 : تنش فشاری محوری مجاز که از رابطه (۱۶) به دست می‌آید. (N/mm^2)

$$\sigma_0 = \frac{(W_r + W_s) - P_0 \pi R^2}{2 \pi R t} \quad (16)$$

(N) وزن کل ورقهای سقف: W_r

W_s : وزن اعمالی ورق‌های کناری در محل محاسبه تنش (N)

t: ضخامت ورق کناری در محل محاسبه تنش (mm)

(mm : شعاع ورق کناری) R

P_0 : حداقل فشار در حالت بھرہ برداری عادی (MPa)

S_c: از رابطه (۱۷) به دست می آید.

۱-۲-۲- مهار مخزن داخلی

۱-۲-۱-۲- ضریب زلزله تسلیم مربوط به تسلیم کششی

$$K_{yt2} = K_{MH2} \frac{S_{ya} - \sigma_{t0} + \sigma_{c0}}{\sigma_{tE2}} \quad (18)$$

K_{yt2} : ضریب زلزله تسیلیم مربوط به تسیلیم کششی مهار مخزن داخلی برای سطح خطر-۲

σ_t : تنش کششی ناشی از فشار داخلی که از رابطه (۱۹) به دست می‌آید. (N/mm^2)

$$\sigma_{t0} = \frac{\pi D^2 P_0}{4 N A_p} \quad (19)$$

N: تعداد مهارهای مخزن داخلی

(mm²: سطح مقطع مهار مخزن داخلي) A_p

(MPa) : حداکثر فشار عملیاتی P_0

(mm: قطر داخلی ورق کناری) D

σ_c : تنش فشاری ناشی از وزن سازه که از رابطه (۲۰) محاسبه می‌گردد. (N/mm^2)

$$\sigma_{c0} = \frac{W_s + W_r}{NA_p} \quad (24)$$

W_r : وزن کل ورقهای سقف (N)

W_s : وزن ورقهای کناری (N)

σ_t : تنش کششی ناشی از لنگر واژگونی برای سطح خطر-۲ که از رابطه (۲۱) محاسبه می‌گردد. (N/mm^2)

$$\sigma_{tE_2} = K_{MH2} \frac{4W_2H_2}{DNA_p} \quad (21)$$

۱-۲-۲-۳- ضریب شکل‌پذیری مجاز

$$\mu_{pa} = \frac{\pi R q_y}{K_{yt2}^2 (W_{IS} + W_r + W_l) g} \left(\frac{2\pi}{T} \right)^2 \frac{0.617 t_b S_{yb}^2}{E_a P_b} \quad (22)$$

در هر حال در این مورد $0.75 \leq \mu_{pa} \leq 2.5$ قرار می‌گیرد.

W_{IS} : بار کل ورق کناری (N)

W_l : وزن محتوای سیال (N)

g : شتاب گرانش (cm/s²)

T : پریود طبیعی مخزن در اثر ارتعاش موجی شکل ورق کناری (s)

\square : مدول ارتجاعی طولی مهار مخزن داخلی (N/mm²)

\square : فشار اعمالی بر ورق حلقوی (MPa)

R : شعاع ورق کناری (mm)

q_y : مقاومت در برابر تسلیم مخزن داخلی در واحد عرض که از رابطه (23) محاسبه می‌گردد. (N/mm)

$$q_y = \frac{N A S_{ya} - \pi R^2 P_0}{2 \pi R} \quad (23)$$

P_0 : حداقل فشار در حالت عملکرد عادی (MPa)

t_b : ضخامت ورق حلقوی (mm)

S_{yb} : تنش تسلیم ورق حلقوی (N/mm²)

۱-۳-۳- افشانه مخزن داخلی

ارزیابی افشانه مخزن داخلی بر اساس طراحی به روش مقاومت نهایی بايستی با توجه به نیروی اینرسی و تغییرمکان پاسخ انجام شود.

ابتدا تنש ایجاد شده در اثر لنگر خمی، لنگر پیچشی و نیروی محوری اعمالی بر افشانه مخزن داخلی محاسبه شده و سپس کنترل می‌گردد تا از تنش مقاوم مجاز برای طراحی لرزاهاي با توجه به جدول ۱۴ بیشتر نباشد.

جدول ۱۴

تنش مقاوم مجاز برای طراحی لرزاهاي	نوع ضریب تنش	مد خرابی
3S	تنش غشائی مقاوم محلی اولیه + تنش مقاوم خمی اولیه	آسیب‌دیدگی افشانه در اثر جنبش لرزاهاي طرح سطح خطر-۱ و سطح خطر-۲
4S _y	اختلاف بین مقادیر حداقل و حداقل در سیکل مجموع ضریب تنش اولیه و ثانویه در اثر جنبش لرزاهاي طرح	

S: تنش مجاز طراحی لرزاهاي

S_y : نقطه تسلیم یا مقاومت متناظر با کرنش ۰/۰٪ در دمای طراحی مصالح (N/mm²)

۲-۲-۲- مخزن خارجی

رابطه ضریب زلزله تسليیم و ضریب شکل‌پذیری مجاز ورق کناری در مخزن خارجی به موارد زیر بستگی دارد:

۱-۲-۲- ضریب زلزله تسليیم

ضریب زلزله تسليیم مربوط به تنش فشاری در ورق کناری از رابطه (۲۴) محاسبه می‌گردد:

$$\sigma_{cE2} = K_{MH2} \frac{S_c + \sigma_c - \sigma_{cE}}{\sigma_{cE2}} \quad (24)$$

K_{MH2} : ضریب زلزله افقی اصلاح شده طرح

S_c : تنش حد کمانش به دست آمده از رابطه (۲۵)

$$S_c = \frac{Et}{3.125D} \quad (25)$$

E : مدول الاستیسیته طولی مصالح در دمای طراحی (N/mm^2)

t : ضخامت ورق کناری در محل محاسبه تنش (mm)

D : قطر داخلی ورق کناری (mm)

σ_{t0} : تنش کششی محوری متوسط در اثر فشار داخلی که از رابطه (۲۶) محاسبه می‌گردد.

$$\sigma_{t0} = \frac{P_0 D}{4t} \quad (26)$$

σ_c : متوسط تنش فشاری محوری در اثر وزن در محل محاسبه تنش که از رابطه (۲۷) محاسبه می‌گردد.

$$\sigma_{c0} = \frac{(W_r + W_s)}{\pi D t} \quad (27)$$

W_r : بار کل قسمت بام (N)

W_s : وزن اعمالی ورق‌های کناری در محل محاسبه تنش (N)

σ_{cE} : تنش فشاری محوری در محل محاسبه تنش، با اعمال ضریب زلزله افقی اصلاح شده طرح K_{MH} ، و ضریب زلزله قائم

اصلاح شده طرح K_{MV} ، که از رابطه (۲۸) به دست می‌آید.

$$\sigma_{cE2} = K_{MH2} \frac{4(1 - h/H_1)^{1.3} W_2 H_2}{\pi D^2 t} \quad (28)$$

۲-۲-۲-۳- ضریب شکل‌پذیری مجاز

ضریب شکل‌پذیری مجاز مربوط به کمانش ورق‌های کناری مطابق زیر محاسبه می‌گردد:

برای $\sigma_{cr}/\sigma_0 \leq 0.2$

$$\mu_{pa} = 0.35 \quad (29)$$

برای $\sigma_{cr}/\sigma_0 > 0.2$

$$\mu_{pa} = 0.13 \quad (30)$$

μ_{pa} : ضریب شکل‌پذیری مجاز

σ_0 : تنش فشاری محوری مجاز که از رابطه (۳۱) به دست می‌آید (N/mm²).

$$\sigma_0 = \frac{(W_r + W_s)(1 + K_{MV}) - P_0 \pi R^2}{2\pi R t} \quad (31)$$

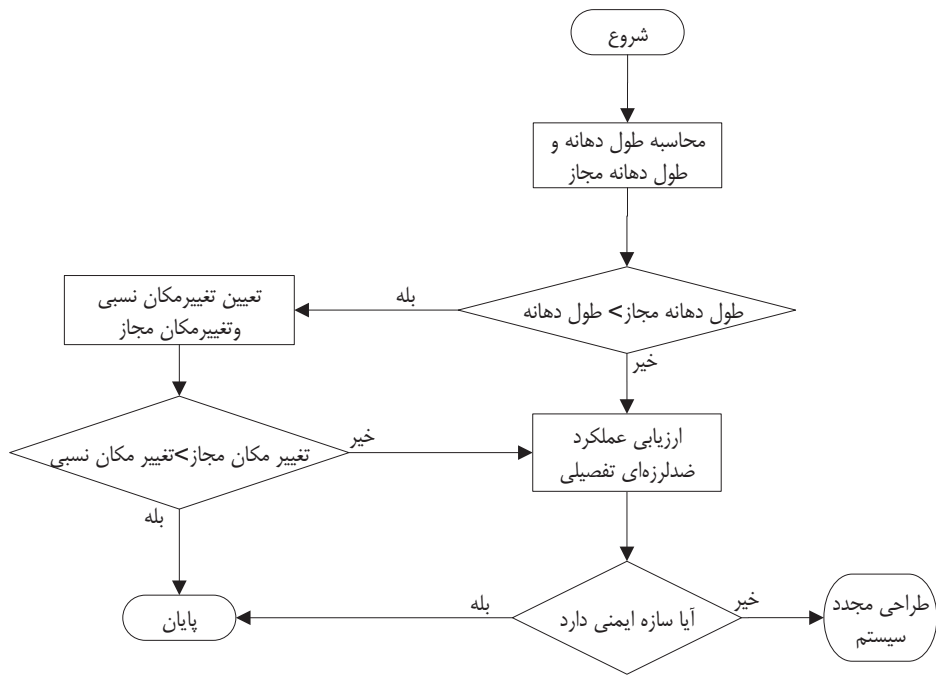
S_c, W_r, W_s, P_0, t : از بند ۱-۳-۲ به دست می‌آید.

R : شعاع ورق کناری (mm)

پیوست ۳

۱-۱-۳- روند روش دهانه مجاز در طراحی لرزه‌ای لوله‌کشی

هرگاه ضریب اهمیت سازه متوسط یا کم باشد از روش دهانه مجاز استفاده می‌شود و اگر ضریب اهمیت زیاد یا خیلی زیاد باشد باید از روش تنش مجاز استفاده شود.

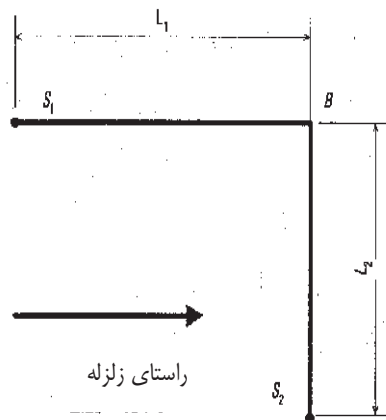


شکل ۳ روند روش دهانه مجاز

۱-۱-۳- روش محاسبه طول دهانه

طول دهانه لوله با قاعده کلی زیر محاسبه می‌شود.

- ۱- هر دهانه لوله در دو راستای افقی و یک راستای قائم زمین لرزه، ارزیابی می‌شود.
- ۲- جهت ارزیابی در یک راستا، طول دهانه لوله بین دو نقطه تکیه‌گاهی برابر با مجموع تصاویر لوله‌های بین آن دو نقطه تکیه‌گاهی در جهت عمود بر زلزله می‌باشد.
- ۳- در قسمت ۲ اگر راستای محور لوله در جهت اصلی زلزله باشد محاسبات در جهت دیگر انجام نمی‌شود.



شکل ۴ دهانه لوله با نقطه تکیه‌گاهی در راستای محور لوله

در مثال شکل ۴، S_1, S_2 نقاط تکیه‌گاهی هستند. چون محور لوله $B - S_1$ هم راستای جهت زلزله است، لازم نیست

طول L_1 در محاسبات طول دهانه لوله اضافه شود و برابر $L_{PS} = L_2$ باشد.

۴- در حالتی که قطر خارجی لوله در دهانه لوله متفاوت باشد، طول دهانه لوله L با استفاده از رابطه (۳۲) محاسبه و تبدیل به بیشترین قطر دهانه لوله می‌شود.

$$L = \ell_p + \ell_1 \sqrt{\frac{d}{d_1}} \quad (32)$$

L : طول دهانه لوله (m)

d : بیشترین قطر خارجی دهانه لوله (mm)

d_1 : قطر خارجی لوله (mm)

ℓ_p : طول لوله‌ای که قطر خارجی آن d است. (m)

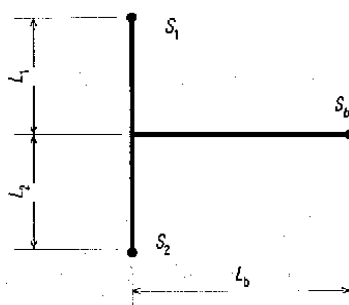
ℓ_1 : طول لوله‌ای که قطر خارجی آن d_1 است. (m)

۵- در حالتی که لوله بیشتر از یک انشعاب داشته باشد:

باید طول دهانه مجاز را بین هر دو تکیه‌گاه بدست آورد. برای شکل ۳، (L_1+L_2) و (L_2+L_b) باید کمتر از

طول دهانه مجاز باشند. در همین شکل در حالتی که قطر انشعاب از نصف قطر لوله اصلی کمتر باشد طول لوله اصلی نیز

باید کمتر از طول دهانه مجاز باشد



شکل ۵ دهانه لوله‌ی دارای انشعاب

۳-۲-۱- روش محاسبه طول دهانه مجاز

طول دهانه مجاز پایه در جدول ۱۵ و ۱۶ نشان داده است. در حالتی که قطر خارجی در جدول موجود نباشد، می‌توان قطر خارجی را از درون بابی بدست آورد. اگر قطر خارجی کمتر از ۴۸/۶ میلیمتر باشد، برابر با ۴۸/۶ و اگر بیشتر از ۶۰/۶ میلیمتر باشد، برابر با ۶۰/۶ در نظر گرفته می‌شود. اگر قطر خارجی بزرگتر از ۱۰۰۰ میلیمتر باشد، این بند قابل اجرا نیست.

جدول ۱۶ طول دهانه مجاز لوله (گاز متراکم)

وزن متمرکز استاندارد W_a (N)	طول دهانه مجاز پایه L_a (m)	قطر خارجی (mm)
۴۰۷	۷/۰	۴۸/۶
۶۰۵	۷/۸	۶۰/۵
۱۱۱۶	۸/۷	۷۶/۳
۱۵۴۵	۹/۵	۸۹/۱
۱۹۸۶	۱۰/۱	۱۰۱/۶
۲۵۳۲	۱۰/۷	۱۱۴/۳
۳۸۰۲	۱۱/۷	۱۳۹/۸
۵۳۷۵	۱۲/۷	۱۶۵/۲
۹۶۲۹	۱۴/۸	۲۱۶/۳
۱۵۲۰۸	۱۶/۴	۲۶۷/۴
۲۲۳۶۱	۱۸/۰	۳۱۸/۵
۲۸۸۵۱	۱۹/۰	۳۵۵/۶
۴۰۳۲۵	۲۰/۳	۴۰۶/۴
۵۳۶۱۲	۲۱/۵	۴۵۷/۲
۶۷۶۳۳	۲۲/۷	۵۰۸
۸۳۵۶۳	۲۳/۸	۵۵۸/۸
۱۰۳۹۴۶	۲۴/۹	۶۰۹/۶

جدول ۱۵ طول دهانه مجاز لوله (گاز مایع)

وزن متمرکز استاندارد W_a (N)	طول دهانه مجاز پایه L_a (mm)	قطر خارجی (mm)
۴۰۷	۶۶۰۰	۴۸/۶
۶۰۵	۷۱۰۰	۶۰/۵
۱۱۱۶	۷۹۰۰	۷۶/۳
۱۵۴۵	۸۶۰۰	۸۹/۱
۱۹۸۶	۹۰۰۰	۱۰۱/۶
۲۵۳۲	۹۵۰۰	۱۱۴/۳
۳۸۰۲	۱۰۲۰۰	۱۳۹/۸
۵۳۷۵	۱۰۸۰۰	۱۶۵/۲
۹۶۲۹	۱۲۲۰۰	۲۱۶/۳
۱۵۲۰۸	۱۳۲۰۰	۲۶۷/۴
۲۲۳۶۱	۱۴۲۰۰	۳۱۸/۵
۲۸۸۵۱	۱۵۰۰۰	۳۵۵/۶
۴۰۳۲۵	۱۶۰۰۰	۴۰۶/۴
۵۳۶۱۲	۱۶۸۰۰	۴۵۷/۲
۶۷۶۳۳	۱۷۶۰۰	۵۰۸
۸۳۵۶۳	۱۸۴۰۰	۵۵۸/۸
۱۰۳۹۴۶	۱۹۱۰۰	۶۰۹/۶

در حالتی که وزن گسترده مصالح عایق حرارتی یا وزن متمرکز شیر اضافه می‌شود، طول دهانه مجاز از ضرب طول دهانه مجاز

پایه نشان داده شده در جداول ۱ و ۲ در ضریب اصلاح وزن گسترده ϕ_d و ضریب اصلاح وزن متمرکز ϕ_c ، محاسبه می‌شود.

۱- در حالتی که وزن گسترده مصالح عایق حرارتی اضافه می‌شود، ضریب اصلاح وزن گسترده ϕ_d از رابطه (۳۳) محاسبه

می‌شود.

$$\phi_d = \left(1 + \frac{\Gamma}{\Gamma_p} \right)^{-0.25} \quad (33)$$

$\Gamma / \Gamma_p \leq 0.5$, $\phi_d = 1.0$ زمانیکه

Γ_p : مجموع وزن طولی لوله و وزن محتويات در هر متر (N/m)

Γ : وزن گسترده مصالح عایق حرارتی در یک متر از طول لوله (N/m)

۲- در حالتی که وزن متمرکز شیرها اضافه می‌شود، ضریب اصلاح وزن متمرکز ϕ_c طبق جدول ۳ محاسبه می‌شود. نرخ اضافه وزن γ_w از رابطه (۳۴) محاسبه می‌شود.

$$\gamma_w = \frac{W_s}{W_a} \left(1 + \frac{\Gamma_p}{\Gamma_a} \right)^{-\frac{3}{4}} \quad (34)$$

γ_w : نرخ اضافه وزن

W_s : وزن متمرکز دهانه (N)

W_a : وزن متمرکز استاندارد (N) برای لوله‌کشی گاز مایع نشان داده شده در جدول ۱۵ و برای لوله‌کشی گاز متراکم نشان داده شده در جدول ۱۶

جدول ۱۶ ضریب اصلاح وزن متمرکز

محدوده نرخ اضافه وزن	ضریب اصلاح وزن متمرکز ϕ_c
$\gamma_w \leq 0.25$	$\phi_c = 1$
$0.25 < \gamma_w \leq 1$	$\phi_c = 1.13 - 0.53\gamma_w$
$1 < \gamma_w$	$\phi_c = 0.636 - 0.036\gamma_w$

۱-۳-۱-۳- روش محاسبه ظرفیت تغییرمکان لوله‌کشی

۱- ظرفیت تغییرمکان لوله‌کشی

ظرفیت تغییرمکان دهانه لوله‌کشی از رابطه (۳۵) محاسبه می‌شود. تغییرمکان نسبی تکیه‌گاهی باید از ظرفیت تغییر مکان مجاز (Δ) کوچکتر باشد.

$$\delta_a = L_{PS} \cdot f_p \quad (35)$$

δ_a : ظرفیت تغییرمکان لوله‌کشی در جهت زلزله (mm)

f_p : ظرفیت تغییرمکان طول لوله‌کشی در هر میلیمتر، مقدار آن از رابطه (۳۶) بدست می‌آید.

$$f_p = C \cdot \epsilon_y \cdot L_{PS} / d \quad (36)$$

C: ثابت تغییرشکل مجاز دهانه لوله‌کشی و برابر با ۰/۶۷ می‌باشد.

d: بیشترین قطر خارجی دهانه لوله (mm)

ϵ_y : کمترین مقدار کرنش تسییم برای دمای طراحی و دمای عادی مصالح لوله‌کشی

۲- ظرفیت تغییرمکان اتصال انبساطی

ظرفیت تغییرمکان دهانه لوله با اتصال انبساطی متناظر با کرنش مجاز قید شده در مشخصات اتصال انبساطی می‌باشد

۳- برای شکل ۳ کنترل بشکل زیر می‌باشد

۱-۳- حالتی که قطر خارجی انشعاب از نصف قطر لوله اصلی بیشتر می‌باشد.

ظرفیت تغییرمکان طول تصویر $(L_j(2b) = (L_2 + L_b)$ و $L_j(1b) = (L_1 + L_b)$)، $L_j(12) = (L_1 + L_2)$ به ترتیب به صورت $S_1 - S_b$ ، $S_1 - S_2$ ، $S_1 - S_3$ فرض شده و تغییرمکان نسبی نقطه تکیه‌گاهی $\Delta(2b)$ و $\Delta(1b)$ فرض می‌شوند. $S_2 - S_b$ به ترتیب به صورت $\Delta(12)$ ، $\Delta(1b)$ و $\Delta(2b)$ فرض می‌شوند. سپس ارزیابی ظرفیت تغییرمکان با تایید روابط $\Delta(1b) \leq \delta_a(2b)$ و $\Delta(12) \leq \delta_a(1b)$ و $\Delta(12) \leq \delta_a(1b)$ انجام می‌شود.

در این شکل، فرض می‌شود جهت زلزله عمود بر راستای کاغذ باشد و S_1 ، S_2 و S_3 نقاط تکیه‌گاهی هستند که راستای عمود بر صفحه را مهار می‌کنند.

۳-۲-۳- در حالتی که قطر خارجی انشعاب برابر یا کمتر از نصف قطر یکی از لوله‌های اصلی است. ارزیابی ظرفیت تغییرمکان با تایید رابطه (۳۷) انجام می‌شود.

$$\frac{\Delta(1b) + \Delta(2b)}{2} + 20 \left(\frac{L_{12}}{L_{PS}} \right) \leq \delta_a(T_b) \quad \text{و} \quad \Delta(12) \leq \delta_a \quad (37)$$

در اینجا، فرض می‌کنیم $\delta_a(T_b) = \delta_a(L_{PS})$ ظرفیت تغییرمکان L_{PS} دهانه مجاز و همچنین L_{12} طول دهانه لوله هستند.

۴-۱-۳- روش محاسبه تغییرمکان نسبی

۱- تغییرمکان نسبی

برای ارزیابی ظرفیت تغییرمکان دهانه لوله، تغییرمکان در راستای زلزله برابر با تغییرمکان سازه تکیه‌گاهی لوله کشی فرض می‌شود که از روش زیر و براساس ارتفاع نقطه تکیه‌گاهی، بدست می‌آید. تغییرمکان نسبی دهانه لوله کشی Δ از رابطه (۳۸) بدست می‌آید.

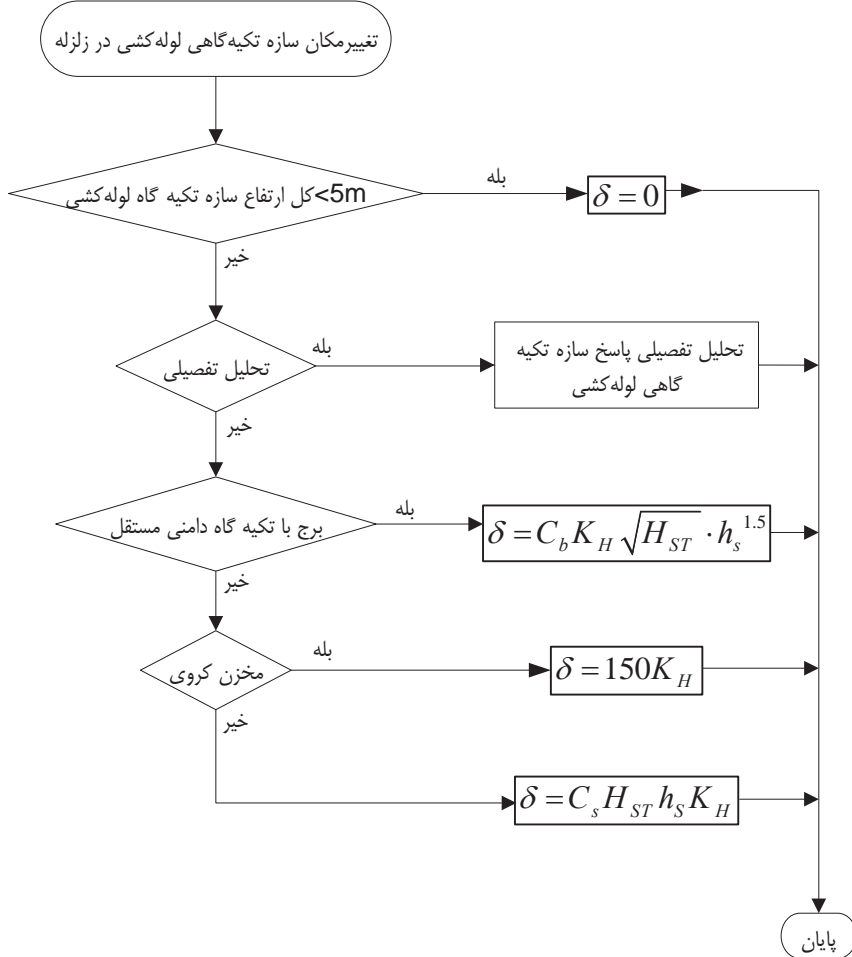
$$\Delta = \delta_1 + \delta_2 \quad (38)$$

Δ : تغییرمکان نسبی دهانه لوله کشی (mm)

δ_1 : تغییرمکان نقطه انتکای ۱ در زلزله (mm)

δ_2 : تغییرمکان نقطه انتکای ۲ در زلزله (mm)

۲- مراحل محاسبه‌ی تغییرمکان سازه تکیه‌گاهی لوله کشی در زلزله مراحل محاسبه در شکل ۴ ارائه شده است.



شکل ۶ مراحل محاسبه تغییرمکان سازه تکیه‌گاهی لوله‌کشی در زلزله

همانطور که در ارزیابی تغییرمکان نشان داده شده است، اگر ارتفاع سازه تکیه‌گاهی لوله‌کشی برابر با ۵ متر یا کمتر باشد، می‌توان از ارزیابی تغییرمکان صرف نظر کرد.

۱-۱- تغییرمکان نقطه اتکای لوله‌کشی برج با تکیه‌گاه دامنی مستقل در هر ارتفاعی در زلزله از رابطه (۳۹) محاسبه می‌شود.

$$\delta = C_b K_H \sqrt{H_{st}} \cdot h_s^{1.5} \quad (39)$$

K_H : شدت لرزه‌ای افقی در تراز زمین با در نظر گرفتن سطح اهمیت سیستم لوله‌کشی

۱: C_b

(m): ارتفاع کل سازه تکیه‌گاهی لوله‌کشی (m)

(m): ارتفاع نقطه اتکای لوله‌کشی (m)

۱-۲- تغییرمکان مخزن کروی در زلزله از رابطه (۴۰) محاسبه می‌شود.

$$\delta = 150 K_H \quad (40)$$

K_H : شدت لرزه‌ای افقی در تراز زمین با در نظر گرفتن سطح اهمیت سیستم لوله‌کشی

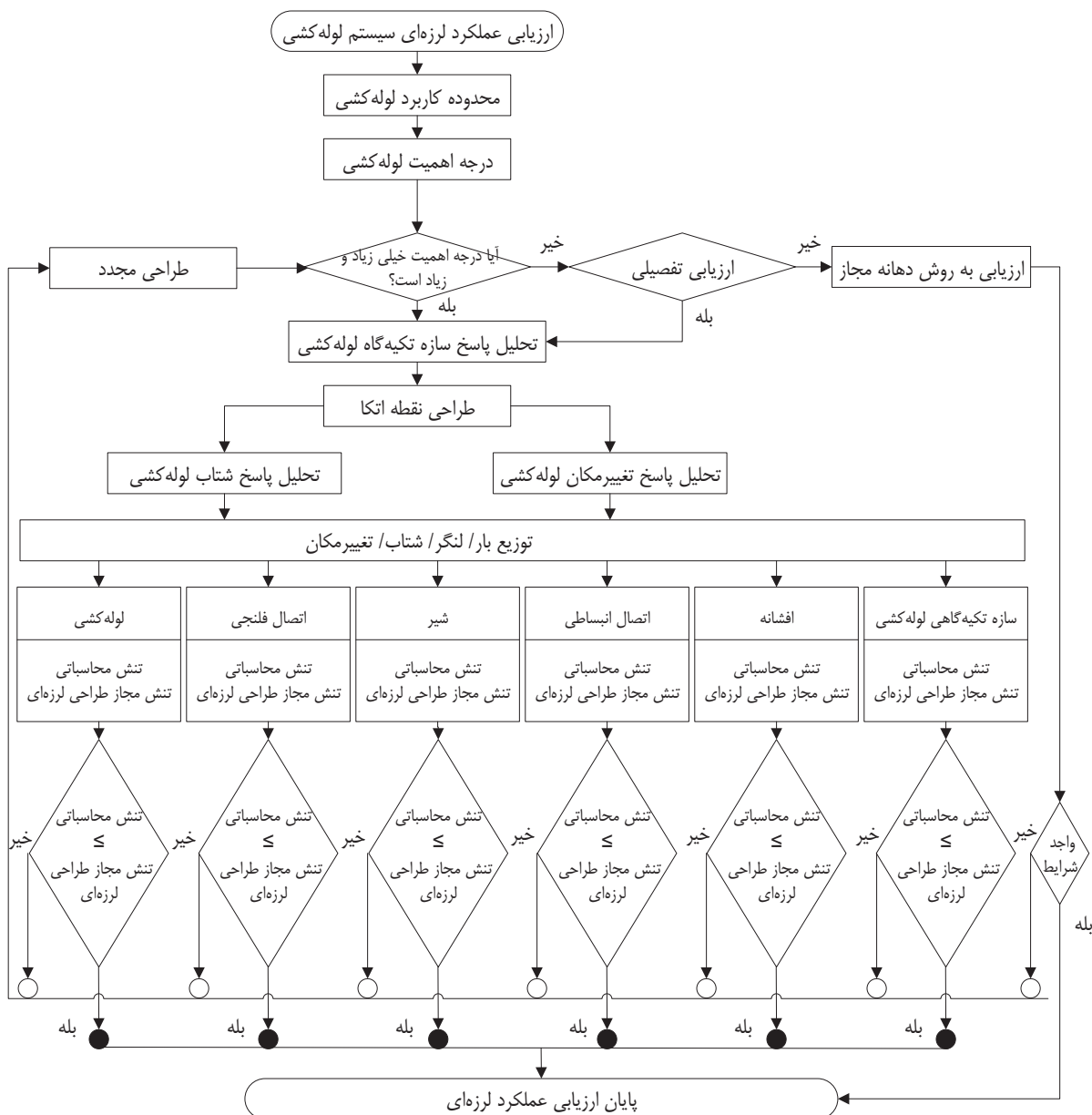
۳-۳- تغییر مکان نقطه اتکای لوله کشی سایر سازه های تکیه گاهی در زلزله در هر ارتفاعی از رابطه (۴۱) محاسبه می شود.

$$\delta = C_S \cdot K_H H_{st} \cdot h_s \quad (41)$$

: شدت لرزه ای افقی در تراز زمین مربوط به اهمیت سیستم لوله کشی

$$\cdot / \gamma : C_S$$

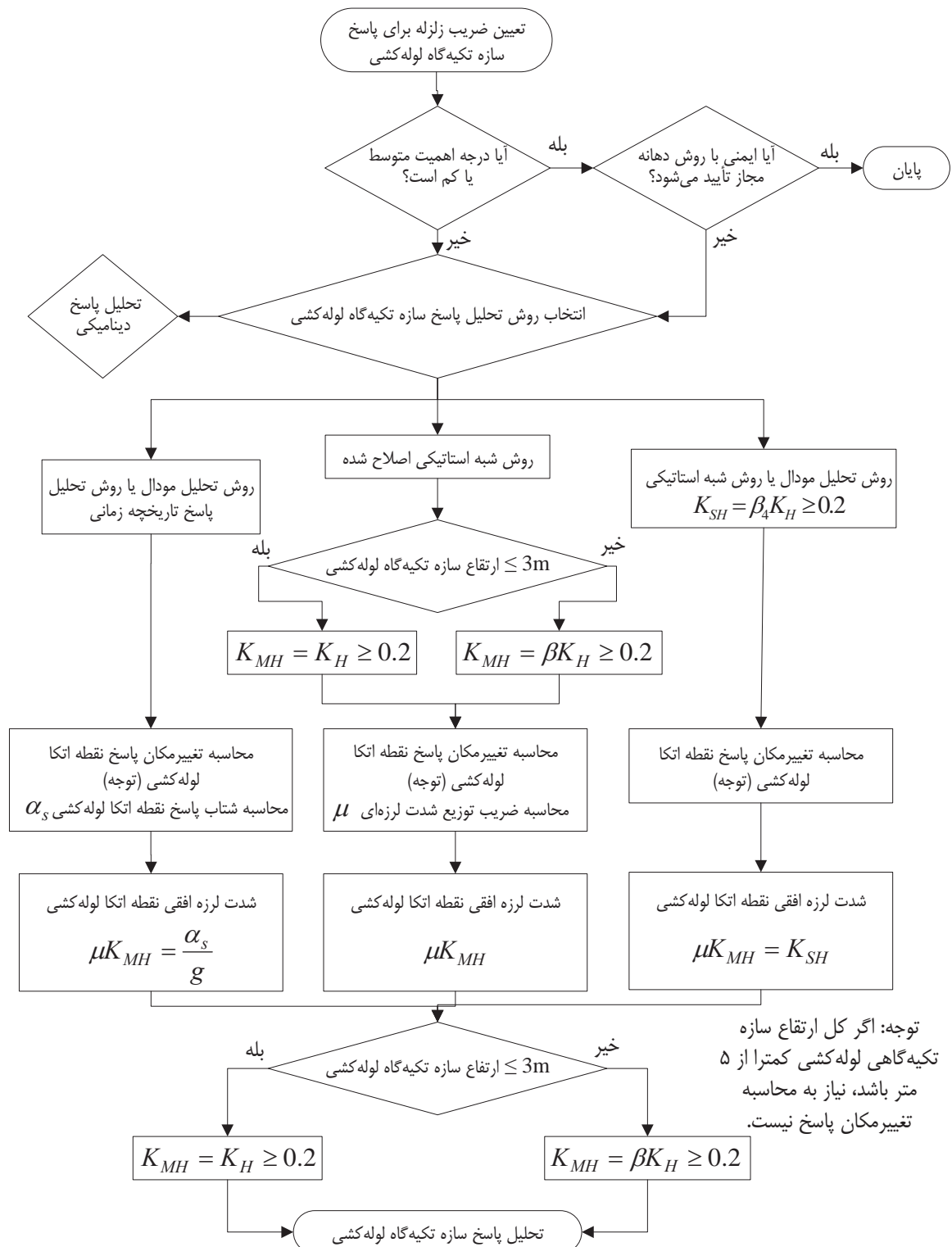
۲-۳- ساختار استاندارد طراحی لرزه ای سیستم لوله کشی



شکل ۷ ساختار استاندارد طراحی لرزه ای سیستم لوله کشی

۳-۳- تحلیل پاسخ سازه تکیه گاه لوله کشی

شکا، ۸ نشان دهنده تحلیلی، پاسخ سازه تکیه گاه لوله کشی، می باشد.



شکل ۸ مراحل طراحی پاسخ سازه تکیه گاهی لوله کشی

۱- درجه اهمیت سازه تکیه‌گاهی لوله‌کشی

در تحلیل پاسخ سازه تکیه‌گاهی لوله‌کشی، درجه اهمیت براساس درجه اهمیت لوله‌کشی مربوطه، شتاب و تغییرمکان پاسخ در نقطه انتکای لوله‌کشی محاسبه می‌شود. ارزیابی عملکرد لرزاهاي سازه تکیه‌گاهی لوله‌کشی براساس بیشترین درجه اهمیت از بین درجه اهمیت تجهیزات و لوله‌کشی مرتبط با سازه تکیه‌گاهی لوله‌کشی انجام می‌شود.

۲- ضریب بزرگنمایی پاسخ افقی به روش شبه استاتیکی

ضریب بزرگنمایی پاسخ افقی، β_4 سازه تکیه‌گاهی لوله‌کشی طراحی شده به روش شبه استاتیکی، براساس ارتفاع H از تراز زمین در جدول ۱۷ ارائه شده است.

جدول ۱۷ بزرگنمایی پاسخ افقی β_4

$H(m)$	β_4
$H(m) \leq 16$	2.0
$16 < H(m) < 35$	$1.04 + 0.06H$
$H(m) \geq 35$	3.14

۳- ضریب بزرگنمایی پاسخ افقی به روش شبه استاتیکی اصلاح شده

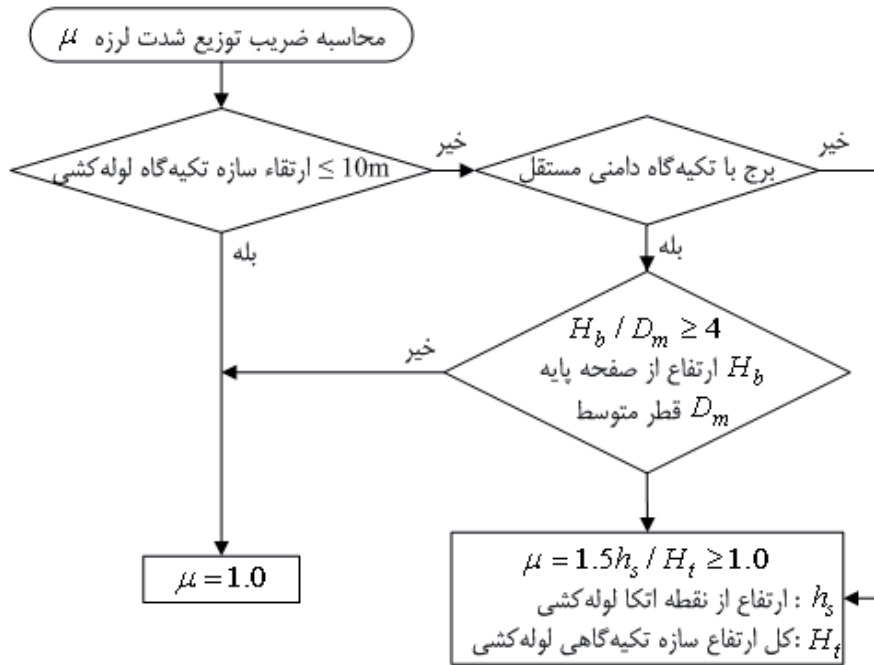
ضریب بزرگنمایی پاسخ افقی سازه تکیه‌گاهی لوله‌کشی، طراحی شده به روش شبه استاتیکی اصلاح شده از ضرب ضریب بزرگنمایی پاسخ استاندارد در ضریب اصلاح بدست می‌آید، که ضریب بزرگنمایی پاسخ استاندارد، براساس پریود طبیعی و نوع زمین در محل سازه تکیه‌گاهی لوله‌کشی، و ضریب اصلاح براساس ضریب میرایی سازه تکیه‌گاهی لوله‌کشی می‌باشد. محاسبات مربوط به این ضریب از راهنمای بارگذاری و تحلیل لرزاهاي شریان‌های حیاتی ایران پیروی می‌کند.

۴- ضریب بزرگنمایی پاسخ قائم

ضریب بزرگنمایی پاسخ قائم در برج با تکیه‌گاه دامنی مستقل، برابر $1/5$ و در سایر سازه‌های تکیه‌گاهی لوله‌کشی برابر ۲ است.

۵- ضریب توزیع شدت لرزاها

زمانیکه تحلیل پاسخ سازه تکیه‌گاهی لوله‌کشی به روش شبه استاتیکی اصلاح شده انجام می‌شود، ضریب توزیع شدت لرزاهاي m براساس نوع و ارتفاع سازه تکیه‌گاهی لوله‌کشی، همانطور که در شکل ۹ نشان داده شده است، محاسبه می‌شود.



علاوه بر این، برای اتكا لوله‌کشی در پوسته‌ی مخزن کروی، چون کل پوسته جایجا می‌شود

h_s : ارتفاع مرکز پوسته (mm)

H_t : ارتفاع تاج بالایی پوسته کروی (mm)

زمانی که $\mu < 1.0$ $\mu = 1.0$

شکل ۹ توزیع شدت لرزه‌ای، در حالتی که سازه تکیه‌گاهی لوله‌کشی به روش ضریب لرزه‌ای اصلاح شده تحلیل می‌شود.

۳-۴- مدل تحلیلی و نیروی لرزه‌ای اصلاح شده طراحی سیستم لوله‌کشی

برای تحلیل پاسخ شتاب و تغییرمکان، مدل تحلیلی سیستم لوله‌کشی براساس قواعد کلی زیر تهیه می‌شود.

۱- مدل تحلیلی سازه تکیه‌گاهی لوله‌کشی براساس مراحل ارزیابی عملکرد لرزه‌ای برجها و مخازن و سازه قابی، تهیه می‌شود.

۲- در مدل تحلیلی لوله‌کشی، لوله مستقیم به صورت المان تیر و لوله منحنی به صورت المان تیر منحنی در نظر گرفته می‌شوند.

۳- در کل، مدلسازی تحلیلی لوله‌کشی بین نقاط گیردار انجام می‌شود. هرچند اگر از نقطه نظر مکانیکی بررسی کنیم، تنها به این نقاط محدود نمی‌شود.

۴- صلبیت المان تیری لوله‌کشی با کم کردن مقدار مجاز خوردگی از ابعاد اسمی، محاسبه می‌شود.

۵- برای محاسبه وزن، مقدار مجاز خوردگی در نظر گرفته نشده و از ابعاد اسمی استفاده می‌شود.

۶- برای محاسبه تنش لوله‌کشی، از مقدار مجاز خوردگی صرف نظر می‌شود.

۳-۵- محاسبه تنش لوله‌کشی

۱- ترکیب بار

برای ارزیابی عملکرد لرزاها، ترکیبات بار لوله‌کشی در جدول ۱۸ استفاده می‌شود.

جدول ۱۸ ترکیب بار در طراحی لرزاها لوله‌کشی

نیروی زلزله		وزن محرک	فشار سیال	نوع بار
تغییرمکان نسبی	نیروی اینرسی			
	<input type="radio"/>	<input type="radio"/>	<input type="radio"/>	تنش طولی σ
<input type="radio"/> سازه تکیه‌گاهی	<input type="radio"/>			محدوده تنش تناوبی σ_E

۲- ضریب انعطاف‌پذیری و ضریب تشدید تنش

برای محاسبه تنش طولی لوله‌کشی و محدوده تنش تناوبی، ضریب انعطاف‌پذیری و ضریب تشدید تنش از جدول ۱۹ بدست می‌آید. هرچند، اگر اطلاعات کافی موجود باشد، به این مقادیر محدود نخواهد بود.

۳- ترکیب تنش‌های ناشی از زلزله در راستاهای مختلف

در ارزیابی تنش محاسباتی، نامساعدترین راستای زلزله به کار برده می‌شود. اگر تعیین نامساعدترین راستای زلزله مشکل باشد، دو راستای افقی به صورت مستقل از هم اعمال می‌شوند.

۴- تغییرمکان نسبی

در حالی که نقاط انکای لوله‌کشی بر روی تکیه‌گاه‌های مختلفی قرار دارند، مقدار تغییرمکان نسبی بین نقاط انکای مختلف باید برای ارتعاش در راستاهای مختلف محاسبه شوند.

۵- نیروی خارجی برای ارزیابی فلنچ و افسانه‌ی تجهیزات

در ارزیابی فلنچ و افسانه‌ی تجهیزات، مجموع قدرمطلق نیروی محوری و ممان مولفه‌های توضیح داده شده در بالا، نیروی خارجی در نظر گرفته می‌شود.

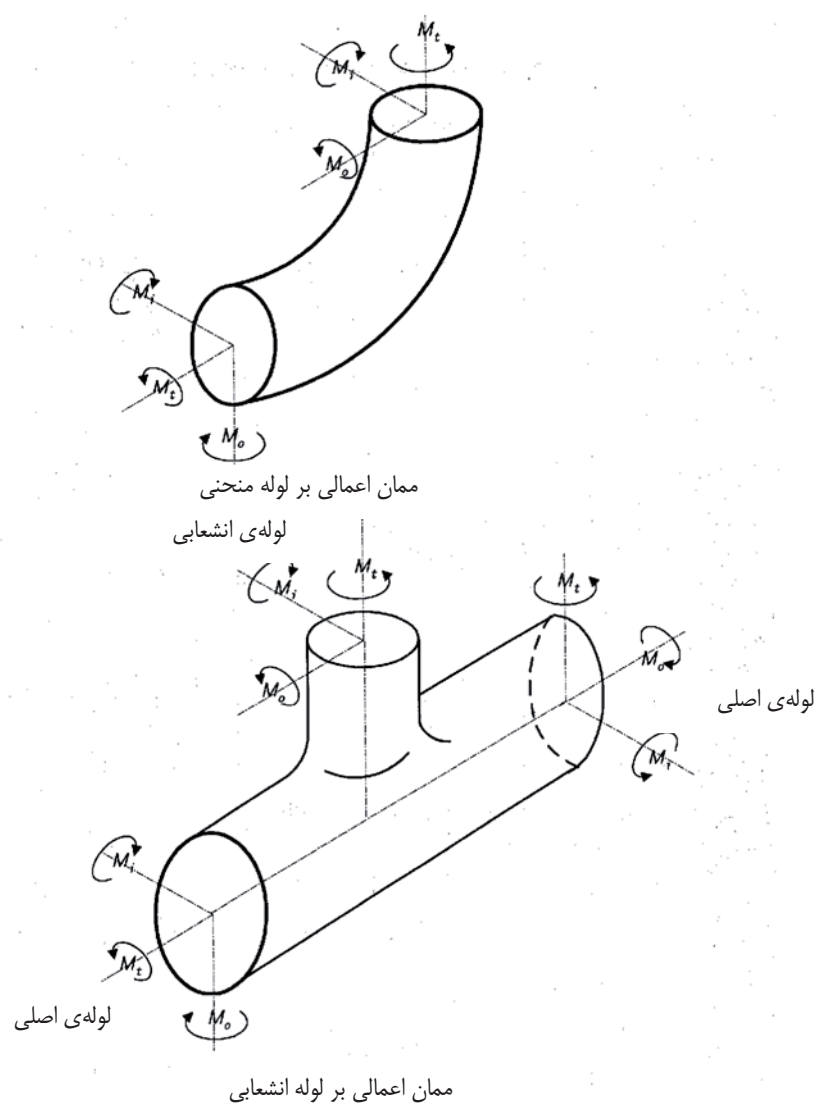
۶- خصوصیات محاسبه تنش

برای محاسبه تنش، مدل الاستیسیته طولی در دمای بهره‌برداری استفاده می‌شود. مقدار مدل الاستیسیته در بند ۳-۴ از متن داده شده است. نسبت پواسون 0.3 مناسب می‌باشد.

۷- توزیع شدت لرزاها در ارتفاع لوله‌کشی

در صورت تغییر شدت لرزاها افقی اصلاح شده طراحی در نقاط انکای لوله‌کشی در ارتفاع، استفاده از توزیع خطی مناسب می‌باشد.

تقریباً متوسط شدت لرزاها افقی اصلاح شده افقی طراحی دو نقطه اتکا در نظر گرفته می‌شود. در صورتی که توزیع آن متمایل به یک طرف باشد، توزیع شدت لرزاها نیاز به دقت بیشتری دارد.



شکل ۱۰ تعریف ممان

جدول ۱۹ ضریب انعطاف پذیری و ضریب تشدید تنش

طرح ساده	مقدار مشخصه انعطاف پذیری h	ضریب تشدید تنش (2) (3)		ضریب انعطاف پذیری k	نوع اتصال
		درون صفحه ای i_i	برون صفحه ای i_o		
	$\frac{\bar{T}R_1}{r_2}$	$\frac{0.9}{h^{2/3}}$	$\frac{0.75}{h^{2/3}}$	$\frac{1.65}{h}$	زنگویی جوش شده یا خم لوله (2)(4)(5) (6)(7)
	$4.4 \frac{\bar{T}}{r_2}$	$\frac{3}{4} i_o + \frac{1}{4}$	$\frac{0.9}{h^{2/3}}$	1	ASME B16.9. لوله T شکل جوش شده $r_x \geq 1/8 Db$ $T_e \geq 1.5 \bar{T}$ (2)(4)(6)(11)(13)
	$\frac{(\bar{T} + 1/2\bar{T}_r)^{2.5}}{\bar{T}^{1.5} r_2}$	$\frac{3}{4} i_o + \frac{1}{4}$	$\frac{0.9}{h^{2/3}}$	1	لوله T شکل مسلح شده با ورق یا زین (2)(4)(8)(12)(13)
	$\frac{\bar{T}}{r_2}$	$\frac{3}{4} i_o + \frac{1}{4}$	$\frac{0.9}{h^{2/3}}$	1	لوله T شکل مسلح نشده (2)(4)(12)(13)
	$\left(1 + \frac{r_x}{r_2}\right) \bar{T}$	$\frac{3}{4} i_o + \frac{1}{4}$	$\frac{0.9}{h^{2/3}}$	1	لوله T شکل جوش شده خروجی $0.05Db = r_x$ $T_e < 1.5 \bar{T}$ (2)(4)(13)
	$4.4 \frac{\bar{T}}{r_2}$	$\frac{3}{4} i_o + \frac{1}{4}$	$\frac{0.9}{h^{2/3}}$	1	اتصال انشعابی جوش شده $r_x \geq 1/8 Db$ $T_e \geq 1.5 \bar{T}$ (2)(4)(11)(13)
	$3.3 \frac{\bar{T}}{r_2}$	$\frac{0.9}{h^{2/3}}$	$\frac{0.9}{h^{2/3}}$	1	اتصال انشعابی جوش شده (نوع یکپارچه مسلح) (2)(4)(9)(12)

مقادیر داخل پرانتز اشاره به نکته های زیر دارد.

جدول ۲۰ ضریب انعطاف پذیری و ضریب تشدید تنش

نوع اتصال	ضریب تشدید تنش k	ضریب انعطاف پذیری i	ضریب تشدید تنش
اتصال لوله از نوع جوشکاری لب به لب ، کاهنده یا فلنج انتهایی لوله با جوشکاری لب به لب	1	1.0	
فلنج لوله با جوش دو طرفه	1	1.2	
اتصال با جوش گوشه یا لوله با فلنج انتهایی با جوشکاری لوپیانی	1	نکته ۱۴	
فلنج با اتصال رویهم (ASMEB16.9 stub end JPI-7S-15) (a)	1	1.6	
اتصال پیچی یا لوله با فلنج پیچی	1	2.3	
لوله مستقیم موجدار یا خم موجدار، نکته ۱۰	5	2.5	

نکته:

۱- زمانیکه داده های مناسبی وجود ندارد از جدول ۱۹ و ۲۰ استفاده می شود. این جدول برای $D/T \geq 100$ معتبر است.

۲- ضریب انعطاف پذیری k ذکر شده در این جدول برای زانویی به کار می رود. ضریب انعطاف پذیری k و ضریب تشدید تنش i، برابر با ۱ یا بیشتر در نظر گرفته می شوند و در مورد پیچ یک در نظر گرفته می شود. هر دو ضریب در خم لوله برای طول موثر اتحنا (به صورت خط پررنگ تر در شکل نشان داده است) و در لوله T شکل در محل تقاطع اعمال می شوند.

۳- هر دو مقدار i_0 و i_1 به عنوان ضریب تشدید تنش واحد محاسبه شده از $h^{-2/3} \times 0.9$ مناسب هستند.

۴- مقدار مشخصه اتحنا h از رابطه ذکر شده محاسبه می شود و مقدار k و i را می توان مستقیماً بدست آورد. که در آن: \bar{T} : برای زانویی، ضخامت اسمی اتصال لوله و برای لوله T شکل، ضخامت اسمی لوله نصب شده (mm)

T_e : ضخامت بخش گوشه ای لوله T شکل (mm)

\bar{T}_t : ضخامت صفحه یا زین (mm)

r_2 : متوسط شعاع لوله نصب شده (mm)

R_1 : شعاع اتحنا زانویی جوش شده یا خم لوله (mm)

R_x : شعاع اتحنا روی سطح خارج از محدوده انشعاب در وجهی که شامل محور لوله مادر و لوله بیرون آمده، است. (mm)

D_b : قطر خارجی لوله بیرون آمده (mm)

۵- وقتی فلنج در قسمتی از لوله یا دو انتهای آن نصب می شود، مقدار مشخصه اتحنا h محاسبه شده، مقدار ضریب C_1 مستقیماً بدست می آید (با استفاده از شکل ۹) و مقادیر h و i جدول براساس این ضریب، اصلاح می شوند.

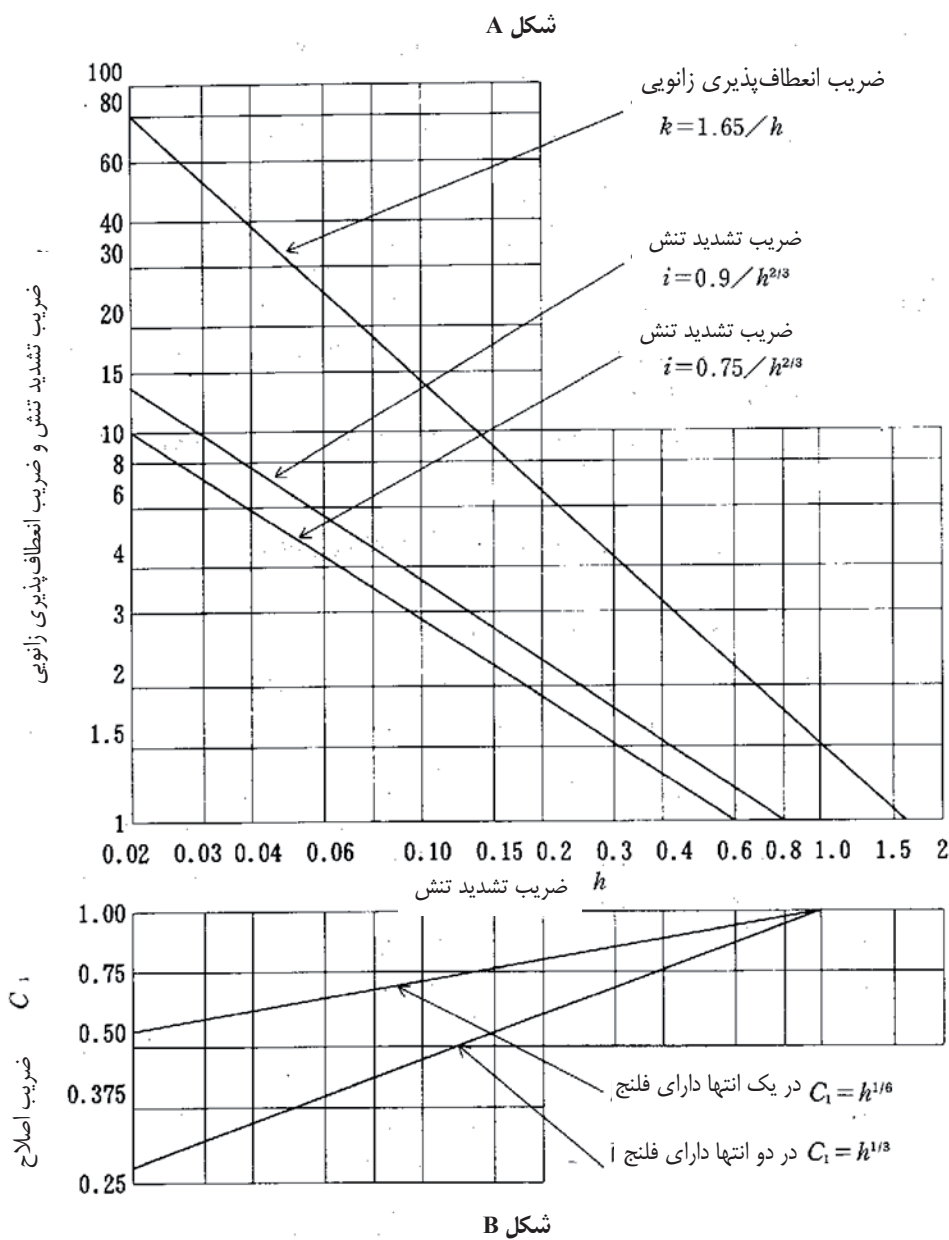
۶- ضخامت اتصال لوله با جوشکاری لب به لب، به طور قابل ملاحظه ای بیشتر از ضخامت لوله نصب شده می باشد. اگر اثر این ضخامت در نظر گرفته نشود، ممکن است خطای زیادی ایجاد شود.

۷- فشار، اثر زیادی بر مقدار k و زانویی و خم لوله با قطر بزرگ و دیوارهای نازک دارد. اصلاح مقادیر جدول با استفاده از رابطه های (۴۲) و (۴۳) انجام می شود. در این دو رابطه E مدول الاستیسیتیه طولی است. (MPa)

$$1 + 6 \left(\frac{P}{E} \right) \left(\frac{r_2}{T} \right)^{2/3} \left(\frac{R_1}{r_2} \right)^{1/3} \text{ تقسیم بر } k \quad (42)$$

$$1 + 3.25 \left(\frac{P}{E} \right) \left(\frac{r_2}{T} \right)^{5/2} \left(\frac{R_1}{r_2} \right)^{2/3} \text{ تقسیم بر } i \quad (43)$$

- ۸- برای $\bar{T}_r > 1.5\bar{T}$ مقدار $h = 4\bar{T}/r_2$ به صورت مقابله می‌شود.
- ۹- فشار استانداردی معادل با لوله مستقیم وارد می‌شود.
- ۱۰- هر دو ضریب برای خم استفاده می‌شوند. ضریب انعطاف‌پذیری پیچ برابر $9/10$ فرض می‌شود.
- ۱۱- مقدار مشخصه خم h در حالتی که داده‌های کافی وجود ندارد و خم در محدوده‌ی مناسب قطر و ضخامت قرار ندارد، برابر با \bar{T}/r_2 می‌باشد.
- ۱۲- برای اتصال انشعابی با قطرهای مختلف، که نسبت قطر بیرونی لوله انشعابی به لوله اصلی در محدوده $1.0 < d/D < 0.5$ است، ضریب تشدید تنش بروون صفحه‌ای S_{IF} ممکن است این نشان می‌دهد که جوشکاری صیقلی، مقدار S_{IF} را کاهش می‌دهد. بنابراین S_{IF} مناسب باید انتخاب شود.
- ۱۳- ضریب تشدید تنش اتصال انشعابی به بدنه‌ای با حداقل قطری دو برابر لوله اصلی در دو طرف لوله خط اصلی، بستگی دارد. لازم است ملاحظات خاصی برای لوله باریک ورودی در نظر گرفته شود.
- ۱۴- حدکثر تا $2/1$ یا کمتر از $2.1\bar{T}/C_x$ ، در نظر گرفته می‌شود ولی باید $1/3$ یا بیشتر باشد. C_x در اینجا نشان‌دهنده‌ی پایه‌ی جوش گوش می‌باشد. برای طول پایه مقدار کوتاهتری فرض می‌شود.



شکل ۹ ضریب انعطاف‌پذیری و ضریب تشدید تنش

۶-۳- تنش مجاز طراحی لرزه‌ای لوله‌کشی

مقدارتنش مجاز طراحی لرزه‌ای لوله‌کشی بر اساس نوع تنش در جدول ۲۱ آورده شده است.

جدول ۲۱ تنש مجاز طراحی لرزه‌ای لوله‌کشی

تنش مجاز طراحی لرزه‌ای	نوع تنش
S	تنش طولی
2S _y	محدوده تنش تناوبی

S : تنش مجاز برای طراحی لردهای مصالح تحت فشار می‌باشد

S_y : مقاومت تسليیم یا مقاومت معادل تسليیم با استفاده از کرنش 0.2% مصالح

جدول ۲۲ تنش مجاز طراحی لردهای براساس نوع مصالح

S	نوع مصالح
$S = \min\{0.6S_u, 0.9S_y\}$	(a) مصالح با آلیاژ آلومینیوم و مصالح فولادی با 9% نیکل برای دماهای پایین کمتر از دمای اتاق
$S = \min\{0.6S_{u0}, 0.6S_u, 0.9S_{y0}, S_y\}$	(b) مصالح فولادی ضد زنگ استینلس و مصالح فولادی با آلیاژ بالای نیکل، استفاده شده در دمایی بالاتر از دمای اتاق
$S = \min\{0.6S_{u0}, 0.6S_u, 0.9S_{y0}, S_y\}$	(c) مصالحی به غیر از بند (a) و (b)

S_u و S_{u0} : مقاومت کششی در دمای طراحی و عادی مصالح که مقدار آن چهار برابر تنش کششی مجاز است.

S_y و S_{y0} : مقاومت تسليیم یا مقاومت معادل تسليیم با استفاده از کرنش 0.2% مصالح

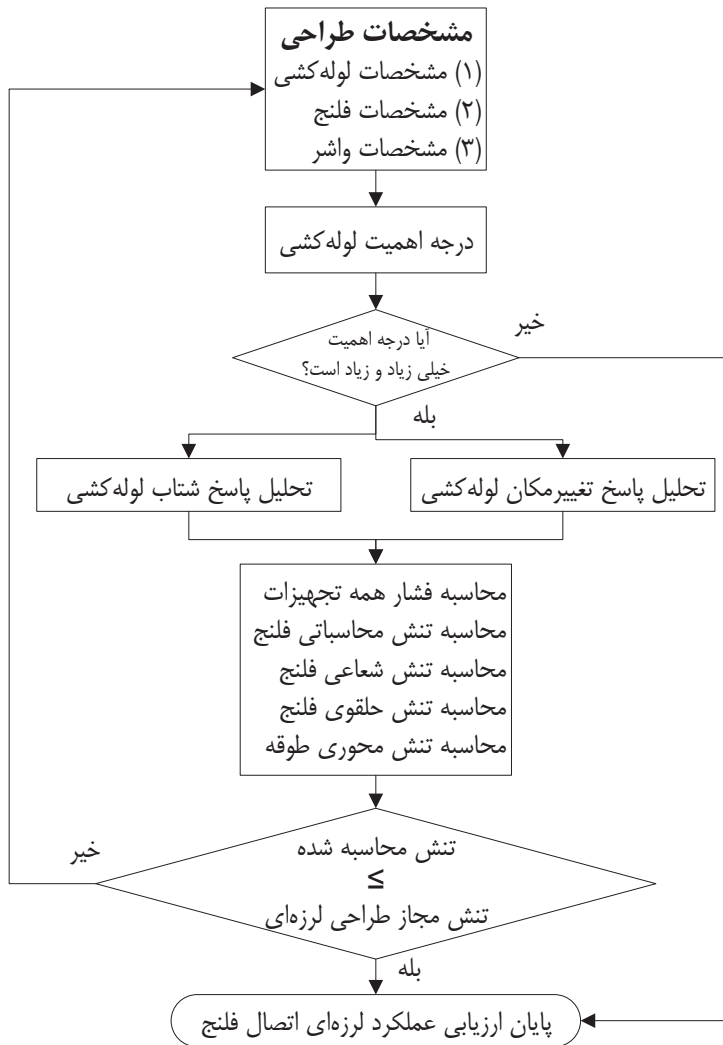
۳-۷-۳- مراحل ارزیابی عملکرد لردهای اتصال فلنجی

۱- مراحل ارزیابی عملکرد لردهای

مراحل ارزیابی عملکرد لردهای اتصال فلنجی در شکل ۱۰ نشان داده می‌شود.

۲- تنش مجاز طراحی لردهای

تنش مجاز طراحی لردهای براساس نوع تنش با استفاده از جدول ۲۳ تعیین می‌شود.



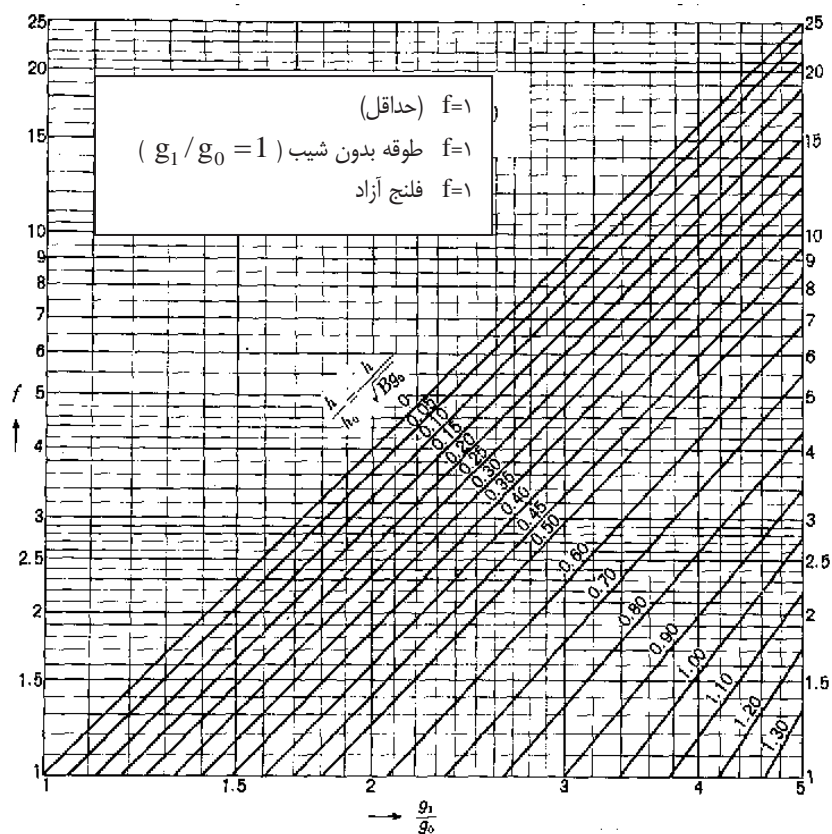
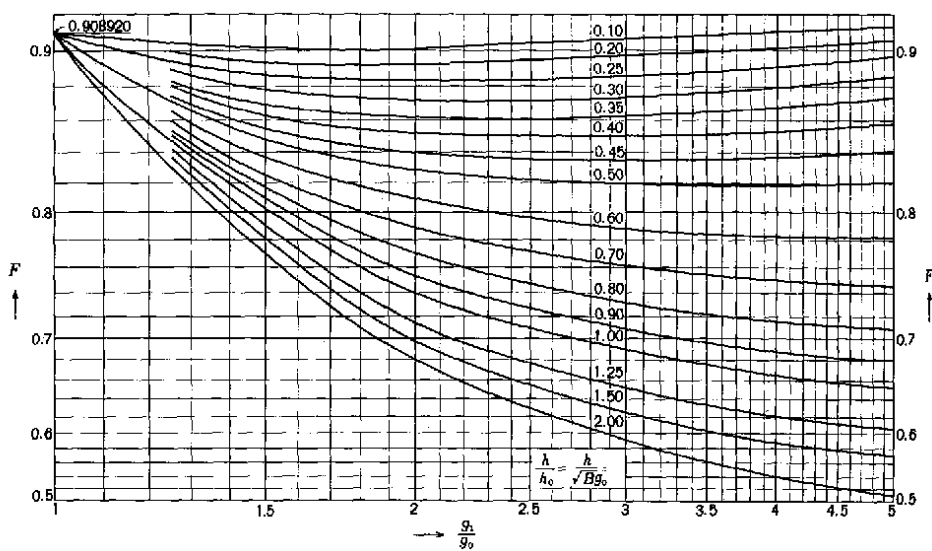
شکل ۱۱ مراحل ارزیابی عملکرد لرزه‌ای اتصال فلنجی

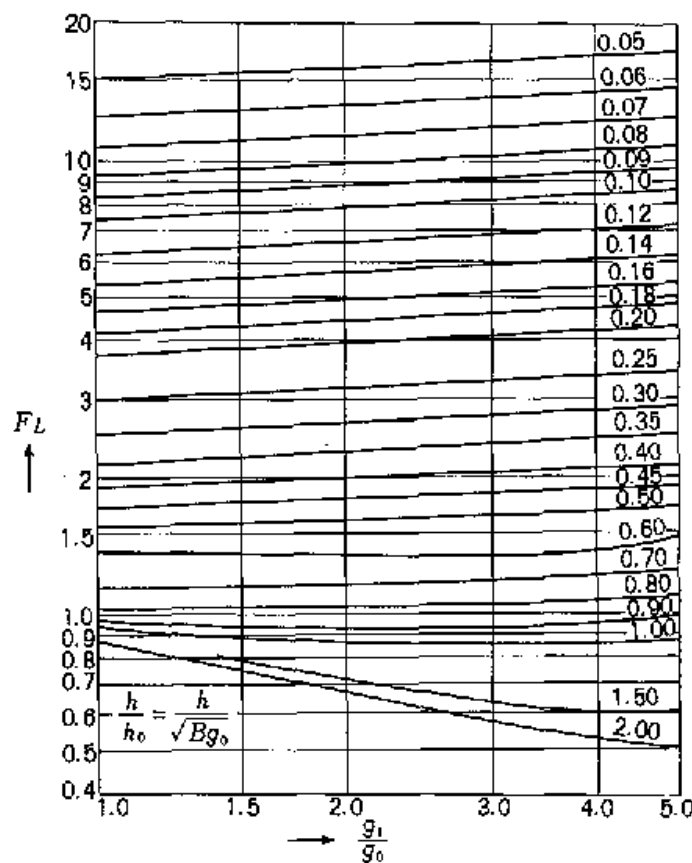
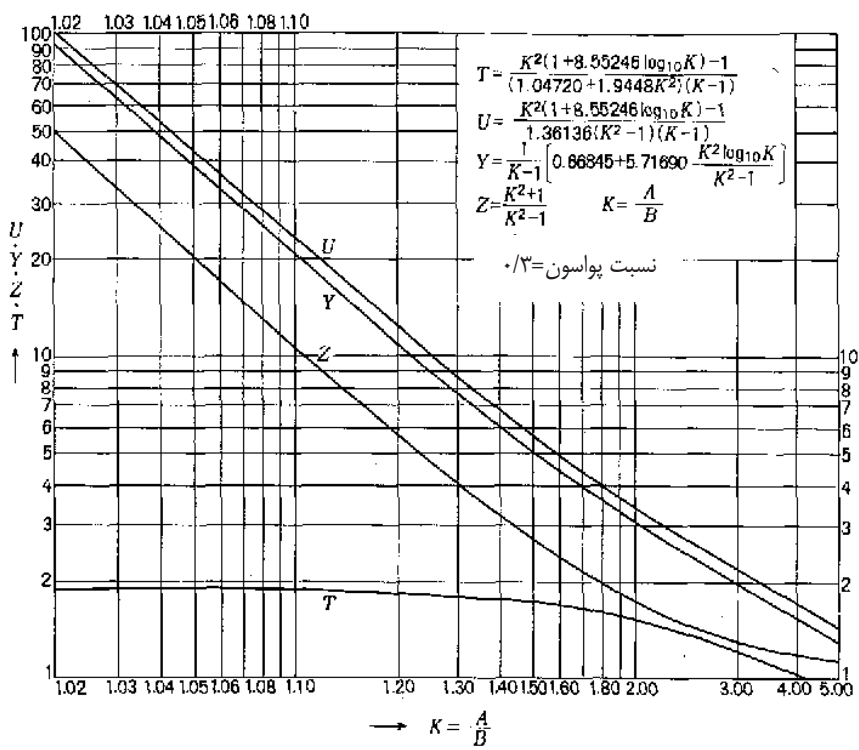
جدول ۲۳ تنش مجاز طراحی لرزه‌ای اتصال فلنجی

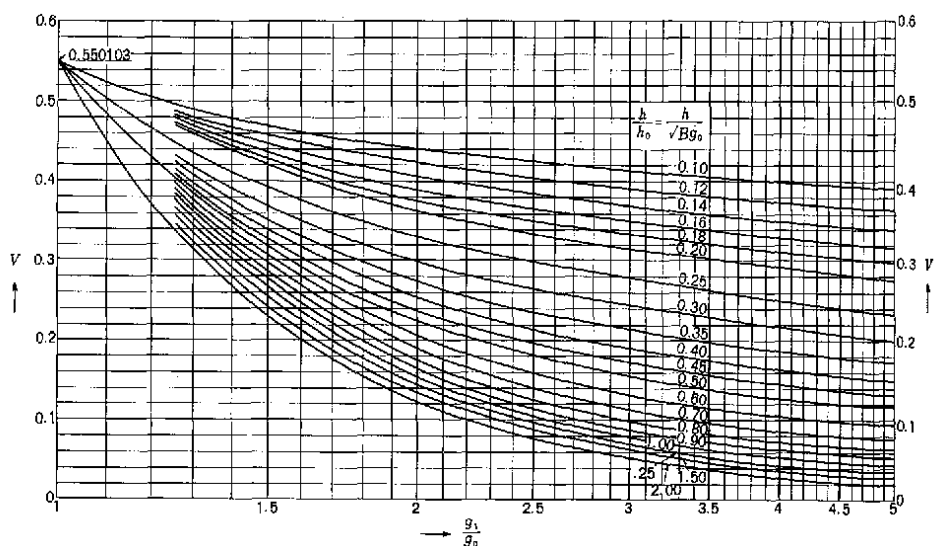
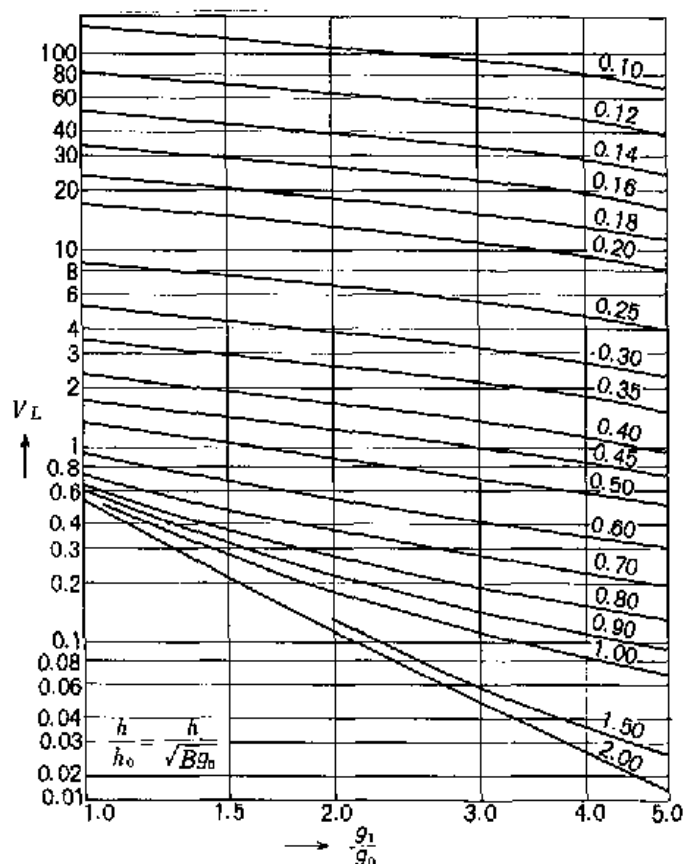
تنش مجاز طراحی لرزه‌ای	نوع تنش
S	تنش ساعی فلنج
S	تنش حلقوی فلنج
$2S_y$	تنش محوری طوقه

S و S_y در بخش ۳-۴ توضیح داده شده‌اند.

- پارامترهای محاسبه تنش

شکل ۱۲ مقدار پارامتر f شکل ۱۳ مقدار پارامتر F

شکل ۱۴ مقدار پارامتر F_L شکل ۱۵ مقدار پارامتر U ، Y ، Z و T

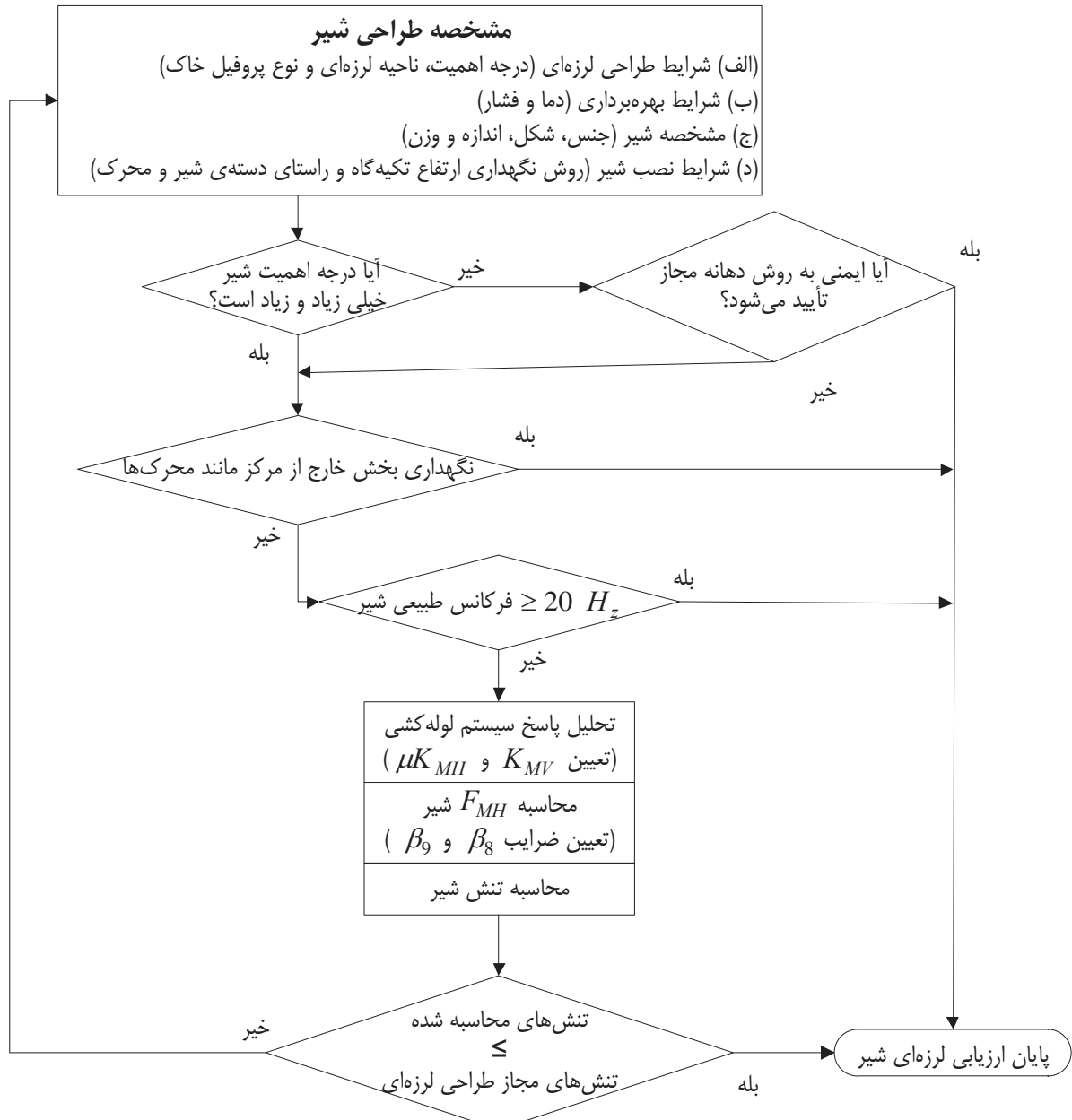
شکل ۱۶ مقدار پارامتر V شکل ۱۷ مقدار پارامتر V_L

۳-۸- ارزیابی لرزه‌ای شیر

یک شیر معمولی مانند شیر دستی در اثر شتاب زلزله دچار تشدید نمی‌شود، چون فرکанс طبیعی آنها بسیار بالاست. در زلزله‌های با فرکанс طبیعی، نیروی اینرسی بزرگی در محرک با وزن زیاد و مرکز ثقل نسبتاً دور از شیر لوله‌کشی، ایجاد می‌گردد. سپس، عملکرد لرزه‌ای با محاسبه‌ی تنش در ضعیف‌ترین بخش بین بدنه اصلی شیر و قسمت‌های وزنی در خارج از مرکز لوله‌کشی، برای نیروی اینرسی ناشی از زمین‌لرزه مانند شیری که فرکанс طبیعی آن کمتر از ۲۰ هرتز است، ارزیابی می‌شود. در صورتی که مقاومت تأمین شده باشد، عملکرد قطع شیر نیز ایمن خواهد بود.

۱- مراحل ارزیابی عملکرد لرزه‌ای

شکل ۱۸ مراحل ارزیابی عملکرد لرزه‌ای شیر را نشان می‌دهد.



شکل ۱۸ مراحل ارزیابی عملکرد لرزه‌ای شیر

۳- تنش مجاز طراحی لرزه‌ای

تنش مجاز طراحی لرزه‌ای در جدول ۲۴ براساس نوع شیر بیان شده است.

جدول ۲۴ تنش مجاز طراحی لرزه‌ای شیر

تنش مجاز طراحی لرزه‌ای	نوع شیر
0.5S	شیر قطع در هنگام زلزله
S	سایر شیرها

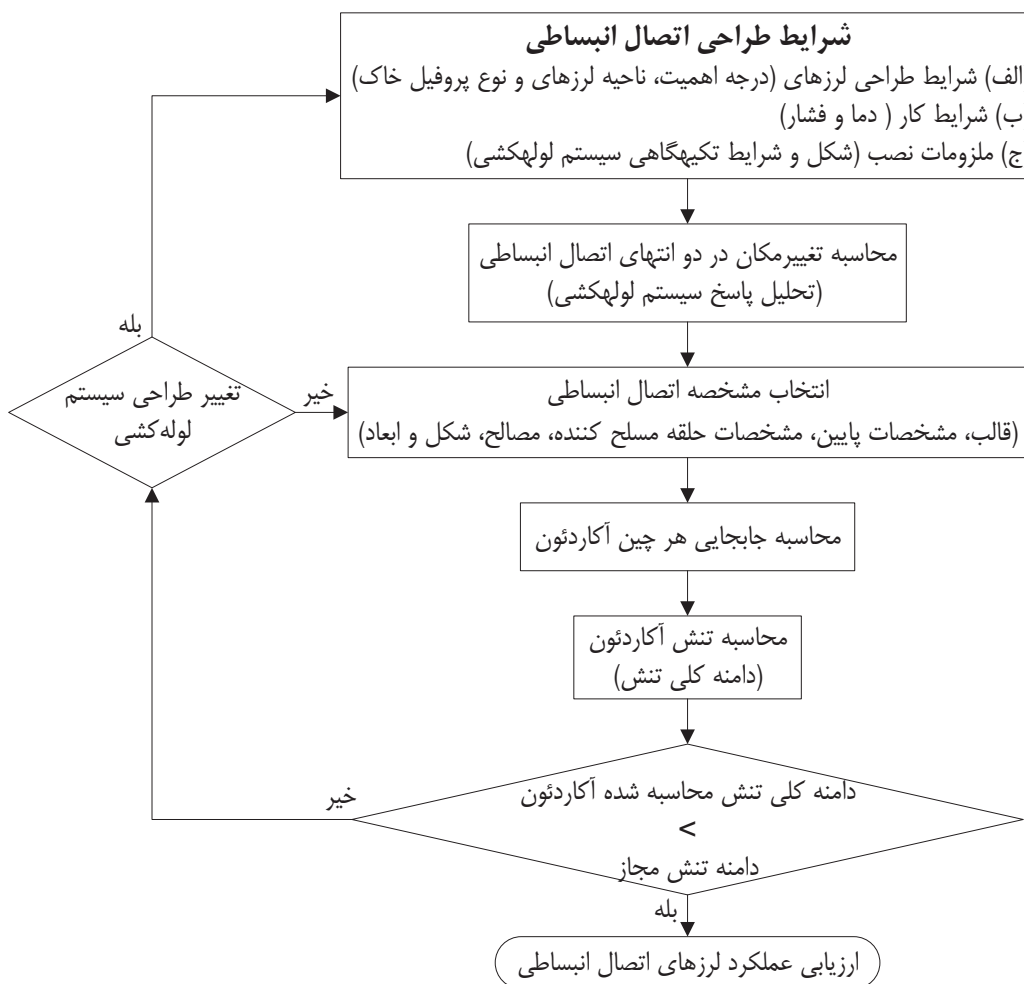
در اینجا S مقداری است که در قسمت ۳-۴ داده شده است.

۹-۳- روشهای ارزیابی اتصال انساطی

در حالتی که اتصال انساطی برای بهبود عملکرد لرزه‌ای سیستم لوله‌کشی استفاده می‌شود، باید توجه داشت که نوع مناسبی از اتصال، در موقعیت مناسب نصب شده و تکیه‌گاه در وضعیت مناسبی باشد. ارزیابی عملکرد لرزه‌ای اتصال انساطی به این صورت انجام می‌شود که دامنه حداکثر تنش محوری باید کمتر از دامنه کل تنש مجاز متناظر با ۵۰۰ بار تعداد تناوب‌های طراحی، باشد.

۱- مراحل ارزیابی عملکرد لرزه‌ای

شکل ۱۹ مراحل ارزیابی عملکرد لرزه‌ای اتصال انساطی را نشان می‌دهد.



شکل ۱۹ مراحل ارزیابی عملکرد لرزه‌ای اتصال انساطی

۲- تنش مجاز طراحی لرزه‌ای

تنش مجاز طراحی لرزه‌ای برای تنش محوری ایجاد شده در آکاردئون اتصال انساطی برابر مقدار زیر است، چون مقدار آن دو برابر دامنه تنش مجاز متناظر با ۵۰۰ بار تناوب می‌باشد.

۱-۱- تنش مجاز طراحی لرزه‌ای برای تنش محوری ایجاد شده در چین اتصال انساطی از جنس فولاد سخت، فولاد

آلیاژ پایین، فولاد ضدزنگ فریت و فولاد با قابلیت کششی بالا، برابر مقدار زیر است.

الف) اگر کمترین مقاومت کششی برابر $S_a = 2 \times 724 = 1448 \text{ MPa}$ یا کمتر باشد.

ب) اگر کمترین مقاومت کششی بین $S_a = 2 \times 689 = 1378 \text{ MPa}$ و $792.9 - 896.3 \text{ MPa}$ باشد.

ج) اگر کمترین مقاومت کششی بین $551.6 - 792.9 \text{ MPa}$ باشد، با استفاده از روش درون‌یابی از مقادیر بند

الف) و ب) محاسبه می‌شود.

۴- ۲- برای تنش محوری آکاردئون اتصال انساطی ساخته شده از فولاد ضدزنگ، آلیاژ نیکل (آلیاژ Ni-Cr-fe)

آلیاژ نیکل مس، تنش مجاز طراحی لرزه‌ای برابر $S_a = 2 \times 1020 = 2040 \text{ MPa}$ می‌باشد.

۳-۱۰- روش ارزیابی لرزه‌ای افشاره برج‌ها و مخازن

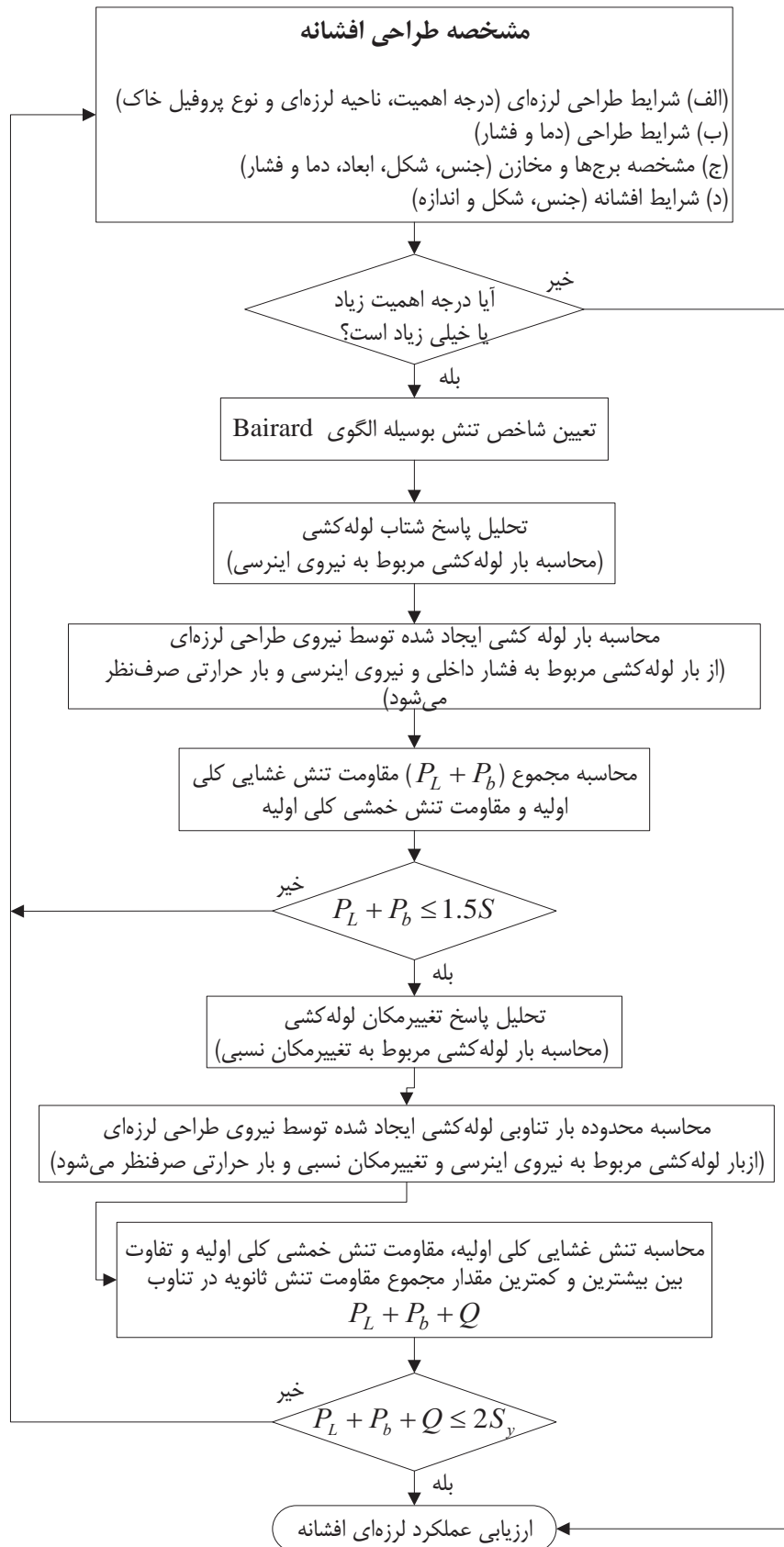
۱- مراحل ارزیابی عملکرد لرزه‌ای افشاره

۱-۱- ارزیابی عملکرد لرزه‌ای افشاره برج‌ها و مخازن به این صورت انجام می‌شود که مقاومت اولیه تنش محلی و اختلاف بین مقدار حداقل و حداکثر مجموع مقاومت تنش اولیه و تنش ثانویه در یک سیکل باید به ترتیب کمتر از مقاومت تنش مجاز طراحی لرزه‌ای باشند.

۱-۲- شدت تنش افشاره برج‌ها و مخازن متصل به سیستم لوله‌کشی با درجه اهمیت بالا براساس نیروی لرزه‌ای افقی طراحی لوله‌کشی، نیروی لرزه‌ای قائم طراحی و بار مربوط به جابجایی نقطه اتكای لوله، محاسبه می‌شود.

۱-۳- ارزیابی عملکرد لرزه‌ای افشاره برج‌ها و مخازن نشان داده شده در شکل ۲۰ با یک تکنیک ساده براساس روش انجام می‌شود. تحلیل تفصیلی به روش اجزای محدود دارای مراحل مشابهی می‌باشد.

۱-۴- مطالعه مقاومت محفظه تحت فشار با یک تکنیک ساده (روش Bairard) براساس تئوری پوسته نازک یا تحلیل تفصیلی مانند روش اجزای محدود (FEM) نشان داده شده در جدول ۲۵، انجام می‌شود.



شكل ۲۰ مراحل ارزیابی عملکرد لرزاهاي افسانه برجها و مخازن

جدول ۲۵ روش محاسبه افشانه برج‌ها و مخازن

افشانه	استاندارد و تکنیک تحلیلی
محفظه فشار	(۱)- WRC107-1979 (انجمن تحقیقات جوش) / "تشهای محلی در پوسته‌های استوانه‌ای و کروی ناشی از بارگذاری خارجی" (بر اساس تئوری پوسته جدار نازک Baird روشن)
	(۲)- WRC297-1987 / "تشهای محلی در پوسته‌های استوانه‌ای ناشی از بارگذاری خارجی بر افشانه‌ها" (تکنیکی ساده براساس تحلیل روش اجزای محدود FEM)
	(۳)- تحلیل به روشن FEM

۲- شدت تنش مجاز برای طراحی لرزه‌ای

شدت تنش مجاز طراحی لرزه‌ای افشانه برج‌ها و مخازن براساس نوع تنش در جدول ۲۶ ارائه شده است.

جدول ۲۶ شدت تنش مجاز طراحی لرزه‌ای افشانه برج‌ها و مخازن

شدت تنش مجاز طراحی لرزه‌ای	نوع شدت تنش
S	شدت تنش غشایی کلی اولیه
1.5S	شدت تنش غشایی محلی اولیه و شدت تنش خمشی اولیه
2S _y	شدت تنش غشایی محلی اولیه، شدت تنش خمشی اولیه و تفاوت بین مقدار حداقل و حداکثر مجموع مقاومت تش ثانویه در یک سیکل

در اینجا S و S_y مقادیر نشان داده شده در بخش ۳-۴ هستند.

۱۱-۳- ارزیابی عملکرد لرزه‌ای تکیه‌گاه لوله

۱- عملکرد لرزه‌ای تکیه‌گاه لوله

مراحل ارزیابی عملکرد لرزه‌ای تکیه‌گاه لوله که سیستم لوله‌کشی را نگه‌می‌دارد در شکل ۲۱ نشان داده شده است.

۱-۱- کارکرد تکیه‌گاه لوله (از این پس "کارکرد تکیه‌گاه" نامیده می‌شود).

ثبت نگهدارشتن لوله‌کشی است. همه اثرات زلزله از طریق تکیه‌گاه بر لوله‌کشی وارد شده و زمین‌لرزه به نقاط اتکای

لوله وارد می‌شود. اثرات زلزله بر لوله‌کشی را می‌توان با آرایش مناسب تکیه‌گاه کاهش داد.

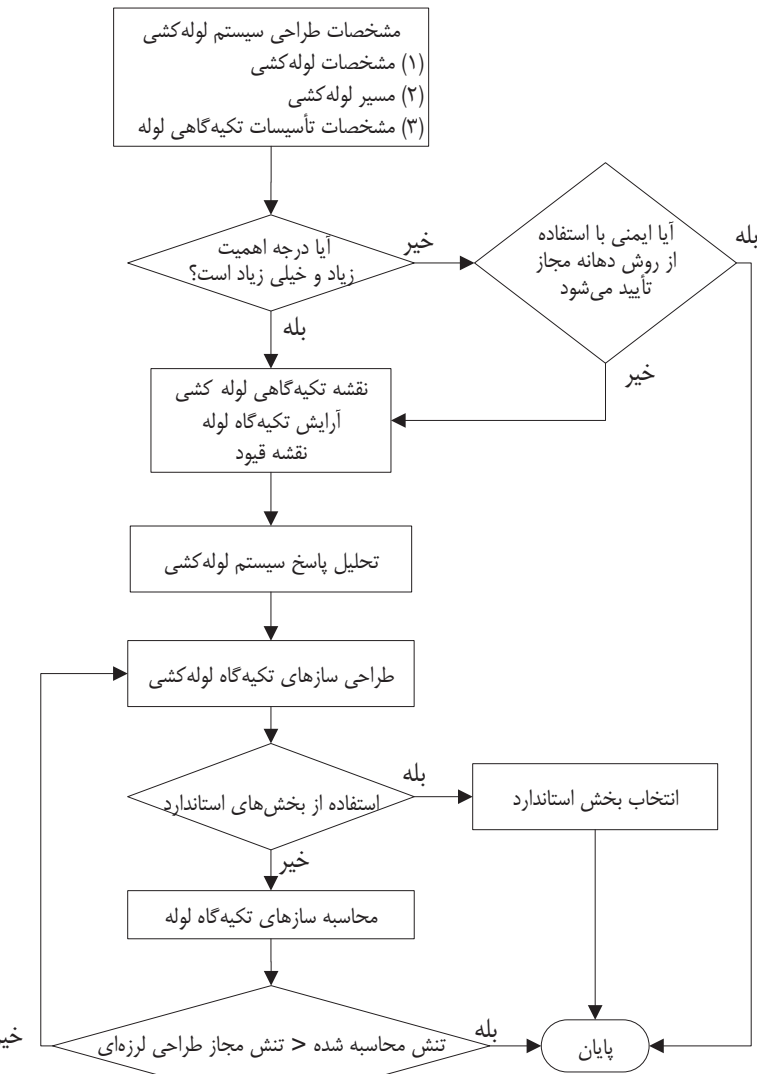
۱-۲- نقشه تکیه‌گاه لوله‌کشی

نقشه تکیه‌گاه لوله‌کشی برای تعیین مشخصات طراحی مسیر اتصال لوله‌کشی به برج‌ها و مخازن آماده می‌شود.

در نقشه تکیه‌گاه لوله‌کشی، لوله‌کشی و قیود تکیه‌گاه مشخص می‌شود و اجزاء تعییرمکان و تعییرمکان حرارتی آزاد

سازه تکیه‌گاهی لوله‌کشی دراثر همزمان زمین لرزه و نیروی خارجی بار لرزه‌ای، وزن مرده و بارگذاری باد، تعیین

می‌شود.



شکل ۲۱ مراحل ارزیابی عملکرد لرزه‌ای تکیه گاه لوله

۱-۳- تحلیل پاسخ سیستم لوله کشی

در صورت تأیید ارزیابی‌های عملکرد لرزه‌ای اجزایی از قبیل لوله کشی، اتصالات فلنجی و شیرها، بعد از انجام تحلیل پاسخ سیستم لوله کشی براساس نقشه تکیه گاه لوله کشی، شرایط بارگذاری تکیه گاه لوله از تحلیل پاسخ براساس شرایط طراحی تکیه گاه لوله مربوطه، بدست می‌آید.

۱-۴- نقشه سازه‌ای تکیه گاه

تحلیل پاسخ سیستم لوله کشی براساس نقشه تکیه گاه مربوطه و شکل و ابعاد تکیه گاه لوله انجام می‌شود.

۱-۵- ارزیابی عملکرد لرزه‌ای تکیه گاه

ارزیابی عملکرد لرزه‌ای تکیه گاه لوله به این صورت انجام می‌شود که تنش محاسباتی فرض شده در قسمت ۴ باید کمتر از تنش مجاز طراحی لرزه‌ای باشد.

۱-۶- ارزیابی ساده شده

اگر درجه اهمیت لوله کشی پایین بوده و طراحی به روش دهانه مجاز انجام شده باشد، ارزیابی عملکرد لرزاها را می‌توان حذف کرد.

۱- تکیه‌گاه استاندارد

اگر تکیه‌گاه لوله‌ای مورد استفاده قرار گیرد که ضد زلزله بودن آن قبلاً تأیید شده باشد و شرایط بارگذاری تکیه‌گاه لوله کمتر از محدوده بار تکیه‌گاه لوله استاندارد باشد، ارزیابی عملکرد لرزاها طبق بند ۴ در بالا قابل چشم پوشی است.

۲- عملکرد و نوع تکیه‌گاه

تکیه‌گاه لوله در مهار تغییر مکان لوله کشی در نقطه اتکای لوله یا نقطه گیردار تعریف شده در جدول ۲۷، سهیم می‌باشد.

جدول ۲۷ عملکرد و تعاریف تفصیلی تکیه‌گاه لوله

طبقه‌بندی		طبقه‌بندی کوچکتر		تعریف تفصیلی
نام	عملکرد	نام	عملکرد	
جهت‌گذندها	بار لوله‌کشی در زلزله یا جایجایی لوله‌کشی در اثر تغییرشکل حرارتی مهار می‌گردد.	مهار	تغییرمکان و دوران در سه راستا مهار می‌شود.	به نقطه تکیه‌گاهی گیردار تبدیل می‌شود
		هادی	تغییرمکان لوله‌کشی در راستای عمود بر محور مهار می‌شود.	نقطه تکیه‌گاهی لوله‌کشی در راستای قرار می‌گیرد که تغییرمکان لوله‌کشی مهار شده است
		پیچ یا نوار ۱۱ شکل	تغییرمکان در دو راستای عمود بر محور لوله‌کشی مهار می‌شود.	نقطه تکیه‌گاهی لوله‌کشی در دو راستای عمود بر محور لوله‌کشی قرار می‌گیرد. ولی در صورتی که به لوله‌کشی ۴B یا کمتر چسبانده و نصب شود، می‌توان سه راستا را در نظر گرفت.
	متوقف‌کننده محوری محوره	متوقف‌کننده	تغییرمکان در راستای محور لوله‌کشی مهار می‌شود.	نقطه تکیه‌گاهی لوله‌کشی در راستای محور لوله قرار می‌گیرد
		محوری	تغییرمکان در سه راستای لوله‌کشی مهار می‌شود.	نقطه تکیه‌گاهی لوله‌کشی در سه راستا لوله قرار می‌گیرد
		محوره	تغییرمکان در سه راستای لوله‌کشی مهار می‌شود.	
همایش‌گند از فناز	جلوگیری از ارتعاش و تغییرمکان لوله‌کشی	دستگاه جداساز سیال	تغییرمکان کند مجاز می‌باشد، اما تغییرمکان سریع مهار می‌شود.	نقطه تکیه‌گاهی لوله‌کشی در راستای مهار شده قرار می‌گیرد
		دستگاه جداساز از نوع کابل مکانیکی	تغییرمکان کند مجاز می‌باشد، اما تغییرمکان سریع مهار می‌شود.	
	دستگاه جداساز فنری	تغییرمکان توسط فنر کاهش می‌باشد.	به صورت یک نقطه تکیه‌گاه فنری عمل می‌کند. با این حال نقطه تکیه‌گاهی در روش دهانه مجاز در نظر گرفته می‌شود	
		وزن مرده لوله‌کشی از وجه پایینی تحمل می‌شود و تغییرمکان راستای پایینی مهار می‌شود.		
وزن با نشیمن	وزن مرده سیستم لوله‌کشی تحمل می‌شود.	نشیمن	وزن مرده لوله‌کشی از وجہ بالایی تحمل می‌شود و تغییرمکان راستای پایینی مهار می‌شود.	در صورتی که تغییرمکانی در فوق با ملاحظه به وزن، گرما و بار لرزاها، وجود نداشته باشد، نقطه تکیه‌گاهی لوله در راستای قائم در نظر گرفته می‌شود
		بند صلب	وزن مرده لوله‌کشی از وجہ بالایی تحمل می‌شود و تغییرمکان راستای پایینی مهار می‌شود.	
		بند متغیر	عکس العمل توسط فرها تحمل می‌شود	در صورتی که تغییرمکانی در فوق با ملاحظه وزن، گرما و بار لرزاها، وجود نداشته باشد، نقطه تکیه‌گاهی لوله در راستای قائم در نظر گرفته می‌شود
	بند ثابت	وزن مرده لوله‌کشی از وجہ بالایی نگهداشته می‌شود و تغییرمکان راستای پایینی مهار می‌شود.		به تکیه‌گاه فنری تبدیل می‌شود، با این حال نقطه تکیه‌گاهی در راستای قائم در روش دهانه مجاز در نظر گرفته می‌شود

در این تعریف، منظور از نقطه اتکای لوله، نقطه تکیه‌گاهی مربوط به پاسخ شتاب سیستم لوله‌کشی در زلزله می‌باشد.

بارگذاری‌هایی مانند روانگرایی و بار ناشی از تغییرشکل حرارتی در نقاط تکیه‌گاهی مانند جداسازها، در بعضی حالات در

نظر گرفته نمی‌شوند.

۳- آرایش تکیه‌گاه لوله

تکیه‌گاه لوله از بخش جوش شده، نشیمن متعلقات و سازه تکیه‌گاهی لوله تشکیل شده است.

۳- بخش جوش شده: پاشنه، زین، مصالح عایق حرارتی جاگذاری فلزی، مفصل افقی و نشیمن و غیره، نصب شده یا مستقیماً جوش شده به لوله کشی.

۴- نشیمن متعلقات: اتصالات فلزی مانند پیچ U شکل، گیره لوله و مقره، نصب شده برای نگهداری یا مهار لوله کشی به سازه قاب، قفسه‌ی لوله، ملحقات و تراورس (زیرسری) و غیره

۵- سازه تکیه‌گاهی لوله کشی: تیر یا سازه مستقل منفرد نصب شده بر سازه قابی، قفسه‌ی لوله، برج‌ها و مخازن و غیره. لوله کشی به سازه تکیه‌گاهی به وسیله نشیمن متعلقات و اجزای جوش شده، ثابت می‌شود.

۶- شرایط بارگذاری

محاسبات تکیه‌گاه براساس بار وارد شده از لوله کشی و با استفاده از جدول ۲۸ انجام می‌شود.

جدول ۲۸ شرایط بارگذاری لوله کشی

بخش غیرفشاری	بخش فشاری	نوع بار
○	○	وزن مرده لوله کشی
○		بار ناشی از تنش حرارتی در لوله کشی
○	○	نیروی اینرسی لوله کشی در زلزله
○	○	بار ناشی از تغییر مکان نسبی در سازه تکیه‌گاهی در زلزله

۷- تنش محاسبه شده

مطابق با نوع سازه، تنش تکیه‌گاه لوله می‌تواند براساس روش تحلیلی و استاندارد نشان داده شده در جدول ۲۹، در بخش‌های ذکر شده در پایین محاسبه شود:

۱- پایه

۲- تیر

۳- مهار

۴- پیچ بی

۸- بخش‌های مهم ویژه‌ی طراحی لرزه‌ای

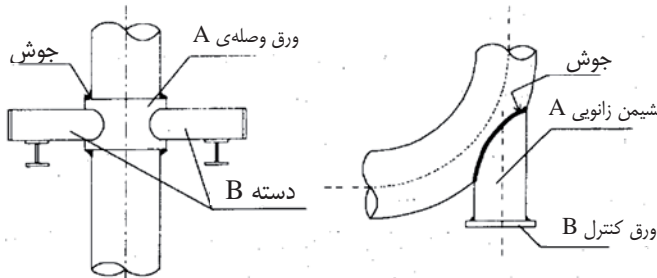
۹- تنش مجاز طراحی لرزه‌ای تکیه‌گاه

بر حسب نوع مصالح بخش فشاری و مصالح سازه تکیه‌گاهی، تنش‌های مجاز طراحی لرزه‌ای مختلفی بکار برده می‌شوند. کوچکترین مقدار بین تنش مجاز طراحی لرزه‌ای مصالح بخش فشاری و مصالح سازه تکیه‌گاهی، به عنوان تنش مجاز مصالح سازه تکیه‌گاهی که مستقیماً به مصالح بخش فشاری جوش شده‌اند، استفاده می‌شود. زمانیکه مصالح بخش فشاری مشابه مصالحی هستند که در ستون سمت راست جدول ۱ از پیوست ۱ لیست شده‌اند، مصالح سازه تکیه‌گاهی که جوش یا نصب شده‌اند، باید از بین مصالحی که در ستون سمت چپ براساس نوع فلز مصالح بخش فشاری لیست شده‌اند، انتخاب شود.

جدول ۲۹ تنش های محاسبه شده تکيه گاه لوله

تکنيک تحليلي و استاندارد	بخش	
بخش های جوشی (دایره و چهارگوش) غیره FEM و تحليل WRC-107 (1979), ASMECASE-391, CASE-392-3,	بخش های جوشی (دایره و چهارگوش)	مصالح مقاوم در برابر فشار
بخش های جوشی (مصالح صفحه ای) ASMECASEN-318-5 و تحليل FEM غیره	بخش های جوشی (زین)	
تحليل FEM غیره	بخش های جوشی (زین)	
استاندارد طراحی سازه فلزی	بخش سازه ای بخش جوشی	
تحليل FEM غیره	بخش های جوشی (زین)	مصالح بخش غیرفشاری
استاندارد طراحی سازه فلزی و تحليل FEM غیره	مصالح فلزی نصب	
استاندارد طراحی سازه فلزی و تحليل FEM غیره	سازه تکيه گاهی	

مصالح بخش فشاری مصالحی هستند که در آنها تنش در اثر فشار داخلی اولیه ایجاد شده و مصالح بخش غیرفشاری مصالحی به غیر از بخش فشاری می باشند.



شکل ۲۲ تقسیم کاربردی تنش مجاز برای طراحی لرزاهاي مصالح بخش فشاری و مصالح سازه تکيه گاهی

A: قسمتی که نیاز به مطالعه تنش مجاز برای طراحی لرزاهاي مصالح بخش فشاری دارد، در حالی که مصالح سازه تکيه گاهی می باشد.

B: قسمتی که برای آن تنها تنش مجاز طراحی لرزاهاي مصالح سازه تکيه گاهی، اعمال می شود.

-۷ تنش مجاز طراحی لرزاهاي مصالح بخش غیرفشاری تکيه گاه

تنش مجاز طراحی لرزاهاي مصالح بخش غیرفشاری تکيه گاه در بخش ۳-۴ نشان داده شده است.

-۸ تنش مجاز طراحی لرزاهاي مصالح مقاوم در برابر فشار تکيه گاه

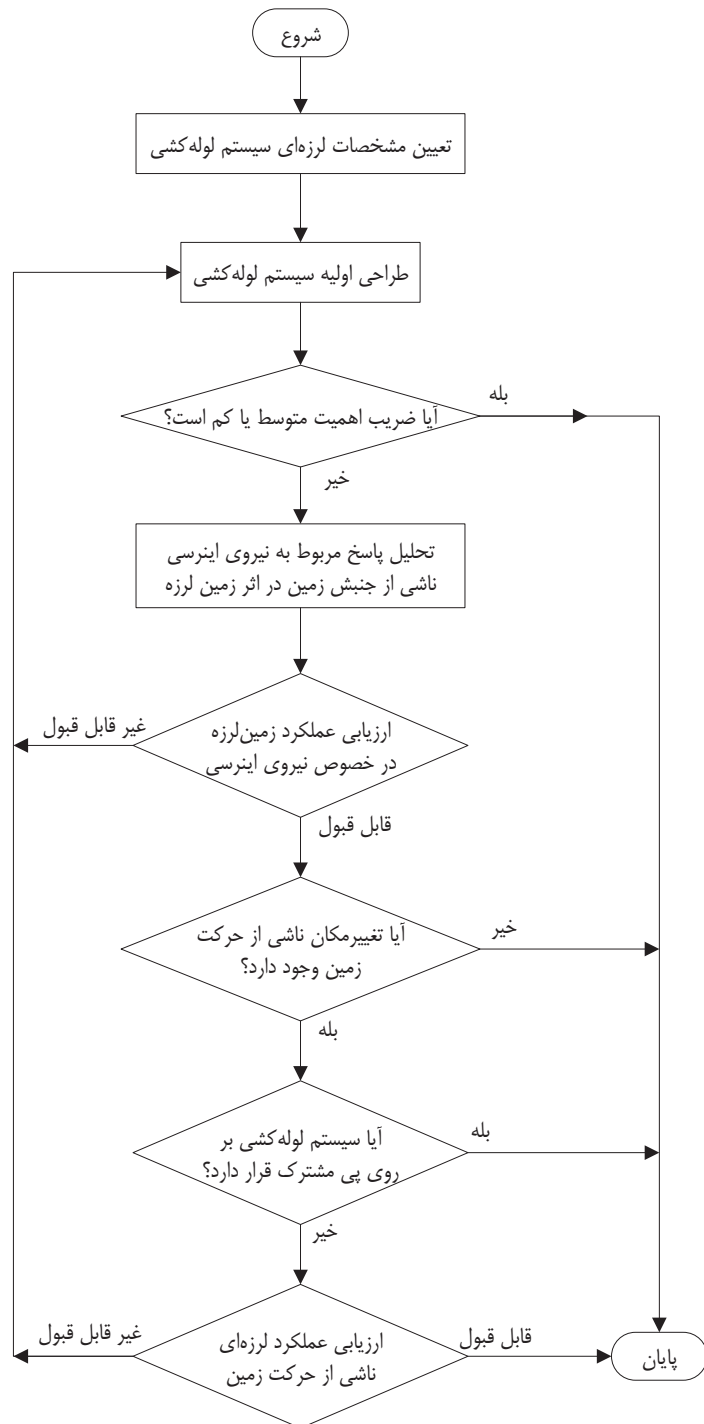
تنش مجاز طراحی لرزاهاي مصالح بخش فشاری تکيه گاه در بخش ۳-۴ با جزئیات توضیح داده شده است.

-۹ صرفنظر کردن از ارزیابی عملکرد لرزاهاي

اگر در بخش تکيه گاهی لوله، و در شرایط بارگذاری یکسان، تنش ایجاد شده کمتر از تنش مجاز طراحی لرزاهاي باشد،

محاسبات مربوط به ارزیابی جداگانه عملکرد لرزاهاي مختلف، قابل صرفنظر کردن می باشد.

۱۲-۳- فرآیند طراحی لردهای لوله‌کشی به روش شکل‌بذیر



شکل ۲۳ روند نمای طراحی لردهای سیستم لوله‌کشی به روش شکل‌بذیر

۱۳-۳- ارزیابی خم لوله در تغییرشکل‌های بزرگ

با توجه به انعطاف‌پذیری خوب لوله‌های فولادی و ظرفیت تغییرشکل زیاد آنها، حتی اگر تغییرشکل در این لوله‌ها از حدود تنש تسليیم تجاوز کند، با این حال لوله سریعاً به نقطه شکست نمی‌رسد. زمانی که لوله‌ها تحت تغییرشکل‌های زیادی ناشی از زمین‌لرزه و غیره، قرار می‌گیرند، دانستن نحوه تغییرشکل آنها بعد از نقطه تسليیم و محدوده نقطه شکست، ضروری می‌باشد.

در سیستم لوله‌کشی از نظر مشخصات سازه‌ای، لوله‌های خمیده انعطاف‌پذیری زیادی به سیستم سازه‌ای می‌دهند. بنابراین برای ارزیابی مقاومت لرزاهاي سیستم‌های لوله‌کشی که متشکل از لوله‌ها و تکیه‌گاه‌های آنها می‌باشند، درک صحیح عملکرد تغییرشکل‌های بزرگ لوله‌های خمیده به عنوان مولفه‌های اصلی این سیستم، ضروری و اجتناب‌ناپذیر می‌باشد.

اگر خم لوله تحت لنگر خمشی M قرار بگیرد، تغییر زاویه θ (از این پس زاویه خمش گفته می‌شود) بر اساس تئوری تیر طبق رابطه (۴۴)، به دست می‌آید. در این رابطه اثر بیضوی شده (اعوجاج) در نظر گرفته شده است.

$$\theta_B = k_e 90 \frac{R_1}{EI} M \quad (44)$$

K_e : ضریب انعطاف‌پذیری در تغییرشکل‌های الاستیک ($K_e = 1.65/h_d$)

$h_d = \bar{T}R_1/r_2^2$: مقدار مشخصه تغییرشکل خمشی (h_d)

E : مدول ارتعاضی طولی (N/mm^2)

r_2 : شعاع متوسط لوله (mm)

R_1 : شعاع خم لوله (mm)

\bar{T} : ضخامت لوله (mm)

I : ممان اینرسی مقطع (mm^4)

θ_B : زاویه خمش (درجه)

رابطه (۴۴) با لحاظ نمودن تغییرشکل خمیری، در فهم عملکرد تغییرشکل‌های بزرگ لوله خمیده به طور کمی، کمک شایانی می‌نماید. این رابطه به شکل رابطه (۴۵) می‌شود.

$$\theta_B = k_p 90 \frac{R_1}{EI} M \quad (45)$$

در اینجا، مقدار K_p ، ضریب انعطاف‌پذیری در تغییرشکل خمیری می‌باشد. مقدار تقریبی ضریب انعطاف‌پذیری در حالت خمش درون صفحه‌ای، انسیاط درون صفحه‌ای و خمش برون صفحه‌ای، با استفاده از نتایج حاصل از تحلیل غیرخطی لوله با خم 90° درجه به روش المان محدود، متناظراً در ادامه نشان داده شده است.

رابطه تقریبی حالت خمش درون صفحه‌ای:

$$k_p = \left[(1.25h_d + 0.33)\theta_B \left(\frac{90}{\alpha_p} \right) - 0.48h_d + 0.4 \right] \frac{S_o}{S_y} k_e \geqq k_e \quad (46)$$

رابطه تقریبی حالت انسیاط درون صفحه‌ای:

$$k_p = [(1.28h_d + 0.03)\theta_B(90/\alpha_p) - 0.66h_d + 0.75] \frac{S_o}{S_y} k_e \geq k_e \quad (47)$$

رابطه تقریبی حالت خمش برون صفحه‌ای:

$$k_p = [(1.1h_d + 0.24)\theta_B(90/\alpha_p) + 0.15h_d + 0.19] \frac{S_o}{S_y} k_e \geq k_e \quad (48)$$

رابطه تقریبی میانگین خمش و انبساط درون صفحه‌ای و خمش برون صفحه‌ای:

$$k_p = [0.37 + (h_d + 0.25)\theta_B(90/\alpha_p)] \frac{S_o}{S_y} k_e \geq k_e \quad (49)$$

α_p : زاویه خم لوله (درجه)

S_y : مقاومت تسليیم یا مقاومت معادل تسليیم با استفاده از کرنش 0.2% مصالح (N/mm^2)

$$215N/mm^2 : S_0$$

با توجه به بیشترین کرنش خمیری معادل در لوله خمیده، رابطه تقریبی مقادیر مشخصه مختلف لوله با خم 90 درجه، با استفاده از مطالعه پارامتریک مشخصه تغییرشکل‌های بزرگ خمش درون صفحه‌ای (خمش و انبساط) و خمش برون صفحه‌ای به روش المان محدود به دست می‌آید.

$$\theta_B = 29.1 \frac{(\varepsilon_{eq}^p)^{0.829}}{h_d^{0.456}} \quad (50)$$

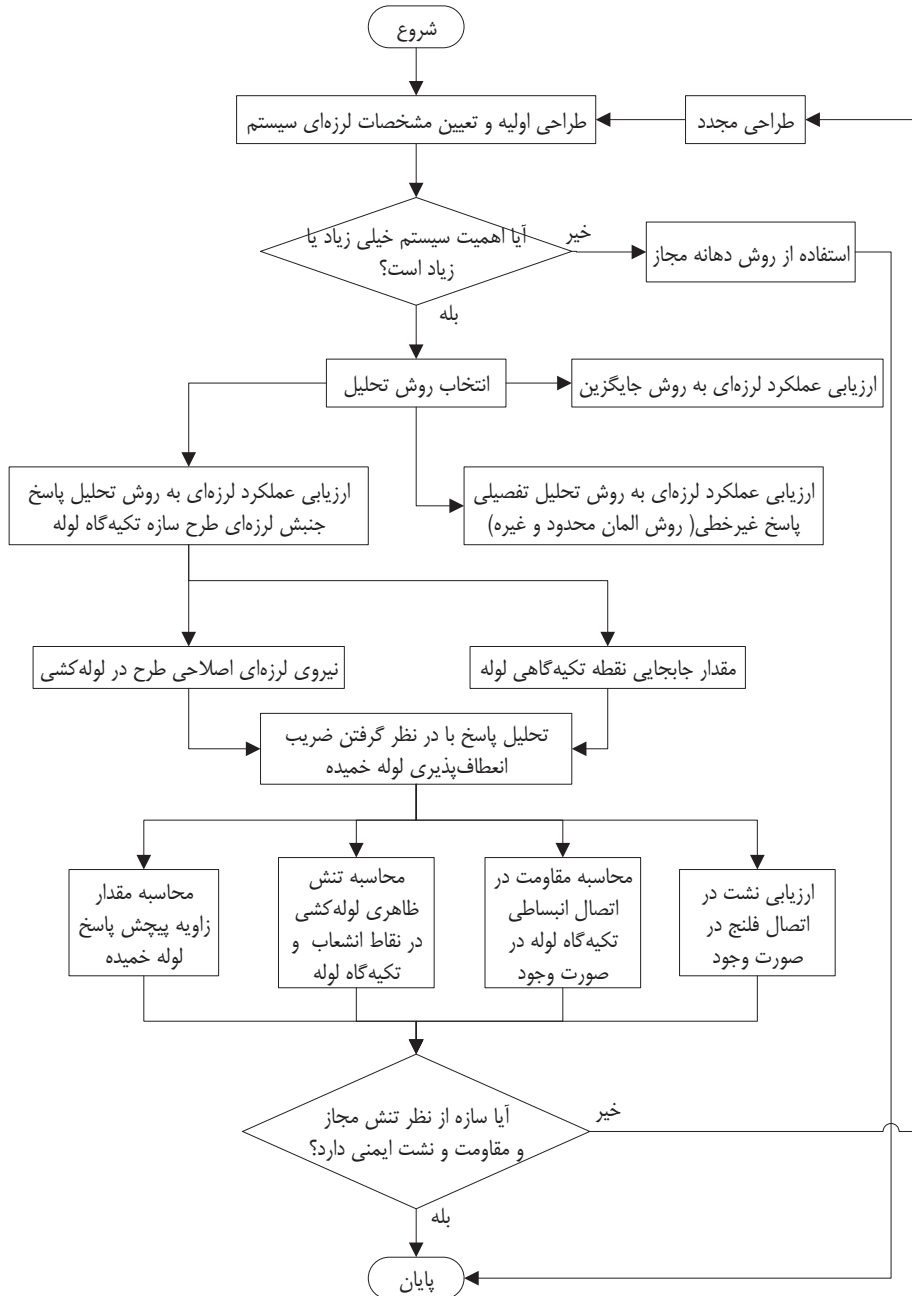
کرنش خمیری ε_{eq}^p کرنش خمیری معادل می‌باشد و از رابطه (51) به دست می‌آید:

$$\varepsilon_{eq}^p = \sqrt{\frac{2}{3}} \sqrt{(\varepsilon_x^p)^2 + (\varepsilon_y^p)^2 + (\varepsilon_z^p)^2 + 2(\varepsilon_{zx}^p)^2 + 2(\varepsilon_{xy}^p)^2} \quad (51)$$

ε_{eq}^p : کرنش خمیری معادل

ε_z^p و ε_{yz}^p ، ε_{zx}^p ، ε_{xy}^p ، ε_y^p ، ε_x^p : مولفه‌های کرنش خمیری

۱۴-۳- روندنای ارزیابی نیروی اینرسی و تغییرمکان پاسخ



شکل ۲۴ روندنای ارزیابی نیروی اینرسی و تغییرمکان پاسخ

۱۴-۱- طریقه به دست آوردن تغییرمکان پاسخ نقطه تکیه‌گاهی لوله به روش شبه استاتیکی اصلاح شده

۱- تغییرمکان پاسخ نقطه تکیه‌گاهی لوله مخازن و برج‌ها

در پیوست ۳-۳ روش محاسبه شدت لرزه‌ای طرح لوله‌کشی در نقاط تکیه‌گاهی لوله به روش شبه استاتیکی اصلاح شده،

ذکر شده است. تغییرمکان پاسخ نقطه تکیه‌گاهی لوله مخازن و برج‌ها در سازه‌های تکیه‌گاهی لوله به صورت رابطه (۵۲)

محاسبه می‌گردد:

$$\delta_x = \begin{cases} (\mu_p + 1) \frac{K_y}{K_{MH}} \delta_{xMH} & \mu_p < 0 \\ \delta_{xMH} & \mu_p = 0 \end{cases} \quad (52)$$

δ_x : مقدار تغییر مکان افقی پاسخ نقطه تکیه‌گاهی لوله در زمین لرزه (mm)

μ_p : نسبت تغییر مکان خمیری پاسخ سازه تکیه‌گاهی لوله (برج‌ها و مخازن) به مقدار متناظر با مد شکستی که μ دارای بیشترین مقدار خود می‌باشد.

K_{MH} : ضریب لرزه افقی اصلاحی طرح، مربوط به سازه تکیه‌گاهی لوله (مخازن و برج‌ها)

δ_{xMH} : مقدار تغییر مکان افقی پاسخ (mm) در نقطه تکیه‌گاهی لوله در سازه برج‌ها و مخازن مربوط به ضریب لرزه افقی اصلاح شده طراحی K_{MH} ، می‌باشد. تغییر مکان پاسخ با استفاده از یکی از سه روش شبیه استاتیکی اصلاح شده، تحلیل مودال یا تحلیل پاسخ تاریخچه زمانی، با جایگزینی سازه تکیه‌گاهی لوله (مخازن و برج‌ها) با یک مدل سیستم ارتعاشی مناسب محاسبه می‌شود.

۲- تغییر مکان نقطه تکیه‌گاهی لوله در سازه‌های قاب‌دار

چگونگی محاسبه تغییر مکان پاسخ در نقطه تکیه‌گاهی لوله در سازه‌های قاب‌دار به روش شبیه استاتیکی اصلاح شده بامثالی از یک سازه قابی چهار طبقه با فرض مدل تغییر شکل برشی، نشان داده شده است. تغییر مکان پاسخ و تغییر مکان طبقات میانی مربوط به طبقه آم از رابطه (53) محاسبه می‌گردد. مقدار آم بین ۱ تا ۴ می‌باشد.

$$Y_i = Y_{i-1} + \Delta Y_i \quad \Delta Y_i = s_i \Delta X_i \quad (53)$$

Y_i : تغییر مکان پاسخ در طبقه آم، $Y_0 = 0$ (mm)

ΔY_i : تغییر مکان نسبی طبقه در طبقه آم $\Delta Y_i = Y_i - Y_{i-1}$ (mm)

s_i : نسبت تغییر مکان در طبقه آم که از رابطه (54) محاسبه می‌گردد، ولی مقدار آن برابر با یک یا بیشتر می‌باشد.

$$s_i = 1 + \mu_{pi} = 1 + \frac{1}{4C} \left\{ \left(\frac{K_{MHi-1}}{K_{MHi}} \right)^2 - 1 \right\} \quad (54)$$

مقدار آن از رابطه (55) محاسبه می‌گردد:

$$K_{MH0} = K_{MH} \quad \text{ولی} \quad K_{MHi} = \min(K_{MH(i-1)}, K_{yi}) \quad (55)$$

ضریب لرزه تسلیم در طبقه آم که مقدار آن از رابطه (56) به دست می‌آید:

$$K_{yi} = \frac{Q_1}{\mu W_i + \dots + \mu_4 W_4} \quad (56)$$

ضریب لرزه افقی اصلاحی طرح سازه تکیه‌گاهی لوله (قاب)، که از رابطه (57) محاسبه می‌گردد.

$$K_{MH} = \beta_5 K_H \quad (57)$$

β_5 : ضریب بزرگنمایی پاسخ افقی

ضریب لرزه افقی مربوط به نیروی لرزه‌ای طراحی در سطح زمین K_H

تغییر مکان نسبی طبقه آم بر حسب K_{MHi} (mm)، که مقدار آن از رابطه (58) به دست می‌آید:

$$\Delta X_i = K_{MHi} \frac{\mu_1 W_i + \dots + \mu_4 W_4}{k_i} \quad (58)$$

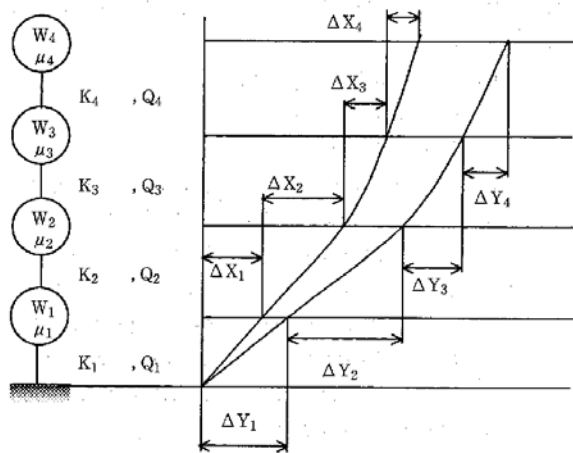
W_i : بار کف در طبقه i (kN)

k_i : فریت طبقه میانی i (kN/mm)

Q_1 : مقاومت تسلیم (kN)

μ_i : ضریب توزیع شدت لرزه‌ای در طبقه i (این پارامتر مشابه ضریب A_i در فصل سوم محاسبه می‌شود)

μ_{pi} : نسبت تغییرشکل خمیری پاسخ در طبقه i



شکل ۲۵

۱-۱۴-۳- تحلیل خطی معادل، تحلیل تفصیلی و ضریب بزرگنمایی پاسخ

۱- تحلیل خطی معادل

۱-۱- رؤوس مطالب

ارزیابی با استفاده از مدل خطی معادل، به منظور راحتی در طراحی، برای طراحی سیستم لوله‌کشی در حالت خمیری منطقی به نظر می‌رسد. روش خطی معادل در تحلیل لوله خمیده، با استفاده از ضریب انعطاف‌پذیری (k_p) در ناحیه خمیری بکار می‌رود. ضریب (k_p) با تصحیح ضریب انعطاف‌پذیری (k_e) در ناحیه ارجاعی با استفاده از مقدار مشخصه انعطاف‌پذیری و تغییرمکان زاویه‌ای، به دست می‌آید.

براساس نتایج تحلیلی، اگرچه ضرایب انعطاف‌پذیری خمس درون صفحه‌ای، انساط درون صفحه‌ای و خمس بروون صفحه‌ای دارای مقادیر مختلف می‌باشند، ولی به رغم آن، ضرایب تصحیح یکسانی برای آنها بکار می‌رود. این ضرایب تصحیح با در نظر گرفتن عدم بوجود آمدن هیچ مشکلی در دقت مسئله، به علت کوچک بودن زاویه پیچشی در موارد کمتر از نسبت تغییرشکل خمیری نهایی مجاز و به علت تکرار تغییر شکل مثبت و منفی، یکسان در نظر گرفته می‌شوند.

۱-۲-۱- ضریب انعطاف‌پذیری لوله خمیده

در لوله‌های با خم ۹۰ درجه، میانگین ضریب انعطاف‌پذیری با درنظر گرفتن تغییرشکل‌های زاویه‌ای کوچک و تغییر جهت مکرر مثبت و منفی تغییرشکل، تعیین می‌شود. ضریب انعطاف‌پذیری، k_p با مراجعه به رابطه (۵۹) برای خمسن درون‌صفحه‌ای، انساط درون‌صفحه‌ای و خمسن بروون‌صفحه‌ای به دست می‌آید (در این رابطه باید بجای θ_B از θ_D استفاده شود). به هر حال، با فرض پیچش، $k_p = 1.0$ می‌باشد. علاوه بر آن، در لوله‌های با خم ۴۵ یا ۶۰ درجه و غیره، برای سادگی کار زاویه تغییرمکان مجاز با درون‌یابی به دست می‌آید.

۱-۳- روند روش تحلیل خطی معادل

روش تحلیل خطی معادل بر اساس روند زیر به کار برده می‌شود.

(الف) رفتار قسمت لوله خمیده به صورت یک ضریب انعطاف‌پذیر معادل آن فرض شده و سپس کل سیستم تحلیل می‌گردد. در این حالت، ضریب انعطاف‌پذیری برای زاویه خمسن ناشی از برآیند ترکیب بارها، در نظر گرفته می‌شود.

(ب) همگرایی محاسبات تا زمانی که ضریب انعطاف‌پذیری به دست آمده از نتایج محاسبات، بر حسب زاویه خم، با مقدار فرض شده، مطابقت داشته باشد، انجام می‌شود. در این محاسبات معیار همگرایی، ضریب انعطاف‌پذیری می‌باشد. و محاسبه زمانی همگرا محسوب می‌شود که خطای آن در حدود ۵٪ باشد. مقدار تغییرمکان زاویه‌ای خم به صورت میانگین مجموع مربعات تغییرمکان نسبی کنجد، در سه جهت بین محل انشعاب دو نقطه خم و لوله مستقیم، به دست می‌آید.

(ج) محاسبات با کوچکتر بودن تغییرمکان زاویه‌ای خم به دست آمده از نتیجه تحلیلی کل سیستم، از تغییرمکان زاویه‌ای مجاز تأیید می‌شود.

(د) ارزیابی محاسبه در سایر قسمت‌ها، بجز قسمت خم، به وسیله تنش انجام می‌شود. چراکه نباید در محدوده خمیری قرار گیرد.

۱-۴- شرایط تحلیل روش تحلیل خطی معادل

فرضیات زیر در مورد روش تحلیل خطی معادل در نظر گرفته می‌شود:

(الف) تغییرمکان غیرخطی و مشخصه بار اصطکاکی تکیه‌گاهها و شکاف (لقی) و غیره در نظر گرفته نمی‌شود.

(ب) نیروی اینرسی و تغییرمکان پاسخ در یک راستا اعمال می‌شوند.

(ج) با توجه به ترکیب بار بهره‌برداری و بار لرزه‌ای، بدترین جهت در ترکیب باید در نظر گرفته شود.

(د) در جدول ۳۰ ترکیب بارها نشان داده شده است.

جدول ۳۰ ترکیب بار بهره‌برداری و بار لرزه‌ای

بار لرزه‌ای		وزن بهره‌برداری	فشار سیال	نوع تنش	نوع بار
تغییر مکان نسبی	نیروی اینرسی				
○	○	○	○	تنش طولی σ_1	
○ سازه تکیه‌گاه	○			محدوده تنش تناوبی σ_E	

۲- تحلیل تفصیلی

در تحلیل تفصیلی به روش اجزای محدود و غیره، شیوه‌ای به نام روش هایبریدی (مرکب) وجود دارد که در آن لوله خمیده، لوله T شکل، و مشابه آنها با استفاده از المان پوسته‌ای یا المان فضایی و لوله مستقیم به صورت المان تیر مدل می‌شود. در لوله خمیده و غیره، که رفتار غیر خطی با استفاده از مسطح سازی مقطع نشان داده است، تحلیل را با در نظر گرفتن رفتار غیر خطی مصالح و هندسه (تغییرشکل‌های بزرگ) انجام می‌دهند. به هر حال، از مقدار مناسب به دست آمده از آزمایش کشش مصالح، باید برای مقاومت تسلیم و نرخ سخت‌شدگی سرد غیرخطی مصالح، استفاده گردد. برای تحلیل المان غیر خطی لوله خمیده (زانویی) می‌توان از تحلیل الاستوپلاستیک لوله با استفاده از مدل تیر به روش المان محدود، استفاده کرد. گرچه بایستی ارتعاش هر دو سیستم تکیه‌گاه و لوله کشی تحلیل گردد، ولی برای راحتی کار، شتاب و تغییر مکان به دست آمده از تحلیل پاسخ در نقطه تکیه‌گاهی را می‌توان به صورت یک نیروی لرزه‌ای به لوله کشی اعمال کرد.

کرنش خمیری معادل از رابطه (۶۰) به دست می‌آید:

$$\varepsilon_{eq}^p = \sqrt{\frac{2}{3}} \sqrt{\left(\varepsilon_x^p\right)^2 + \left(\varepsilon_y^p\right)^2 + \left(\varepsilon_z^p\right)^2 + 2\left(\varepsilon_{yz}^p\right)^2 + 2\left(\varepsilon_{zx}^p\right)^2 + 2\left(\varepsilon_{xy}^p\right)^2} \quad (60)$$

$\varepsilon_{xy}^p, \varepsilon_{zx}^p, \varepsilon_{yz}^p, \varepsilon_z^p, \varepsilon_y^p, \varepsilon_x^p$: مولفه‌های کرنش خمیری

۳- ضریب پاسخ بزرگنمایی

در زلزله‌های با شدت بالا، اثر اتلاف انرژی در رفتار الاستوپلاستیک لوله‌های خمیده، قابل پیش‌بینی می‌باشد. علاوه بر آن اثر کاهش پاسخ غیرخطی اصطکاک یا درز تکیه‌گاه و غیره نیز بالا می‌باشد. اثر کاهشی پاسخ تغییر مکان در اثر میرایی افزایشی در لغزش ناشی از زلزله‌های تراز بالا به علت وجود درزی در حدود ۳ تا ۵ میلی‌متر، در محل تکیه‌گاه لوله، در راستای عمود بر تکیه‌گاه تجهیزات سیستم لوله کشی گاز فشار قوی، قابل پیش‌بینی می‌باشد. این اثر مخصوصاً در مواردی قابل توجه می‌باشد که سازه تکیه‌گاه پاسخ زیادی به علت انعطاف‌پذیری از خود نشان بدهد و دارای انعطاف‌پذیری زیادی در اثر شکل لوله کشی و نوع تکیه‌گاه باشد.

در ارزیابی سیستم لوله کشی به روش نسبت میرایی معادل که از طیف پاسخ سیستم اصطکاکی در آن استفاده می‌شود، به علت اثر میرایی اصطکاکی، کاهش در پاسخ مشاهده می‌شود.

بر طبق یک محاسبه آزمایشی بعنوان مثال: ضریب پاسخ بزرگنمایی درسیستم اصطکاکی با یک درجه آزادی (ضریب میرایی ٪۲) با ضریب میرایی معادل اصطکاکی، بر اساس نوع زمین با استفاده از مقدار حاصل از تقسیم نیروی اصطکاکی بر شتاب ورودی، در حدود ۱/۵ می‌باشد.

در تحلیل پاسخ لرزه‌ای سیستم لوله‌کشی، ضریب پاسخ بزرگنمایی با استفاده از مدل تیر خطی معادل به صورت زیر به دست می‌آید:

۱-۳- اگر چه ضریب بزرگنمایی پاسخ افقی در سازه تکیه‌گاه لوله برابر با ۲ فرض می‌شود، ولی برای تکیه‌گاه‌های لوله که دارای سطح لغزندۀ و غیره می‌باشند و اثر اتلاف انرژی در آنها وجود دارد، برابر با ۱/۵ در نظر گرفته می‌شود.

۲-۳- در تمامی موارد ضریب پاسخ بزرگنمایی در راستای قائم برابر با ۲ می‌باشد.

۳-۳- ضریب پاسخ بزرگنمایی با تعویض انرژی جذب شده در اثر رفتار غیرخطی با یک ثابت میرایی معادل مناسب، به دست می‌آید.

۱۴-۳- ارزیابی مدهای شکست لوله خمیده، لوله‌های انشعابی و لوله‌های مستقیم و جزئیات تغییر شکل موجی شکل لوله

۱- ارزیابی مدهای شکست لوله خمیده
لوله خمیده با استفاده از تغییرشکل زاویه‌ای مجاز ارزیابی می‌گردد. تغییرمکان زاویه‌ای مجاز تحت شرایطی که در آن کرنش خمیری مجاز خم ٪۲ می‌باشد، به دست می‌آید. این کرنش بواسطه مطالعه پارامتریک مشخصه تغییرشکل‌های بزرگ خم در دو حالت خمش درون‌صفحه‌ای (خمش و انبساط) و خمش برون‌صفحه‌ای با مقایسه مقدار مشخصه لوله‌های خمیده مختلف با استفاده از روش المان محدود محاسبه می‌گردد.

$$\theta_{al2} = 29.1 \frac{\epsilon_{pal2}^{0.829}}{h_d^{0.456}} \quad (61)$$

در اینجا، ϵ_{pal2} ، کرنش خمیری معادل و θ_{al2} ، مقدار تغییرمکان زاویه‌ای مجاز می‌باشد. این رابطه برای لوله با خم ۹۰ درجه می‌باشد و برای لوله‌های با خم ۳۰ و ۴۵ درجه مقدار تغییرمکان زاویه‌ای مجاز از درون‌بابی محاسبه می‌گردد.
در نتیجه با توجه به تغییرشکل خمیری نهایی مجاز مربوط به پاسخ شتاب، مقدار زاویه پیچش لوله خمیده با توجه به حداکثر کرنش خمیری معادل نصف دامنه، برابر با ٪۲، می‌باشد بطوریکه در نصف دامنه ٪۰.۰۲، $\epsilon_{pal2} = 0.02$ در کرنش خمیری معادل می‌باشد در نتیجه زاویه پیچش به صورت رابطه (۶۲) محاسبه می‌گردد.

$$\theta_a = \frac{1.14}{h_d^{0.46}} \quad (62)$$

θ_a : زاویه مجاز لوله خمیده (بر حسب درجه)

جدول ۳۱ رابطه بین مقادیر مشخصه تغییرشکل خمشی و زاویه مجاز زانویی شاعر بلند ۹۰ درجه را نشان می‌دهد. در اینجا کرنش خمیری مجاز ٪۲ فرض شده است.

۲- ارزیابی مدهای شکست لوله‌های انشعابی و لوله‌های مستقیم

پدیده کمانش کلی با فرض المان تیری با رفتار خطی برای هر دو باید کنترل شود.

۳- تغییرشکل موجی‌شکل

تغییرشکل موجی‌شکل، تغییر شکل غیرارتاجاعی متناوب پیش‌روندۀ می‌باشد. در اغلب حالات کرنش غیرارتاجاعی به ازای هر دوره تغییر می‌کند. تغییرشکل موجی‌شکل ثابت، وقتی بوجود می‌آید که کرنش غیرارتاجاعی خالص ناشی از بار معلوم متناوب، در سیکل بعدی ثابت باشد.

احتمال افزایش در تغییرشکل غیرارتاجاعی پیش‌روندۀ در دستگاه و لوله‌کشی وجود دارد. این افزایش به علت اضافه شدن تغییرات مکرر تنش ثانویه مکانیکی، تنش ثانویه حرارتی یا هر دوی آنها، به محلی که اولین تنش ناشی از فشار داخلی و وزن مرده وغیره از حدی خاصی بیشتر است، می‌باشد.

برای مثال، در لوله خمیده افزایش در مقدار تغییرشکل غیرارتاجاعی پیش‌روندۀ با همپوشانی تنش اولیه با فشار داخلی و یک تنش ثانویه متناوب مکانیکی بوجود می‌آید. بطوریکه تنش کششی جداره لوله به علت فشار داخلی و بار متناوب بیش از اندازه اعمالی بواسطه بار لرزه‌ای، در پیرامون لوله بوجود می‌آید. بنابراین برای جلوگیری از تغییرشکل خمیری بیش از اندازه یا تغییر شکل پیش‌روندۀ ضروری است که تنش اولیه و ثانویه در آن واحد، در محدوده مقدار مجاز باقی بمانند. در حالت روش خطی معادل در لوله خمیده همانظور که در بخش ۱ توضیح داده شده است، معیار پذیرش، مقدار تغییرمکان مجاز می‌باشد که با فرض تغییر شکل خمیری نهایی مجاز برابر با 2% در نصف دامنه در کرنش خمیری معادل به دست می‌آید.

جدول ۳۱ زاویه مجاز در زاویه شعاع بلند ۹۰ درجه

زاویه مجاز (درجه)	مقدار مشخصه تغییرشکل خمیری	ضخامت جداره (mm)	قطر خارجی (mm)	قطر اسمی	
				(B)	(A)
1.69	0.420	3.7	48.6	1-1/2	40
1.79	0.371	3.9	60.5	2	50
1.75	0.392	5.2	76.3	2-1/2	65
1.82	0.360	5.5	89.1	3	80
1.89	0.331	5.7	101.6	3-1/2	90
1.94	0.312	6.0	114.3	4	100
2.03	0.283	6.6	139.8	5	125
2.11	0.260	7.1	165.2	6	150
2.23	0.231	8.2	216.3	8	200
2.32	0.213	9.3	267.4	10	250
2.39	0.198	10.3	318.5	12	300
2.39	0.200	11.1	355.6	14	350
2.39	0.200	12.7	406.4	16	400
2.39	0.200	14.3	457.2	18	450
2.45	0.189	15.1	508.0	20	500
2.50	0.181	15.9	558.8	22	550
2.49	0.183	17.5	609.6	24	600
2.49	0.182	18.9	660.4	26	650

۱۴-۴-۳- جزئیات روند طراحی اتصال فلنج و فشار تماسی لازم واشر

۱- روند ارزیابی عملکرد زمین‌لرزه

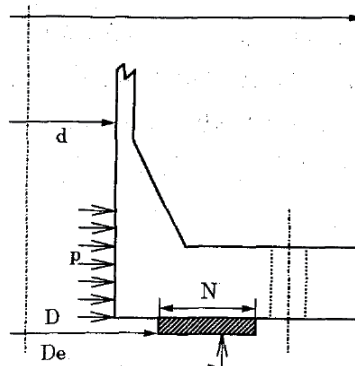
روند ارزیابی عملکرد زمین‌لرزه در اتصال فلنج در شکل ۲۶ نشان داده شده است. عملکرد لرزه‌ای لازم در اتصال فلنج در واقع برابر با میزان عایق بودن اتصال در مقابل عبور گاز فشار قوی در اثر بار موجود در لوله کشی می‌باشد.

نشت از واشر با استفاده از ضربیب واشر ارزیابی می‌گردد. این ضربیب با تبدیل نیروی کششی محوری \square و لنگر خمشی \square ناشی از بار لرزه‌ای به فشار معادل در صفحه واشر، به دست می‌آید.

۱- نیروی محوری لوله کشی و لنگر خمشی در اتصال فلنج از تحلیل پاسخ شتاب و تغییر مکان لوله کشی محاسبه می‌گردد.

۲- ارزیابی نشت بدین صورت انجام می‌شود که فشار لازم تماسی واشر باید کمتر از فشار تماسی واشر در اولین مرحله بستن پیچ باشد. فشار لازم تماسی واشر برابر با مجموع فشار واردہ بر واشر ناشی از فشار داخلی لوله و فشار معادل با نیروی محوری و لنگر خمشی محاسبه شده در لوله کشی، می‌باشد.

۲- فشار تماسی لازم واشر در ارزیابی ساده نشت



شکل ۲۶ لبه صفحه نشیمن واشر

فشار داخلی معادل منتج از نیروی محوری F_g و لنگر خمشی M ، ناشی از بار لرزه‌ای در واشر فایو مسطح به صورت رابطه (۶۳) می‌باشد.

$$p_e = \frac{4F_g}{\pi D_e^2} + \frac{16M}{\pi D_e^3} \quad (63)$$

F_g : نیروی محوری ناشی از بار لرزه‌ای (N)

M : لنگر خمشی ناشی از بار لرزه‌ای ($\square \cdot \square \square$)

$D_e = D_{IG} + 2(N_g - b_g)$: قطر متوسط در وجه تماسی واشر ($\square \square$)

D_{IG} : قطر داخلی واشر (mm)

N_g : عرض واشر (mm)

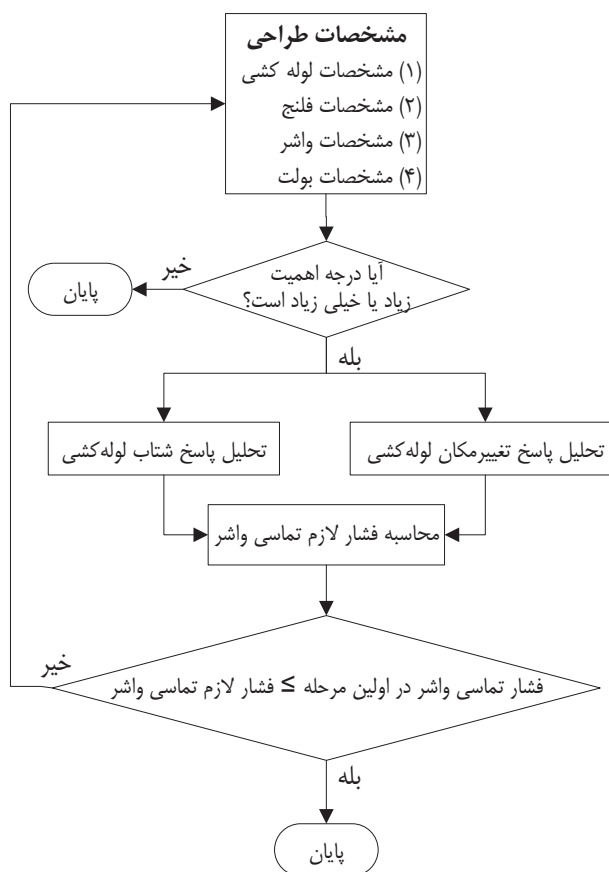
b_g : عرض موثر واشر (mm)

بنابراین فشار تماسی لازم واشر P_{eq} به صورت رابطه (۶۴) می‌باشد.

$$p_{eq} = mp + \alpha p_e \leq \sigma_a \quad (64)$$

در این رابطه m ضریب واشر و α ضریب تصحیح فشار نشت به علت بار ناشی از فشار داخلی معادل ($0.75m$) می‌باشد.

در محل اتصال فلنج با پیچ در لوله امکان اجرای درزبندی وجود ندارد. در این حالت، مقدار تنش تبدیل شده ناشی از بستن اولیه به ازای هر پیچ که به طور قراردادی قبلًا استفاده می‌شده است، مشخص است. در نتیجه، فشار تماسی واشر ناشی از نیروی بستن اولیه پیچ به سادگی بر اساس تعداد پیچ‌ها و سطح مقطع کل پیچ‌ها و اندازه واشر با کوچکترین قطر استاندارد، محاسبه می‌گردد.



شکل ۲۷ ارزیابی عملکرد لرزه‌ای اتصال فلنج

۳-۱۴-۵- جزئیات روند ارزیابی اتصال انبساطی

۱- محاسبه مقدار کلی تنش محوری

مقدار کلی تنش محوری در اتصال انبساطی از روشهای مشابه با روش تنش مجاز به دست می‌آید.

۲- ارزیابی

روند ارزیابی عملکرد لرزاگی در اتصال انبساطی در شکل ۲۸ نشان داده شده است. در سیستم‌های لوله‌کشی که دارای اتصال انبساطی می‌باشند، ارزیابی عملکرد لرزاگی اتصال انبساطی به این صورت می‌باشد که تغییرمکان نسبی در هر دو انتهای اتصال باید کمتر از تغییرمکان مجاز در تعداد ۵۰ بار نوسان، در اتصال مربوطه باشد.

علی‌الخصوص، مقدار کلی تنش محوری حداکثر بوجود آمده در قسمت آکاردئون اتصال انبساطی در اثر تغییرمکان نسبی سازه تکیه‌گاه در هر دو انتهای، کمتر از مقدار کلی تنش مجاز متناظر با ۵۰ بار سیکل مجاز برای مصالح اتصال مربوطه می‌باشد.

در این حالت، امکان تخمین تغییرمکان نسبی محوری و تغییرمکان نسبی در راستای عمود بر محور به طور جداگانه وجود دارد.

ارزیابی به این صورت انجام می‌شود که مقدار کلی تنش محوری حداکثر در آکاردئون باید کمتر از دو برابر مقدار تنش مجاز متناظر با تعداد سیکل مجاز ۵۰ بار، به دست آمده از اشکال موسسه استاندارد ژاپن B8281 "تحلیل تنش و شکست محفظه تحت فشار" (۱۹۹۳) بر طبق مصالح آکاردئون، باشد.

۱-۲- تنش مجاز \square در طراحی لرزاگی تنش محوری بوجود آمده در قسمت آکاردئون اتصال انبساطی از جنس فولاد سخت(کربن‌دار)، فولاد با آلیاژ پایین، فولاد ضد زنگ فریتی(آهن‌دار) و فولاد با مقاومت کششی بالا، برابر با مقادیر زیر می‌باشد.

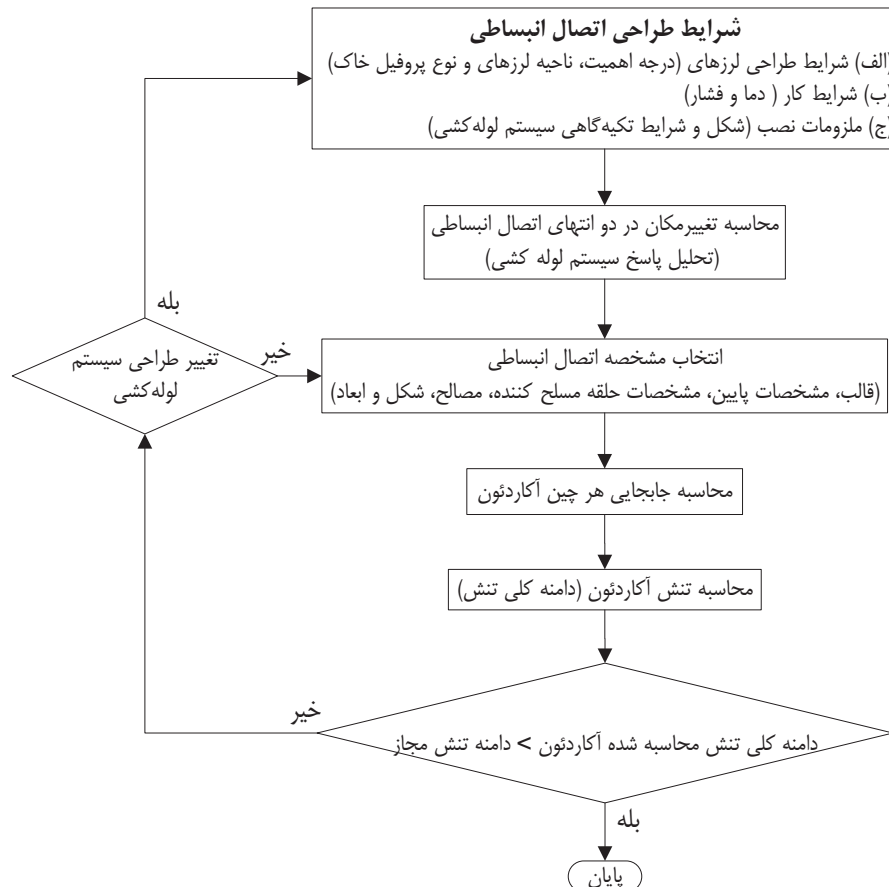
(الف) حالتی که حداقل مقاومت کششی $S_a = 2 \times 1896 = 3792 \text{ MPa}$ یا کمتر باشد برابر با می‌باشد.

(ب) حالتی که حداقل مقاومت کششی $S_a = 2 \times 1586 = 3172 \text{ MPa}$ یا کمتر باشد برابر با می‌باشد.

(ج) حالتی که حداقل مقاومت کششی $S_a = 2 \times 1586 = 3172 \text{ MPa}$ باشد به تناسب از مقادیر بند (الف) و (ب) به دست می‌آید.

۲-۲- تنش مجاز مورد استفاده در طراحی لرزاگی تنش محوری بوجود آمده در آکاردئون اتصال انبساطی از جنس فولاد ضدزنگ آستانیتی، آلیاژ نیکل (آلیاژ Ni-Cr-Fe و آلیاژ مس نیکل، برابر با $S_a = 2 \times 2379 = 4758 \text{ MPa}$ می‌باشد.

۳- اتصالات انبساطی برای مقاصدی به غیر از حرکت زمین لرزا در سیستم‌های لوله‌کشی که اتصالاتی انبساطی به غیر از اتصالات طراحی شده برای حرکت لرزاگی طرح، موجود می‌باشد، تکیه‌گاه لوله باید طوری طراحی شود که تغییرمکان متجاوز از حد ترانس ناشی از حرکت لرزاگی طرح به اتصال انبساطی وارد نشود، یا تکیه‌گاه اتصال انبساطی باید دارای مقاومت کافی برای حفظ کارکرد عضو مهارکننده تغییرمکان (مهار توسط قفسه پیچ، مهار توسط صفحه قفسه و حلقة تنظیمی و غیره) با تحمل عکس‌عمل اعمالی محاسبه شده از طریق تحلیل پاسخ سیستم لوله، در اثر حرکت زمین، باشد.



شکل ۲۸ روند نمای ارزیابی عملکرد لرزه‌ای اتصال انساطی

۳-۱۴-۶- جزئیات روند ارزیابی افسانه برج‌ها و مخازن

در شکل ۲۹ روند نمای ارزیابی عملکرد لرزه‌ای لازم مربوط به افسانه برج‌ها و مخازن به روش ساده شده بر اساس روش بایرارد نشان داده شده است.

در مورد افسانه برج‌ها و مخازن در سیستم لوله کشی، شدت تنش بر اساس بار مربوط به نیروی لرزه‌ای افقی طرح، نیروی لرزه‌ای قائم طرح و تغییر مکان نقطه تکیه‌گاهی لوله، محاسبه می‌گردد.



شکل ۲۹ روند نمای ارزیابی عملکرد لرزه‌ای لازم در افسانه برج‌ها و مخازن ناشی از نیروی اینرسی

جدول ۳۲ شدت تنش مجاز در طراحی لرزه‌ای افسانه برج‌ها و مخازن را نشان می‌دهد.

جدول ۳۲ شدت تنش مجاز در طراحی لرزه‌ای افسانه برج‌ها و مخازن

شماره	نوع تنش	شدت تنش مجاز در طراحی لرزه‌ای
۱	شدت تنش غشائی موضعی‌اولیه + تنش خمشی اولیه $(P_L + P_b)$	۳S
۲	تفاضل بین مقدار حداکثر و کمینه مجموع شدت تنش اولیه و ثانویه ناشی از حرکت لرزه‌ای طرح در یک سیکل $(P_L + P_b + Q)$	۴S _y

روش محاسباتی تنش افسانه برج‌ها و مخازن، روشی ساده شده (روش بایرارد، Bairard) براساس تئوری پوسته نازک در زمینه بررسی مقاومت محفظه تحت فشار یا تحلیل تفصیلی به روش المان محدود(FEM) و غیره، می‌باشد.
روند تحلیل تفصیلی به روش المان محدود و غیره، نیز شبیه روند روش ساده شده می‌باشد.

۳-۱-۷- ارزیابی عملکرد لرزه‌ای لازم در تکیه‌گاه لوله

۱- روند ارزیابی عملکرد لرزه‌ای لازم در تکیه‌گاه لوله

در شکل ۳۰ روند ارزیابی عملکرد لرزه‌ای لازم در تکیه‌گاه لوله (سازه تکیه‌گاه لوله، نشیمن متعلقات و اجزای فلز جوش) نشان داده شده است.

۱-۱- کارکرد تکیه‌گاه لوله (از این پس، کارکرد تکیه‌گاه گفته می‌شود) محدود کردن تغییرمکان لوله‌کشی و یا گیرداری آن می‌باشد. تمامی اثرات زمین‌لرزه بر لوله‌کشی بر روی تکیه‌گاه آن اعمال می‌شود. در زمین‌لرزه، حرکت زمین (شتاب و تغییرمکان) و تغییرمکان تکیه‌گاه لوله در اثر روانگرایی و تغییرمکان زمین (از این پس، شرایط ورودی لرزه‌ای گفته می‌شود) به تکیه‌گاه لوله به عنوان ورودی در نقطه تکیه‌گاهی آن، اعمال می‌شود. با تنظیم مناسب تکیه‌گاه لوله میزان اثرات حرکت زمین‌لرزه بر لوله‌کشی و سازه تکیه‌گاهی آنها (یا سیستم لوله‌کشی) کاهش می‌یابد.

۱-۲- شرایط بارگذاری تکیه‌گاه و مدل پاسخ تحلیلی سیستم لوله‌کشی

در ارزیابی عملکرد لرزه‌ای، مدل تحلیلی پاسخ لوله‌کشی برای هر کدام از شرایط ورودی بر اساس کارکرد تکیه‌گاه لوله تنظیم می‌شود.

علاوه بر کارکرد تکیه‌گاه لوله، کارکرد تکیه‌گاه لوله‌کشی (کارکرد محدود کردن تغییرشکل و تحمل بار ناشی از نیروی لرزه‌ای)، مهار کردن لوله‌کشی، کنترل ورودی لرزه‌ای لوله‌کشی و آزادسازی کارکرد تکیه‌گاه لوله در اثر حرکت زمین نیز ارائه شده است.

۱-۳- شرایط مجاز نیروی لرزه‌ای طراحی در تکیه‌گاه لوله

تحلیل پاسخ نیروی اینرسی سیستم لوله‌کشی به وسیله شتاب و تغییرمکان نقطه تکیه‌گاهی لوله در اثر حرکت زمین‌لرزه که در پیوست در بند ۱۴ توضیح داده شده است، انجام می‌شود.

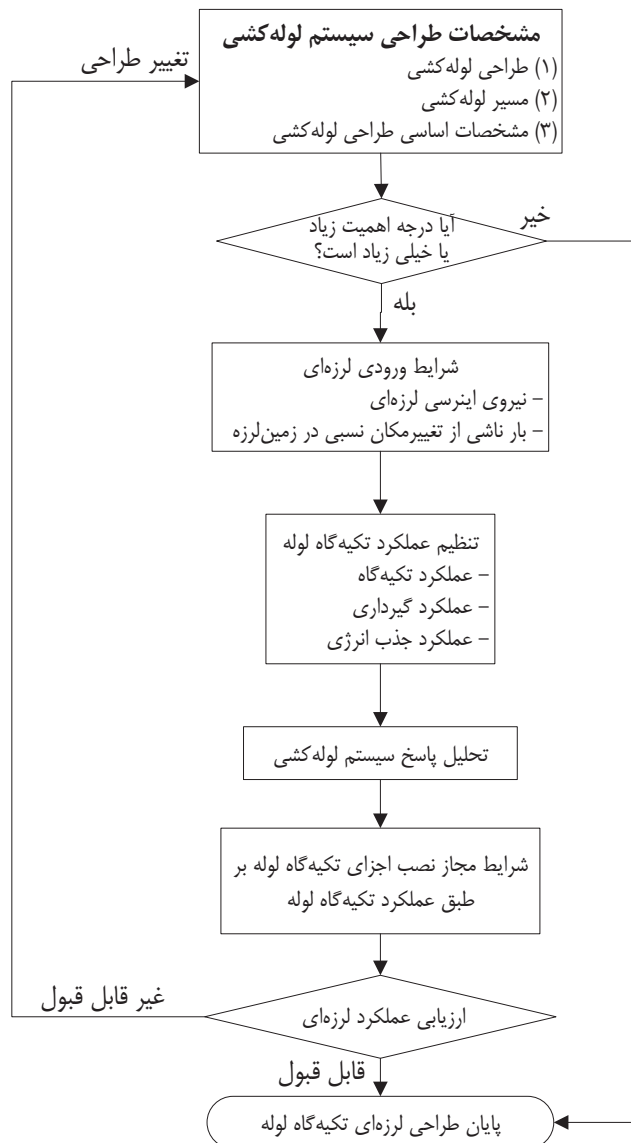
نیروی به وجود آمده در نقطه تکیه‌گاهی که از تحلیل پاسخ به دست می‌آید، با توجه به شرایط بارگذاری نیروی اینرسی تکیه‌گاه لوله می‌باشد. تحلیل پاسخ حرکت زمین در سیستم لوله‌کشی کاملاً مشابه با تغییرمکان نقطه تکیه‌گاهی لوله انجام می‌شود. تغییرمکان ایجاد شده در نقطه تکیه‌گاهی که از تحلیل پاسخ به دست می‌آید با توجه به شرایط بارگذاری حرکت زمین در تکیه‌گاه لوله، می‌باشد.

۱-۴- شرایط مجاز نیروی لرزه‌ای طراحی در تکیه‌گاه لوله

در ارزیابی عملکرد تکیه‌گاه لوله، شرایط مجاز بر طبق کارکرد تکیه‌گاه لوله از بند ۲-۱ می‌باشد.

۱-۵- ارزیابی عملکرد لرزه‌ای لازم

ارزیابی عملکرد شرایط مجاز در بند ۱-۴ تنظیم شده است. طراحی لرزه‌ای تکیه‌گاه لوله در وضعیت قابل قبول، پایان می‌باید. در مواردی که قابل قبول نباشد، تغییر طراحی انجام می‌شود و روند ذکر شده در فوق تا زمانی تکرار می‌شود که عملکرد لرزه‌ای مطابق با مشخصات تغییر یافته شود.



شکل ۳۰ ارزیابی عملکرد لرزه‌ای لازم در تکیه‌گاه لوله

۲- کارکرد تکیه‌گاه لوله و شرایط مجاز

در ادامه، کارکرد تکیه‌گاه لوله (سازه تکیه‌گاه لوله، نشیمن متعلقات و اجزای فلز جوش) برای حفظ عملکرد لرزه‌ای لوله‌کشی در مقابل نشت گاز فشار قوی، ارائه شده است. برقراری کارکرد مورد نظر در هنگام و بعد از زمین‌لرزه ضروری می‌باشد.

۱-۲ - کارکرد تکیه‌گاه

تحمل عکس‌العمل لوله‌کشی یا مهار تغییرمکان آن در زلزله در اثر شتاب پاسخ حرکت زمین یا تغییرمکان ناشی از روانگرایی زمین، در واقع کارکرد تکیه‌گاه به حساب می‌آید.

در مورد تکیه‌گاه یک لوله‌ای که دارای کارکرد مربوطه می‌باشد، اگرچه تغییرشکل خمیری مجاز می‌باشد، ولی بار تکیه‌گاه نباید بیشتر از حد بارهای منجر به شکست یا (بار انهدام) کمانش باشد. در این حالت در مورد نشیمن متعلقات که توانایی جذب تغییرشکل را پس از مرحله تغییرشکل خمیری مانند لولاهای و مقره‌ها ندارد و دارای کارکرد مرکب بین اعضا می‌باشد، تنش ایجاد شده ناشی از بار لرزه‌ای بایستی کمتر از تنش تسليیم باشد.

۲-۲ - کارکرد گیرداری

مستقل بودن لوله‌کشی از لحاظ دینامیکی از هر دو طرف تکیه‌گاه لوله، یا جلوگیری از اثرات زیان‌آور متقابل، در واقع یک کارکرد به حساب می‌آید. در تکیه‌گاهی که کارکرد مربوطه را دارا می‌باشد، می‌توان تفکیک مدل تحلیلی پاسخ لوله‌کشی را در نظر گرفت. در تکیه‌گاه گیردار لوله) از این پس تکیه‌گاه گیردار لوله یا مهار نامیده می‌شود) تنش تشکیل شده در تکیه‌گاه لوله در اثر عکس‌العمل یا لنگر ناشی از تغییرشکل و دوران در سه راستا، باید کمتر از تنش تسليیم باشد.

۳-۲ - کارکرد جذب انرژی

جذب انرژی زلزله از طریق نصب جداسازهای لرزه‌ای (و غیره) در تکیه‌گاه لوله و کنترل ورودی لرزه‌ای ناشی از حرکت زمین‌لرزه در لوله‌کشی یک کارکرد محسوب می‌شود. تکیه‌گاه لوله‌ای که دارای این کارکرد می‌باشد باید دارای شرایط زیر باشد.

(الف) تغییرمکان پاسخ بایستی کمتر از تغییرمکان مجاز باشد.

(ب) تغییرشکل خمیری جاذب انرژی باید کمتر از قابلیت تغییرشکل خمیری جاذب انرژی باشد.

با توجه به جذب انرژی زلزله در تکیه‌گاه لوله، تأیید عملکرد ضروری به نظر می‌رسد.

۳- شرایط بارگذاری

روند ارزیابی بر اساس بارهای واردہ بر لوله‌کشی به صورت جدول ۳۳ می‌باشد.

جدول ۳۳ شرایط بارگذاری لوله‌کشی

نوع بار	اجزای فشاری	اجزای غیر فشاری
بار ناشی از وزن لوله کشی (وزن و فشار)	○	○
بار ناشی از تنش حرارتی لوله کشی	○	
نیروی اینرسی در اثر زلزله در لوله کشی	○	○
بار ناشی از تغییر مکان نسبی در سازه تکیه گاه در اثر زمین لرزه	○	○

توجه:

علاوه بر ارزیابی نیروی اینرسی، روانگرایی و تغییر مکان زمین به صورت مسفل از هم در بخش ۸-۵-۴-۲ ارزیابی شده‌اند.

۴- شرایط مجاز تکیه گاه لوله

شرایط مجاز تکیه گاه لوله با توجه به مشخصات بار و تغییر شکل آنها در نظر گرفته می‌شود. مشخصات بار و تغییر شکل در شکل ۳۱ نشان داده شده است. در این شکل قسمت هاشور خورده بیانگر اختلاف داده‌ها می‌باشد. بار تسلیم، بار حدی و بار آزادسازی به صورت زیر می‌باشد.

۴-۱- بار تسلیم

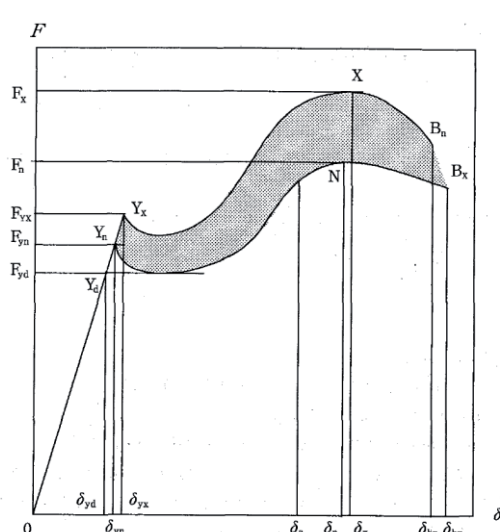
بار تسلیم برابر با مقدار بار تسلیم طراحی، F_{yd} یا کمتر از مقادیر نشان داده شده در شکل ۳۱ می‌باشد.

۴-۲- بار حدی

بار حدی برابر با حداقل مقدار بار گسیختگی، F_n (حداقل باری که باعث انهدام می‌شود) یا کمتر از مقادیر نشان داده شده در شکل ۳۱ می‌باشد.

۴-۳- بار آزادسازی

بار آزادسازی حداقل مقدار بار گسیختگی، F_x (حداکثر باری که باعث انهدام می‌شود) یا کمتر از مقادیر نشان داده شده در شکل ۳۱ می‌باشد.



شکل ۳۱ نمودار بار و تغییر شکل سازه تکیه گاه لوله کشی

δ_{yx}	: حداکثر تغییر مکان تسلیم	F_{yx}	: حداکثر بار تسلیم
F_{yn}	: حداقل بار تسلیم	Y_x	: حداکثر مقاومت تسلیم
Y_n	: حداقل مقاومت تسلیم	δ_{yn}	: حداقل تغییر مکان تسلیم
δ_{yd}	: تغییر مکان تسلیم طراحی	F_{yd}	: بار تسلیم طراحی
δ_a	: تغییر مکان مجاز	Y_d	: مقاومت تسلیم طراحی
X	: محل حداکثر ظرفیت گسیختگی	F_x	: حداکثر ظرفیت گسیختگی (حداکثر بار انهدام)
N_r	: محل حداقل بار گسیختگی	F_n	: حداقل ظرفیت بار گسیختگی (حداقل بار انهدام)
B_x	: محل حداکثر تغییر مکان گسیختگی	δ_{bx}	: حداکثر تغییر مکان گسیختگی
B_n	: محل حداقل تغییر مکان گسیختگی	δ_{bn}	: حداقل تغییر مکان گسیختگی
۵- روش محاسبه شرایط مجاز سازه تکیه گاه لوله			
۱-۵- بار تسلیم سازه تکیه گاه لوله			
بار تسلیم مصالح بکار برده شده، در بخش ۳-۴ مصالح توصیف شده است.			
۲-۵- بار حدی سازه تکیه گاه لوله: لنگر حدی			
لنگر حدی به صورت زیر می‌باشد.			

(الف) زمانی که لنگر در حول محور قوی مقطع □ شکل و محور اصلی مقطع قوطی شکل، اثر می‌کند:

$$M_{Pc} = M_p \frac{N}{N_r} \leq \frac{A_w}{2A} \quad \text{اگر آنگاه،} \quad (65)$$

$$M_{Pc} = 1.14 \left(1 - \frac{N}{N_y} \right) M_p \quad \frac{N}{N_r} > \frac{A_w}{2A} \quad \text{اگر آنگاه،} \quad (66)$$

(ب) زمانی که لنگر حول محور ضعیف مقطع H شکل اثر می‌کند:

$$M_{Pc} = M \frac{N}{N_r} \leq \frac{A_w}{A} \quad \text{اگر آنگاه،} \quad (67)$$

$$M_{Pc} = 1.14 \left\{ 1 - \left(\frac{N - N_{wY}}{N_Y - N_{wY}} \right)^2 \right\} M_p \quad \frac{N}{N_r} > \frac{A_w}{A} \quad \text{اگر آنگاه،} \quad (68)$$

$$\text{در اینجا، } N_{wY} = A_w \sigma_Y$$

(ج) لنگرهای خمیری ناشی از اثر توازن لنگر خمیشی حول محور قوی M_x ، لنگر خمیشی حول محور ضعیف M_y ،

و نیروی محوری در اینجا، M_{Pcy} و M_{Pcx} متناظرًا از بندهای الف و ب به دست می‌آیند.

$$\left(\frac{M_x}{M_{Pcx}} \right)^2 + \frac{M_y}{M_{Pey}} = 1 \quad (69)$$

(د) رابطه طراحی اعضا

نیروی محوری فشاری □ و لنگر خمیشی حداکثر M_1 ، باید در رابطه ۷۰ صدق کنند.

$$\frac{N}{N_{er}} + \frac{C_M M_1}{\left(1 - \frac{N}{N_E}\right) M_{er}} \leq 1.0 \quad (70)$$

$$\frac{M_1}{M_{cr}} \leq 1.0 \quad (71)$$

N : فشار محوری (N)

N_E : مقاومت کمانشی اولر در وجه خمی (N)

N_{er} : حداقل مقدار مقاومت در برابر کمانش (N)

M_{Pc} : لنگرهای خمی خمیری ناشی از نیروی نیروی فشاری (N.mm)

M_1 : قدر مطلق لنگر بزرگتری که در دو انتهای ستون اثر می‌کند. (N.mm)

M_2 : قدر مطلق لنگر کوچکتری که در هر دو انتهای ستون اثر می‌کند. زمانی که عضو تحت انحنای ساده

قرار بگیرد لنگر مثبت، و زمانی که تحت انحنای مضاعف قرار گیرد، لنگر منفی در نظر گرفته می‌شود.

(N.mm)

M_{cr} : مقاومت کمانش جانبی وقتی که نیروی محوری فشاری وجود ندارد (N.mm). زمانی که لنگر حول

محور ضعیف مقطع قوطی شکل، H شکل و لوله فولادی باشد، $M_{cr} = M_p$ در نظر گرفته می‌شود.

C_M : ضریب مربوط به توزیع لنگر خمی وقتی که لنگر خمی حول محور قوی اثر می‌کند.

$$C_M = 0.6 + 0.4 \frac{M_2}{M_1} \geq 0.4 \quad (72)$$

$$C_M = 1 - 0.5 \left(1 - \frac{M_2}{M_1}\right) \sqrt{\frac{N}{N_E}} \geq 0.25 \quad (73)$$

۶- روش محاسبه شرایط مجاز پیج U شکل

۶-۱- بار تسلیم پیج U شکل به صورت مقادیر زیر می‌باشد.

$$F_{L1z} = \frac{\pi}{4} d_b^2 \sigma_{by} \quad (74)$$

$$F_{L1y} = 2 \frac{\pi}{4} d_b^2 \sigma_{by} \quad (75)$$

۶-۲- مقدار بار حدی پیج U شکل به صورت زیر می‌باشد.

$$F_{L2z} = 0.7 \frac{\pi}{4} d_b^2 \sigma_{bBu} \quad (76)$$

$$F_{L2y} = 1.4 \frac{\pi}{4} d_b^2 \sigma_{bBu} \quad (77)$$

F_{L1z} : بار تسلیم در راستای عمود بر محور لوله پیج U شکل (N)

F_{L1y} : بار تسلیم در راستای عمود بر پیج U شکل (N)

F_{L2z} : بار حدی در راستای عمود بر محور لوله پیج U شکل (N)

F_{L2y} : بار حدی در راستای عمود بر پیچ U شکل (N)

d_b : قطر پیچ U شکل (mm)

σ_{bBu} : تنش گسیختگی پیچ U شکل (N/mm^2)

در جدول ۳۴ نمونه‌ای از بار محاسبه شده از بند ۱) و ۲) آورده شده است. در این محاسبات جنس مصالح پیچ U شکل از SS400 در نظر گرفته شده است.

جدول ۳۴ بار مجاز پیچ U شکل

بار حدی		بار تسلیم		$\square db$	قطر خارجی لوله	قطر اسمی لوله
FL2 y	\square FL2z	\square FL1 y	\square FL1z			
kN	kN	kN	kN	mm	mm	B
۴۴	۲۲	۳۸	۱۹	۱۰	۴۸/۶	۱-۱/۲
۴۴	۲۲	۳۸	۱۹	۱۰	۶۰/۵	۲
۴۴	۲۲	۳۸	۱۹	۱۰	۷۶/۳	۱-۱/۲
۶۳	۳۲	۵۵	۲۸	۱۲	۸۹/۱	۳
۶۳	۳۲	۵۵	۲۸	۱۲	۱۰۱/۶	۳-۱/۲
۶۳	۳۲	۵۵	۲۸	۱۲	۱۱۴/۳	۴
۱۱۳	۵۶	۹۹	۴۹	۱۶	۱۳۹/۸	۵
۱۱۳	۵۶	۹۹	۴۹	۱۶	۱۶۵/۲	۶
۱۱۳	۵۶	۹۹	۴۹	۱۶	۱۹۰/۷	۷
۱۷۶	۸۸	۱۴۸	۷۴	۲۰	۲۱۶/۳	۸
۱۷۶	۸۸	۱۴۸	۷۴	۲۰	۲۴۱/۸	۹
۱۷۶	۸۸	۱۴۸	۷۴	۲۰	۲۶۷/۴	۱۰
۲۵۳	۱۲۷	۲۱۳	۱۰۶	۲۴	۳۱۸/۵	۱۲
۲۵۳	۱۲۷	۲۱۳	۱۰۶	۲۴	۳۵۵/۶	۱۴
۲۵۳	۱۲۷	۲۱۳	۱۰۶	۲۴	۴۰۶/۴	۱۶
۲۵۳	۱۲۷	۲۱۳	۱۰۶	۲۴	۴۵۷/۲	۱۸
۲۵۳	۱۲۷	۲۱۳	۱۰۶	۲۴	۵۰۸/۰	۲۰
۲۵۳	۱۲۷	۲۱۳	۱۰۶	۲۴	۵۵۸/۸	۲۲
۲۵۳	۱۲۷	۲۱۳	۱۰۶	۲۴	۶۰۹/۶	۲۴

-روش محاسبه شرایط مجاز نشیمن سایر متعلقات ۷

۱-۱-۷ - بار تسلیم

بار تسلیم مصالح در بخش ۳-۴ مصالح، توضیح داده شده است.

۲-۲-۷ - بار حدی

بار حدی $1/5$ برابر بار تسلیم در نظر گرفته می‌شود.

۸- روش محاسبه شرایط مجاز برای اتصالات با جوش

۸-۱- بار تسلیم

بار تسلیم مصالح استفاده شده در بخش $3-4$ مصالح توضیح داده شده است.

۸-۲- بار حدی

بار حدی $1/5$ برابر با تسلیم می‌باشد.

۱۵-۳- انعطاف‌پذیری سیستم لوله‌کشی و روند طراحی لرزه‌ای در اثر روانگرایی زمین

۱- تأمین انعطاف‌پذیری سیستم لوله‌کشی

تأمین انعطاف‌پذیری سیستم لوله‌کشی به روش بندهای $1-1$ تا $1-3$ یا روشی ترکیبی بستگی دارد.

۱-۱- روش حلقه لوله‌کشی

در این روش با قرار دادن حلقه لوله‌کشی بین نقاط تکیه‌گاهی لوله، تغییر مکان نسبی بین نقاط تکیه‌گاهی مربوطه جذب می‌گردد. با تشکیل حلقه لوله‌کشی تغییر مکان نسبی در سه راستا مهار می‌گردد.

۱-۲- روش لوله انعطاف‌پذیر

در این روش با استفاده از لوله‌های انعطاف‌پذیر بین نقاط تکیه‌گاهی، تغییر مکان نسبی بین نقاط تکیه‌گاهی مربوطه جذب می‌گردد.

۱-۳- روش تکیه‌گاه آزاد لوله

در این روش انعطاف‌پذیری زیادی در سیستم وجود دارد و تغییر مکان نسبی با استفاده از تکیه‌گاههایی با کارکرد آزادسازی تغییر مکان‌های ناشی از تغییر مکان زمین در پی، جذب می‌گردد.

با حرکت پی لوله‌کشی (نشست و تغییر مکان افقی زمین در اثر روانگرایی) تغییر مکان زیادی در سیستم لوله‌کشی مشاهده می‌شود که ممکن است باعث آسیب‌دیدگی سایر سازه‌های پیرامونی از قبیل لوله‌های کوچک مجاور (لوله متعلق به سیستم لوله‌کشی) در محل تقاطع این سازه‌ها با سیستم شود. بنابراین توجه به این امر ضروری به نظر می‌رسد.

۲- روند ارزیابی عملکرد لرزه‌ای سیستم لوله‌کشی به تغییر مکان پی در اثر تغییر مکان زمین

روند ارزیابی عملکرد لرزه‌ای سیستم لوله‌کشی به تغییر مکان پی در اثر تغییر مکان زمین در شکل 32 نشان داده شده است.

۲-۱- این ارزیابی در حالت روانگرایی انجام شده است.

۲-۲- اگر پی لوله‌کشی به همراه اولین تکیه‌گاه لوله بعد از شیر اطمینان لرزه‌ای بر روی یک پی ساخته شود، ارزیابی عملکرد لرزه‌ای سیستم لوله‌کشی مربوطه در اثر تغییر مکان ناشی از حرکت زمین در پی، قابل قبول می‌باشد.

در این مورد گیردار بودن اولین تکيه‌گاه لوله بعد از شیر اطمینان لرزاهاي با توجه به پیوست ۳ بند ۲۱-۳ مورد تأیید می‌باشد.

۲-۳-۲ در حالتی که سیستم لوله‌کشی را نتوان روی یک پی مشترک بنا کرد، تأیید انعطاف‌پذیری سیستم لوله‌کشی و عدم نشت گاز فشار قوى از لوله‌کشی در اثر تغییر مکان نسبی پی، با توجه به عملکرد پیشنهادی یا نتایج مطالعات ضروری می‌باشد.

۳- تحلیل پاسخ و محدوده ارزیابی عملکرد لرزاهاي در اثر حرکت زمین

۳-۱-۳ سیستم لوله‌کشی بر روی پی مشترک

معمولًاً به منظور تأمین مقاومت لرزاهاي سیستم لوله‌کشی با اهمیت زیاد و خیلی زیاد در اثر حرکت زمین، این سیستم بر روی پی مشترک ساخته و اولین نقطه تکيه‌گاهی بعد از شیر اطمینان لرزاهاي به وسیله جوشکاری (و غیره) ثابت می‌شود. به عبارت دیگر تکيه‌گاه لوله مربوطه باید گیردار باشد. این امر به منظور جلوگیری از نشت ناشی از تغییر شکل تکيه‌گاه لوله و تأثیر تغییر شکل تکيه‌گاه ضعیف بر پی مشترک سیستم لوله‌کشی در اثر بار ناشی از حرکت زمین، می‌باشد.

در مثالی که در شکل ۳۳ نشان داده شده است، برای تأمین عملکرد لرزاهاي قسمت هاشور خورده (الف) تأثیر ناشی از قسمت هاشور خورده (ب) در اثر حرکت زمین تحلیل می‌گردد. و برای تکيه‌گاه گیردار لوله و پی قسمت (ج) که با هاشور نشان داده شده است، ارزیابی عملکرد لرزاهاي با توجه به کارکرد گیرداری آن قسمت، در اثر حرکت زمین انجام می‌شود. بهتر است که عملکرد لرزاهاي سیستم لوله‌کشی در محدوده تحلیل شده در اثر حرکت زمین تأیید گردد.

۳-۲-۳ لوله‌کشی بر روی پی‌های غیر مشترک

یک سیستم لوله‌کشی باید انعطاف‌پذیری کافی در مقابل حرکت زمین را داشته باشد. با توجه به ارزیابی انعطاف‌پذیری سیستم لوله‌کشی در مثال شکل ۳۴، که در آن ارزیابی قسمت هاشور خورده (الف) تحت تأثیر قسمت هاشور خورده (ب) در اثر حرکت زمین انجام شده و عملکرد لرزاهاي قسمت هاشور خورده (ج) ارزیابی شده است، بهتر است که ارزیابی مشابه‌ای از سیستم لوله‌کشی در محدوده تحلیل شده، انجام شود. به هر حال تحلیل قسمت هاشور خورده (ب) بستگی به مدل تحلیلی دارد که به خوبی حالت تغییر شکل لوله‌کشی، سازه تکيه‌گاهی لوله‌کشی و پی آن را در اثر حرکت زمین شبیه سازی کند.

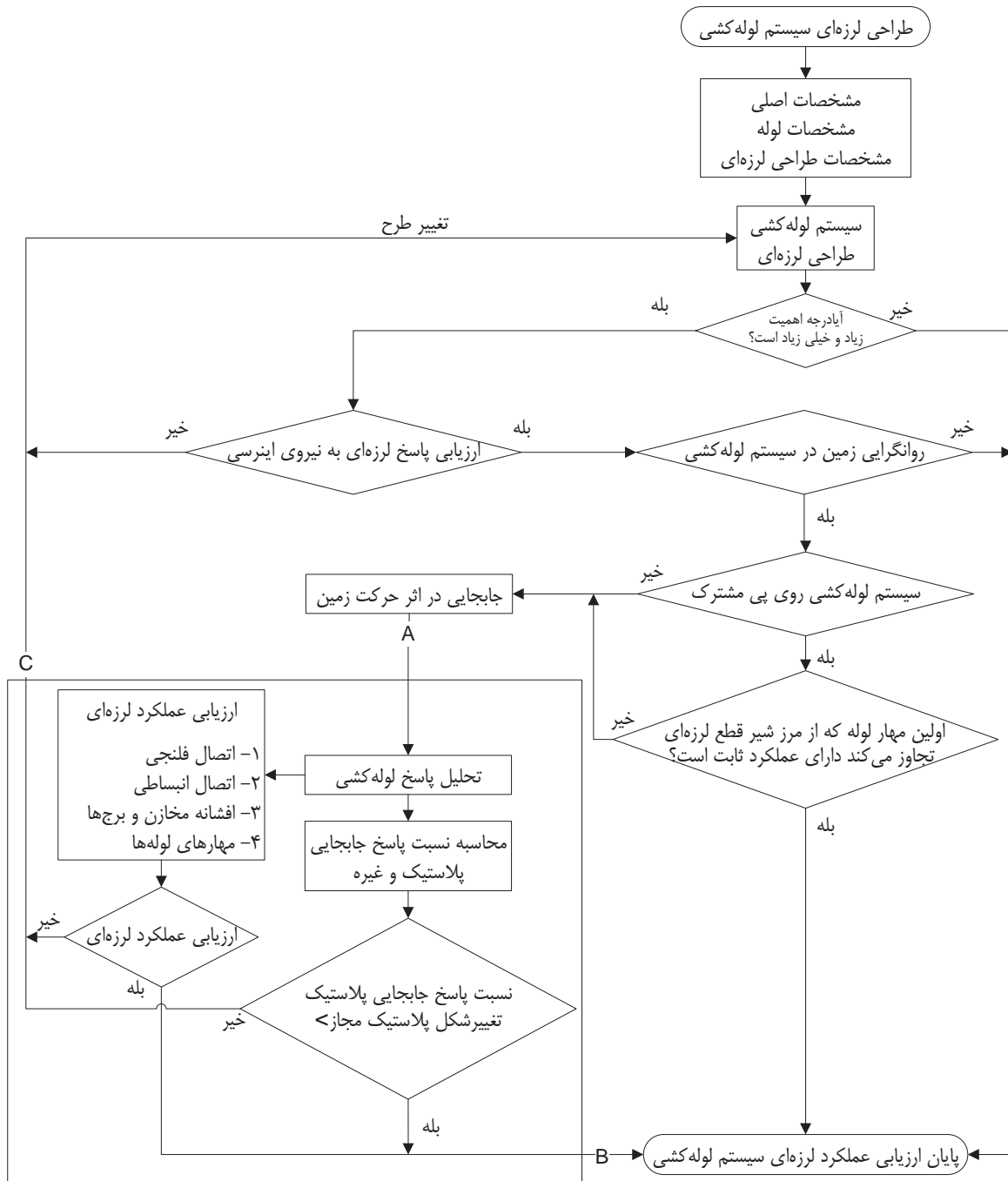
۳-۳-۳ تکيه‌گاه غیر گیردار بر روی پی مشترک

اگر سیستم لوله‌کشی بر روی پی مشترک بنا شود ولی اولین نقطه تکيه‌گاهی لوله بعد از شیر اطمینان لرزاهاي، به علت قرار نگرفتن بر روی پی مشترک، گیردار نباشد، ارزیابی عملکرد لرزاهاي ناشی از حرکت زمین به صورت روند بند ۲-۳ انجام می‌شود.

۴- ارزیابی عملکرد لرزاهاي سیستم لوله‌کشی با تکيه‌گاه آزاد در اثر حرکت زمین

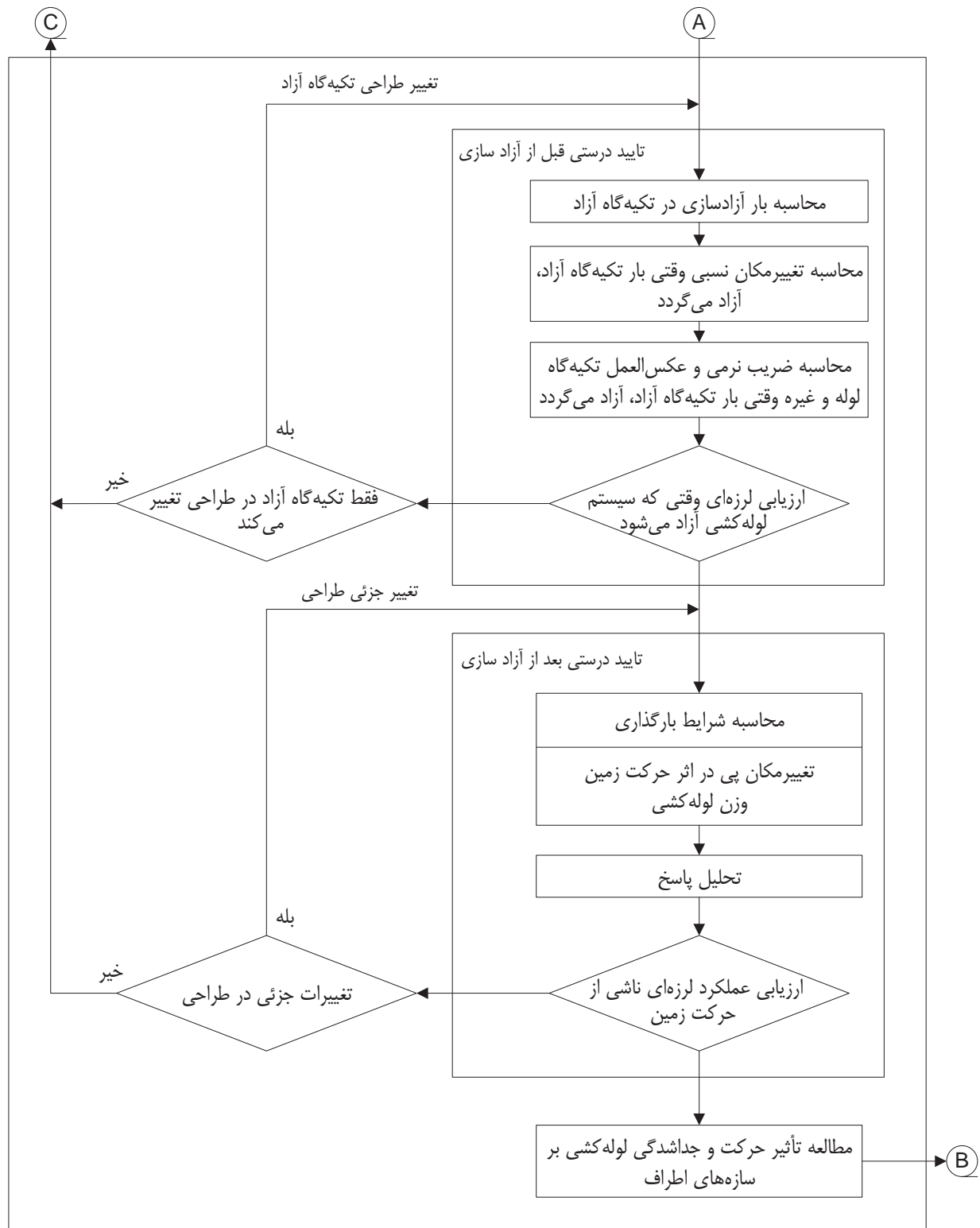
در سیستم لوله‌کشی که دارای تکيه‌گاه آزاد می‌باشد، لازم است که عملکرد لرزاهاي سیستم هم نسبت به عکس العمل حداقل تکيه‌گاه آزاد و هم نسبت به تأثیر تغییر مکان ناشی از حرکت زمین در پی، تأیید گردد.

- ۴-۱- در این مورد برای ارزیابی عملکرد لرزاگ سیستم لوله‌کشی به جای تبعیت از محدوده نشان داده شده توسط خطچین در شکل ۳۴، از روند نشان داده شده در شکل ۳۳ استفاده می‌شود.
- ارزیابی عملکرد لرزاگ تکیه‌گاه لوله نسبت به عکس‌العمل حداکثر
- الف) عکس‌العمل حداکثر (که از این پس، عکس‌العمل آزادسازی گفته می‌شود) زمانی محاسبه می‌گردد که تکیه‌گاه آزاد شده باشد.
- ب) مقدار تغییر مکان نسبی (تغییر مکان آزادسازی از این پس گفته می‌شود) با استفاده از تحلیل و با در نظر گرفتن مقاومت تکیه‌گاه آزاد در مقابل عکس‌العمل آزادسازی، به دست می‌آید.
- ج) ابتدا نیروی محوری، لنگر خمی، نیروی برشی و عکس‌العمل تکیه‌گاهی ناشی از تغییر مکان آزاد شده محاسبه و سپس عملکرد لرزاگ سیستم ارزیابی می‌گردد.
- در این مورد، روند ارزیابی نیروی اولیه را می‌توان به کار برد.



شکل ۳۲ مراحل ارزیابی عملکرد لرزه‌ای سیستم لوله‌کشی برای حرکت زمین

د) روند طراحی در صورتی که عملکرد لرزه‌ای مورد نظر تأمین نگردد، بایستی تغییر کند. برگشت به گام اول ارزیابی عملکرد لرزه‌ای، زمانی که فقط نحوه طراحی تکیه‌گاه آزاد تغییر کند(کاهش عکس العمل حداقل) ضروری نمی‌باشد. ارزیابی عملکرد لرزه‌ای عکس العمل سیستم لوله‌کشی نسبت به نیروی اینرسی باید به طور جداگانه انجام شود.



شکل ۳۳ روند نمای ارزیابی عملکرد لرزه‌ای سیستم لوله‌کشی با تکیه‌گاه آزاد در اثر حرکت زمین

۲-۴- تأیید عملکرد لرزاهاي سیستم لوله کشی در مقابل تغییر مکان ناشی از حرکت زمین

(الف) در تحلیل پاسخ تأثیر تغییر مکان پی در اثر حرکت زمین، به علت وقوع برکنش و جداشدگی سیستم

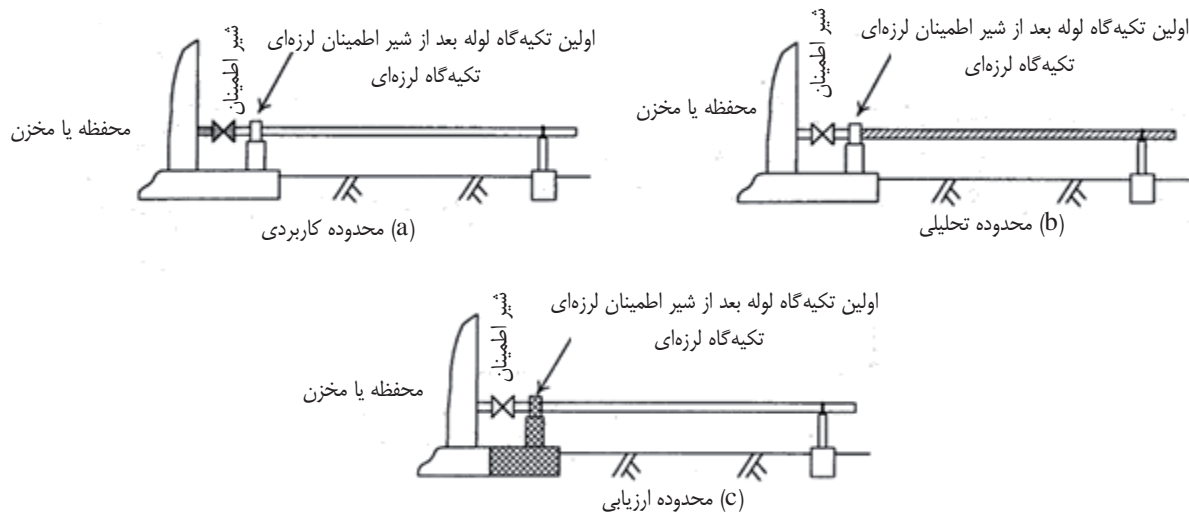
لوله کشی از تکیه گاه آزاد، با فرض از دست رفتن کارایی تکیه گاه، وزن لوله و بار ناشی از تغییر مکان نسبی در

نقشه با هم ترکیب شده و تحلیل می گردد.

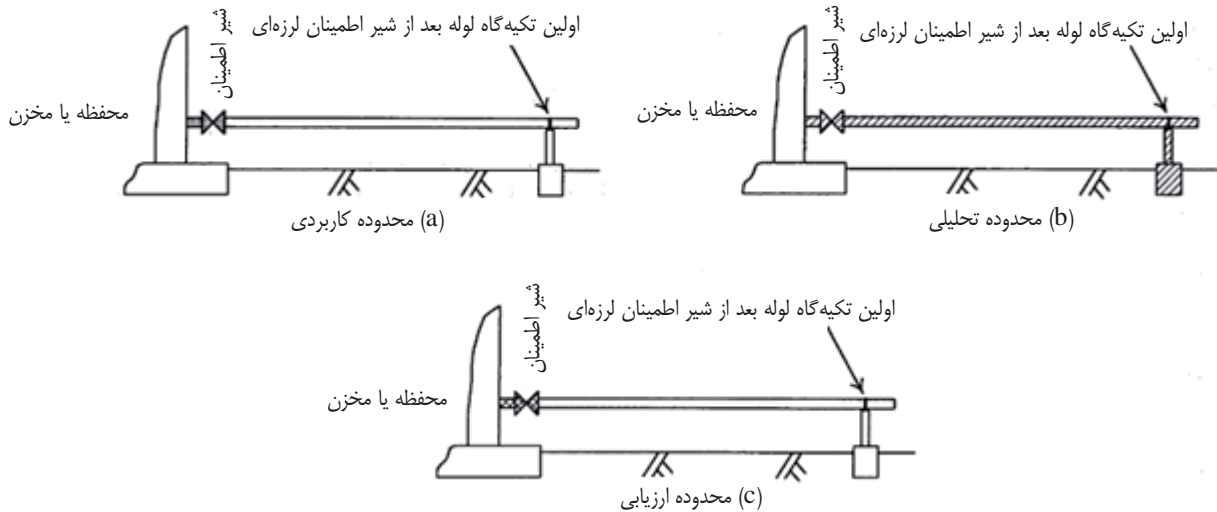
(ب) در ارزیابی عملکرد لوله کشی به حرکت زمین واقع بر روی پی مشترک، برکنش و جداشدگی (و غیره) تکیه گاه گیردار کنترل گردد. بهتر است این کنترل در تکیه گاه آزاد لوله کشی نیز انجام گیرد.

(ج) اگر سیستم لوله کشی بر روی پی مشترک بنا نشود، ارزیابی عملکرد لرزاهاي لوله کشی و سازه تکیه گاهی لوله باید انجام شود. در این حالت علاوه بر ارزیابی بار تغییر مکان ناشی از حرکت زمین، شرایط بارگذاری ناشی از وزن خود سیستم نیز باید ارزیابی گردد.

(د) اگر در موردی عملکرد لرزاهاي برآورده نگردد، طراحی باید تغییر کند. اگر تغییر جزئی در طراحی داده شود، ارزیابی از مرحله اول دوباره آغاز می گردد.



شکل ۳۴ سیستم لوله کشی بر روی پی مشترک



شکل ۳۵ سیستم لوله‌کشی بر روی پی غیر مشترک

۱۶-۳- تغییر مکان و تغییر مکان نسبی بین پی

۱- ارزیابی عملکرد لردهای پی در اثر حرکت زمین

در اثر روانگرایی زمین، نشست و تغییر مکان افقی پس از آن، در پی سازه تکیه‌گاه لوله‌کشی، تغییر مکان افقی، نشست و دوران (انحراف) بوجود می‌آید. اصولاً نقطه تکیه‌گاهی لوله‌کشی بایستی در یک پی مشترک بنا شود ولی با توجه به اینکه پی لوله‌کشی به علت عدم امکان ساخت کل سیستم بر روی یک پی مشترک، جداگانه ساخته می‌شود، بنابراین ارزیابی عملکرد لردهای لوله‌کشی در اثر حرکت زمین بایستی با توجه به تغییر مکان نسبی بین تکیه‌گاه لوله‌کشی و پی، انجام شود.

۲- تغییر مکان پی در اثر حرکت زمین

محاسبه تغییر مکان پی در اثر حرکت زمین به صورت زیر می‌باشد.

۱- نشست ناشی از روانگرایی زمین و گسترش جانبی

نشست در پی گستردگی در اثر روانگرایی و گسترش جانبی زمین بر اساس روند ارائه شده در فاز دوم محاسبه می‌گردد. اگر ظرفیت باربری شمع‌ها به اندازه کافی باشد، نشست ناشی از روانگرایی و گسترش جانبی زمین در آنها رخ نمی‌دهد.

۲- نشست نامتقارن پی در اثر روانگرایی و گسترش جانبی زمین

نشست نامتقارن پی گستردگی در اثر روانگرایی و گسترش جانبی زمین، بر اساس روند ارائه شده در فاز دوم محاسبه می‌گردد. اگر ظرفیت باربری شمع‌ها به اندازه کافی باشد، نشست نامتقارن ناشی از روانگرایی و گسترش جانبی زمین در آنها رخ نمی‌دهد.

۳- تغییر مکان جانبی در اثر گسترش جانبی زمین

تغییرمکان جانبی پی گسترش در اثر گسترش جانبی زمین، بر اساس روند ارائه شده در فاز دوم محاسبه می‌گردد.

تغییرمکان جانبی شمع‌ها، ناشی از گسترش جانبی بر اساس تغییرمکان پاسخ در فاز دوم محاسبه می‌گردد.

۳- تغییرمکان نسبی پی در اثر حرکت زمین

ارزیابی عملکرد لرزه‌ای سیستم لوله‌کشی در اثر حرکت زمین، با محاسبه تغییرمکان نسبی بین پی تکیه‌گاه‌های مختلف لوله‌کشی و تغییرمکان پی اصلی، انجام می‌شود.

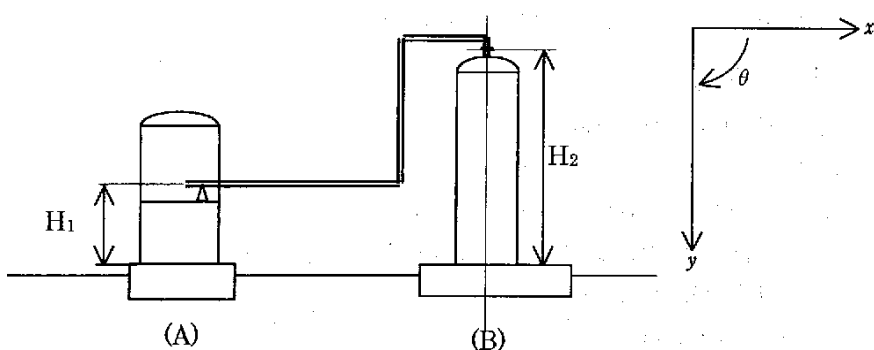
در این حالت، ارتباط بین تغییرمکان نسبی افقی ($\Delta_{12}(x)$) و تغییرمکان نسبی قائم ($\Delta_{12}(y)$) بین پی تکیه‌گاه‌ها به صورت رابطه زیر می‌باشد.

$$\Delta_{12}(x) = (x_2 + \theta_2 H_2) - (x_1 + \theta_1 H_1) \quad (78)$$

$$\Delta_{12}(y) = y_2 - y_1 \quad (79)$$

پارامترهای $x_1, x_2, y_1, y_2, H_1, H_2, \theta_1, \theta_2$ از شکل و جدول ۳۵ تعیین می‌گرددند.

زاویه با چرخش ساعتگرد مثبت در نظر گرفته می‌شود.



شکل ۳۶ سازه تکیه‌گاهی لوله

جدول ۳۵ تغییرمکان پی سازه تکیه‌گاهی لوله

(B)	(A)	سازه تکیه‌گاهی لوله
<input type="checkbox"/> x_2	<input type="checkbox"/> x_1	تغییرمکان افقی (mm)
<input type="checkbox"/> y_2	<input type="checkbox"/> y_1	نشست (mm)
<input type="checkbox"/> θ_2	<input type="checkbox"/> θ_1	زاویه دوران (rad)

۱۷-۳- ضریب انعطاف‌پذیری و روند طراحی لوله خمیده

۱- ضریب انعطاف‌پذیری لوله خمیده

در تحلیل پاسخ شتاب با توجه به مثبت یا منفی بودن متناوب تغییرمکان و کوچک بودن زاویه پیچش، متوسط ضریب انعطاف‌پذیری خمث درون‌صفحه‌ای، خمث بروون‌صفحه‌ای و انسساط درون‌صفحه‌ای تعیین می‌گردد. به هر حال با توجه اینکه تغییرمکان نسبی بزرگ می‌باشد و در تحلیل پاسخ حرکت زمین در یک راستا رخ می‌دهد، نمی‌توان از اختلاف

مقادیر ضریب انعطاف‌پذیری مربوط به خمش درون‌صفحه‌ای، انبساط درون‌صفحه‌ای و خمش برون‌صفحه‌ای صرف نظر کرد.

اگرچه بر اساس حالت تغییر شکل لوله خمیده، ضریب انعطاف‌پذیری از روابط ۴۲ تا ۴۴ به دست می‌آید، ولی برای سادگی طراحی، صرف نظر از حالت تغییرشکل، می‌توان برای حاشیه اینمی، ضریب انعطاف‌پذیری برای خمش درون‌صفحه‌ای را از رابطه (۸۰) به دست آورد.

$$\epsilon_p = [(1.28h + 0.03)\theta_D(90/\alpha) - 0.66h + 0.75] \frac{S_0}{S_y} k_e \geq k_e \quad (80)$$

α : زاویه لوله خمیده (واحد درجه)

θ_D : تغییرزاویه لوله خمیده (واحد درجه)

k_e : ضریب انعطاف‌پذیری در تغییرشکل ارتجاعی

-۲ روند تحلیل

-۱-۲- برای تحلیل تغییرمکان پی در اثر روانگرایی، تغییرمکان نسبی در راستای افقی و قائم را باید توأمً در نظر گرفت.

-۲-۲- ضریب انعطاف‌پذیری لوله خمیده با توجه به زاویه کنج و ترکیب تغییرمکان‌های نسبی دو راستای افقی و قائم به دست می‌آید.

-۳-۳- ترکیب بار ناشی از تغییرمکان پی در اثر حرکت زمین با یک بار عادی در نظر گرفته نمی‌شود. تأیید عملکرد لرזה‌ای سیستم با در نظر گرفتن وزن لوله‌کشی، (وغیره) در حالتی که بر تکیه‌گاه لوله وزن زیادی تحمیل نمی‌گردد یا پی در اثر پدیده جوشش با تغییرمکانی در راستای قائم به بالا رانده می‌شود، مانند سیستم لوله‌کشی با تکیه‌گاه آزاد، ضروری می‌باشد.

۱۸-۳- جزئیات زاویه مجاز لوله خمیده

در ارزیابی عملکرد لرזה‌ای در اثر حرکت زمین، زاویه مجاز لوله خمیده برابر با مقدار زاویه پیچش متناظر با کرنش خمیری معادل ۵٪ می‌باشد. زاویه کنج θ_{al2} ، متناظر با کرنش خمیری معادل ϵ_{pal2} لوله خمیده از رابطه (۸۱) به دست می‌آید.

$$\theta_{al2} = 29.1 \frac{\epsilon_{pal2}^{0.829}}{h^{0.456}} \quad (81)$$

که در اینجا، ϵ_{pal2} کرنش خمیری معادل و θ_{al2} زاویه کنج می‌باشد. این رابطه برای خم لوله ۹۰ درجه می‌باشد. برای لوله‌های با خم ۳۰ یا ۴۵ درجه مقدار تغییرمکان زاویه‌ای با استفاده از درون‌یابی اندازه زاویه کنج به دست می‌آید. در زانویی ۹۰ درجه با درنظر گرفتن ضریب شکل‌پذیری مجاز متناظر با کرنش خمیری معادل ۵٪، زاویه مجاز معادل با ϵ_{pal2} به صورت رابطه (۸۲) به دست می‌آید.

$$\theta_a = \frac{2.43}{h^{0.46}} \quad (82)$$

در جدول ۳۶ ارتباط بین زاویه مجاز (لوله خمیده با زاویه قائم) و مقدار مشخصه تغییرشکل خمشی در زانوبی بازو بلند ۹۰ درجه با ضخامت اسمی فهرست ۴۰، ارائه شده است.

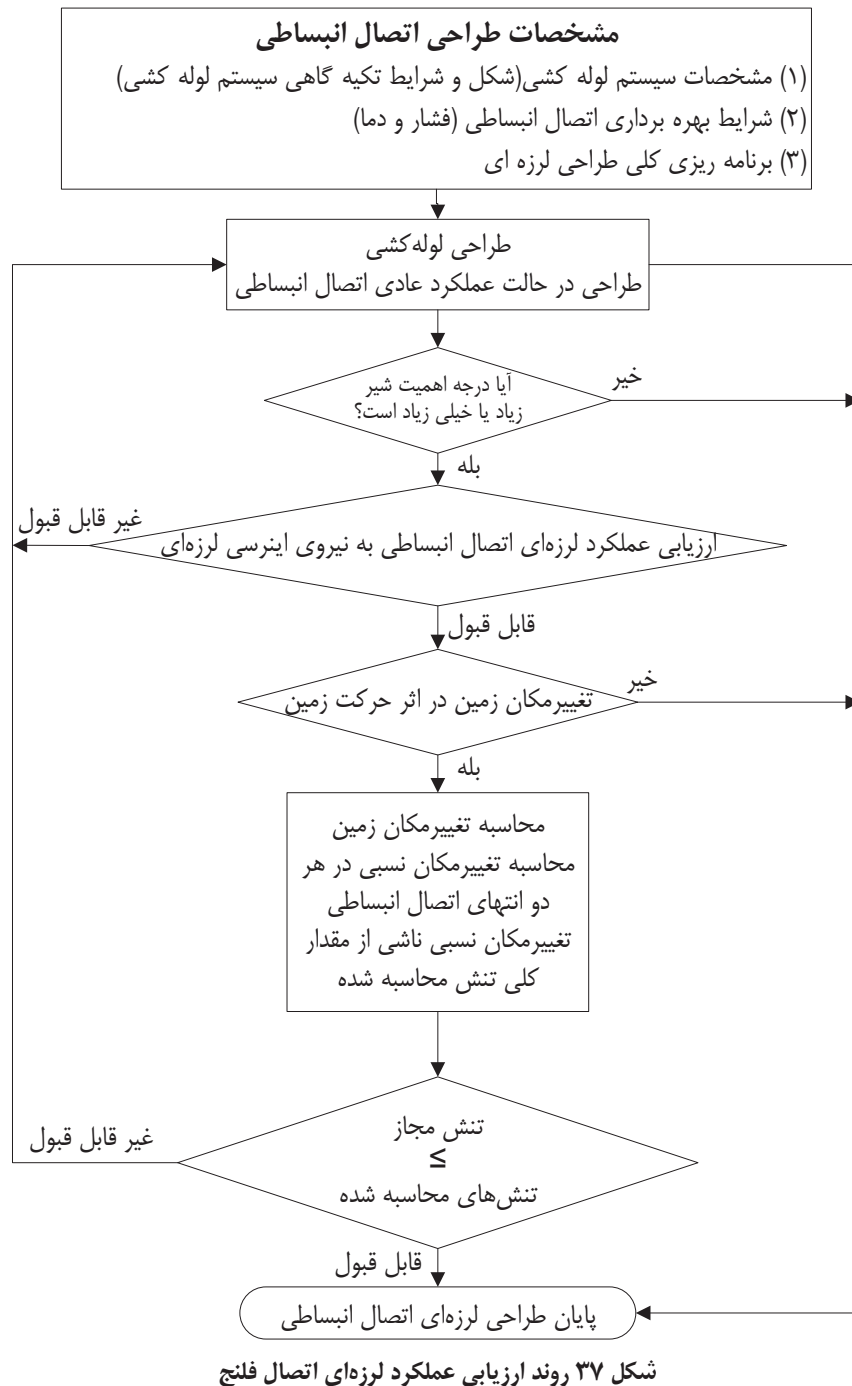
جدول ۳۶ زاویه مجاز زانوبی بازو بلند ۹۰ درجه (ضخامت اسمی فهرست ۴۰)

زاویه مجاز (درجه)	مقدار مشخصه تغییرشکل خمشی	ضخامت جداره (mm)	قطر خارجی (mm)	قطر اسمی (A)
۳/۶۲	۰/۴۲۰	۳/۷	۴۸/۶	۴۰
۳/۸۳	۰/۳۷۱	۳/۹	۶۰/۵	۵۰
۳/۷۴	۰/۳۹۲	۵/۲	۷۶/۳	۶۵
۳/۸۹	۰/۳۶۰	۵/۵	۸۹/۱	۸۰
۴/۰۴	۰/۳۳۱	۵/۷	۱۰۱/۶	۹۰
۴/۱۵	۰/۳۱۲	۶/۰	۱۱۴/۳	۱۰۰
۴/۳۴	۰/۲۸۳	۶/۶	۱۳۹/۸	۱۲۳
۴/۵۲	۰/۲۶۰	۷/۱	۱۶۵/۲	۱۵۰
۴/۷۷	۰/۲۳۱	۸/۲	۲۱۶/۳	۲۰۰
۴/۹۵	۰/۲۱۳	۹/۳	۲۶۷/۴	۲۵۰
۵/۱۱	۰/۱۹۸	۱۰/۳	۳۱۸/۵	۳۰۰
۵/۱۰	۰/۲۰۰	۱۱/۱	۳۵۵/۶	۳۵۰
۵/۱۰	۰/۲۰۰	۱۲/۷	۴۰۶/۴	۴۰۰
۵/۱۰	۰/۲۰۰	۱۴/۳	۴۵۷/۲	۴۵۰
۵/۲۲	۰/۱۸۹	۱۵/۱	۵۰۸/۰	۵۰۰
۵/۳۴	۰/۱۸۱	۱۵/۹	۵۵۸/۸	۵۵۰
۵/۳۱	۰/۱۸۳	۱۷/۵	۶۰۹/۶	۶۰۰
۵/۳۲	۰/۱۸۲	۱۸/۹	۶۶۰/۴	۶۵۰

۳-۱۹- روند ارزیابی عملکرد لرزه‌ای اتصال فلنچ در اثر حرکت زمین

مطلوب مهمی که در مقاومت لرزه‌ای اتصال فلنچ باید در نظر داشت این است که از نشت در محل اتصال لوله‌ها در اثر بارهای واردہ باید جلوگیری گردد. در این حالت ارزیابی نشت با در نظر گرفتن نیروی محوری کششی و لنگر خمشی تشکیل شده در اثر تغییرمکان نسبی بین تکیه‌گاه لوله و پی لوله کشی در اثر حرکت زمین، در محل اتصال فلنچ، انجام می‌شود.

با توجه به ارزیابی نشت، از روشی مشابه تحلیل پاسخ شتاب در بخش ۵-۸-۱-۴-۵ استفاده می‌گردد. شکل ۳۷ روندnamی ارزیابی عملکرد لرزه‌ای در اتصال فلنچ را نشان می‌دهد.



شکل ۳۷ روند ارزیابی عملکرد لرده ای اتصال فلتچ

۳-۲۰-۳- جزئیات روند ارزیابی اتصال انبساطی در اثر حرکت زمین

تغییر مکان نسبی در هر دو انتهای اتصال انبساطی باید کمتر از تغییر مکان نسبی مجاز ناشی از ده بار نوسان در اتصال انبساطی باشد. در این حالت می‌توان نیروی اینرسی و تغییر مکان پاسخ را به طور جداگانه ارزیابی کرد. علاوه بر این، در راستایی که تغییر مکان نسبی رخ نمی‌دهد، ضروری است که اتصال دارای مقاومت کافی در مقابل عکس‌عمل پاسخ محاسبه شده، باشد.

۱- روند ارزیابی عملکرد لرزاهاي اتصال اببساطی در اثر حرکت زمین

روند ارزیابی عملکرد لرزاهاي اتصال اببساطی در اثر حرکت زمین بر طبق بندهای ۱-۱ تا ۱-۶ همان طور که در شکل ۳۸ نشان داده شده است، می‌باشد.

۱-۱- پس از تأیید شدن عملکرد لرزاهاي اتصال به نیروی اینرسی لرزاهاي، ارزیابی عملکرد لرزاهاي اتصال اببساطی در ردہ با اهمیت بالا، در اثر تغییرمکان زمین، انجام می‌شود.

۱-۲- عملکرد پی به تغییرمکان ناشی از حرکت زمین، ارزیابی می‌گردد.

۱-۳- تغییرمکان پی بر طبق بخش ۲-۴-۵-۸ محاسبه می‌گردد.

۱-۴- تحلیل پاسخ سیستم لوله‌کشی با در نظر گرفتن توأم تغییرمکان افقی و قائم پی و تغییرمکان نسبی محاسبه شده در دو انتهای اتصال اببساطی، انجام می‌شود.

۱-۵- مقدار کلی تنش ایجاد شده در قسمت آکاردئون در اثر تغییرمکان نسبی بین دو انتهای اتصال اببساطی محاسبه می‌گردد.

۱-۶- کمتر بودن مقدار کلی تنش محاسبه شده از مقدار تنش مجاز باید تأیید شود.

۲- روش محاسبه مقدار کلی تنش در اتصال اببساطی

روش محاسبه به صورت روش محاسبه در بخش ۱-۴-۵-۸ می‌باشد.

۳- روش محاسبه مقدار تنش مجاز در اتصال اببساطی

مقدار تنش محوری حداکثر ایجاد شده در قسمت آکاردئون باید کمتر از دو برابر مقدار تنش مجاز متناظر با ده بار تکرار باشد.

۱-۳- تنsh مجاز برای طراحی لرزاهاي تنsh محوری بوجود آمده در قسمت آکاردئون اتصال اببساطی از جنس فولاد سخت(کربن‌دار)، فولاد با آلیاژ پایین، فولاد ضد زنگ فریتی(آهن‌دار) و فولاد با مقاومت کششی بالا، برابر با مقادیر زیر می‌باشد.

(الف) حالتي که حداقل مقاومت کششی $S_a = 2 \times 3999 = 7998 \text{ MPa}$ یا کمتر باشد برابر با ۵۵۱.۶ MPa می‌باشد.

(ب) حالتي که حداقل مقاومت کششی بین $S_a = 2 \times 2896 = 5792 \text{ MPa}$ و $792.9 - 896.3 \text{ MPa}$ باشد برابر با می‌باشد.

(ج) حالتي که حداقل مقاومت کششی از $551.6 - 792.9 \text{ MPa}$ باشد به تناسب از مقادیر بند (الف) و (ب) به دست می‌آيد.

۲-۳- تنsh مجاز در طراحی لرزاهاي تنsh محوری بوجود آمده در آکاردئون اتصال اببساطی از جنس فولاد ضدزنگ آستانیتی، آلیاژ نیکل (آلیاژ Ni-Cr-Fe و Ni-Fe-Cr) و آلیاژ مس نیکل، برابر با $S_a = 2 \times 4882 = 9746 \text{ MPa}$ می‌باشد.

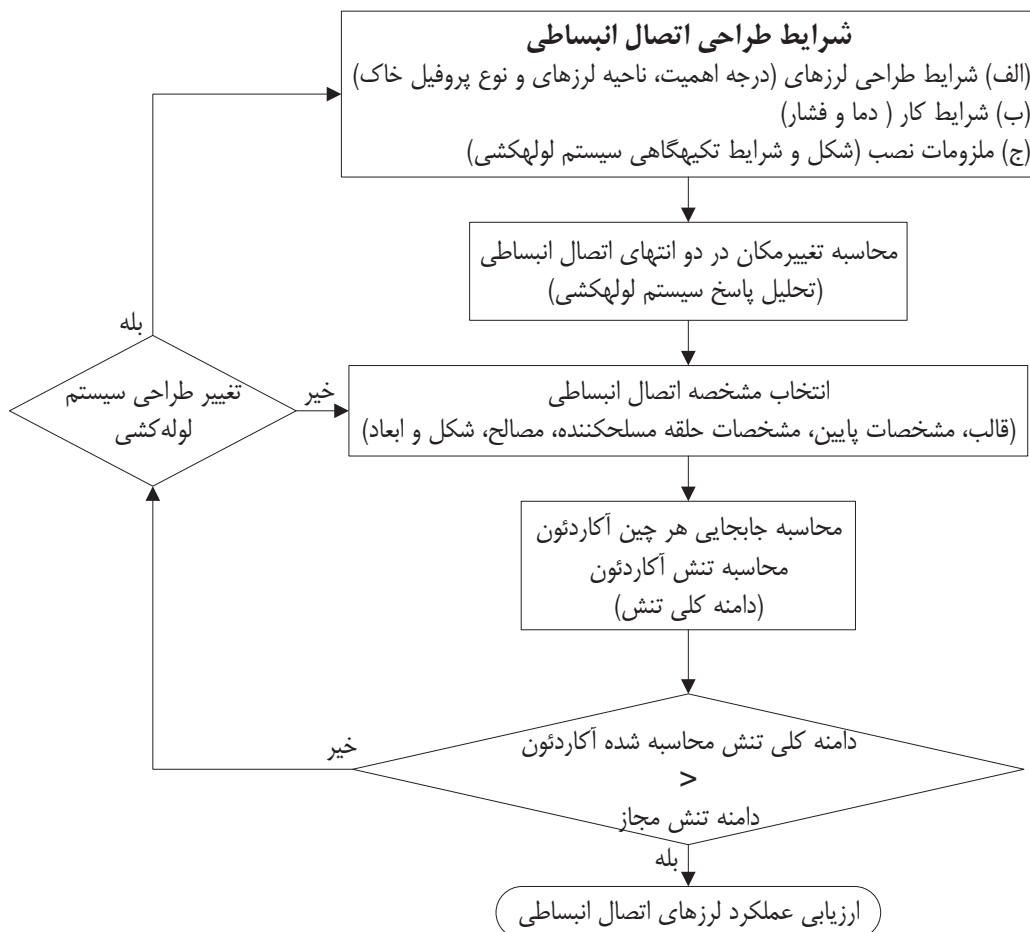
۴- برآورد عملکرد لرزاهاي اتصال اببساطی در اثر حرکت زمین

ارزیابی عملکرد لرزه‌ای اتصال انبساطی در اثر حرکت زمین به این صورت می‌باشد که مقدار کلی تنش محاسبه شده در اتصال از بند ۲ باید کمتر از مقدار تنش مجاز محاسبه شده از بند ۳ باشد. در این حالت خسارات تجمعی واردہ بر اتصال در اثر بارهای واردہ در زلزله‌های گذشته، در نظر گرفته نمی‌شود.

علاوه بر آن، در جهتی که تغییر مکان نسبی جذب نمی‌گردد، عضو مهارکننده تغییر مکان در اتصال انبساطی، باید دارای مقاومت کافی (مهار توسط قفسه پیچ، مهار توسط صفحه قفسه و حلقه تنظیمی و غیره) برای حفظ کارکرد مربوطه باشد. این کارکرد شامل تحمل عکس العمل محاسبه شده از تحلیل پاسخ سیستم لوله کشی ناشی از حرکت زمین می‌باشد.

- طراحی اتصال انبساطی برای مقاصدی به غیر از تغییر مکان زمین

برای طراحی اتصال انساطی برای مقاصدی به غیر از تغییر مکان زمین، تکیه گاه لوله باید طوری طراحی شود که تغییر مکان متجاوز از حد ترانس ناشی از حرکت لردهای به اتصال انساطی وارد نشود یا تکیه گاه دارای مقاومت کافی برای حفظ کارکرد عضو مهار کننده تغییر مکان اتصال باشد. این کارکرد شامل تحمل عکس العمل محاسبه شده از تحلیل پاسخ سیستم لوله کشی ناشی از تغییر مکان زمین، می باشد.



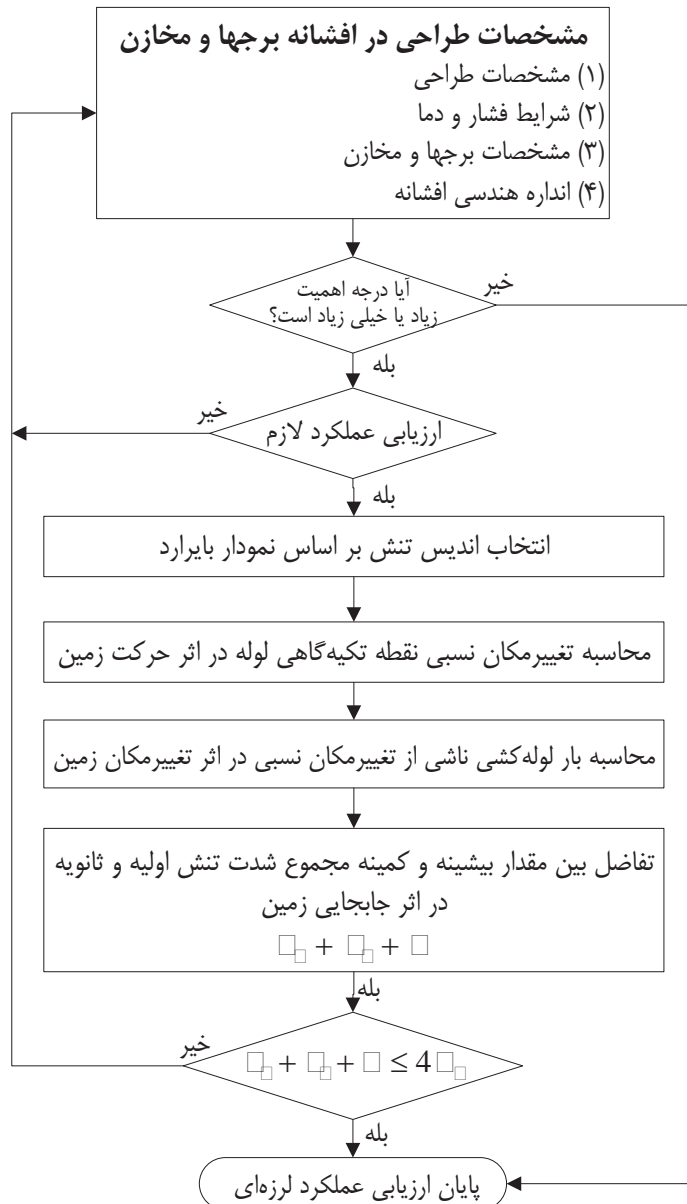
شکل ۳۸ روند نمای ارزیابی عملکرد لردهای اتصال انبساطی در اثر تغییر مکان زمین

۳-۲۱- جزئیات روند ارزیابی افشانه مخازن و برج‌ها در اثر تغییرمکان زمین

۱- در طراحی لرزاهاي، ارزیابی تغییرمکان نقطه تکیه‌گاهی لوله در افشانه برج‌ها و مخازن در اثر تغییرمکان زمین به این صورت می‌باشد که مجموع شدت تنفس اولیه و ثانویه ایجاد شده در اثر تغییرمکان مربوطه، باید برابر یا کمتر از شدت تنفس مجاز S_y باشد. در این حالت امکان ارزیابی با برآورد نیروی اینرسی مربوطه به صورت جداگانه امکان‌پذیر می‌باشد.

۲- ارزیابی افشانه برج‌ها و مخازن به وسیله روشی ساده شده (روش بایرارد Bairard) بر اساس تئوری پوسته نازک یا تحلیل تفصیلی المان محدود (FEM) (و غیره) و نیز بر طبق بخش ۷-۱-۴-۵-۸ درباب تحلیل پاسخ شتاب، انجام می‌شود.

۳- در شکل ۳۹ روندnamای ارزیابی تغییرمکان نسبی نقطه تکیه‌گاهی لوله در ارزیابی عملکرد لرزاهاي افشانه برج‌ها و مخازن در اثر تغییرمکان زمین به روشی ساده شده بر اساس روش بایرارد، نشان داده شده است. همچنین در تحلیل‌های تفصیلی (و غیره) بر اساس روش المان محدود (و غیره)، ارزیابی با روشی مشابه انجام می‌شود.



شکل ۳۹ ارزیابی عملکرد لرزه‌ای افسانه برج‌ها و مخازن در اثر جابجایی زمین

۲۲-۳-۱- ارزیابی عملکرد لرزه‌ای تکیه گاه لوله به جابجایی زمین

۱- روند ارزیابی عملکرد لرزه‌ای تکیه گاه لوله به جابجایی زمین

روند ارزیابی تکیه گاه لوله ناشی از جابجایی زمین به صورت زیر می‌باشد و در شکل ۴۰ نشان داده شده است.

۱-۱- پس از تأیید قابل قبول بودن ارزیابی سیستم به نیروی اینرسی لرزه‌ای، ارزیابی سیستم لوله کشی به جابجایی زمین انجام می‌شود.

۱-۲- با تعیین امکان وقوع روانگرایی یا تغییر مکان زمین (حرکت زمین)، ارزیابی عملکرد لرزه‌ای سیستم لوله کشی واقع بر پی، به جابجایی زمین، انجام می‌شود.

۱-۳- اگر سیستم لوله کشی به همراه تجهیزات طراحی لرزاهاي بر روی یک پی مشترک بنا شده باشند، لازم است که کارکرد گیرداری تکيه گاه لوله تجهیزات در نزدیک ترین فاصله بعد از شیر اطمینان لرزاهاي، در اثر تغییر مکان مربوط به جابجایی زمین(حرکت زمین)، تأیید شود.

۱-۴- اگر سیستم لوله کشی به همراه تجهیزات طراحی لرزاهاي بر روی یک پی مشترک بنا نشده باشند، لازم است که تکيه گاه لوله و متعلقات آن دارای عملکرد لرزاهاي مناسب در برابر تغییر مکان نسبی زمین بر اساس موقعیت نقطه تکيه گاهی، باشد.

۱-۵- همانند ارزیابی نیروی اینرسی، عملکرد لرزاهاي تکيه گاه لوله با تنظیم شرایط مجاز بر طبق کارکرد تکيه گاه لوله ارزیابی می گردد.

۲- ارزیابی عملکرد لرزاهاي تکيه گاه گیردار لوله در مواردی که تأثیر جابجایی زمین قابل پیش بینی باشد، معمولاً سیستم لوله کشی بایستی بر روی یک پی مشترک(بکار چه) بنا می شود. در این حالت، اولین تکيه گاه لوله بعد از شیر اطمینان لرزاهاي، در محدوده لوله کشی در روی یک پی مشترک بنا می شود و تکيه گاه خارج از محدوده سیستم، گیردار می باشد.

به عبارت دیگر، در اثر جابجایی زمین در لوله کشی غیر واقع بر پی مشترک تغییر شکل زیادی رخ می دهد در این حالت لازم است که عدم نشت لوله کشی واقع بر پی مشترک در اثر تغییر شکل ایجاد شده ناشی از تغییر شکل تکيه گاه لوله غیر واقع بر پی مشترک، تأیید گردد. به همین علت، با در نظر گرفتن لزوم کم بودن تغییر شکل تکيه گاه گیردار لوله در اثر تغییر مکان زمین و تحمل عکس العمل در سه راستا و لنگر خمی می باشد که تنش ایجاد شده ناشی از عکس العمل و لنگر ناشی از جابجایی لرزاهاي تکيه گاه گیردار لوله به این صورت می باشد که تنش ایجاد شده ناشی از عکس العمل و لنگر ناشی از جابجایی زمین در لوله کشی، بایستی کمتر از بار تسليیم باشد.

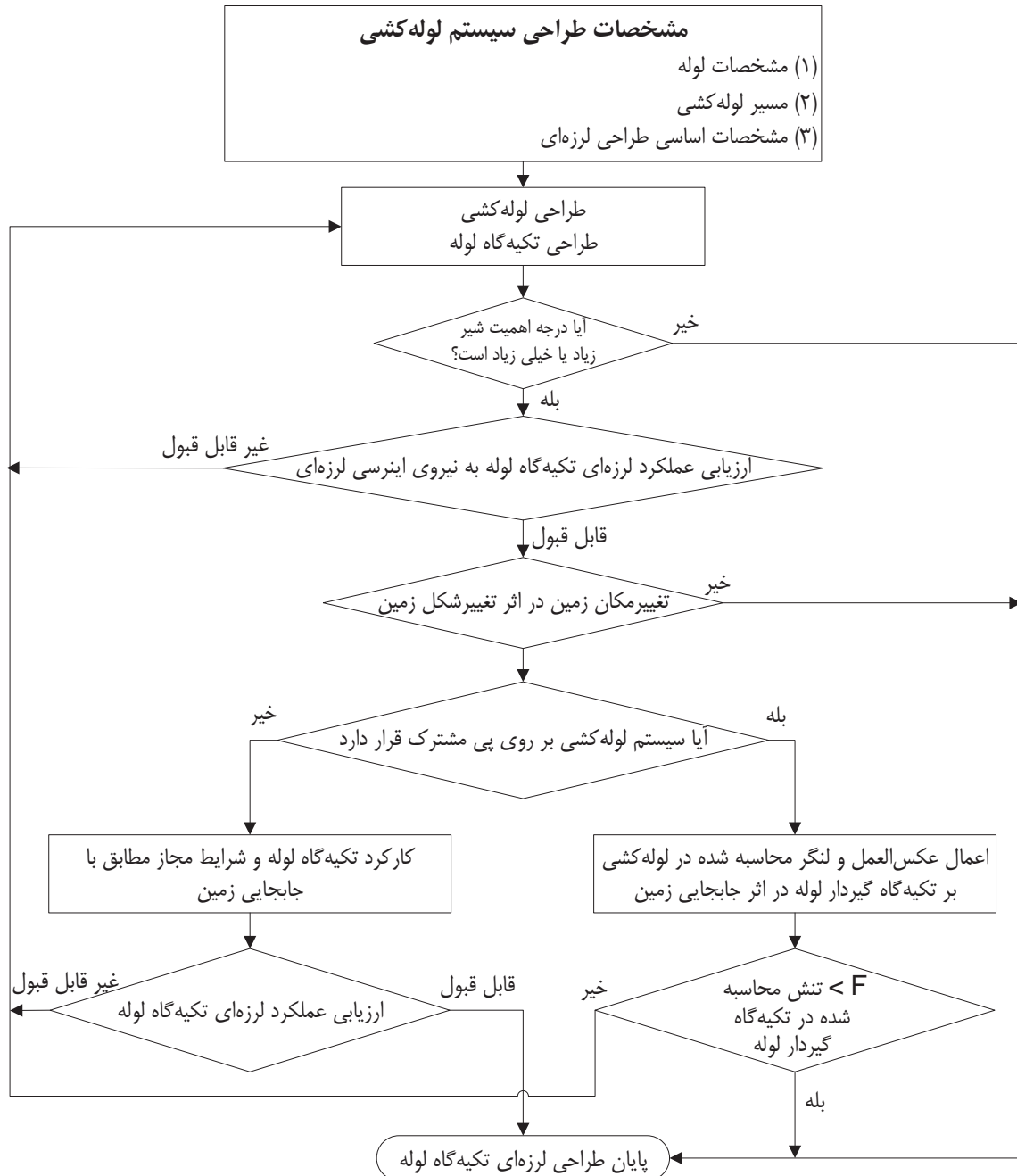
در این حالت، اصولاً عکس العمل لوله کشی در اثر تغییر مکان زمین (و غیره) با استفاده از تحلیل پاسخ به دست می آید و لی ممکن است با مقاومت تسليیم لنگر خمیری کامل لوله کشی، جایگزین گردد.

۳- ارزیابی عملکرد لرزاهاي تکيه گاه تقویتی لوله ارزیابی عملکرد لرزاهاي تکيه گاه تقویتی لوله نسبت به روانگرایی ناشی از تغییر مکان زمین به منظور عدم ایجاد گسیختگی، بدین صورت است که تغییر شکل خمیری ایجاد شده ناشی از عکس العمل لوله کشی در تکيه گاه، باید کمتر از تغییر شکل خمیری مجاز باشد.

۴- ارزیابی عملکرد لرزاهاي تکيه گاه آزاد از تکيه گاه آزاد برای جلوگیری از نشت در لوله کشی با کاهش اثرات بارگذاری از طریق جدا کردن نشیمن متعلقات پیچ U شکل و حذف مقاومت تکيه گاه در مقابل حرکت زمین، استفاده می شود، مشروط بر اینکه کارکرد تکيه گاه برای نیروی اینرسی ناشی از حرکت زمین حفظ شود.

به هر حال، این تکيه گاه باید به گونه ای باشد که مشخصات ظرفیت باربری آزاد تکيه گاه لوله (و غیره) را دارا باشد. در پیوست ۳ بند ۱۶-۳ ارزیابی عملکرد لرزاهاي سیستم لوله کشی با تکيه گاه آزاد در اثر تغییر مکان زمین، نشان داده شده است.

۵- تنظیم شرایط مجاز



شکل ۴۰ روند نمای ارزیابی عملکرد لرزه‌ای تکیه‌گاه لوله در اثر تغییر مکان زمین

**Islamic Republic of Iran
Vice Presidency for Strategic Planning and Supervision**

Guideline for Seismic Design of Power supply systems

No. 602

Office of Deputy for Strategic Supervision

Department of Technical Affairs

nezamfanni.ir

2012

این نشریه

با عنوان "راهنمای طراحی لرزاهاي سامانه برقرسانی" با هدف تأمین ايمني عمومي و پيشگيری از آسیب جدي به سامانه برقرسانی تدوين شده است. در اين راهنمای کليات و مبانی در فصلهاي اول و دوم، بارگذاري لرزاهاي، روشهاي طراحی لرزاهاي و کنترل ايمني بار لرزاهاي ناشی از انتشار امواج در فصلهاي سوم و چهارم، طراحی لرزاهاي و کنترل ايمني اجزا مختلف سامانه برقرسانی در فصلهاي پنجم تا دهم و در نهايت مثالهاي کاربردي در فصل يازدهم ارائه شده است که میتواند راهنمای مناسبی برای مشاوران و طراحان باشد.